



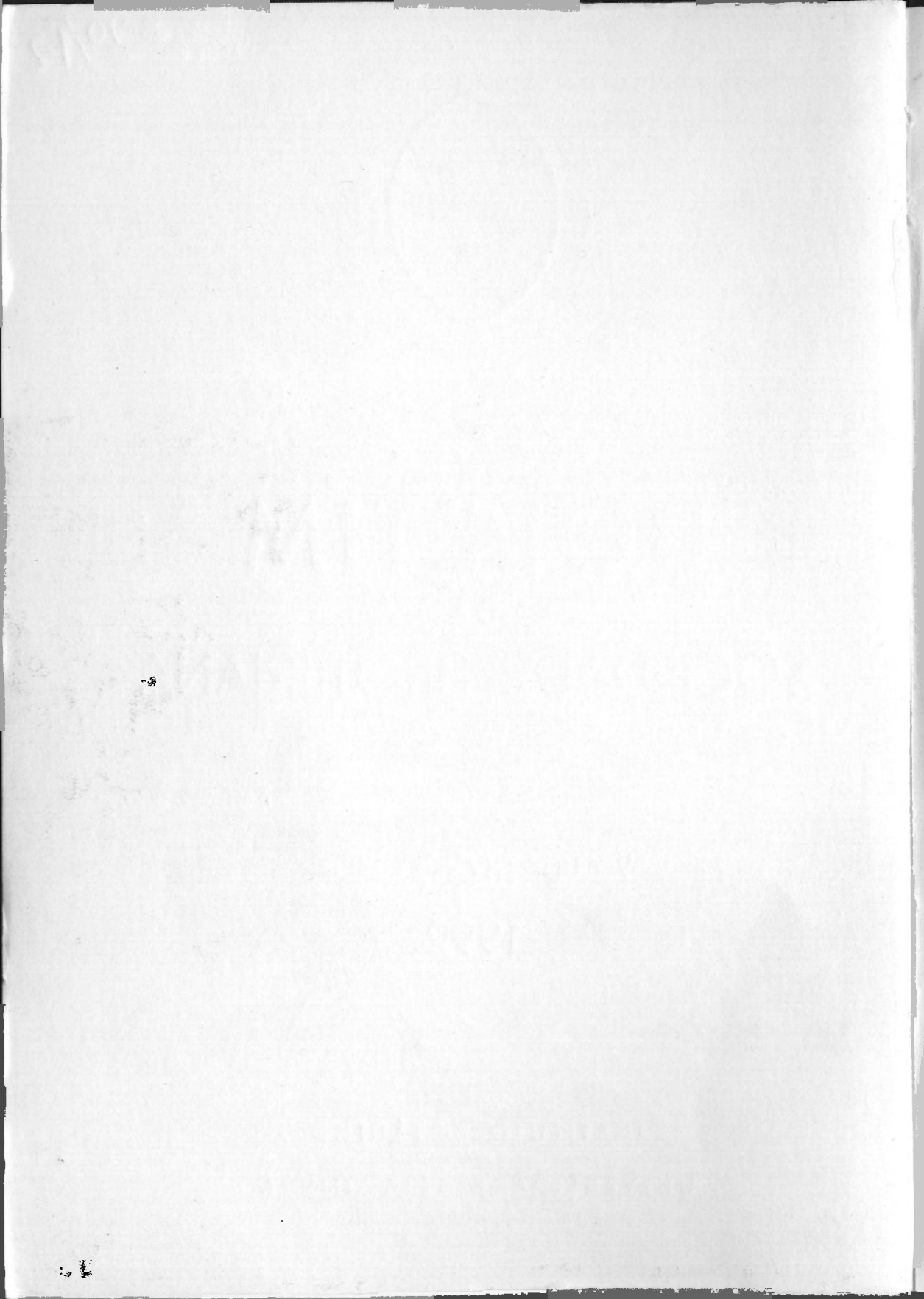
13. JUL. 1993

BOLETIM DA SOCIEDADE BROTERIANA

VOLUME LXV — 2.ª SÉRIE

1992

INSTITUTO BOTÂNICO
DA
UNIVERSIDADE DE COIMBRA



INSTITUTO BOTÂNICO DA UNIVERSIDADE DE COIMBRA

BOLETIM
SOCIEDADE BROTERIANA

VOL. LXV (2.ª SÉRIE)
BOLETIM DA
SOCIEDADE BROTERIANA
VOL. LXV (2.ª SÉRIE)
1992



COIMBRA
1992

522 66-51

BOLLETIM DA
SOCIEDADE BRORTERIANA
vol. LXX (5 • 2004)
125



13. JUL. 1993

ISSN 0081-0657

INSTITUTO BOTÂNICO DA UNIVERSIDADE DE COIMBRA

COMPARATIVE FERN MORPHOLOGY
OF THE FAMILY
POLYPODIACEAE
IN WEST AFRICA

BOLETIM
DA
SOCIEDADE BROTERIANA

(FUNDADO EM 1880 PELO PROF. DR. JÚLIO HENRIQUES)

VOL. LXV (2.ª SÉRIE)

REDACTORES

PROF. DR. A. FERNANDES

PROF. DR. JOSÉ F. MESQUITA



COIMBRA
1992

SUBSIDIADO POR

Instituto Nacional de Investigação Científica (I. N. I. C.)
Junta Nacional de Investigação Científica e Tecnológica (J. N. I. C. T.)

Composição e impressão das Oficinas da
Tipografia Alcobiense, Lda. — Alcobaça

COMPARATIVE EPIDERMAL MORPHOLOGY OF THE FAMILY MELIACEAE IN WEST AFRICA

by

J. DELE OLOWOKUDEJO & O. PEREIRA-SHETEOLU

Department of Biological Sciences, University of Lagos,
Akoko, Lagos, Nigeria

Received September 23, 1991.

SUMMARY

Meliaceae is an economically important family because it includes several woods that are well known and widely used all over the world. The medicinal properties of some of its species are also commonly exploited in African traditional medicine while others are planted as ornamentals. The epidermal morphology of all 14 genera consisting of 46 species of the family found in the West African sub-region has been investigated by light microscopy. Epidermal cells are either polygonal, isodiametric or irregular in shape. Anticinal walls are also variable in pattern and thickness. Four stomatal types, viz: anomocytic, staurocytic, paracytic and paratetracytic which are restricted to the abaxial surface occur within the family. In some cases, genera having the same stomata share similar morphological characteristics.

Trichomes vary in their morphology, distribution and abundance. Some taxa are totally glabrous while *Entandrophragma* is the only genus in which glandular multicellular trichomes were observed in some of its species. Other features of the epidermis that show variation include stomatal size and index, and the size of epidermal cells. The importance of these characters in the taxonomy of the family is discussed.

INTRODUCTION

MELIACEAE is a large tropical and subtropical family of **VI** mostly trees and shrubs. It comprises about 50 genera and 550 species, which are particularly common as understory trees in rain forests (HEYWOOD, 1978). In West Africa, the family is represented by 14 genera consisting of about 46 species some of which are introduced. *Trichilia* P. Browne, the largest genus

in this subregion, contains 14 species while *Pseudocedrela* Harms, *Lovoa* Harms, *Ekebergia* Sparrm., *Heckeldora* Pierre, and *Azadirachta* A. Juss., each contains a single species. Members of the family are widely distributed in all West African countries from the tropical rain forest belt of the south to the savannah and semi-desert regions of the north (Fig. 7).

Several species of the family are of considerable economic importance in West Africa and other parts of the world. The family includes several woods that are well known and widely used all over the world such as *Khaya* species, known as African mahoganies, which are highly prized for their excellent colour, working properties and finish. *Swietenia* Linn., an introduced genus from America, is known as the true mahoganies. The woods are usually free from distortion under changing conditions of moisture. This quality makes them excellent constructional timber and suitable material for cabinet work (METCALFE & CHALK, 1950). Other important meliaceous timbers of commerce include some species of *Entandrophragma* C. DC. (Sapele Mahogany), *Lovoa* Harms (African Walnut), *Melia* L., *Carapa* Aubl. and *Guarea* Allem.

Moreover, some species of the family possess many medicinal properties which are commonly exploited in African traditional medicine. For instance, oils derived from the nuts of *Carapa procera* DC. are used as medicine for burns, sores, rheumatic pains, insect bites, ringworm and yaws in Senegal. It is also employed as a vermifuge for both tape- and round-worms and also as a purgative. It is sometimes taken in small doses for syphilis as well (DALZIEL, 1937). Apart from their high quality timbers, some species of *Khaya* are also famous for their varied medicinal applications in Nigeria and other African countries (DALZIEL, 1937; OLOWOKUDEJO & NYANANYO, 1990).

All parts of *Melia azedarach* L., a plant known popularly as a medicinal tree of the Arabs and Persians (DALZIEL, 1937), are said to be bitter and strongly purgative. The root-bark is considered one of the best of anthelmintics and is used for round-worms in West Africa. The roots and leaves of *Pseudocedrela kotschy* Harms are used for rheumatism in Nigeria while in Togo the bitter bark is given in infusions for gastro-intestinal and rheumatic conditions. The bark decoction is also used as a wash for ulcers (DALZIEL, 1937). The pounded bark of *Trichilia*

emetica Vahl-Lely is used for parasitic skin diseases, itch and ringworm in most countries of West Africa while the bitter root is used as a rectal injection to induce purging (DALZIEL, 1937).

ROOMI & ATIQUIDDIN (1977) have shown that leaf extracts of *Azadirachta indica* A. Juss possess high pest repellent properties, and insecticides have therefore been derived from it. Oils for soap-making have also been extracted from the seeds of *Trichilia emetica* in Uganda. *Turraea heterophylla* Sm., with white sweet-smelling flowers, is an attractive ornamental shrub.

Previous studies on the family include those of ROTH (1971) on the anatomical structure of the cortex of some Venezuelan species of the family; MEHRA *et al.* (1972) on the Himalayan Meliaceae; LEPROY (1976) on Madagascan species, and PENNINGTON & STYLES (1975) who worked on pollen, gross morphology and wood anatomy. Other important contributors include DATTA & SAMANTA (1977), MURTY & GUPTA (1978) and OLOWOKUDEJO & NYANANYO (1990). Despite the economic importance of several species of this family in West Africa, there is practically no reliable taxonomic information on the family in this sub-region. The general floristic account given by HUTCHINSON & DALZIEL (1954) needs to be revised because some of the taxa have been reduced to synonymy and numerous new collections have been made.

The present study investigates the morphology of the leaf epidermis of all available species as part of a contribution to the taxonomy of the family. Leaf-surface characters are extensively employed in taxonomic studies since they have been found to be of value not only in making primary taxonomic decisions as STACE (1984) has noted, but as well as in the determination of sterile specimens, archeological remains, fragmentary fossils, stomachal or faecal contents and drugs.

MATERIAL AND METHODS

Sources of specimens

West African specimens of the family Meliaceae were studied in FHI, K and LUH. Abbreviations follows HOLMGREN *et al.* (1981). Two to six specimens of each taxon were investigated, depending on their geographical spread. About 3-6 samples were considered

as representative of species with wide geographical and ecological range while for endemic species or those of restricted distribution, 2-3 samples were examined.

Maceration technique

The method used in separating the abaxial and adaxial epidermises from the mesophyll is similar to that of OLOWOKUDEJO & NYANANYO (1990) and OLOWOKUDEJO & PEREIRA-SHETEOLU (1988) with slight modifications.

An area about 5 mm^2 was removed from a standard central position on each leaf or leaflet. Each sample was first revived by boiling in water for 5-10 mins. It was then transferred to either a macerating mixture — i. e. JEFFREY's solution — consisting of equal parts 10% chromic acid and conc. nitric acid, or conc. nitric acid only, for 18-36 hours depending on the nature of the leaf or leaflet. Each specimen bottle containing the sample and macerating liquid was then placed in a water-bath for 15-20 mins at 60° C . The sample was later washed in water and cleaned with camel hair brush.

Isolation of Epidermises

Upper and lower epidermises were carefully isolated by teasing them from the mesophyll using a pair of fine forceps and dissecting needles. Debris of mesophyll tissues were then brushed off before washing each membrane thoroughly in distilled water. Membranes were later transferred to 50% ethanol for about 5 mins to harden and then stained in 1% safranin in 50% alcohol for 5 mins. Each membrane was dehydrated by passing through 50%, 70%, 90%, 100% ethyl alcohol series and a mixture of equal parts of absolute ethyl alcohol and xylene. The membrane were then mounted in Canada balsam and the slides dried on a hot plate.

Statistical analysis

For each taxon 50 cells and stomata were chosen randomly and measured using a micrometer eye-piece. For each quantitative character, the range, mean, standard deviation and standard error were determined for all taxa. The stomatal index (SI) was calculated using the formula of SALISBURY (1927): $\frac{S}{E + S} \times 100$,

where S denotes the number of stomata per unit and E the number of epidermal cells of the same area. Photomicrographs were made using a Zeiss 9901 microscope while a Wild M 12 microscope fitted with camera lucida was used for the drawings.

RESULTS

Some of the observed intra-and interspecific variation patterns in epidermal micromorphology within the family are summarised in Tables 1 and 2. The photomicrographs shown in Figs. 1-5 represent the range of variation in cell shape and size, anticlinal cell wall patterns and stomatal complex. Trichome types are illustrated in Fig. 6.

Epidermal cells

Upper and lower epidermal cells are either isodiametric, irregular or polygonal in shape. The epidermal cell shape is variable both within and among species of the same genus, for example, in *Khaya anthotheca* (Figs. 1C and 1D), *K. ivorensis*, *Trichilia prieureana* subsp. *vermoesenii* and *T. emetica*, adaxial cells are usually isodiametric while the abaxial cells are irregular in shape. Both polygonal and isodiametric cells are found on the same surface in specimens of *Pseudocedrela kotschy* (Fig. 2F) examined. The pattern of the anticlinal cell walls is also variable within and among the various genera of the family. In *Khaya* both straight and curved anticlinal walls are present while in *Entandrophragma* the walls are either straight, curved or undulate. The intraspecific occurrence of both straight and curved walls on the same surface was observed in *Khaya anthotheca* (Fig. 1D), *Entandrophragma utile* (Fig. 1E) and *E. cylindricum* (Fig. 2B).

Considerable variation also occurs in the size of abaxial and adaxial epidermal cells both within and among the various taxa of the family (Table 1). Adaxial cells are generally wider than the abaxial ones, the former ranging from 8.70 μm to 29.13 μm in *Lovoa trichilioides* and *Trichilia welwitschii* respectively, and the latter with a mean value of 8.48 μm in *Swietenia mahagonii*, the smallest, and 23.52 μm *Trichilia welwitschii* which has the largest epidermal cells in the family. Abaxial and adaxial epidermal

TABLE I

Variation in epidermal characteristics of Meliaceae species

Taxa	Cell shape	Anticinal cell wall pattern	Cell width (μm) m.n. (mean \pm s.d. error) mix.	Cell wall thickness (μm) m.n. (mean \pm s.d. error) max.	Trichome type
1. <i>Khaya senegalensis</i> (Desr.) A. Juss. adax. abax.	Isodiametric Isodiametric	Straight Straight	16.20 (19.55 \pm 0.03) 24.30 5.40 (8.96 \pm 0.03) 13.50	2.70 (2.51 \pm 0.02) 5.40 2.70 (2.04 \pm 0.01) 4.50	Non-glandular Non-g.andu ar
	Irregular Irregular	Curved Curved	8.10 (12.66 \pm 0.21) 17.55 6.75 (9.75 \pm 0.19) 13.50	2.70 (3.02 \pm 0.11) 4.05 2.70 (2.84 \pm 0.09) 4.05	Non glandular Non.g.andu ar
2. <i>K. grandifoliola</i> C. DC. adax. abax.	Isodiametric Irregular	Straight Straight	8.10 (13.31 \pm 0.31) 18.90 8.10 (11.53 \pm 0.19) 14.55	2.70 (2.93 \pm 0.09) 4.05 2.70 (2.34 \pm 0.10) 4.05	Non glandular Non-g.andular
	Iodometric Irregular	Straight/curved Straight/curved	8.10 (10.61 \pm 0.19) 13.50 6.75 (9.42 \pm 0.18) 13.50	1.35 (2.87 \pm 0.11) 4.05 1.35 (2.12 \pm 0.10) 2.70	Non-glandular Non-glandular
4. <i>K. ivorensis</i> A. Chev. adax. aba. abax.	Iodometric Irregular	Straight/curved Straight/curved	8.10 (13.53 \pm 0.24) 20.25 6.75 (11.04 \pm 0.19) 16.20	1.35 (2.78 \pm 0.09) 4.05 1.35 (1.89 \pm 0.12) 2.70	Glandular & Non-g.andu ar
	Iodometric Iodometric	Straight Straight	8.10 (13.53 \pm 0.24) 20.25 6.75 (11.04 \pm 0.19) 16.20	1.35 (2.78 \pm 0.09) 4.05 1.35 (1.89 \pm 0.12) 2.70	Non-glandular Non-glandular
5. <i>Enchandrophragma candollei</i> Harms adax. abax.	Iodometric	Straight	8.10 (13.53 \pm 0.24) 20.25	1.35 (2.78 \pm 0.09) 4.05	Glandular & Non-g.andu ar
	Iodometric	Straight	6.75 (11.04 \pm 0.19) 16.20	1.35 (1.89 \pm 0.12) 2.70	Non-glandular Non-glandular
6. <i>E. utile</i> (Dawe & Sprague) Sprague adax. abax.	Iodometric Iodometric	Straight/curved Straight	9.45 (14.85 \pm 0.22) 20.25 6.75 (9.64 \pm 0.19) 13.50	1.35 (2.56 \pm 0.09) 3.24 1.35 (2.03 \pm 0.11) 2.70	Non-gandular Non-gandular
	Irregular Isodiametric	Undulate Straight	10.80 (13.24 \pm 0.21) 16.20 8.10 (12.66 \pm 0.22) 17.55	1.35 (2.62 \pm 0.10) 4.05 1.35 (2.30 \pm 0.18) 4.05	Glandular Glandular
7. <i>E. angolense</i> (Welw.) C. DC. var. <i>angolense</i> adax. abax.	Irregular Isodiametric	Undulate Straight	10.80 (13.24 \pm 0.21) 16.20 8.10 (12.66 \pm 0.22) 17.55	1.35 (2.62 \pm 0.10) 4.05 1.35 (2.30 \pm 0.18) 4.05	Glandular Glandular
	Iodometric Iodometric	Curved Curved	10.80 (13.85 \pm 0.20) 17.55 8.10 (12.23 \pm 0.22) 17.55	1.35 (1.76 \pm 0.32) 3.24 1.35 (1.73 \pm 0.10) 2.70	Non.glandular Non.glandular

9. <i>E. cylindricum</i> (Sprague) Sprague adax. abax.	Isodiametric Isodiametric	Curved/straight Curved	10.80 (14.31 ± 0.21) 18.90 8.10 (11.91 ± 0.24) 14.85	1.35 (1.62 ± 0.11) 2.70 1.35 (1.84 ± 0.91) 2.70	Glabrous Glandular
10. <i>E. congoense</i> ined. adax abax	Irregular Irregular	Undulate Undulate	10.80 (13.88 ± 0.19) 16.20 8.10 (11.04 ± 0.22) 16.20	1.35 (2.75 ± 0.13) 4.05 1.35 (2.60 ± 0.10) 2.70	Glabrous Non-glandular
11. <i>Pseudocedrela kotschyi</i> (Schweinf.) Harms	Isodiametric/ polygonal	Straight	10.80 (13.99 ± 0.20) 20.25	2.16 (2.62 ± 0.06) 2.70	Non-glandular
	Isodiametric	Straight	8.10 (13.28 ± 0.18) 16.20	1.35 (1.96 ± 0.07) 2.16	Non-gandular
12. <i>Lovoa trichilioides</i> Harms	Isodiametric Isodiametric	Straight Straight	6.75 (8.70 ± 0.16) 10.80 6.75 (9.63 ± 0.22) 13.50	2.70 (3.13 ± 0.11) 4.05 2.70 (2.97 ± 0.11) 4.05	Non-gandular Glabrous
13. <i>Carapa grandiflora</i> Sprague adax. abax.	Isodiametric Isodiametric	Straight Straight	8.10 (11.39 ± 0.20) 13.20 6.75 (10.69 ± 0.21) 13.50	2.70 (2.86 ± 0.10) 4.05 2.70 (2.8) ± 0.10) 4.05	Glabrous Glabrous
14. <i>C. procera</i> C. DC adax. abax.	Isodiametric Isodiametric	Straight Straight	9.45 (12.45 ± 0.28) 16.20 10.80 (13.64 ± 0.21) 16.20	2.16 (2.52 ± 0.07) 2.70 2.70 (2.86 ± 0.10) 4.05	Glabrous Non-gandular
15. <i>Trichilia prieureana</i> A. Juss. adax abax.	Irregular Irregular	Undulate Undulate	12.15 (14.5 ± 0.17) 16.20 10.80 (14.53 ± 0.23) 18.90	2.70 (2.75 ± 0.07) 4.05 2.70 (2.81 ± 0.09) 4.05	Non-gandular Non-gandular
16. <i>T. prieureana</i> A. Juss. subsp. <i>ver-</i> <i>moesenii</i> J. J. de Wild. adax abax.	Isodiametric Irregular	Straight Undulate	8.10 (11.15 ± 0.20) 13.50 8.10 (10.02 ± 0.17) 12.15	2.70 (2.86 ± 0.10) 4.05 2.70 (2.78 ± 0.10) 4.05	Non-gandular Glabrous
17. <i>T. rubescens</i> Oliv. adax abax.	Irregular Irregular	Undulate Undulate	13.50 (17.12 ± 0.23) 21.60 12.15 (15.20 ± 0.22) 18.90	2.70 (2.97 ± 0.11) 4.05 1.35 (2.19 ± 0.11) 2.70	Glabrous Non-glandular
18. <i>T. martinicai</i> Autrev. & Pellegr adax. abax.	Irregular Irregular	Undulate Undulate	16.20 (25.40 ± 0.27) 29.70 10.80 (14.75 ± 0.22) 18.90	2.70 (2.78 ± 0.10) 4.05 2.16 (2.56 ± 0.12) 2.70	Glabrous Non-glandular

TABLE 1 (Continued)

Taxa	Cell shape	Artificial cell wall pattern	Cell width (μm) m.n. (mean \pm std. error) max.	Cell wall thickness (μm) m.n. (mean \pm std. error) max.	Trichome type
19. <i>T. gigantea</i> Harms adax. abax.	Irregular	Undulate	10.80 (13.50 \pm 0.21) 18.90	1.35 (1.57 \pm 0.10) 2.70	Glabrous
	Irregular	Undulate	10.80 (15.20 \pm 0.25) 20.25	2.16 (2.61 \pm 0.08) 2.70	Glabrous
20. <i>T. megalantha</i> Harms adax. abax.	Irregular	Undulate	18.90 (23.89 \pm 0.29) 23.70	1.35 (2.12 \pm 0.13) 2.70	Glabrous
	Irregular	Undulate	10.80 (17.66 \pm 0.32) 27.00	2.16 (2.43 \pm 0.12) 2.70	Non-g. andula ^a
21. <i>T. retusa</i> Oliv. adax. abax.	Irregular ^a	Undulate	9.45 (13.69 \pm 0.22) 16.20	1.35 (2.30 \pm 0.09) 2.70	Non-g. andula ^a
	Irregular	Undulate	10.80 (12.58 \pm 0.17) 14.85	1.35 (3.56 \pm 0.19) 5.40	Non-g. andula ^a
22. <i>T. dregeana</i> Sond. adax. atax.	Irregular	Undulate	16.20 (25.11 \pm 0.30) 29.70	2.70 (3.00 \pm 0.11) 4.05	Glabrous
	Irregular	Undulate	13.50 (22.03 \pm 0.32) 29.70	4.05 (5.70 \pm 0.14) 6.75	Glabrous
23. <i>T. gillei</i> J. J. de Wilde adax. abax.	Irregular	Undulate	12.15 (13.87 \pm 0.18) 16.20	2.70 (3.22 \pm 0.14) 4.05	Glabrous
	Irregular	Undulate	8.10 (10.80 \pm 0.24) 12.15	1.35 (2.14 \pm 0.11) 2.70	Glabrous
24. <i>T. monadelpha</i> (Thonn.) J. J. de Wilde adax. abax.	Irregular	Undulate	14.85 (18.63 \pm 0.35) 25.65	2.16 (2.59 \pm 0.07) 2.70	Glabrous
	Irregular	Undulate	13.50 (18.60 \pm 0.25) 22.95	2.16 (2.62 \pm 0.04) 2.70	Non-g. andula ^a
25. <i>T. ornithohera</i> J. J. de Wilde adax. abax.	Irregular	Undulate	16.20 (24.78 \pm 0.28) 29.70	2.16 (2.58 \pm 0.12) 2.70	Non-g. andula ^a
	Irregular	Undulate	10.80 (13.65 \pm 0.25) 18.90	2.70 (2.85 \pm 0.11) 4.05	Non-g. andula ^a
26. <i>T. tessmannii</i> Harms adax. abax.	Irregular	Undulate	17.55 (23.87 \pm 0.31) 35.10	2.16 (2.57 \pm 0.09) 2.70	Non-g. andula ^a
	Irregular	Undulate	13.50 (18.78 \pm 0.27) 21.60	2.16 (2.48 \pm 0.08) 2.70	Non-g. andula ^a
27. <i>T. weinitschii</i> C. D.C. adax. abax.	Irregular	Undulate	21.60 (29.13 \pm 0.30) 35.10	2.16 (2.60 \pm 0.07) 2.70	Glabrous
	Irregular	Undulate	18.90 (23.52 \pm 0.32) 32.40	2.16 (3.00 \pm 0.12) 4.05	Non-g. andula ^a

28. <i>T. emetica</i> Vahl-L'v'y adax. abax.	Isodiametric Irregular	Straight Undulate	16.20 (19.62 ± 0.28) 25.65 10.80 (15.45 ± 0.22) 18.90	2.16 (2.61 ± 0.08) 2.70 2.16 (2.58 ± 0.07) 2.70	Non-glandular
29. <i>Eketbergia senegalensis</i> A. Juss. adax. abax.	Isodiametric Isodiametric	Straight Straight	10.80 (15.77 ± 0.24) 18.90 8.10 (12.13 ± 0.21) 14.85	1.35 (2.64 ± 0.09) 2.70 2.16 (2.46 ± 0.10) 2.70	Glabrous Glabrous
30. <i>Guarea gomeirensis</i> Harms adax. abax.	Polygonal Isodiametric	Straight Curved	16.20 (18.77 ± 0.21) 21.60 13.50 (17.11 ± 0.24) 21.60	2.16 (2.37 ± 0.09) 3.24 1.35 (1.45 ± 0.07) 2.16	Glabrous Non-glandular
31. <i>G. leonensis</i> Hutch. & Dalz. adax. abax.	Isodiametric Isodiametric	Straight Curved	8.10 (10.44 ± 0.24) 14.85 13.50 (18.21 ± 0.25) 21.60	2.16 (2.58 ± 0.07) 3.24 1.35 (1.85 ± 0.09) 2.70	Non-glandular Glabrous
32. <i>G. cedrata</i> (A. Chev.) Pellegr. ad ax. ab ax.	Isodiametric Isodiametric	Straight Straight	6.75 (10.07 ± 0.22) 13.50 10.80 (12.86 ± 0.16) 14.85	2.70 (2.85 ± 0.07) 3.24 2.16 (3.15 ± 0.12) 4.05	Non-glandular Glabrous
33. <i>G. thompsonii</i> Sprague & Hutch. adax. abax.	Isodiametric Isodiametric	Straight; Curved	10.80 (13.82 ± 0.23) 17.55 14.85 (19.04 ± 0.32) 21.60	2.16 (2.74 ± 0.08) 3.24 2.70 (2.79 ± 0.01) 3.24	Non-glandular Glabrous
34. <i>Heckendorfia staudtii</i> (Harms) Staner adax. abax.	Irregular Irregular	Undulate Undulate	13.50 (18.20 ± 0.24) 24.30 10.80 (14.88 ± 0.28) 21.60	1.35 (1.50 ± 0.08) 2.16 1.35 (1.46 ± 0.08) 2.16	Non-glandular Glabrous
35. <i>Tuiraeanthus africanaus</i> (Welw. ex C. DC.) Pellegr. adax. abax.	Isodiametric Isodiametric	Undulate Undulate	13.50 (17.71 ± 0.26) 22.95 9.45 (13.93 ± 0.24) 18.90	2.16 (2.68 ± 0.10) 4.05 2.16 (2.70 ± 0.08) 3.24	Glabrous Glabrous
36. <i>T. manni</i> Baill. adax. abax.	Irregular Irregular	Undulate Undulate	16.20 (19.58 ± 0.24) 24.30 12.15 (18.01 ± 0.23) 22.95	1.35 (2.05 ± 0.09) 2.70 2.16 (2.65 ± 0.06) 2.70	Glabrous Glabrous
37. <i>Tuiraeana leonensis</i> Keay adax. abax.	Isodiametric Isodiametric	Straight Straight	13.50 (15.77 ± 0.26) 18.90 10.80 (14.62 ± 0.28) 18.90	2.70 (3.17 ± 0.12) 4.05 2.70 (2.96 ± 0.10) 3.24	Glabrous Glabrous

TABLE 1 (Continued)

Taxa	Cell shape	Attachment wall pattern	Cell width (μm) m.n. (mean \pm s.d. error) max.	Cell wall thickness (μm) m.n. (mean \pm s.d. error) max.	Trichome type
38. <i>T. vogelii</i> Hook. f. ex Benth. adax. abax.	Iso diametric Isodiametric	Straight Straight	13.50 (16.88 \pm 0.27) 24.30 12.15 (17.66 \pm 0.22) 21.60	2.16 (2.62 \pm 0.09) 3.24 2.16 (2.66 \pm 0.08) 3.24	Non glandular Non glandular
39. <i>T. heterophylla</i> Sm. adax. abax.	Isodiametric Isodiametric	Straight Straight	12.15 (18.75 \pm 0.28) 24.30 10.80 (16.88 \pm 0.24) 21.60	2.16 (2.86 \pm 0.11) 3.24 2.70 (2.98 \pm 0.09) 4.05	Glabrous Glabrous
40. <i>T. pellegriniana</i> Kay adax. abax.	Iso diametric Isodiametric	Straight Straight	13.50 (18.78 \pm 0.29) 21.60 10.80 (12.36 \pm 0.27) 18.90	2.16 (2.86 \pm 0.10) 3.24 2.16 (2.95 \pm 0.08) 3.24	Non glandular Non glandular
41. <i>Azadirachta indica</i> A. Juss. adax. abax.	Isodiametric Isodiametric	Straight/curved Straight/curved	10.80 (15.01 \pm 0.29) 24.30 10.80 (13.96 \pm 0.26) 20.25	2.16 (2.18 \pm 0.05) 2.70 2.16 (2.25 \pm 0.06) 2.70	Glabrous Glabrous
42. <i>Melia azedarach</i> L. nn. adax. abax.	Isodiametric Isodiametric	Straight Straight	13.50 (17.55 \pm 0.28) 21.60 8.10 (15.96 \pm 0.22) 18.50	2.16 (2.44 \pm 0.07) 2.70 2.16 (2.57 \pm 0.07) 2.70	Non glandular Non glandular
43. <i>M. composita</i> J. J. de Wilde adax. abax.	Isodiametric Isodiametric	Straight Straight	13.50 (16.69 \pm 0.21) 18.90 14.85 (17.85 \pm 0.19) 20.25	2.16 (2.56 \pm 0.07) 2.70 2.16 (2.29 \pm 0.07) 2.70	Non glandular Non glandular
44. <i>Swietenia mahagoni</i> (L. nn.) Jacq. adax. abax.	Isodiametric Isodiametric	Curved Curved	13.50 (15.66 \pm 0.21) 20.25 5.40 (8.48 \pm 0.19) 10.80	2.16 (2.61 \pm 0.07) 2.70 0.81 (1.20 \pm 0.07) 1.35	Glabrous Glabrous
45. <i>S. macrophylla</i> King adax. abax.	Isodiametric Isodiametric	Curved Curved	12.15 (15.88 \pm 0.21) 18.90 8.10 (11.18 \pm 0.20) 13.50	2.16 (2.57 \pm 0.07) 2.70 0.81 (1.20 \pm 0.07) 1.35	Glabrous Glabrous
46. <i>S. humilis</i> Zucc. adax. abax.	Iso diametric Iso diametric	Curved Curved	13.50 (16.58 \pm 0.21) 20.25 5.40 (9.07 \pm 0.21) 12.15	1.35 (1.56 \pm 0.09) 2.16 1.35 (1.97 \pm 0.08) 2.16	Non glandular Glabrous

cells also vary in their thickness; the adaxial cells being generally thicker. The thinnest abaxial cells occur in *Swietenia mahagonii* ($1.20 \mu\text{m} \pm 0.07$), while the thickest are found in *Trichilia dregeana* ($5.70 \mu\text{m} \pm 0.14$). In the case of adaxial cells, *Heckeldora staudtii* has the thinnest walls ($1.50 \mu\text{m} \pm 0.08$) while the thickest are found in *Trichilia gilletii* ($3.22 \mu\text{m} \pm 0.14$) as shown in Table 1.

Stomatal complex

Four stomatal types, which are restricted to the abaxial surface, are found in all genera of the family examined (Table 2). All species of *Khaya* (Figs. 1B and 1D), *Entandrophragma* (Figs. 1F, 2B, 2D and 2E), *Pseudocedrela*, *Lovoa* (Fig. 4D), *Carapa* (Fig. 5D), *Azadirachta* (Fig. 5F), *Melia* and *Swietenia* have anomocytic stomata while the paracytic type occurs in *Trichilia* (Figs. 3B, 3D and 3F) and *Ekebergia*. The stomata of all species of *Guarea* (Fig. 4B), *Turraea* and *Turraeanthus* (Fig. 5B) are staurocytic while *Heckeldora staudtii* (Fig. 4F) is the only species with paratetracytic stomata. The size of stomata varies considerably both within and among species of the various genera. *Carapa procera* has the smallest stomata with a mean measurement of about $3.02 \times 1.43 \mu\text{m}$ while the largest stomata with a mean value of about $22.32 \times 9.45 \mu\text{m}$ are found in *Guarea glomerulata* (Fig. 4B) (Table 2). The stomatal index also varies within each genus and among the 14 genera. The lowest value of 2.99% was recorded in *Guarea cedrata* while the highest of 36% occurred in *Trichilia emetica*.

Trichomes

The presence or absence and nature of trichomes in each species of the family are summarised in Table 1. Some species, such as, *Carapa grandiflora*, *Trichilia gilgiana*, *T. dregeana*, *T. gilletii*, *Ekebergia senegalensis*, *Turraeanthus africanus*, *Turraeanthus mannii*, *Turraea leonensis*, *Turraea heterophylla*, *Azadirachta indica*, *Swietenia mahagonii* and *S. macrophylla* have totally glabrous leaves. In some of the remaining species the adaxial surface may be glabrous while the abaxial surface is sparsely hairy. Trichomes are usually more developed on the abaxial surface and along the margins. Both glandular and non-glandular trichomes occur within the family (Fig. 6). Non-

TABLE 2

Taxa	Stomatal type	Stomatal length (μ , n) min. (mean \pm std error) max.	Stomatal width (μ , n) (mean \pm std error) max.	Index (%)
1. <i>Khaya senegalensis</i>	Anomocytic	8.10 (15.18 \pm 0.22) 18.15	2.70 (2.81 \pm 0.12) 4.05	12.96
2. <i>K. grandifoliola</i>	Anomocytic	5.40 (7.52 \pm 0.17) 8.10	2.05 (2.09 \pm 0.18) 4.75	11.92
3. <i>K. anthotheca</i>	Anomocytic	6.75 (9.14 \pm 0.22) 12.15	3.05 (3.36 \pm 0.18) 5.75	18.93
4. <i>K. ivorensis</i>	Anomocytic	8.40 (9.48 \pm 0.15) 11.10	2.05 (3.44 \pm 0.13) 4.75	8.09
5. <i>Entandrophragma candollei</i>	Anomocytic	5.40 (7.25 \pm 0.19) 8.10	4.05 (5.09 \pm 0.16) 6.75	13.27
6. <i>E. utile</i>	Anomocytic	10.80 (13.77 \pm 0.22) 17.55	5.40 (7.61 \pm 0.19) 9.45	13.55
7. <i>E. angolense</i> var. <i>angolense</i>	Anomocytic	6.75 (8.28 \pm 0.18) 10.80	5.40 (6.80 \pm 0.20) 8.10	19.70
8. <i>E. angolense</i> var. <i>macrophyllum</i>	Anomocytic	8.10 (11.07 \pm 0.24) 13.50	6.75 (7.74 \pm 0.17) 9.45	20.17
9. <i>E. cylindricum</i>	Anomocytic	6.75 (8.96 \pm 0.20) 10.80	4.05 (5.94 \pm 0.21) 8.10	19.84
10. <i>E. congoense</i>	Anomocytic	8.10 (12.24 \pm 0.31) 20.25	6.75 (8.24 \pm 0.18) 9.45	10.70
11. <i>Pseudosperma kotschy</i>	Anomocytic	8.10 (10.82 \pm 0.27) 17.55	5.40 (6.68 \pm 0.15) 8.10	27.27
12. <i>Lovoa trichilioides</i>	Anomocytic	6.75 (9.50 \pm 0.24) 12.15	4.05 (5.13 \pm 0.20) 8.10	12.05
13. <i>Carapa grandiflora</i>	Anomocytic	4.05 (6.39 \pm 0.21) 8.10	1.35 (2.79 \pm 0.16) 4.05	15.97
14. <i>C. procera</i>	Anomocytic	2.70 (3.02 \pm 0.14) 4.05	1.35 (1.43 \pm 0.11) 2.70	13.52
15. <i>Trichilia prieureana</i> subsp. <i>prieureana</i>	Paracytic	5.40 (6.84 \pm 0.21) 8.10	4.05 (5.54 \pm 0.19) 6.75	9.43
16. <i>T. prieureana</i> subsp. <i>vermoesenii</i>	Paracytic	5.40 (7.02 \pm 0.23) 9.45	5.40 (5.76 \pm 0.14) 6.75	7.41
17. <i>T. rubescens</i>	Paracytic	13.50 (16.42 \pm 0.25) 18.90	6.75 (8.26 \pm 0.24) 10.80	8.05
18. <i>T. mariaeana</i>	Paracytic	13.50 (17.92 \pm 0.29) 27.00	6.75 (7.96 \pm 0.24) 10.80	6.20
19. <i>T. glabra</i>	Paracytic	12.15 (13.50 \pm 0.18) 14.85	6.75 (7.74 \pm 0.14) 8.10	5.32
20. <i>T. megistophylla</i>	Paracytic	14.85 (18.50 \pm 0.31) 22.95	5.40 (7.52 \pm 0.21) 9.48	12.77
21. <i>T. retusa</i>	Paracytic	12.15 (14.36 \pm 0.23) 16.20	6.75 (9.27 \pm 0.25) 12.15	8.25

22. <i>T. dregeana</i>	Paracytic	13.50 (20.70 ± 0.40) 27.00	5.40 (8.28 ± 0.25) 10.80	12.12
23. <i>T. gilletii</i>	Paracytic	13.50 (15.21 ± 0.22) 18.90	5.40 (8.44 ± 0.18) 10.80	8.33
24. <i>T. mcnade pha</i>	Paracytic	14.85 (18.36 ± 0.30) 21.60	5.40 (8.24 ± 0.30) 10.80	9.43
25. <i>T. ornithohera</i>	Paracytic	13.50 (15.36 ± 0.21) 18.90	6.75 (7.43 ± 0.26) 10.80	10.23
26. <i>T. tessmannii</i>	Paracytic	16.20 (19.62 ± 0.26) 21.60	6.75 (8.15 ± 0.18) 9.45	27.59
27. <i>T. weiwitschii</i>	Paracytic	18.90 (22.28 ± 0.29) 27.00	5.40 (7.34 ± 0.23) 9.45	23.91
28. <i>T. emetica</i>	Paracytic	16.20 (20.34 ± 0.33) 22.95	5.40 (7.43 ± 0.23) 10.80	36.00
29. <i>Ekebergia senegalensis</i>	Paracytic	12.15 (14.98 ± 0.19) 16.20	5.40 (7.38 ± 0.24) 10.80	19.40
30. <i>Guarea glomerulata</i>	Staurocytic	21.60 (22.32 ± 0.20) 24.30	8.10 (9.45 ± 0.21) 10.80	11.39
31. <i>G. leonensis</i>	Staurocytic	10.80 (16.28 ± 0.27) 17.55	4.05 (5.18 ± 0.20) 5.40	9.23
32. <i>G. cedrata</i>	Staurocytic	10.80 (14.22 ± 0.28) 17.55	4.05 (4.91 ± 0.15) 5.40	2.99
33. <i>G. thompsonii</i>	Staurocytic	12.15 (14.22 ± 0.23) 16.20	4.05 (5.22 ± 0.16) 6.75	9.35
34. <i>Heckeldora staudtii</i>	Paratetracytic	10.80 (13.32 ± 0.26) 16.20	6.75 (7.34 ± 0.15) 8.10	8.76
35. <i>Turraeanthus africanus</i>	Staurocytic	16.20 (18.95 ± 0.27) 21.60	5.40 (6.71 ± 0.21) 8.10	3.79
36. <i>T. manii</i>	Staurocytic	10.80 (12.24 ± 0.21) 13.50	2.70 (4.28 ± 0.19) 5.40	3.29
37. <i>Turraea leonensis</i>	Staurocytic	10.80 (12.36 ± 0.32) 13.50	5.40 (5.86 ± 0.18) 8.10	5.77
38. <i>T. vogelii</i>	Staurocytic	12.15 (14.94 ± 0.27) 18.90	5.40 (7.38 ± 0.20) 9.45	4.57
39. <i>T. heterophylla</i>	Staurocytic	16.20 (18.98 ± 0.30) 21.60	5.40 (7.67 ± 0.24) 10.80	6.39
40. <i>T. pellegriniana</i>	Staurocytic	10.80 (12.58 ± 0.21) 13.50	5.40 (7.58 ± 0.22) 10.80	7.26
41. <i>Azaadirachta indica</i>	Anomocytic	9.45 (11.39 ± 0.21) 13.50	4.05 (5.94 ± 0.21) 8.10	7.47
42. <i>Melia azedarach</i>	Anomocytic	9.45 (11.66 ± 0.24) 13.50	4.05 (6.39 ± 0.24) 9.45	13.47
43. <i>M. composita</i>	Anomocytic	13.50 (18.32 ± 0.31) 21.60	2.70 (4.01 ± 0.18) 5.40	6.91
44. <i>Sweetenia mahagoni</i>	Anomocytic	9.45 (10.44 ± 0.14) 10.80	2.70 (3.02 ± 0.14) 4.05	13.08
45. <i>S. macrophylla</i>	Anomocytic	8.10 (10.89 ± 0.25) 13.50	6.75 (8.19 ± 0.18) 9.45	10.00
46. <i>S. humilis</i>	Anomocytic	6.75 (9.05 ± 0.25) 12.15	4.05 (5.34 ± 0.31) 6.75	13.57

glandular hairs are unicellular with either a long or short gradual taper as in *Pseudocederela kotschyti* (Fig. 6A), *Khaya grandifoliola* (Fig. 6B), *Khaya anthotheca* (Fig. 6C), and *Trichilia rubescens* (Fig. 6F). The hair may be falcate, e. g. *Guarea glomerulata* (Fig. 6H) or cylindrical in *Trichilia retusa* (Fig. 6G). These unicellular hairs either possess swollen basal cells or are seated on pedestals of several epidermal cells. In *K. anthotheca* the trichome base is surrounded by smaller isodiometric cells which are quite distinct from other epidermal cells (Fig. 6C).

Entandrophragma is the only genus of the family in which glandular trichomes are found in some of its species, e. g. *Entandrophragma angolense* (Fig. 6I), *E. cylindricum* (Fig. 6J) and *E. candollei*, which may possess both glandular and non-glandular hairs on the same surface (Table 1). Within the family, the trichome cover of individual leaves commonly varies in size and density.

DICUSSION

METCALFE & CHALK (1950) described the stomata of members of the family Meliaceae as ranunculaceous (anomocytic), in which the guard cells are surrounded by a certain number of cells that do not differ in size and shape from other epidermal cells. This investigation has, however, revealed that there are least four different types of stomata in the family. The high degree of constancy in the stomatal types within a given genus and among the genera of the family suggests that they have considerable diagnostic value. It is notable that genera having the same stomatal type generally have similar morphological characteristics. *Khaya*, *Entandrophragma*, *Pseudocedrela*, *Lovoa* and *Carapa* show close affinity in their leaf type, floral structure and fruit characters and they all possess anomocytic stomata. The ovary, anther and fruit of *Trichilia* and *Ekebergia*, which possess paracytic stomata, are also morphologically very similar. The stomatal complex is especially valuable in the preliminary identification of small leaf fragments (STACE, 1984). The stomatal index is highly variable and there is considerable overlap among the various genera. Within each genus, the stomatal indices may be taxonomically important. This is also true of the size of the stomata within each genus.

The highly variable nature of the epidermal cell shape and size and anticlinal wall patterns on both adaxial and abaxial surfaces of the leaf renders them less valuable in the separation of the various genera. These characters are, however, quite useful for the separation of the species within each genus. Different kinds of trichomes ranging from simple, unicellular type to the stellate, peltate scales and glandular trichomes have previously been reported for the family (METCALFE & CHALK, 1950). *Entandrophragma* is the only genus with glandular hairs which are always multicellular and variously shaped. Simple unicellular hairs, which are widespread in the other genera, are also found in some species of *Entandrophragma* and consequently reduces the diagnostic value of this character. Several functions, including adaptation to the physical environment e. g. water economy; biotic interaction and other internal physiological controls, have been suggested for trichomes and indumenta (JOHNSON, 1975). However, the ecological and evolutionary significance of these apparently simple features is not fully understood because their occurrence is not totally accepted as just an adaptive adjustment to a particular environmental stress.

The data on epidermal features presented here provide, to a reasonable extent, some valuable reference information for the identification and general characterisation of the various taxa, most especially when the plant materials available are sterile or fragmentary. Moreover, some of these micromorphological characters are valuable in making primary taxonomic decisions since they are known to be little affected by the environmental conditions in which the plants grow.

ACKNOWLEDGMENTS

The authors wish to thank the Directors and Curators of the herbaria in which specimens were examined. We are also grateful to Dr. M. G. OGBE for allowing us to use his Photomicroscope and the University of Lagos Development Committee for the award of a Research Grant No. UL 37/380 to the senior author.

REFERENCES

- DALZIEL, J. M.
- 1937 *The useful plants of West Tropical Africa*. Crown Agents for Overseas Govt., London.
- DATTA, P. C. & SAMANTA, P.
- 1977 Cytotaxonomy of Meliaceae. *Cytologia* (Tokyo) **42**(2): 197-208.
- HEYWOOD, V. H. (Ed.)
- 1978 *Flowering plants of the world*. Oxford University Press, London.
- HOLMGREN, P. K.; KEUKEN, W. & SCHOFIELD, E. K.
- 1981 *Index Herbariorum. Part I. The Herbaria of the World*. Edition 7 (Regnum Vegetabile, 106), Hague.
- HUTCHINSON, J. & DALZIEL, J. M.
- 1954 *Flora of West Tropical Africa*. Vol. I, Part 2. Crown Agents for Overseas Govt., London.
- JOHNSON, H. B.
- 1975 Plant pubescence: an ecological perspective. *Bot. Rev.* **41**: 233-258.
- LEPROY, J.
- 1976 Essays on the syncretic taxonomy. I. Study of the Meliaceae of Madagascar. *Adansonia* **16**(2): 167-204.
- MEHRA, P. N.; SAREEN, T. S. & KHOSLA, P. K.
- 1972 Cytological studies on Himalayan Meliaceae. *J. Arnold Arbor. Harv. Univ.* **53**(4): 558-568.
- METCALFE, C. R. & CHALK, L.
- 1950 *Anatomy of the Dicotyledons*. Vol. I and II. Clarendon Press, Oxford.
- MURTY, Y. S. & GUPTA, S.
- 1978 Morphological studies in Meliaceae: II. A reinvestigation of floral anatomy of members of Swietenieae and Trichilieae. *Proc. Indian Acad. Sci. Sect. B.* **87**(2): 55-64.
- OLOWOKUDEJO, J. D. & NYANANYO, B. L.
- 1990 Taxonomy of medicinal plants. I. Epidermal morphology of the genus *Khaya* (Meliaceae) in West Africa. *Feddes Repertorium*. **101**: 401-407.
- OLOWOKUDEJO, J. D. & PEREIRA-SHETEOLU, O.
- 1988 The taxonomic value of epidermal characters in the genus *Ocimum* L. (Lamiaceae). *Phytomorphology* **38**(2): 147-158.
- PENNINGTON, T. D. & STYLES, B. T.
- 1975 A generic monograph of the Meliaceae. *Blumea* **22**(3): 419-540.
- ROOMI, M. W. & ATIQUIDDIN, M.
- 1977 Observations of the repellency of «Neem» plant, *Melia azedarach* L., on some stored grain pests from Pakistan. *Z. Angew. Entol.* **84**(2): 124-129.
- ROTH, I.
- 1971 Anatomical structure of the cortex of some Venezuelan species of arboreal Meliaceae. *Acta Bot. Venez.* **6**(1-4): 239-259.
- SALISBURY, E. J.
- 1927 On the causes and ecological significance of stomatal frequency, with special reference to the woodland flora. *Phil. Trans. R. Soc. 216B*: 1065.

STACE C. A.

- 1984 The taxonomic importance of the leaf surface. In: *Current Concepts of Plant Taxonomy* V. H. Hywood and D. M. Moore, eds). Academic Press, London.

the USA and the UK. The main difference between the two countries is that the USA has a more diversified economy, while the UK's economy is more concentrated in the service sector.

1.1.

1.1.1. The US economy

The US economy is one of the largest in the world, with a gross domestic product (GDP) of approximately \$19 trillion.

The US economy is characterized by a high level of technological development and a high level of industrialization.

The US economy is also characterized by a high level of financial development and a high level of financial stability.

The US economy is also characterized by a high level of labor productivity and a high level of labor force participation.

The US economy is also characterized by a high level of investment in infrastructure and a high level of investment in research and development.

The US economy is also characterized by a high level of exports and imports and a high level of international trade.

The US economy is also characterized by a high level of government regulation and a high level of government intervention in the economy.

The US economy is also characterized by a high level of social welfare and a high level of social security.

The US economy is also characterized by a high level of environmental protection and a high level of environmental regulation.

The US economy is also characterized by a high level of education and a high level of educational attainment.

The US economy is also characterized by a high level of health care and a high level of medical care.

The US economy is also characterized by a high level of technology and a high level of technological development.

The US economy is also characterized by a high level of innovation and a high level of technological innovation.

The US economy is also characterized by a high level of entrepreneurship and a high level of entrepreneurial activity.

The US economy is also characterized by a high level of financial markets and a high level of financial market development.

The US economy is also characterized by a high level of labor markets and a high level of labor market development.

The US economy is also characterized by a high level of investment markets and a high level of investment market development.

The US economy is also characterized by a high level of export markets and a high level of export market development.

The US economy is also characterized by a high level of import markets and a high level of import market development.

The US economy is also characterized by a high level of government regulation and a high level of government intervention in the economy.

The US economy is also characterized by a high level of social welfare and a high level of social security.

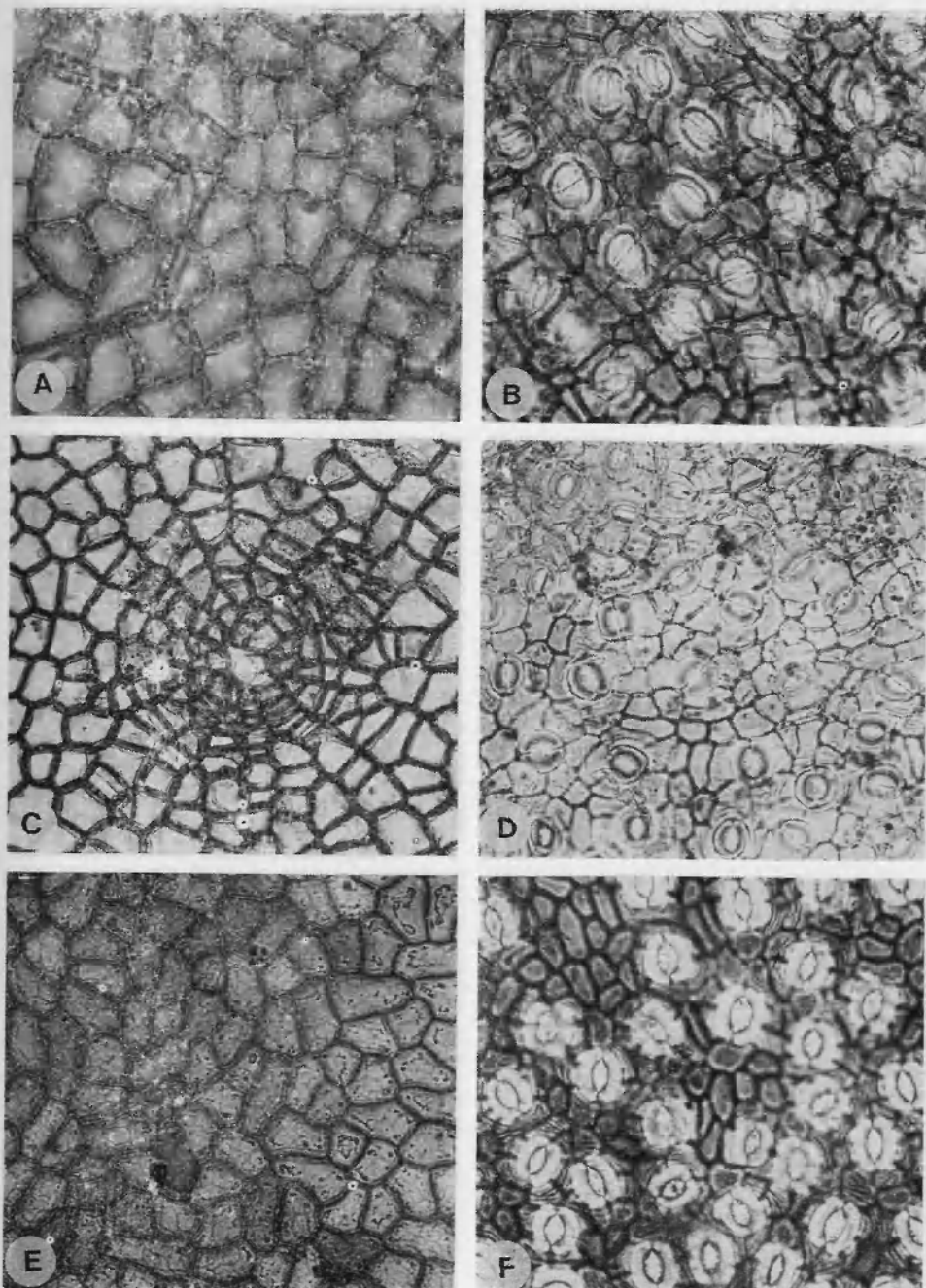


Fig. 1.—Photomicrographs of leaf epidermal features of *Khaya* and *Entandrophragma*: (A) *Khaya senegalensis*, adaxial surface. (B) *Khaya senegalensis*, abaxial surface with anomocytic stomata. (C) *Khaya anthotheca*, adaxial surface showing trichome base with radiating epidermal cells. (D) *Khaya anthotheca*, abaxial surface showing anomocytic stomata. (E) *Entandrophragma utile*, adaxial surface. (F) *Entandrophragma utile*, abaxial surface with anomocytic stomata.

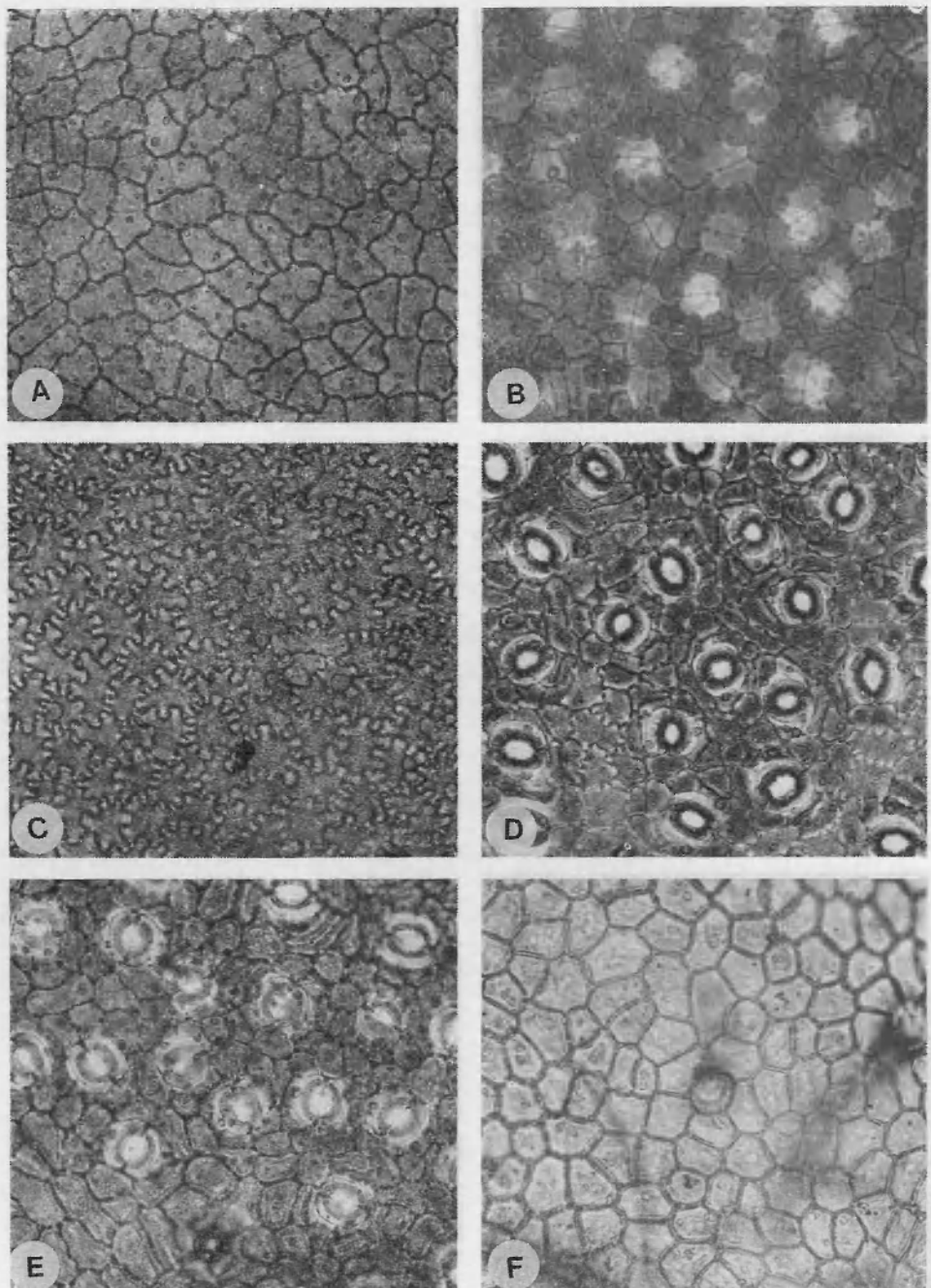


Fig. 2.—Photomicrographs of leaf epidermal features of *Entandrophragma* and *Pseudocedrela*. (A) *Entandrophragma cylindricum*, adaxial surface with curved anticlinal walls. (B) *Entandrophragma cylindricum*, abaxial surface with anomocytic stomata. (C) *Entandrophragma congoense*, adaxial surface with undulate anticlinal walls. (D) *Entandrophragma congoense*, abaxial surface with anomocytic stomata. (E) *Entandrophragma angolense* var. *macrophyllum*, abaxial surface with anomocytic stomata. (F) *Pseudocedrela kotschy*, adaxial view.

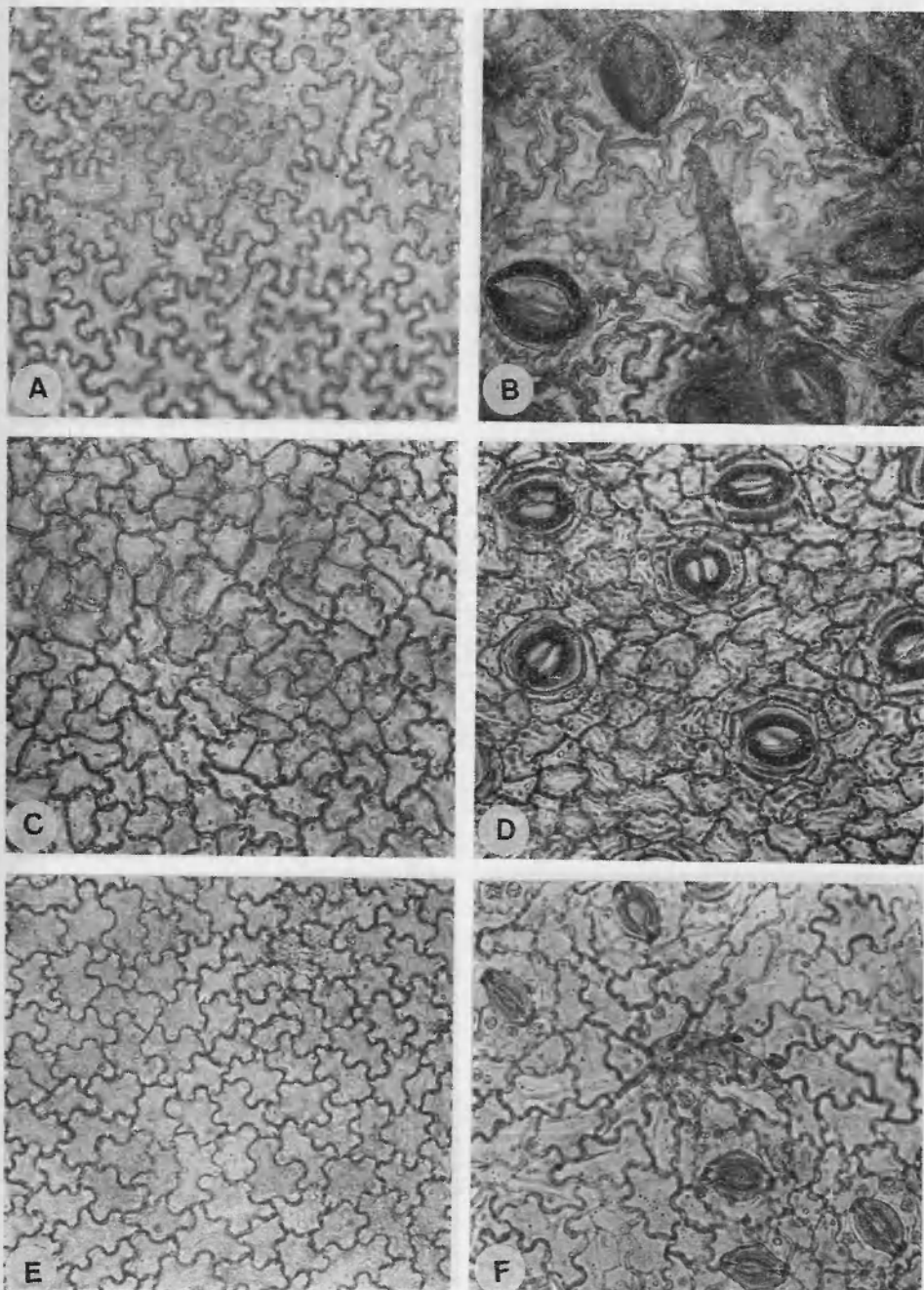


Fig. 3.—Photomicrographs of leaf epidermal surfaces of *Trichilia*. (A) *Trichilia megalantha*, adaxial cells with undulate anticlinal walls. (B) *T. megalantha*, abaxial surface showing paracytic stomata. (C) *T. retusa*, adaxial surface. (D) *T. retusa*, abaxial view showing paracytic stomata. (E) *T. monadelpha*, adaxial cells with undulate walls. (F) *T. monadelpha*, abaxial surface with paracytic stomata.

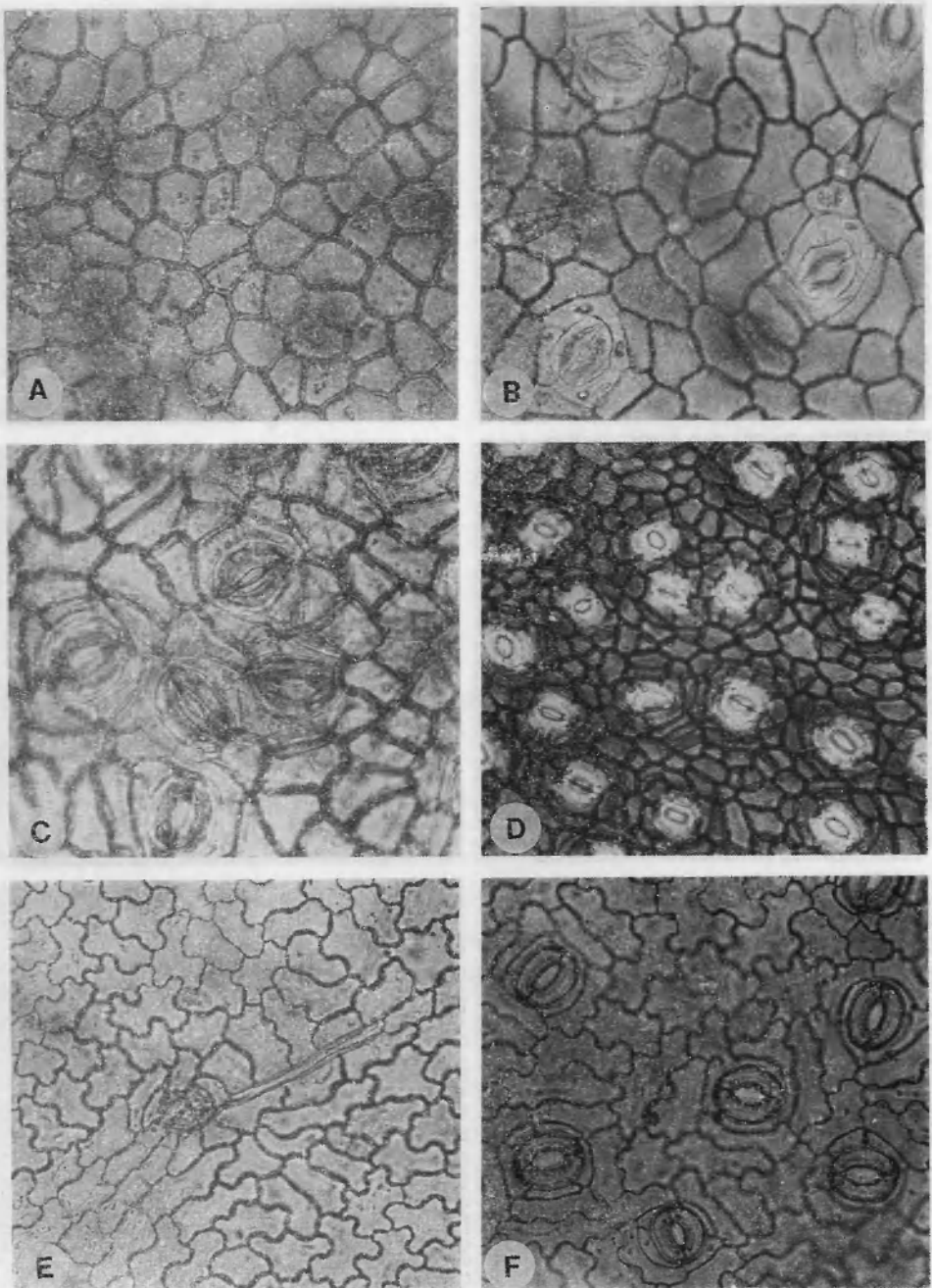
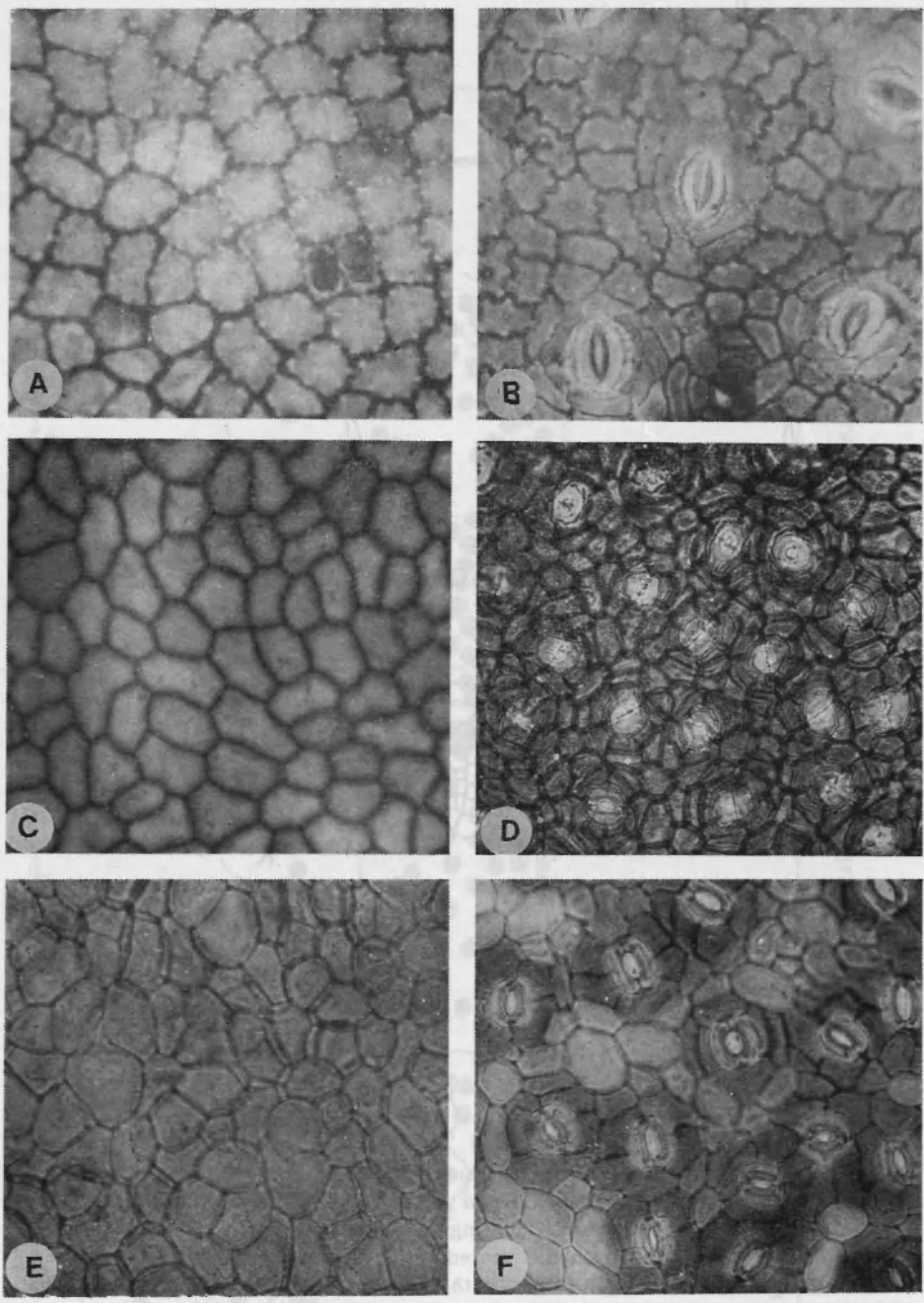


Fig. 4.—Photomicrographs of leaf epidermal features of *Guarea*, *Lovoa* and *Heckeldora*. (A) *Guarea glomerulata*, adaxial surface with straight anticlinal cell walls. (B) *Guarea glomerulata*, abaxial surface showing staurocytic stomata and simple, unicellular trichomes. (C) *Guarea thompsonii*, abaxial surface with staurocytic stomata. (D) *Lovoa trichilioides*, abaxial surface with anomocytic stomata. (E) *Heckeldora staudtii*, adaxial cells with undulate walls. (F) *Heckeldora staudtii*, abaxial surface showing paratetracytic stomata.



30 μ m

Fig. 5.—Photomicrographs of leaf epidermal surfaces of Meliaceae species. (A) *Turraeanthus africanus*, adaxial view with undulate cell walls. (B) *Turraeanthus africanus*, abaxial surface with undulate walls and staurocytic stomata. (C) *Swiertia humilis*, adaxial surface. (D) *Carapa grandiflora*, abaxial surface showing anomocytic stomata. (E) *Azadirachta indica*, adaxial view. (F) *Azadirachta indica*, abaxial surface with anomocytic stomata.

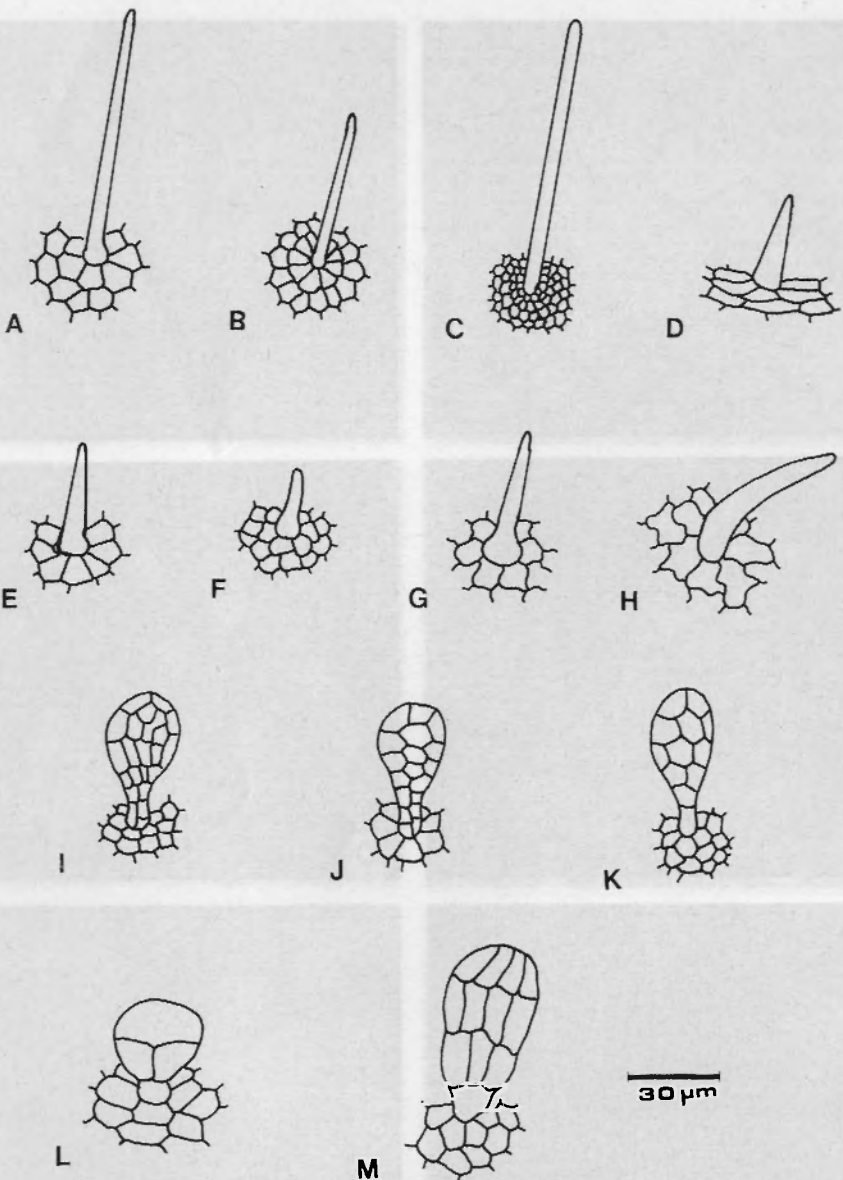


Fig. 6.—Types of trichomes in the Family Meliaceae. (A) Simple unicellular, tapering trichome e. g. *Pseudocedrela kotschy*. (B) Simple unicellular trichome seated on a pedestal of radiating basal cells e. g. *Khaya grandifoliola*. (C) Simple unicellular trichome seated on a pedestal of relatively smaller distinct basal cells e. g. *Khaya anthotheca*. (D) Simple unicellular hair found on veins e. g. *Entandrophragma candollei*. (E & F) Simple unicellular trichome with a short taper e. g. *Trichilia rubescens*. (G) Simple unicellular hair with an enlarged base e. g. *Trichilia retusa*. (H) Simple unicellular falcate hair in *Guarea glomerulata*. (I) Glandular trichome e. g. *Entandrophragma angolense* var. *macrophyllum*. (J) Glandular multicellular trichome with radiating basal cells e. g. *Entandrophragma cylindricum*. (K) Glandular multicellular hair found in *Entandrophragma candollei*. (L) Sessile glandular trichome of *Entandrophragma angolense* var. *macrophyllum*. (M) Bulbous glandular trichome of *Entandrophragma angolense* var. *macrophyllum*.

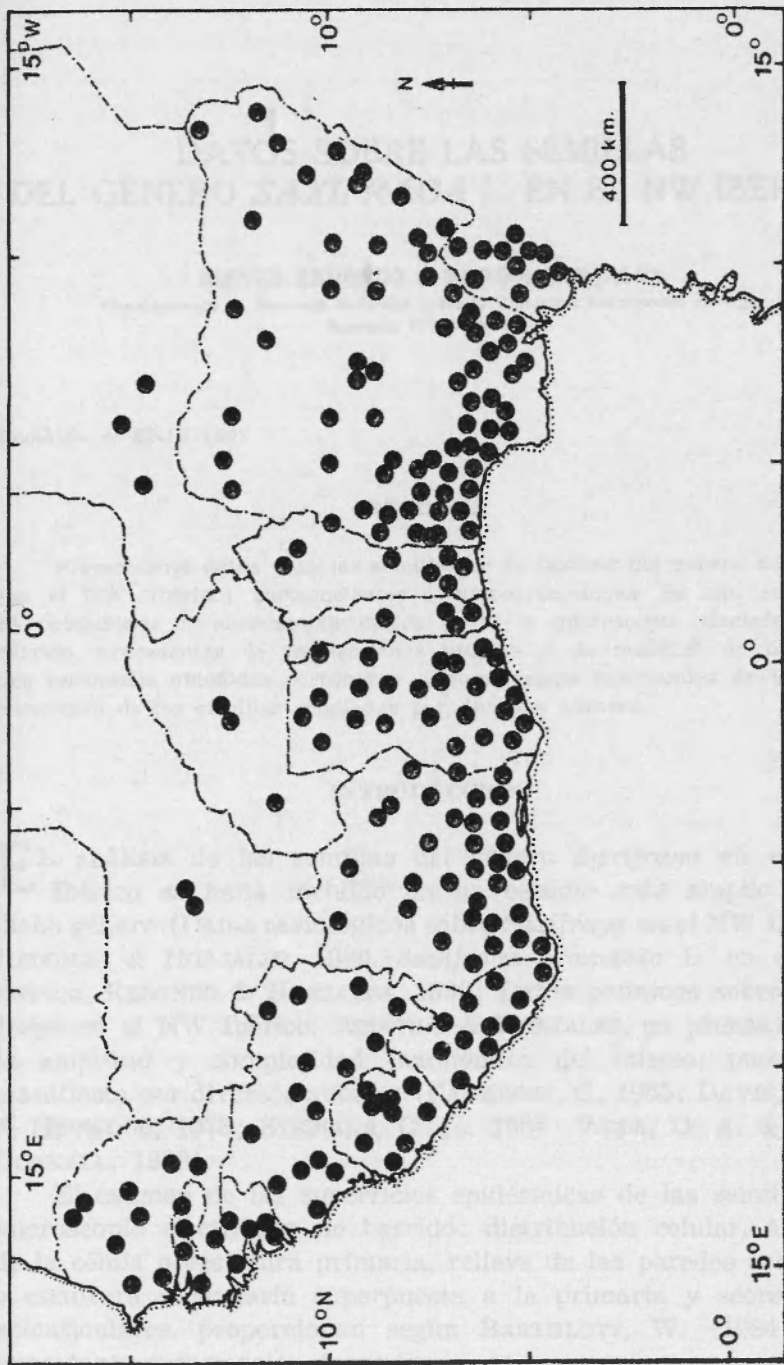


FIG. 7. — Geographic distribution of Meliaceae species in West Africa.

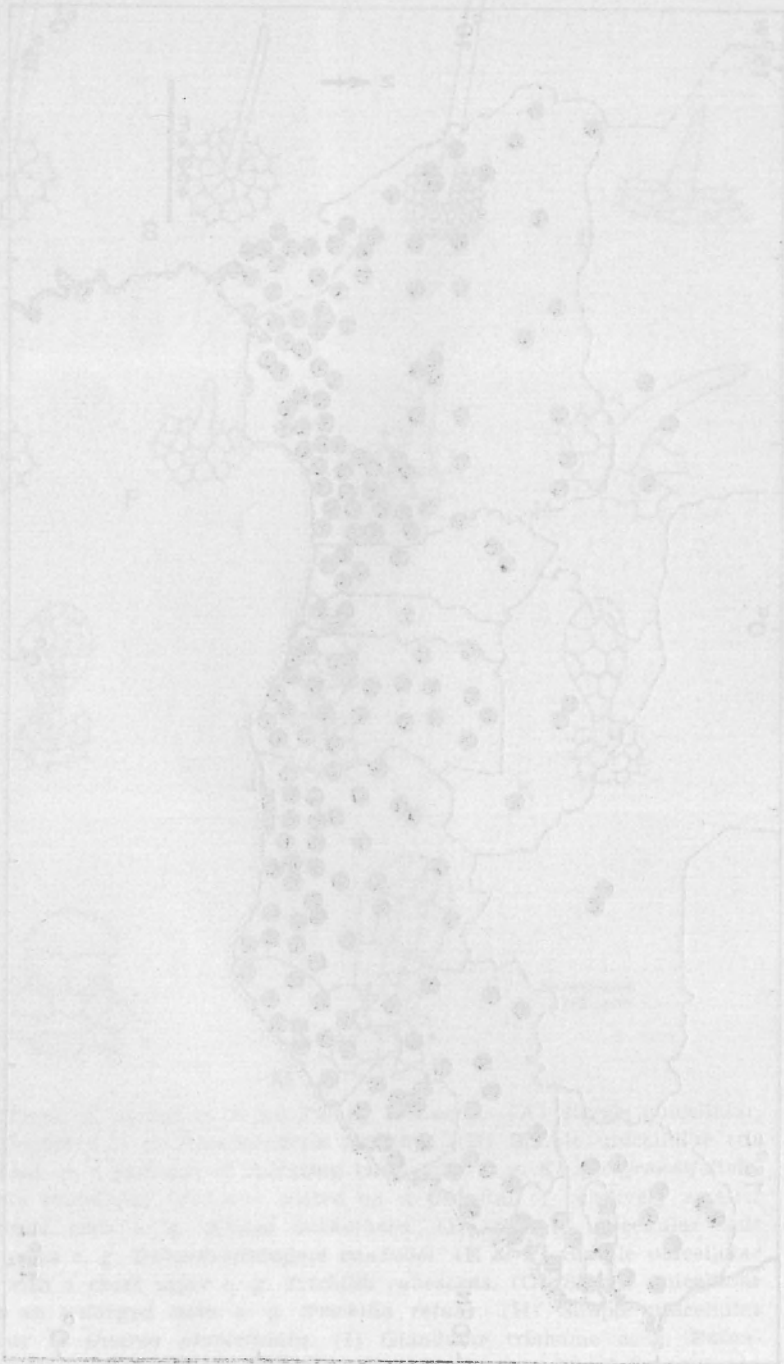


Fig. 1. Drawing of a plant specimen, showing its stem, leaves, and clusters of small flowers or fruits. The drawing is enclosed in a rectangular border.

DATOS SOBRE LAS SEMILLAS DEL GÉNERO *SAXIFRAGA* L. EN EL NW IBÉRICO

NIEVES REDONDO & MARINA HORJALES

Departamento de Recursos Naturales y Medio Ambiente, Universidad de Vigo,
Apartado 874, 36200 Vigo

Recibido el 25-IX-1991.

RESUMEN

Presentamos datos para las semillas de 12 taxones del género *Saxifraga* (en el NW. Ibérico) pertenecientes a cuatro secciones. Se han estudiado 20 poblaciones a microscopía óptica y 13 a microscopía electrónica de barrido, procedentes de recolecciones propias y de material de herbario. Los resultados obtenidos corroboran la importancia taxonómica de la ornamentación de las semillas señaladas por diversos autores.

INTRODUCCION

EL análisis de las semillas del género *Saxifraga* en el NW Ibérico se halla incluido en un estudio más amplio sobre dicho género (Datos cariológicos sobre *Saxifraga* en el NW Ibérico, REDONDO & HORJALES, 1989, *Saxifraga granulata* L. en el NW Ibérico, REDONDO & HORJALES, 1990; Datos polínicos sobre *Saxifraga* en el NW Ibérico, REDONDO & HORJALES, en prensa) dada la amplitud y complejidad taxonómica del mismo, puesta de manifiesto por diversos autores (FAVARGER, C., 1965; DAVIS, D. H. & HEYWOOD, 1973; STEBBINS, G. L., 1984; WEBB, D. A. & R. J. GORNALL, 1989).

El examen de las superficies epidérmicas de las semillas, al microscopio electrónico de barrido: distribución celular, aspecto de la célula o escultura primaria, relieve de las paredes celulares o escultura secundaria superpuesta a la primaria y secreciones epicuticulares, proporcionan según BARTHLOTT, W. (1984) una importante información taxonómica.

En Saxifragaceae, GORNALL, R. J. & BRUCE A. BOOHM (1985) en su monografía sobre *Boykinia*, *Peltoboykinia*, *Bolandra* y *Suksdorffia*, encuentran que la ornamentación de la testa tiene un alto valor taxonómico a nivel genérico, seccional e incluso separando especies, encontrando muy poca variación infraespecífica. En este sentido, CONOLLY (1972) en *Saxifraga*, aunque encuentra algunos taxones como *S. oppositifolia* y *S. rivularis*, en los que la superficie de las semillas varía considerablemente, no sólo en las distintas regiones sino también dentro de una misma localidad, encuentra otras como *S. stellaris*, *S. rosaceae*, *S. hypnoides*, *S. granulata* y *S. tridactylites* bastante uniformes incluso en distintas regiones.

J. ERNST KRACH (1976) hace un estudio de 108 taxones de Saxifragaceae, de las que 11 pertenecen al género *Saxifraga*. Según este autor, el género *Saxifraga*, aunque amplio en extensión es homogéneo en cuanto a las estructuras seminales y embrionarias. Sin embargo, opina junto con CONOLLY (1972) que la estructura de la epidermis externa de la cubierta seminal se podría usar para delimitar secciones, cuando se extienda la investigación a un número mayor de especies, con el mismo éxito que los tipos de polen de FERGUSON & WEBB (1970). HUBBER (1963), así como WEBB & GORNALL (1989) dan una descripción muy general de cada especie.

En nuestra Península sólo tenemos noticia de los estudios realizados en este género por P. VARGAS & M. LUCENO (1988) sobre 5 taxones de la section *Dactyloides* [sect. *Granulata* subsect. *triplinervium* (Gaudin) GORNALL, 1988 (Eudactyloide ENGLER & IRMSCHER, 1916-1919) serie Cerathophyllae (Haw.) S. PAWL, 1966] y por FERNÁNDEZ ARECES *et al.* (1988) sobre 17 taxones de la sect. *Dactyloides* (sect. *Granulatae*, subsect. *Triplinervium* (Gaudin) GORNALL, 1988 (*Eudactyloide* ENGLER & IRMSCHER, 1916-1919) series *Cerathophyllae* (Haw.) S. PAWL, 1966 y *Gemmifera* (Willk.) S. PAWL, 1966] en las que dichos autores encuentran diferencias en la ornamentación a nivel específico.

MATERIAL Y MÉTODOS

Hemos utilizado tanto material procedente de recolecciones propias, como de los herbarios MA, JACA, COI & B. Hemos estudiado un total de 12 poblaciones correspondientes a otros

tantos taxones a M. E. B. y 19 poblaciones correspondentes a las secciones *Micranthes* y *Granulatae* a M. O. en las que se indica cuales son los caracteres con valor diagnóstico y la resolución que aporta el M. O.

En cuanto a la terminología seguimos a FONT QUER, P. (1973) & SAENZ DE RIVAS (1978).

Sect. ***Micranthes*** (Haw.) D. Don (***Boraphilia*** Engler)

Sexifraga clusii Gouan subsp. ***clusii***

Hemos estudiado a M. O. S22: Hospital de Gistaín, Huesca MA 326911 y S17: Huesca, Llano de Tabernas JACA 585570, y a M. E. B. S102: Hospital de Gistaín MA 326911.

Presenta semillas de $0,75 \times 0,35$ mm, con macropapilas ensanchadas en la base, midiendo de $25-30 \mu\text{m}$ de largo $\times 14 \mu\text{m}$ de ancho en la base y unas $10 \mu\text{m}$ en el ápice, ordenadas en filas de 10 a 14, formando costillas.

Como escultura secundaria presenta micropapilas verrucosas redondeadas de $4-5 \mu\text{m}$ de diámetro que sobre las macropapilas son en general alargadas ($1,5 \times 4 \mu\text{m}$) y más densas. Entre las micropapilas se observan gránulos grandes de hasta $0,4 \mu\text{m}$, no muy abundantes (Lám. I, fotos 4, 5 y 6).

Entre las macropapilas hay un surco y en éste, en la base de las macropapilas (no observable a M. O. pero sí a M. E. B.) pequeñas estrías transversales.

S. clusii Gouan subsp. ***lepisigmigena*** (Planellas) D. A. Webb

Hemos estudiado las poblaciones S13 Redondela, S14 Ancares, Sorbeira y S15 Montefurado a M. O. y a M. E. B. S91 Pazos.

Las semillas son un poco menores que en los demás taxones estudiados en esta sección: $0,65 \times 0,33$ mm.

Presenta macropapilas de $30-36 \times 16-17 \mu\text{m}$, entre las macropapilas se observa un surco con una acanaladura longitudinal doble que parece continuar por el borde de las macropapilas. A M. E. B. se aprecian tambien unas estrias transversales muy finas y poco marcadas que parecen continuarse entre las macropapilas y por el margen de éstas.

Como escultura secundaria presenta micropapilas verrucosas redondeadas de $3-6 \mu\text{m}$ de diámetro que sobre las macropapilas

se hacen alargadas, de menos de $1\text{ }\mu\text{m}$ de ancho por 2-3 de largo (Lám. I, fotos 1, 2 y 3).

La densidad de las micropapilas es mayor sobre las macropapilas que en la base de la célula.

A M. O. no se aprecian gránulos entre las micropapilas, pero sí a M. E. B., muy pequeños.

Saxifraga stellaris L.

Hemos estudiado a M. O. la población S18: Panticosa, Huesca JACA 108781 y a M. E. B. S105 de la misma localidad.

Presenta semillas de $0,75 \times 0,4$ mm, con macropapilas de 15-20 μm de longitud por 12-15 μm de ancho, un surco entre las macropapilas en el que no se observa acanaladura longitudinal. Con estrías transversales marcadísimas a lo largo de todo el surco, de hasta $0,20\text{ }\mu\text{m}$, bien visibles a M. O.

Micropapilas verrucosas más o menos redondeadas y de tamaño más o menos uniforme ($0,5-1\text{ }\mu\text{m}$ de diámetro) con una densidad menor sobre las macropapilas (Lám. II, fotos 1, 2 y 3).

Aunque el tamaño sí coincide con el señalado por WEBB & GORNALL (loc. cit.), no observamos las papilas aplastadas y ensanchadas en la base que él describe.

Saxifraga paui Merino

Hemos estudiado a M. O. S11 y S12 correspondientes a la localidad clásica: Lugo, Ancares, Fuente de María González y S16 Pía Páxaro, Courel y a M. E. B. S141 de Ancares Fuente de María González.

En S11 y S12 solamente hemos encontrado entre un 10 y un 20% de semillas viables (en nuestro estudio sobre el polen, en prensa) ya señalabamos la presencia de polen estéril en este taxón). En S16 hemos encontrado hasta un 50% de semillas viables.

Tienen un tamaño de $0,80 \times 0,45$ mm, presenta macropapilas de 30-32 μm de longitud \times 15-16 μm de ancho, separadas por un surco en el que se observa una acanaladura longitudinal y estrías transversales muy claras de $1,5-1,8\text{ }\mu\text{m}$.

Micropapilas verrucosas en la parte basal, de $2-3\text{ }\mu\text{m}$ de diámetro y que sobre las macropapilas adquieren forma de clava

TABLA I

	<i>S. elatii</i> Subsp. <i>elatii</i>	<i>S. elatii</i> subsp. <i>leptosigma</i>	<i>S. stellaris</i>	<i>S. paai</i>
Macropapillas	A de grazándose de la base al ápice 25-30 μm ; long \times 14 μm en la base - 10 μm en el ápice.	30-36 μm \times 16-17 μm Sección oval-elipsoidal. Clíntrica.	15-20 μm long \times 12-15 anch.	30-32 \times 16 μm
Micropapillas	Verrucosas redondeadas de 4.5 μm Ø, sobre macropapillas verrucosas alargadas 15 \times 4 μm .	Verrucosas redondadas 3-6 μm Ø en la base, verrucosas alargadas sobre macropapillas (1 \times 2.3 μm).	Verrucosas más o menos redondeadas y uniformes 0.5-1 μm Ø.	Verrucosas redondeadas en la base 2.3 μm Ø, en forma de clava o verrucosas sobre macropapilla.
Densidad micropapillas	Muy abundantes sobre la base, mayor densidad sobre las macropapillas.	Abundantes en la base, menor densidad sobre macropapillas.	A abundantes en la base sobre las macropapillas approx. la mitad.	
Gránulos	Muy grandes (hasta 0.4 μm), no muy abundantes.	No visibles a M. O., a M. E. B. muy pocos.	Grandes de hasta 0.20 μm entre macropapillas	De unos 0.25 μm .
Acanaladura longitudinal	Un surco entre macropapillas.	Una acanaladura doble entre macropapillas que parece que se continúa por el borde de éstas.	No se observa.	Una acanaladura en el surco.
Estrias transversales	No se ven a M. O.; a M. E. B sólo en la base de las macropapillas.	Finas, poco marcadas se continúan entre macropapillas y en los márgenes de éstas.	Entre macropapillas y a lo largo de todo el suero, macadismas y bien visibles a M. O.	Muy caras, hasta 1.5-1.8 μm ancho
Tamaño semillas	0.754 \times 0.35 mm.	0.65 \times 0.33 mm.	0.733 \times 0.33 mm.	0.79 \times 0.45 mm.

o báculo, aunque hay alguna tambien verrucosa, y parece que se van haciendo más densas a medida que nos acercamos al ápice de las macropapilas. Gránulos de unos $0,25 \mu\text{m}$ entre las macropapilas (Lám. II, fotos 4, 5 y 6).

Sect. **Gymnopera** D. Don [**Robertsonia** (Haw.) Sternb.]

Saxifraga spathularis Brot.

Se ha estudiado la población S31: Pontevedra, Covelo, a M. O. y M. E. B.

Las semillas tienen como tamaño medio $0,66 \times 0,35$ mm. Presentan macropapilas cilíndricas de $56,4 \mu\text{m}$ con el ápice redondeado. Entre y sobre las macropapilas se ven micropapilas de 8 a $10 \mu\text{m}$ de diámetro, a veces 5 ó 6 micropapilas rodean la base de la macropapila a modo de corona (Lám. III, fotos 1 y 2); descripción que concuerda con la dada por KRACH (1976) para *S. cuneifolia* «las papilas laterales se yerguen a menudo, por así decirlo, en una corona sobre la que sobresale la papila principal». Semilla cubierta por secreciones epicuticulares (Lám. III, fotos 3 y 4).

Saxifraga × geum L.

Se ha estudiado a M. E. B. la población S81: Courel Rogueira. Presenta semillas de $0,55 \times 0,35$ mm. Con macropapilas de $30 \times 12-15 \mu\text{m}$ distribuidas de modo regular en hileras y diseminadas entre ellas micropapilas con distribución irregular.

Toda la semilla aparece cubierta por secreciones epicuticulares (Lám. IV, fotos 1 y 2).

La descripción coincide, en general, con la dada por WEBB & GORNALL (loc. cit.) para *S. hirsuta*, perteneciente a la misma sección.

Sect. **Ligulatae** Haw. [Sect. **Euazonia** (Schott) Enbler,
sect. **Aizonia** Tausch]

Saxifraga paniculata Miller (*S. aizoon* Jacq.)

Hemos estudiado S80: Courel, Lugo a M. E. B., las medidas se han efectuado a M. O.

El tamaño medio de la semilla es de $0,76 \times 0,35$ mm, cubierta de protuberancias verrucosas redondeadas de cerca de $10 \mu\text{m}$, en general reunidas en grupos de 2, 3 y 4, como las descritas por KRACH (1976) para *S. crustata*, de esta misma sección, esparcidos por la superficie de la testa.

Secreciones epicuticulares abundantes y gruesas recubriendo toda la semilla (Lám. IV, fotos 3 y 4).

En general coincide con la descripción de WEBB & GORNALL (loc. cit.).

Sect. **Saxifraga**

Subsect. **Triplinervium** (Gaudin) Gornall [**Eudactzloides**
(Engler & Irmscher)]

Serie **Gemmifera** (Willk.) S. Pawl.

Saxifraga continentalis (Engler & Irmscher) D. A. Webb

Se ha estudiado S83: Belesar, Lugo a M. E. B.

Las semillas son muy heterogéneas en cuanto a tamaño y grado de madurez, habiendo un porcentaje importante de semillas no viables. En REDONDO & HORJALES, 1989 senalabamos el número variable en el número de cromosomas y la necesidad de realizar un estudio más profundo de este taxón y abarcando un área mayor, necesidad que ratificamos aquí.

El tamaño medio de las semillas es de $0,4 \times 0,2$ mm.

Presenta macropapilas esparcidas, de $15-18 \times 12-15 \mu\text{m}$ y micropapilas de unas $8 \mu\text{m}$ de diámetro, en algunas zonas tanto sobre macro como sobre micropapilas se observan gránulos de menos de $1 \mu\text{m}$ (Lám. V, fotos 3 y 4).

Estos datos coinciden con los aportados por WEBB (1950), FERNÁNDEZ ARECES *et al.* (1988) y WEBB & GORNALL (loc. cit.).

Seria **Ceratophyllae** (Haw.) S. Pawl.

Saxifraga canaliculata Boiss. & Reuter ex Engler

Se ha estudiado S85: Rodiezmo, Léon a M. E. B.

Presenta semillas de $0,75 \times 0,35$ mm (las descritas por WEBB & GORNALL (loc. cit.) son algo mayores: $0,85 \times 0,5$), con macropapilas distribuidas irregularmente de $30 \mu\text{m}$ de longitud por $12 \mu\text{m}$

de anchura, con los laterales estriados y ápice de plano a redondeado. Entre las macropapilas, hay micropapilas verrucosas de 6-8 μm de diámetro y parcialmente orientadas.

Secreciones epicuticulares pequeñas y recubriendo toda la semilla (Lám. V, fotos 1 y 2).

Subsect. **Tridactylites**

Saxifraga tridactylites L.

Se ha estudiado a M. E. B. S82 (Rubiá, Orense) y las medidas se han efectuado a M. O. en la misma población.

Las semillas tienen un tamaño medio de $0,38 \times 0,19$ mm, presentan macropapilas cilíndricas de $12-15 \times 12-15 \mu\text{m}$ de ápice redondeado, distribuidas en filas, y dispersos entre ellas tubérculos de $3-5 \mu\text{m}$ de diámetro (Lám. V, fotos 5 y 6).

Secreciones epicuticulares abundantes, recubriendo toda la semilla, formando un retículo más o menos algodonoso.

Similar a la descripción de WEBB & GORNALL (loc. cit.).

Subsect. **Saxifraga**

Saxifraga granulata L. subsp. *granulata*

Se han estudiado a M. O. las poblaciones S1: Rubiá ($n = 11$), S2: Viana-Trives, S4: A Rúa, S21 Ribadavia: $n = 11$ y a M. E. B. S86 Ribadavia $n = 11$ y S30 Nogueiras-Carballino $n = 11$.

Las semillas tienen un tamaño de $0,45-0,50 \times 0,23-0,25$ mm; presentan macropapilas redondeadas en el ápice, de $18-20 \mu\text{m}$ de longitud y de 1,5 a 2 veces más largas que anchas; micropapilas de $5-6 \mu\text{m}$ dispersas, situadas incluso sobre las macropapilas y con secreciones epicuticulares por toda la semilla (Lám. VI, fotos 3 y 4).

Esta descripción coincide con la aportada por KRACH (1976).

Saxifraga granulata L. subsp. *fernandesii* Redondo y Horjales

Se ha estudiado a M. O. S5 Ancares, S6 Monte Faro R96 $n = 22$ y S8 Larouco R72 $n = 22$. A M. E. B. S90 Castro Dozón con $n = 22$.

Las semillas tienen un tamaño de $0,47-0,55 \times 0,24-0,30$, con macropapilas de 10 a $15 \mu\text{m}$ que tienen la misma longitud que

altura, con un ápice de plano a umbilicado y laterales estriados. Las micropapilas de $5-8 \mu$ mnevern aparecen sobre las macropapilas. No se han observado secreciones epicuticulares (Lám. VI fotos 1 y 2).

Los datos aquí aportados sobre semillas del género *Saxifraga* confirman su valor taxonómico ya señalado por diversos autores citados anteriormente. En algunas secciones como la sección *Micranthes* bastante homogénea desde el punto de vista morfológico, cariológico y polínico la ornamentación de las semillas, aunque presente diferencias específicas, es en general homogénea, lo mismo parece ocurrir con secciones cariológicamente homogéneas como la sect. *Ligulatae*.

En la sect. *Saxifraga* donde aparecen datos cariológicos muy divergentes, encontramos tipos bastante diferentes de ornamentación para las semillas. Lo mismo parece ocurrir en la sect. *Gymnopera* que parece bastante homogénea desde el punto de vista cariológico.

En resumen, las características de cada sección, para el material estudiado, que en determinadas secciones es muy escaso podrían ser las siguientes:

Sect. ***Micranthes***: macropapilas mas o menos cilíndricas, ordenadas en filas, formando costillas; muchas micropapilas verrucosas redondeadas y gránulos sobre todo el tectum, excepto los surcos que separan las células. No hemos visto secreciones epicuticulares.

Sect. ***Gymnopera***: Macropapilas cilíndricas muy largas, distribuidas más o menos en hileras, entre y sobre ellas pocas micropapilas grandes de distribución irregular que a veces rodean la base de la macropapila formando una corona. Secreciones epicuticulares.

Sect. ***Ligulatae***: papilas verucosas en grupos de 2, 3 ó 4. Secrecciones epicuticulares abundantes.

Sect. ***Saxifraga***: Macropapilas lisas o estriadas lateralmente. Micropapilas dispersas, si éstas están sobre las macropapilas, sólo se encuentran en la base de éstas. En algún taxón se observan gránulos y secreciones epicuticulares.

MATERIAL ESTUDIADO

S. clusii Gouan subsp. **clusii**: M. O.: S22: Huesca, Hospital de Gistaín, 31TBH82, 1600 m. MA 326911; S17: Huesca, Llano de Tabernas, Puerto de la Pez, JACA 585570. M. E. B.: S102 = S22.

S. clusii Gouan subsp. **lepisigmigena** (Planellas) D. A. Webb: M. O.: S14: Lugo, Ancares, Sorbeira, 29TPH84, 2-VII-1984, REDONDO & HORJALES; S15: Orense, Montefurado, 29TPG49, 14-IV-1985, n = 14, HORJALES & REDONDO S13: Pontevedra, Redondela, 29TNG38, 30-V-1982, n = 14, HORJALES & REDONDO M. E. B.: S91: Pontevedra, Pazos, 29TNH63, 13-VII-1983, HORJALES & REDONDO.

S. stellaris L.: M. O.: S18: Huesca, Panticosa, entre el Ibón de Catieres y el Collado de Espelunz, 2300 m 30TYN2934, JACA 108781. M. E. B.: S105 = S18.

S. paui Merino: M. O. S11: Lugo, Ancares, Mustallar, Fuente de María González, 29TPH24, 1600 m 27-VII-86, HORJALES & REDONDO; S12 Id. 11-VII-1987; S16 Id. 3-VII-1989, n = 14; M. E. B. S141, Id. 14-VII-1989, n = 14.

S. × geum L.: S81: Lugo, Courel, Rogueira, 29TPH52, 15-VII-1982, n = 14, HORJALES, REDONDO & REINOSO.

S. spathularis Brot.: S31, S23: Pontevedra, Covelo, 29TNG57, 4-V-84, n = 13, 14 y 15, M. HORJALES & REDONDO.

S. paniculata Miller: S80: Lugo, Courel, Rogueira, 29TPH52, 15-VII-87, n = 14, HORJALES, J. M. PÉREZ PREGO & N. REDONDO.

S. continentalis D. A. Webb: S83: Lugo, Belesar, Rivas de Miño, 29TPH01, 9-VI-85, HORJALES & REDONDO.

S. canaliculata Boiss. & Reuter: S85: León, Rodiezmo, 20-V-85 (cultivada dos años) n = 18, HORJALES & REDONDO.

S. tridactylites L.: S82: Orense, Rubiá, 29TPH60, 4-IV-1986, n = 11, HORJALES & REDONDO.

S. granulata L. subsp. **granulata**: M. O.: S4: Orense, A Rúa, 29TPG59, 14-IV-1985, 300 m. HORJALES & REDONDO. S21: Orense, Ribadavia, 29TNG78, 300 m, 28-III-1985, n = 11, HORJALES & REDONDO; S1: Orense, Rubiá, 29TPH60, 13-IV-1985, 550 m, n = 11, HORJALES & REDONDO. S2: Orense, Trives, 29TPG59, 600 m, n = 11, 14-IV-1985, REDONDO & HORJALES. M. E. B. S30: Orense, Nogueiras-Carballino, 29TNH79, 400 m, 15-IV-1983, n = 11, HORJALES & REDONDO. S86: Orense, Ribadavia, 28-II-1985, REDONDO & HORJALES.

S. granulata L. subsp. **fernandesii** Redondo & Horjales: M. O. S5: Lugo, Ancares, Fuente de María González, 29TPH74, 1900 m,

11-VII-87, HORJALES, PEREZ PREGO & REDONDO. S7: Lugo, Monte Faro, 29TNH83, 1100 m, prado, n = 22, 24, HORJALES & REDONDO. S8 Orense: Larouco, 29TPG48, 14-IV-85, HORJALES & REDONDO; M. E. B. S90: Pontevedra, Castro-Dozón, 29TNH81, 800 m, n = 22, 24, 26 HORJALES & REDONDO.

AGRADECIMIENTOS

Queremos dar las gracias por la colaboración que han prestado a los responsables de los herbarios COI, JACA, MA y SANT, a MIGUEL JEREZ por su ayuda en la microscopía electrónica y al personal de los servicios informáticos de la Universidad de Vigo.

BIBLIOGRAFIA

BARTHLOTT, W.

1984 Microstructural Features of Seed surfaces. Current concepts in Plant Taxonomy. Ed. V. H. HEYWOOD & D. M. MOORE, Academic Press. London.

CONOLLY, A. P.

1972 Scanning Electron Microscope Photographs of *Saxifraga* seeds. *Watsonia* 9(1): 58.

DAVIS & V. HEYWOOD

1973 Principles of Angiosperm taxonomy. Robert E. Krieger Publishing Co., Huntington, New York.

FAVARGER, C.

1965 Notes de caryologie alpine IV. *Travaux Inst. Bot. Neuchatel* 12: 17-23.

FERGUSON, I. K. & D. A. WEBB

1970 Pollen morphology in the genus *Saxifraga* and its taxonomic significance. *J. Linn. Soc. Bot.* 63: 295-311.

FERNANDEZ ARECES, M. P. et al.

1988 Morfología de las semillas de algunos taxones del género *Saxifraga* L. (Sect. *Dactyloides* Tausch.). *Lagascalia* 15(E): 263-274.

FONT QUER, P.

1973 Diccionario de Botánica. Ed. Labor, Barcelona.

GORNALL, R. J. & BRUCE A. BOHM

1985 A monograph of Boykinia, Peltoboykinia, Bolandra and Suksdorfia (Saxifragaceae). *Bot. Jour. of the Linn. Soc.* 90: 1-71.

HUBER, H.

1963 *Saxifraga*. In hegi Illustrierte Flora von Mitteleuropa IV(2) Lief. 2/3: 130-219. München Hanser.

KRACH, J. ERNEST

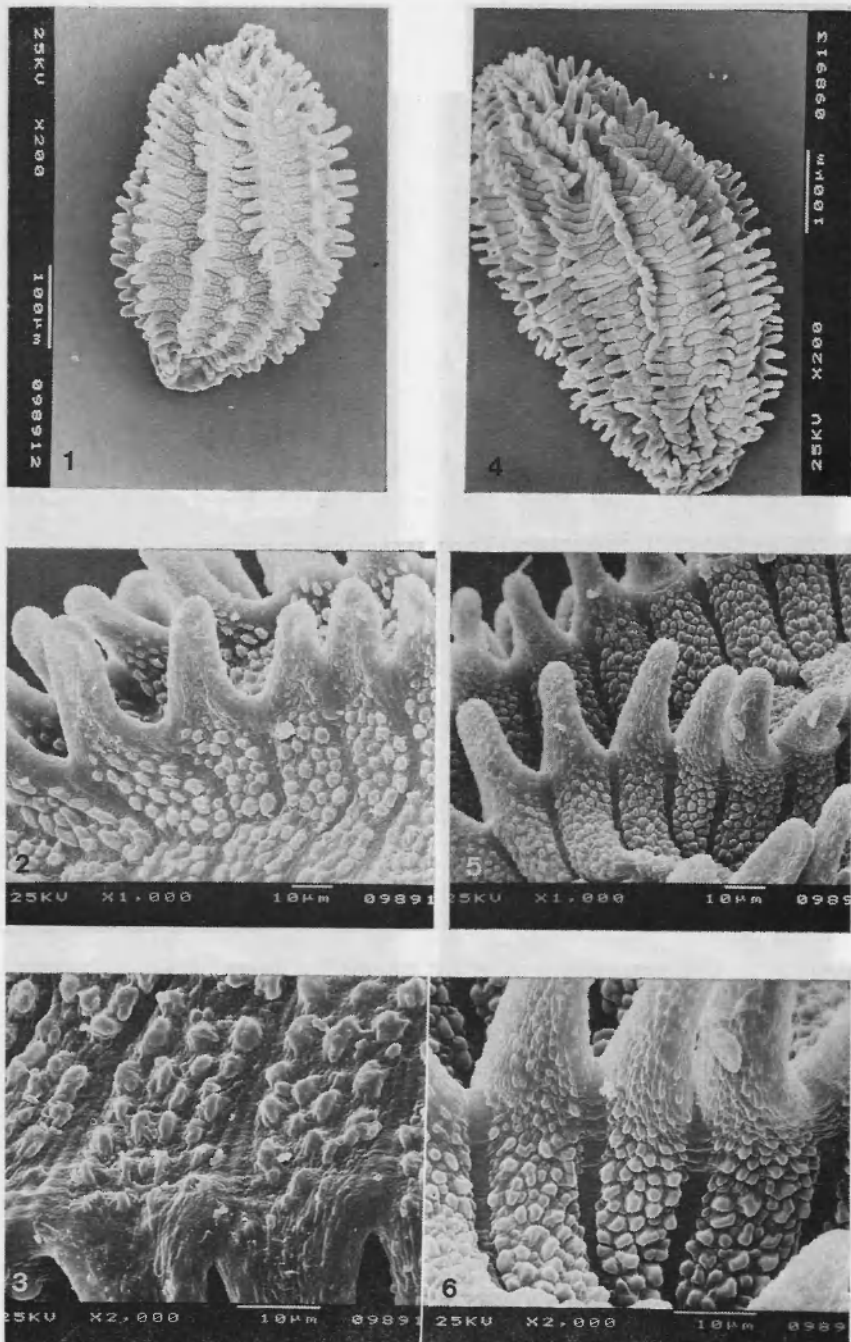
1976 Die Samen der Saxifragaceae. *Bot. Jahrb. Syst.* 97(1): 1-60.

REDONDO, N. & HORJALES, M.

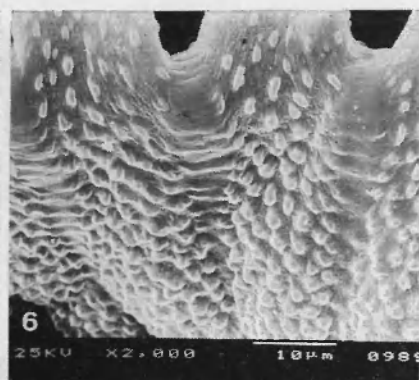
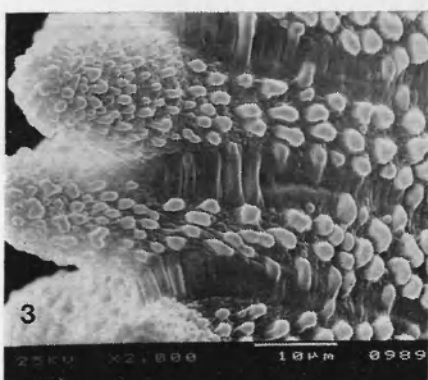
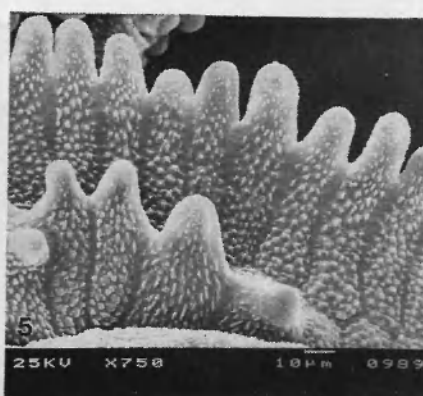
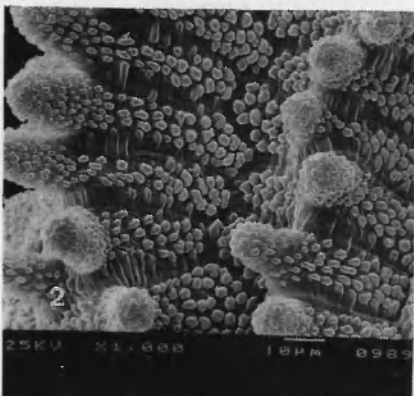
1989 Datos cariológicos del género *Saxifraga* L. en el NW Ibérico. *Bol. Soc. Brot.* sér. 2, 62: 195-203.

- REDONDO, N. & M. HORJALES
1990 *Saxifraga granulata* L. en el NW Ibérico. *Bol. Soc. Brot.* 63: 275-293.
- SAENZ DE RIVAS, C.
1978 Polen y Esporas, Ed. H. BLUME, Madrid.
- VARGAS, P. & M. LUCEÑO
1988 Consideraciones taxonómicas acerca de *Saxifraga losae* Sennen y sus relaciones con *S. pentadactylis* Lapeyr. *An. Jard. Bot. Madrid*.
- WEBB, D. A.
1950 A revision of the dactyloid Saxifrages of North-Western Europe. *Proc. Roy. Irish. Acad.* 53(B): 207-240. In Notes from the Botanical School (1952) vol. 5 nº 3: 29-62.
- WEBB, D. A. & GORNALL, R. J.
1989 Saxifrages of Europe. C. Helm Publ. Ltd. London Great Britain.
- STEBBINS, G. L.
1984 Polyploidy and the distribution of the artic-alpine flora: new evidence and new approach. *Bot. Helvetica* 94: 1-13.

LÁMINA I

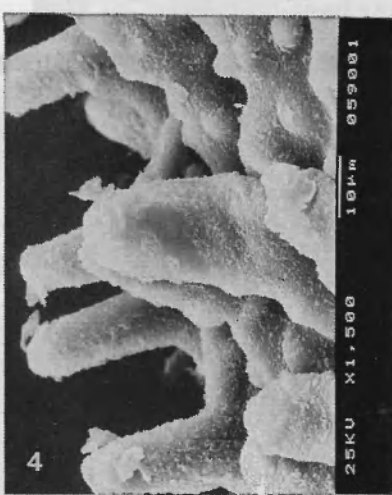
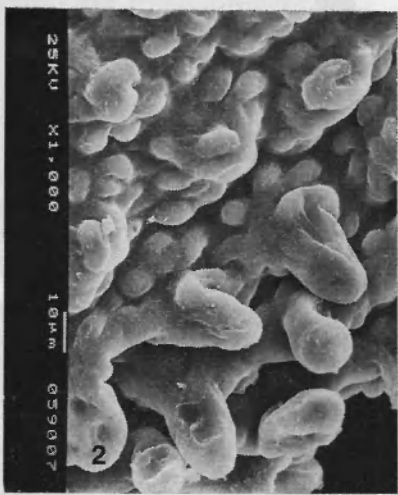
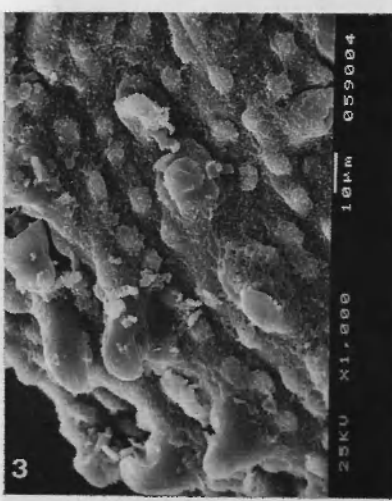
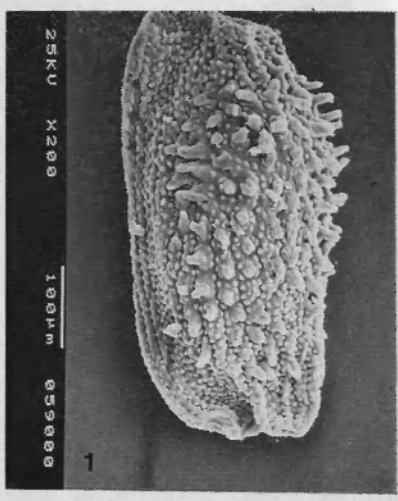


Fotos 1, 2 y 3: *Saxifraga clusii* Gouan subsp. *lepisimigena* (Planellas)
D. A. Webb; fotos 4, 5 y 6: *S. clusii* Gouan subsp. *clusii*.



Fotos 1, 2 y 3: *S. paui* Merino; fotos 4, 5 y 6: *S. stellaris* L.

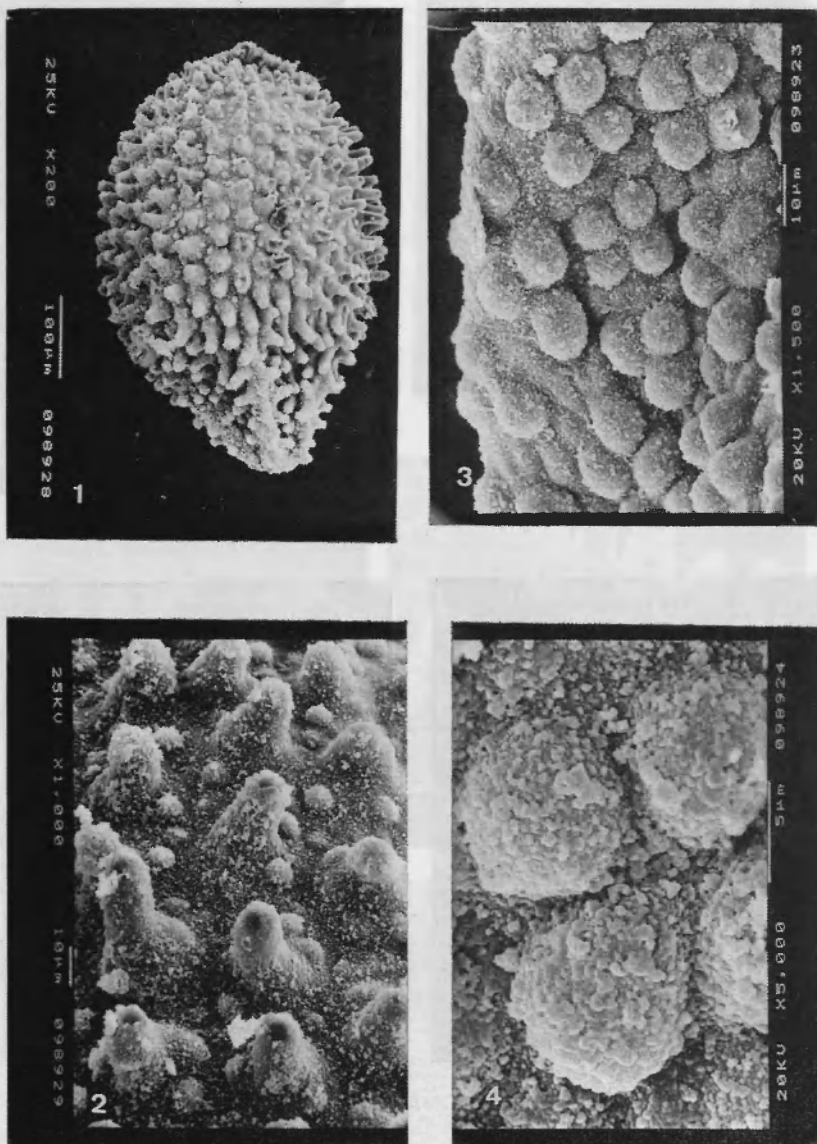
LÁMINA III



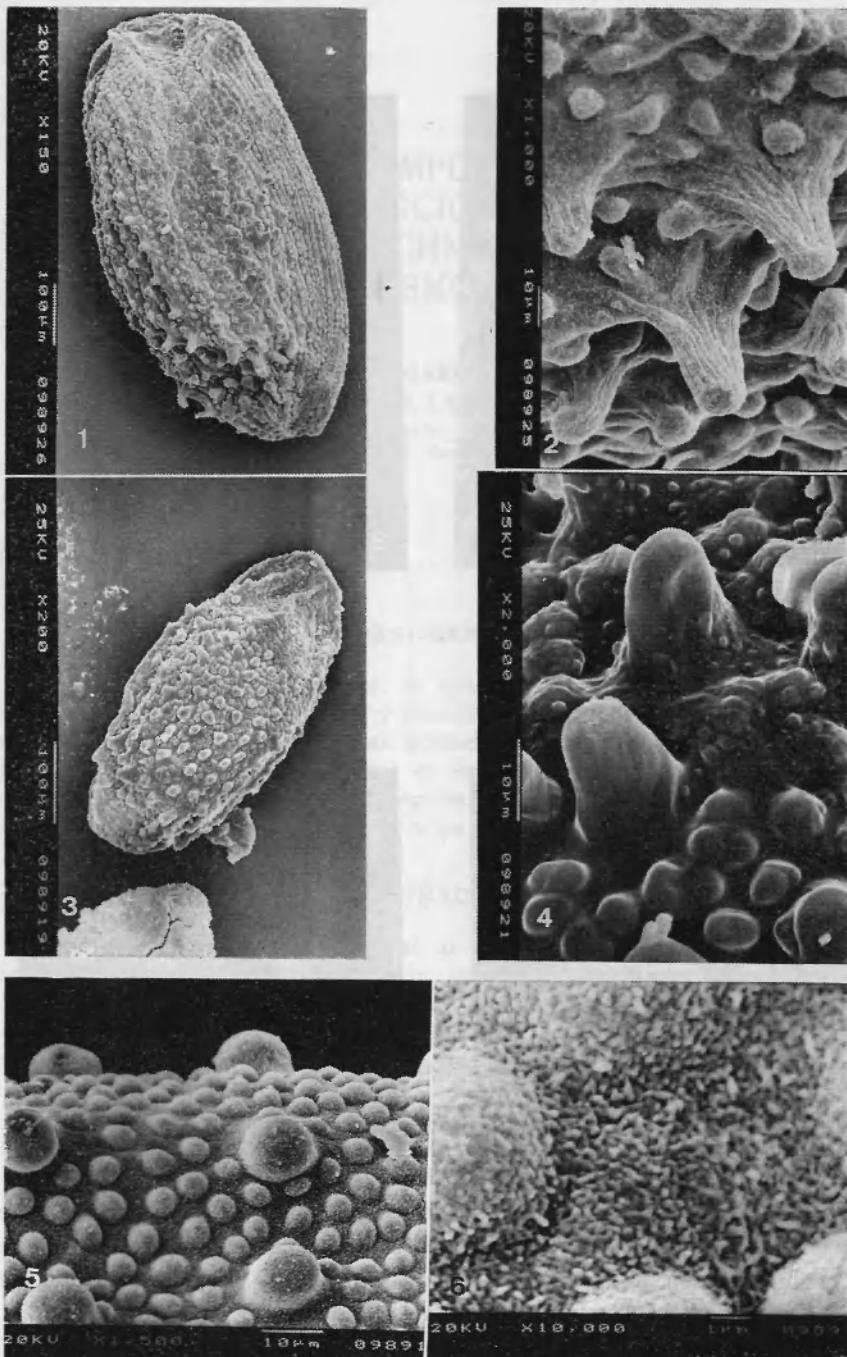
Fotos 1-4: *S. spathularis* Brot.

Fotos 1 y 2: *S. canaliculata* Bofar. Reuter ex Engler; fotos 3 y 4: *S. canaliculata* (Engler-Irnacher) D. A. Wehly; fotos 5 y 6: *S. tridactylites* L.

LÁMINA IV

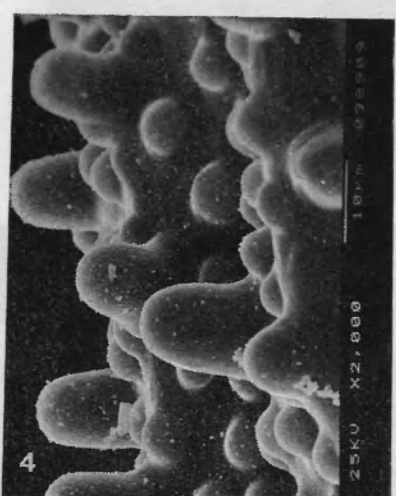
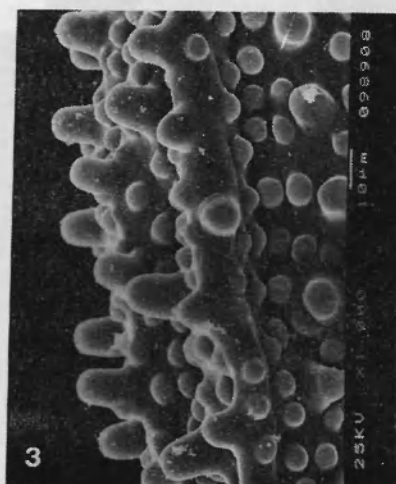
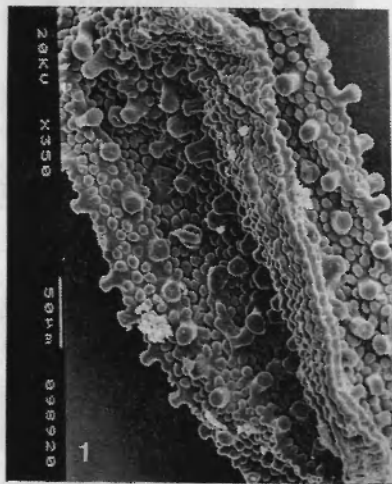


Fotos 1 y 2: *S. × geum* L.; fotos 3 y 4: *S. paniculata* Miller.



Fotos 1 y 2: *S. canaliculata* Boiss. Reuter ex Engler; fotos 3 y 4: *S. continentalis* (Engler Irmscher) D. A. Webb; fotos 5 y 6: *S. tridactylites* L.

LÁMINA VI



Fotos 1 y 2: *S. granulata* L. subsp. *fernandesii* Redondo et Horjales;
fotos 3 y 4: *S. granulata* L. subsp. *granulata*.

**SOBRE EL COMPORTAMIENTO
ECOLÓGICO Y FITOSOCIOLOGICO DE *BARLIA*
METLESICSIANA TESCHNER (*ORCHIDACEAE*)
RARO ENDEMISMO TINERFENO**

**M. C. LEÓN-ARENCEBIA, A. GARCIA GALLO, W. WILDPRET
DE LA TORRE & I. LA SERNA RAMOS**

Departamento de Biología Vegetal. Universidad de La Laguna.
Tenerife. Canarias.

Recibido el 21-X-1991.

RESUMEN

Barlia metlesicsiana Teschner, es una *Orchidaceae* que fué hallada en una localidad del SW de Tenerife y descrita en 1982 por TESCHNER. Recientemente han sido localizadas unas poblaciones situadas en las medianías altas (alrededor de 1000 m s. n. m.) de las bandas del S de la Isla, con lo que se anaden nuevos datos corológicos. Se hacen unas consideraciones fitosociológicas así como taxonómicas a las que se anaden datos palinológicos.

ABSTRACT

Barlia metlesicsiana Teschner, is an *Orchidaceae* which was found in the SW of Tenerife and described in 1982 by TESCHNER. Recently some populations have been localized at medium heights (about 1000 m s. n. m.) to the South of the island, therefore adding new corologie data. Some phytosociologic and taxonomic considerations are made and palynologic data is added.

Barlia, es un género de *Orchidaceae* (*Orchidoidea*), descrito por PARLATORE (1958), monotípico hasta 1982 (TESCHNER) y de distribución mediterránea (WILLIS, 1973: 123). Este género fué dado basado en *Orchis longibracteata* Bivona, *Sic. Pl. Cent.* 1: 57, tab. 4 (1806).

[TYPUS: *B. longibracteata* (Bivona) Parlatore (— *Orchis longibracteata*, Bivona). (s. FARR & col., 1971: 179].

El *typus* del género ha quedado relegado a sinonimia por GREUTER (1967: 192). Este autor hace una nueva combinación: «*B. robertiana* (Loisel) Greuter», indicando como basiónimo *Orchis robertiana* Loisel., por ser éste el primer nombre del género válidamente publicado. Entre los sinónimos del taxon, GREUTER (op. cit.) incluye *B. longebracteata* Parl., *nom. illeg.*, considerado como sinonimia nomenclatural de *O. longibracteata* Biv. El taxon de BIVONA fue publicado en 1806 y el de LOISEL en 1807, ambos asimilados en *Orchis*, el primero es un *nom. illeg.*, por ser homónimo posterior de *Orchis longebracteata* F. W. Schmidt., siendo consecuentemente las combinaciones basadas en *O. longebracteata*, *comb. illeg.*, ya que sus autores directa o indirectamente incluyen *O. robertiana* en las sinonímia.

Es un taxon próximo a *Himantoglossum* Spreng. (MOORE, 1980), que difiere de éste principalmente por sus brácteas, que superan las flores, y la morfología de las piezas del perigonio. Los tépalos externos son erecto-patentes, no conniventes y galeiformes y el labelo no supera el doble tamano de los tépalos.

El género incluye dos taxones específicos, siendo uno de ellos endemismo tinerfeño y es el considerado en esta comunicación.

Barlia metlesicsiana Teschner, *Die Orchidee* 33: 116-119 (1982).

Planta erecta, robusta, de hasta 60 cm de alto, con dos bulbos de distinta consistencia, morfología y tamaño.

Hojas basales pequeñas, escuamiformes y adheridas a la parte superior del bulbo; las caulinares, verdes, erecto-patentes, ovado-lanceoladas, de base amplexicaule y ápice agudo, equitantes (a veces dá la sensación de 6 ortósticos) helicoidales, que se alejan a medida que ascienden en el eje, de (7)-15-(20) cm de largo y (2)-6-(7) cm de ancho.

Inflorescencia oblongo-ovovada o cilíndrica, en racimo multifloro bracteado, de 8-16 cm de largo y casi 5 cm de diámetro. Brácteas estrechamente lanceolado-agudas, verde-marrón-rojizas, 2-4 cm de largo, que sobrepasan tanto a la flor adyacente como al ápice de la inflorescencia.

Flores grandes, erecto-patentes, exámeras de tépalos peta-loideos, los externos más o menos verdes, que presentan en la cara abaxial, rayas de tonos rojizos y en la cara adaxial, grandes máculas rojizas, redondeadas u oblongas. Este verticilo de piezas

no conniventes forma un amplio casco, constituido fundamentalmente por el tépalo intermedio, trinervado, oval-obtuso, de 8-10 mm de largo y 5-6 mm de ancho, siendo los laterales algo mayores, ligeramente cóncavos. Los tépalos del venticilo interno son diferentes, los laterales blanco-verdosos en la cara adaxial y punteados de rojo en la abaxial, obtusos, erectos, uninervados, de (7)-9-(10) mm de largo y 2-4 mm de ancho; el intermedio, labelo, rosa con rayas y máculas rojizas, rara vez concolor, trilobo, de margen ondulado, 15-22 mm de largo y 10-19 mm de ancho (en el ápice y entre los ápices de los lóbulos laterales) y 9-12 mm de largo aproximadamente, en la parte basal; lóbulos laterales no deflexos, obtuso-cuneados, el intermedio de 7-10 mm de largo, con dos lóbulos más o menos derechos o divergentes, en cuyos senos aparecen dientecillos.

Ginostemo derecho, de 6-8 mm. Anteras obovoides, obtusas. Ovario subsésil, glabro, más o menos cilíndrico o subfusiforme, de hasta 15-17 mm.

Datos Palinológicos:

El material examinado procede de ejemplares frescos recolectados directamente en el campo, que posteriormente fueron prensados y se conservan en el herbario TFC como testigos (TFC 32.415, 32.416).

Los botones florales se dejaron secar al aire y se conservaron en frascos de cristal durante largo tiempo para la posterior extracción de los polinarios. Parte de este material fué acetolizado según la técnica de ERDTMAN (1969) ligeramente modificada (HIDEUX, 1972). Dicho tratamiento no resultó efectivo por la degradación del material, lo cual ha sido apuntado para otros taxones de *Orchidaceae* (CASPERS & CASPERS, 1976; VIJAYARA-GHAVAN & SHUKLA, 1980, y HESSE & BURNS-BALOGH, 1984).

Las medidas fueron realizadas al microscopio óptico (40 ×) directamente en polinarios depositados en portas excavados.

Para el estudio al microscopio electrónico de barrido (MEB) tanto polinios enteros como disgregados físicamente, se recubrieron en alto vacío con una fina película de oro.

Las fotografías al fotomacroscopio fueron realizadas en un Willd M400 y las del MEB en un Hitachi S-450.

Para la descripción hemos seguido la terminología de KREMP (1968) y SAENZ (1978).

Polinario constituido de dos polinios amarillentos que se tornan pardos a medida que envejecen, obovados, con hendidura longitudinal mediana, de 1200-1600 μm de longitud y 900-1200 μm de anchura máxima; caudícula amarilla, elástico-viscosa (de aspecto papiloso al MEB) de 1800-2100 μm de longitud y 400-500 μm de anchura máxima en la zona apical y en la caudicular propiamente dicha de 200-300 μm ; retináculo pardo-ferrugíneo, viscoso.

Polinio formado por másulas más o menos apretadas de morfología variable, unidas por fibras elástico-viscosas («elastoviscin strands» s. HESSE & BURNS-BALOGH *op. cit.*) y superficie exínica al MEB psilada.

Observaciones:

Por primera vez se aportan datos acerca de la palinología de *B. metlesicsiana* ya que, según la bibliografía consultada, de los dos taxones incluidos en el género sólo se conocen datos de

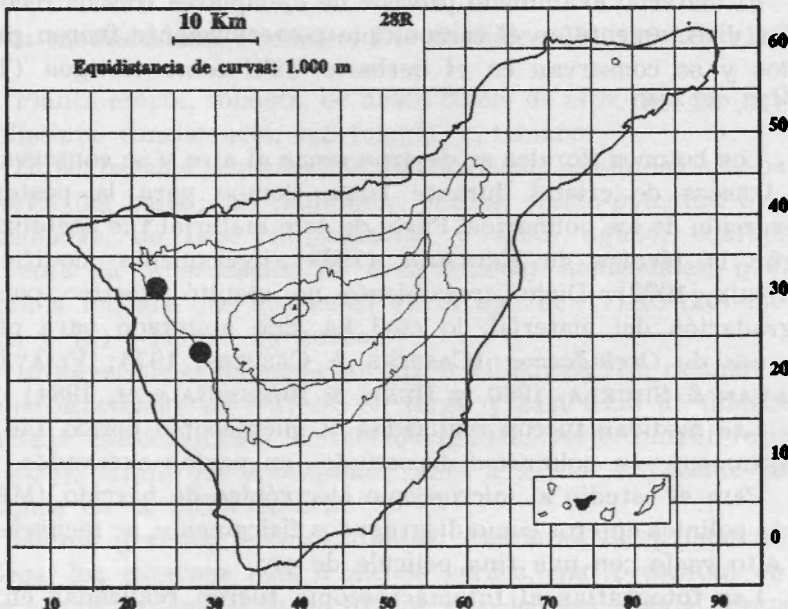


Fig. 1. — Localización de las poblaciones estudiadas.

TABLA I

Número de orden	1	2	3	4
Altitud (m s. m.)	1000	1000	900	900
Superficie (m ²)	10	10	5	5
Pendiente (°)	5	5	—	—
Exposición	S	S	—	—
Cobertura (%)	60	60	80	80
Nº de especies	11	15	9	9
Barlia metlesicsiana	+	+	1	1
Especies de <i>Cytiso-Pinetea</i>				
<i>Pinus canariensis</i>	+	+	—	—
<i>Chamaecytisus proliferus</i>	—	—	3	1
<i>Bystropogon origanifolius</i>	2	1	—	—
<i>Pterocephalus lasiospermus</i>	2	1	—	—
<i>Echium virescens</i>	2	1	—	—
<i>Adenocarpus viscosus</i>	—	1	—	—
Companeras:				
Rupicolas (especies de <i>Aeonio-Greenovietea</i>)				
<i>Aeonium urbicum</i>	2	2	—	—
<i>Notholaena marantae</i>	2	3	—	—
<i>Cosentinia vellea</i>	2	+	—	—
<i>Cheilanthes grex pulchella</i>	—	—	1	—
Especies de <i>Kleinio-Euphorbietae</i>				
<i>Euphorbia obtusifolia</i>	3	3	2	—
<i>Rumex lunaria</i>	—	3	—	—
Otras				
<i>Asphodelus aestivus</i>	3	3	3	4
<i>Micromeria hyssopifolia</i>	—	3	2	2
<i>Ranunculus cortusifolius</i>	—	+	1	—
<i>Rumex maderensis</i>	—	—	3	4

Además: en 1, *Scilla haemorroidalis* 1; en 2, *Carlina salicifolia* +; en 3, *Geranium purpureum* 2; en 4, *Allium roseum* 1, *Sonchus oleraceus* 1, *Tolpis laciniata* + y *Andryala pinnatifida* +.

Fecha y localidades: 18.1.1991. 1 y 2, Malpaís de Chio (Guía de Isora); 3 y 4, Santiago del Teide (Valle de Arriba).

B. robertiana (Loisel.) Greuter (SCHILL & PFEIFFER, 1977 y SUAREZ & DIEZ, 1987).

En lo que se refiere a la superficie exínica, SCHILL & PFEIFFER (*op. cit.*) la describe psilado-escábrida y SUAREZ & DIEZ (*op. cit.*) psilado-perforada. En el caso de *B. metlesicsiana* según nuestras observaciones, ésta aparece siempre psilada, es decir, sin elementos esculturales menores de 1 μm y sin perforaciones (Lámina I, fig. 11).

Distribución, Ecología y Fitosociología:

Este taxon se encuentra localizado en el SW de Tenerife entre los 800 y 1000 m s. m., en los municipios de Santiago del Teide y Guía de Isora aunque parece probable que se halle más difundida a lo largo del W de la isla.

Se instala preferentemente sobre malpaíses lávicos reciente en el dominio potencial de la macroserie mesocanaria seca del pino canario (*Pinus canariensis*) *Cistosymphytifolii-Pino canariensis sigmion*.

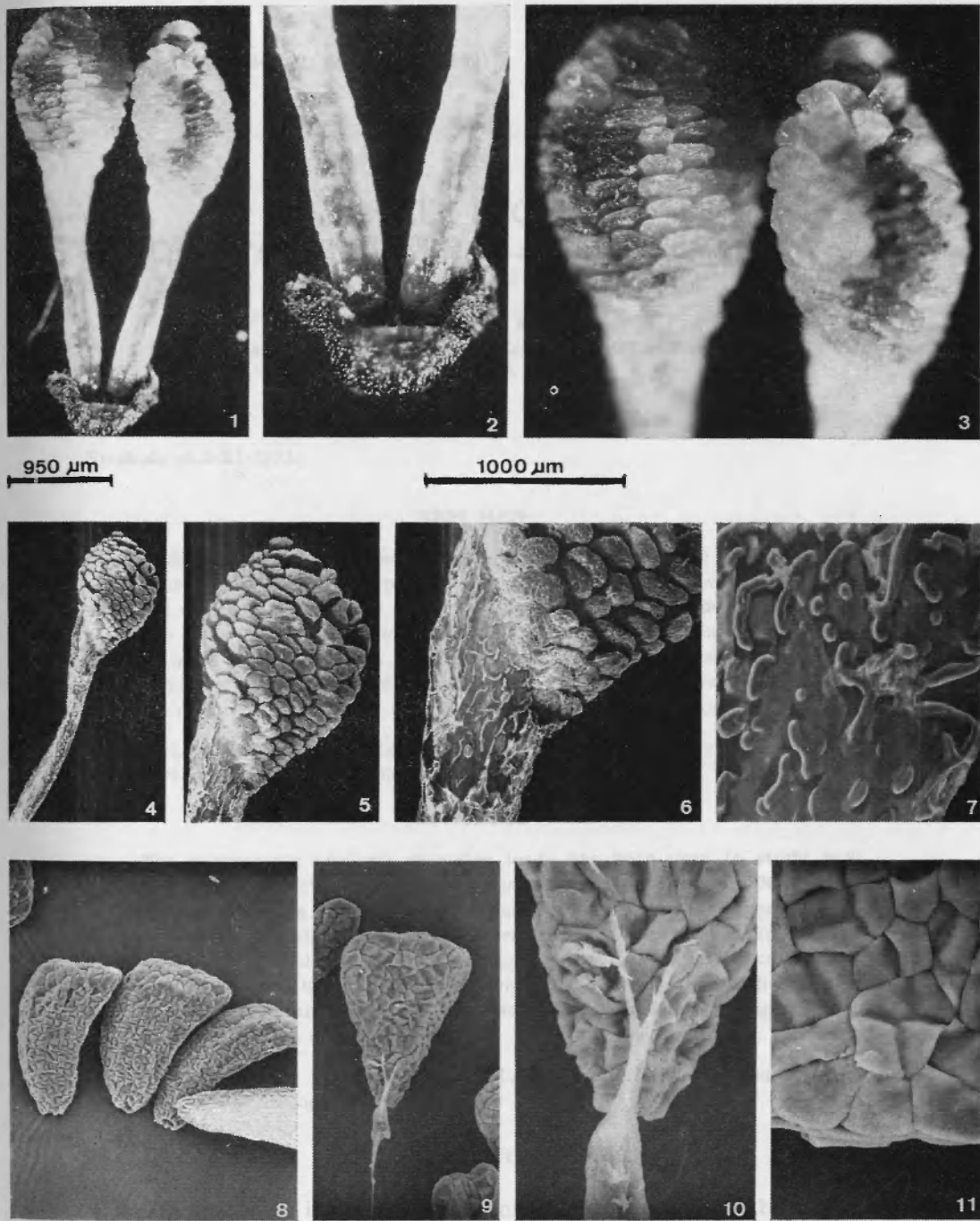
Su situación ecológica y fitosociológica, parece más afín a comunidades rupícolas características de *Aeonio-Greenovietea* A. Santos 1976, que al pinar propiamente dicho (*Cytiso-Pinetea canariensis* Rivas Goday & Esteve 1965 *in ESTEVE*, 1969).

Los lugares aclarados en los que se instala y los ambientes degradados de su entorno (antiguos cultivos de almendro, huertas abandonadas, etc.) han permitido la intromisión de especies del piso bioclimático infracanario características de *Kleinio-Euphorbieta canariensis* Rivas Goday 1965 corr. SANTOS, 1976, que constituyen matorrales de sustitución, así como acompañantes nitrófilas inventariadas en las parcelas estudiadas.

BIBLIOGRAFIA

- CARPERS, N. & L. CARPERS
 1976 Zur oberflächenkultivierung der pollinien mediterraner *Orchis-* und *Ophrys*-Arten. *Pollen et Spores* 18(2): 203-215.
- ERDTMAN, G.
 1969 *Handbook of Palynology*. 486 pp. Munksgard. Copenhagen.
- FARR, E. R. & col. (eds.)
 1979 *Index Nominum Genericorum (Plantarum)* 1: 179.
- GREUTER, W.
 1976 *Boissiera* 13: 192.

- HESSE, M. & P. BURNS-BALOGH
1984 Pollen and Pollinaria morphology of *Habenaria* (Orchidaceae).
Pollen et Spores 26(3-4): 385-400.
- HIDEUX, M.
1972 Technique d'étude du pollen au MEB: effects comparés des différents traitements physico-chimiques. *Micron* 3: 1-31.
- MOORE, D. M. in TUTIN & col. (eds.)
1980 Orchidaceae in *Flora Europaea* 5: 325-350.
- PARLATORE, F.
1958 *Flora Italica* 3: 445-449.
- PEREZ DE PAZ, P. L.; M. DEL ARCO AGUILAR & W. WILDPRET DE LA TORRE
1990 Contribución al conocimiento de los matorrales de sustitución del Archipélago Canario. Nuevas comunidades para El Hierro y La Palma. *Vieraea* 19: 53-61.
- RIVAS-MARTINEZ, S.
1987 *Memoria del Mapa de Series de Vegetación de España*. 268 pp.
ICONA. Madrid.
- RODRIGUEZ DELGADO, O.
1990 *Flora y Vegetación de las bandas del Sur de Tenerife. La comarca de Agache (Güímar)*. Resumen Tesis Doctoral. 54 pp. Secretariado de Publicaciones (Tesis Doctoral). Universidad de La Laguna.
- SAENZ, C.
1978 *Polen y Esporas*. 219 pp. Ed. Blume. Madrid.
- SANTOS GUERRA, A.
1976 Notas sobre la vegetación potencial de la isla de El Hierro. *Anal. Inst. Bot. Cavanilles* 33: 249-261.
- SCHILL, R. & W. PFEIFFER
1977 Untersuchungen an Orchideenpollinien unter besonderer Berücksichtigung ihrer Feinskulturen. *Pollen et Spores* 19(1): 5-118.
- SUAREZ, R. & M. J. DIEZ in VALDES & col. (eds.)
1987 Orchidaceae in *Atlas polínico de Andalucía Occidental*. 407-411. Instituto de Desarrollo Regional nº 43, Univ. Sevilla. Excma. Diputación de Cádiz.
- TESCHNER, W.
1982 Ein Endemit der Kanareninsel Tenerife. *Die Orchidee* 33: 116-119.
1983 Eine endemische *Barlia*-Art auf Tenerife. *Ibid.* 36: 33-36.
- VIJAYARAGHAVAN, M. R. & A. K. SHUKLA
1980 Viscin threads in *Zeuxine strateumatica* (Orchidaceae). *Grana* 19: 173-175.
- WILLIS, J. C.
1973 *A Dictionary of the Flowering Plants & Ferns*. 8 ed. 1245 pp. Cambridge Univ. Press.



polen es el principal elemento sólido. El polen es la fuente de hidratos de carbono para las etapas tempranas del desarrollo.

Barlia metlesicsiana Teschner

Fotografías al fotomicroscopio — 1: polinario; 2: detalle del retináculo, parte basal y media de la caudicula; 3: detalle de polinios. Fotografías al MEB — 4: polonio y caudicula ($\times 1333,3 \mu\text{m}$); 5: detalle del polonio ($\times 666,7 \mu\text{m}$); 6: detalle de la base del polonio y ápice caudicular ($\times 333,3 \mu\text{m}$); 7: detalle de la caudicula ($\times 74,1 \mu\text{m}$); 8: másulas ($\times 222,2 \mu\text{m}$); 9-10: másula con resto de filamento elástico-viscoso ($9: \times 133,3 \mu\text{m}; 10: \times 35,1 \mu\text{m}$); 11: superficie exínica psilada ($\times 35,1 \mu\text{m}$).



Fig. 1. Root system development.

level areas, plants were sub-sown in 10 cm diameter pots — oligosaccharinotol in combination with GRIM in softwood soil mixture at ratios of 1:1000000 ($\times 1$) and 1:100000 ($\times 2$); GRIM in softwood soil mixture at ratios of 1:100000 ($\times 3$); GRIM in softwood soil mixture at ratios of 1:10000 ($\times 4$); GRIM in softwood soil mixture at ratios of 1:1000 ($\times 5$); GRIM in softwood soil mixture at ratios of 1:100 ($\times 6$); GRIM in softwood soil mixture at ratios of 1:10 ($\times 7$); GRIM in softwood soil mixture at ratios of 1:1 ($\times 8$); GRIM in softwood soil mixture at ratios of 1:100000 ($\times 9$); GRIM in softwood soil mixture at ratios of 1:10000 ($\times 10$); GRIM in softwood soil mixture at ratios of 1:1000 ($\times 11$); GRIM in softwood soil mixture at ratios of 1:100 ($\times 12$).

EL POLEN RECOGIDO POR *APIS MELLIFERA* L. DURANTE UN DÍA

P. L. ORTIZ & J. M. POLO

Departamento de Biología Vegetal y Ecología, Facultad de Biología,
Universidad de Sevilla, Apdo. 1095. 41080 Sevilla, España.

Recibido el 5-XI-1991.

RESUMEN

Mediante análisis microscópico de cargas de polen se estudia cómo varía durante el día el comportamiento pecorero de *Apis mellifera*. Se observan diferencias entre los patrones de recogida de polen de cada especie, así como entre los pesos medios de una carga de polen de distintas especies o de distintos períodos del día. Se analizan las posibles relaciones entre estas variaciones del comportamiento pecorero de *Apis mellifera* y algunos aspectos de la biología floral de las especies cuyo polen recoge.

PALABRAS CLAVE: *Apis mellifera*, cargas de polen, análisis microscópico, recogida de polen, biología floral.

SUMMARY

The microscopic analysis of pollen loads has been used to study how honeybee pollen-collecting behaviour changes during the day. Differences between the patterns of pollen collection from each of the species have been observed; likewise there are differences between the mean weights of a pollen load from either each of the species or times of day. An examination has been made of the possible relationships between these changes of honeybee foraging behaviour and some aspects of the floral biology of the species whose pollen has been collected.

KEY WORDS: honeybee, pollen loads, microscopic analysis, pollen collection, floral biology.

INTRODUCCION

PARA muchos insectos, y especialmente para las abejas, el polen es el principal alimento sólido. El polen es la fuente de lípidos, proteínas y otros nutrientes esenciales de los estadios larvarios de todos los géneros y especies de Apidae, entre las

que se encuentra *Apis mellifera* (STANLEY & LINSKENS, 1974). En contrapartida, las visitas de la abeja melífera a las flores para recoger polen implican en muchos casos la polinización efectiva de éstas.

La elección o rechazo de una fuente de polen por parte de la abeja melífera depende de diversos factores, algunos de los cuales experimentan variaciones durante el día. Por ello, es razonable pensar que la recogida de polen por las abejas sea variable a lo largo del día en respuesta a los cambios de esos factores que la condicionan. No obstante, no son muchos los trabajos que hacen referencia a este aspecto del pecoreo de *Apis mellifera* (PERCIVAL, 1947, 1955; SYNGE, 1947; p. e.).

El presente trabajo ha sido realizado en Hinojos (Huelva, España) en un área de pinar (*Pinus pinea* L.) con restos de alcornocal (*Quercus suber* L.) y abundante matorral rico en Cistaceae, Fabaceae y Lamiaceae; algunas zonas están ocupadas por cultivos de *Eucalyptus* spp., existiendo además espacios desprovistos de arbolado y matorral donde prosperan comunidades herbáceas importantes. Su principal objetivo es poner de manifiesto posibles diferencias en el patrón de recogida de polen de varias especies en el área estudiada, intentando relacionar estas diferencias con la biología floral de estas plantas.

MATERIAL Y MÉTODOS

Se han colocado trampillas cazapolen en tres colmenas tipo Langstroth contiguas entre sí, y el polen acumulado en los cajones durante el día 28 de Mayo de 1986 se ha retirado a las 10, 14, 17 y 20 hora solar (H. S.). Las doce muestras de cargas de polen así obtenidas se han deshidratado en una cámara secadora por corriente de aire caliente a 40-45º C (JEAN-PROST, 1985).

El contenido de cada muestra se ha extendido sobre un fondo blanco y se han separado grupos de cargas lo más homogéneos posible en base a la forma, color y textura de éstas (LOUVEAUX, 1958a). Cada una de las submuestras resultantes se ha pesado, contándose seguidamente el número de cargas que contiene. La homogeneidad de cada submuestra se ha verificado cortando trozos de cargas y examinándolos uno por uno al microscopio (LOUVEAUX, l. c.). En una proporción importante de estas cargas se han encontrado granos de más de un tipo, pero en

todos los casos había uno claramente predominante, por lo que a efectos prácticos las hemos asimilado a cargas de origen monofloral. Si la submuestra tiene menos de 10 cargas se ha verificado cada una de éstas, si tiene entre 10 y 100 cargas se han examinado al microscopio 10 de las mismas, y si hay más de 100 se ha verificado el 10% de éstas. Más del 80% de las submuestras resultaron totalmente homogéneas, y en las restantes se ha corregido matemáticamente el número de cargas y el peso. En general estas correcciones han sido poco importantes.

Posteriormente se han elaborado preparaciones microscópicas acetolizadas (ERDTMAN, 1960, con modificaciones de REITSMA, 1969 e HIDEUX, 1972) de cada uno de los tipos polínicos detectados anteriormente, para una identificación más precisa de los mismos. Para ello se han utilizado el atlas polínico de VALDES & al. (1987) y las preparaciones de referencia de la Palinoteca del Departamento de Biología Vegetal y Ecología de la Universidad de Sevilla.

En las especies cuyo polen ha sido detectado abundantemente en las muestras anteriores, se ha estudiado el ritmo diario de apertura de sus flores. Para ello, un atardecer se marcaron flores de cada especie a punto de abrir, y durante las 24 horas siguientes, a intervalos, se observó cuántas de ellas habían entrado en antesis. Sólo en el caso de *Echium plantagineum* L. esta experiencia se realizó el mismo día de muestreo de las colmenas, en el resto de las especies se llevó a cabo en diferentes días de los dos años siguientes.

RESULTADOS

Como se muestra en la Tabla 1, la cantidad total de polen recogida por cada colmena es muy variable. El peso de las cargas retenidas en la trampilla de la colmena 3 es alrededor de tres y seis veces superior a los de las colmenas 1 y 2, respectivamente.

En el conjunto de las muestras se han distinguido cargas de trece tipos distintos. En la Tabla 1 se presentan las cantidades recogidas por cada colmena de los siete tipos recolectados más abundantemente. De estos últimos, sólo el polen de *Ononis baetica* Clemente ha sido utilizado por una sola colmena, el resto ha sido recogido por las tres, si bien su importancia relativa varía según las colmenas. Los seis tipos restantes se han agrupado como «Otros tipos», y ninguno alcanza el 1% en alguna de las

Tipos polínicos	COLMENAS							
	1		2		3		T	
	P	N	P	N	P	N	P	N
<i>Quercus suber</i>	0.02	5	2.61	365	12.83	2235	15.45	2605
Cistaceae	2.09	370	0.12	23	4.69	707	6.90	1100
<i>Ononis baetica</i>	4.15	1080	—	—	—	—	4.15	1080
<i>Eucalyptus cam. × res.</i>	0.26	63	0.03	8	3.69	748	3.98	819
<i>Echium plantagineum</i>	1.05	322	0.18	38	0.65	245	1.88	605
<i>Rubus ulmifolius</i>	0.22	44	0.71	139	0.46	123	1.39	306
<i>Anchusa azurea</i>	0.20	52	0.01	4	0.42	87	0.64	143
Otros tipos	0.07	18	0.03	5	0.07	10	0.16	33
TOTAL	8.06	1954	3.69	582	22.81	4155	34.55	6691

TABLA 1.— Peso en gramos (P) y número de cargas (N) del polen de cada tipo retenido en las trampillas. T, las tres colmenas conjuntamente.

colmenas, ni ha sido recolectado en las tres simultáneamente. *Quercus suber* L. fue la principal fuente de polen para nuestras abejas, aportando alrededor del 45 % del peso del polen recogido por las tres colmenas en conjunto. El polen de Cistaceae supone alrededor del 20 % del peso de todo el recogido. Se trata, principalmente, de polen de *Halimium halimifolium* (L.) Willk. y en menor medida de *Cistus crispus* L. *Ononis baetica* Clemente y *Eucalyptus camaldulensis* Dehnh. × *resinifera* Sm. proporcionaron, cada una, aproximadamente el 12 % del peso total diario. *Echium plantagineum* L., *Rubus ulmifolius* Schott y *Anchusa azurea* Miller suministraron alrededor del 5 %, 4 % y 2 %, respectivamente, del peso del polen retirado de las trampillas. El peso del resto del polen recogido representa menos del 0.5 % del total.

La Figura 1 representa la variación de la cantidad de polen recogida por cada colmena a lo largo del día. Se observa que la recogida de polen se centra en la mañana (6-10 H. S.) y el mediodía (10-14 H. S.) en cualquiera de las colmenas; a las 14 H. S. ya se ha recogido más del 80 % del total diario, y el polen recogido en el intervalo de final de la tarde (17-20 H. S.) es prácticamente insignificante. La colmena 1 presenta su mayor tasa de recogida en el intervalo del mediodía, mientras que las colmenas 2 y 3 lo hacen por la mañana.

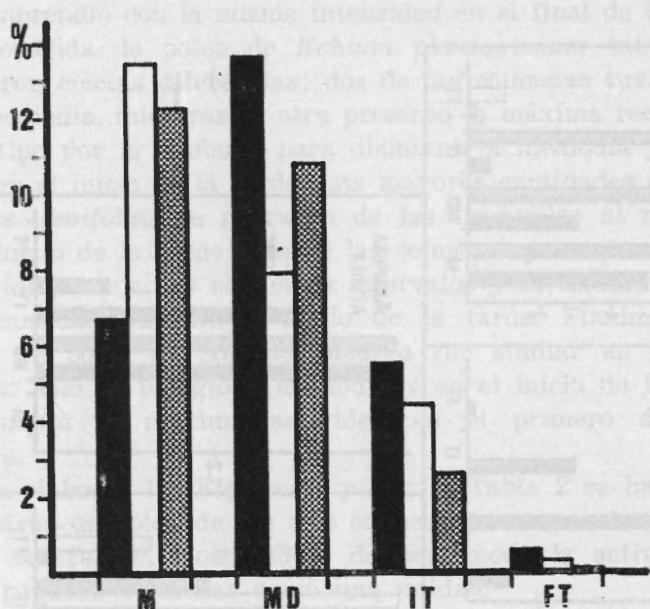


Fig. 1. — Modelo diario de recogida de polen en cada colmena. Cada barra representa el porcentaje de polen recogido en una hora por una colmena respecto al peso total acumulado por la misma durante el día completo. M (mañana): 6-10 hora solar (H. S.); MD (mediodía): 10-14 H. S.; IT (inicio de la tarde): 14-17 H. S.; FT (final de la tarde): 17-20 H. S.; Negro: colmena 1; Blanco: colmena 2; Punteado: colmena 3.

La Figura 2 muestra cómo varió a lo largo del día la entrada de polen de cada tipo polínico en cada colmena. En la recogida de polen de *Quercus suber* y *Cistaceae* las tres colmenas se comportaron de modo parecido, presentando sus máximos en el intervalo de la mañana. El polen de *Ononis baetica*, como ya hemos señalado, sólo se detectó en la trampilla de la colmena 1 y fue al mediodía cuando se retiró mayor cantidad de éste. Las tres colmenas presentaron un comportamiento algo diferente en la recolección de polen de *Eucalyptus camaldulensis* × *resinifera*; dos de ellas tuvieron picos de recogida claros, una en la mañana y la otra desplazado al mediodía; la restante, que recogió una cantidad muy pequeña de este tipo, aumentó esta actividad de la mañana al mediodía, la interrumpió en el inicio de la tarde

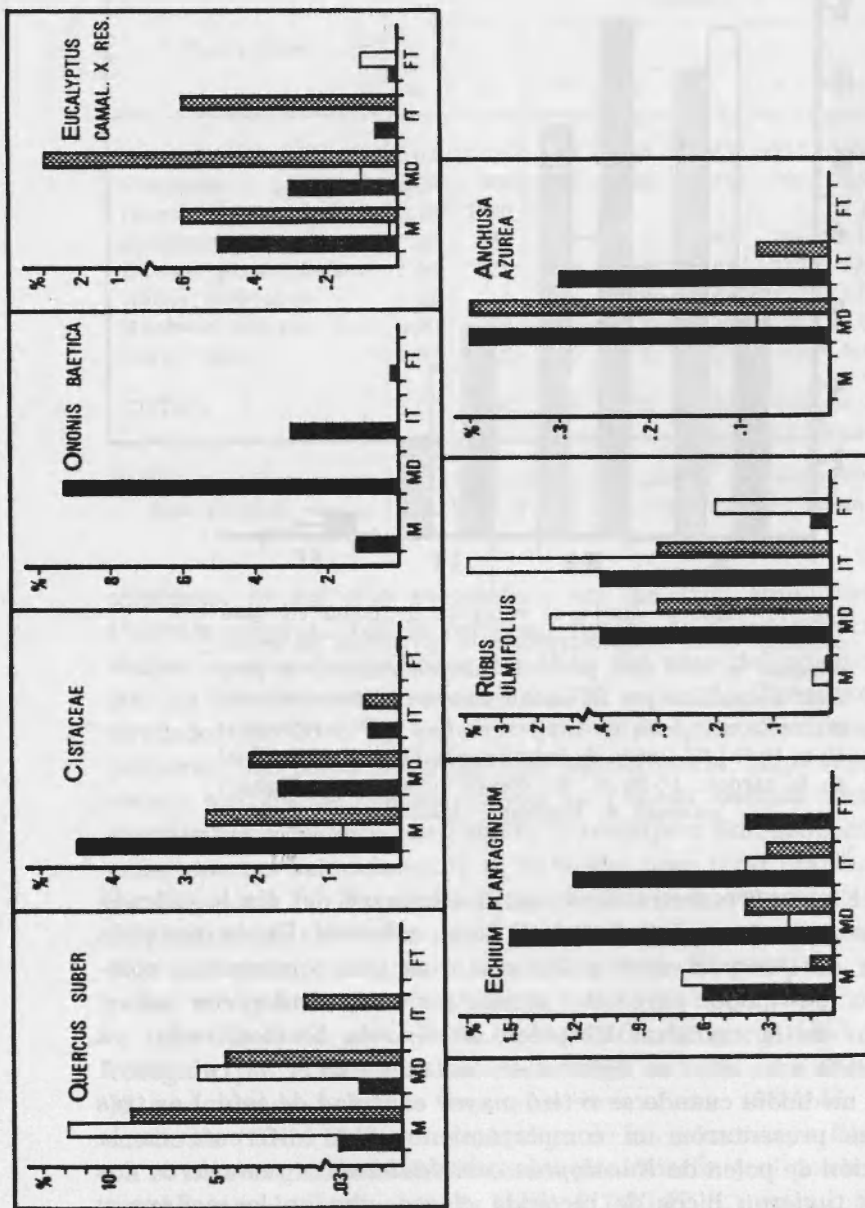


Fig. 2.—Modelos diarios de recogida de polen de los diversos tipos en cada una de las colmenas. Cada barra muestra, para la colmena, el tipo polínico y el intervalo horario indicados, qué porcentaje, del total recogido por esa colmena en el día, representa el peso de polen de ese tipo retenido en la trampilla durante una hora. M (mañana): 6-10 hora solar (H. S.); MD (mediodia): 10-14 H. S.; IT (inicio de la tarde): 14-17 H. S.; FT (final de la tarde): 17-20 H. S.; Negro: colmena 1; Blanco: colmena 2; Punteado: colmena 3.

y la reemprendió con la misma intensidad en el final de la tarde. En la recogida de polen de *Echium plantagineum* también se encontraron ciertas diferencias; dos de las colmenas tuvieron su pico a mediodía, mientras la otra presentó la máxima recolección de este tipo por la mañana, para disminuir a mediodía y volver a subir en el inicio de la tarde. Las mayores cantidades de polen de *Rubus ulmifolius* se retiraron de las trampillas al mediodía y en el inicio de la tarde; dos de las colmenas presentaron cotas de recogida semejantes en ambos intervalos y la tercera recogió mayor cantidad durante el inicio de la tarde. Finalmente, la recogida de polen de *Anchusa azurea* fue similar en las tres colmenas: sólo se recogió a mediodía y en el inicio de la tarde, produciéndose la máxima actividad en el primero de estos intervalos.

Para elaborar las Figuras 3 y 4 y la Tabla 2 se han unido las muestras de polen de las tres colmenas, como si de una sola colmena se tratase, mostrándose de este modo la actividad de nuestro pequeño colmenar como una unidad.

Observamos en la Figura 3 que las recogidas de polen de *Quercus suber* y *Cistaceae* presentan máximos por la mañana, descendiendo bruscamente para ser prácticamente nulas a partir de las 17 H. S. *Ononis baetica* y *Eucalyptus camaldulensis × resinifera* presentan patrones de recogida muy similares, con un pico muy claro a mediodía y niveles considerables en la mañana y el inicio de la tarde y muy bajos al final de la tarde. Por el contrario, *Echium plantagineum* no presenta un pico prominente: su tasa de recolección más alta se detecta a mediodía, siendo menor en la mañana y el inicio de la tarde y más baja aún al final de la tarde. La recolección de polen de *Rubus ulmifolius* es muy escasa en la mañana y el final de la tarde, siendo considerable en los otros dos intervalos y máxima en el inicio de la tarde. Por último vemos que el polen de *Anchusa azurea* sólo se recogió al mediodía y en el inicio de la tarde, con una tasa de recolección mayor en el primero de estos intervalos.

La Figura 4 pone de manifiesto la importancia relativa que cada uno de los recursos polínicos más explotados por nuestras abejas tuvo en los distintos intervalos de tiempo considerados. Por la mañana el polen retenido en las trampillas pertenecía a siete tipos diferentes, pero cerca del 91 % de su peso correspondía a *Quercus suber* y *Cistaceae*. Al mediodía la relevancia de estos

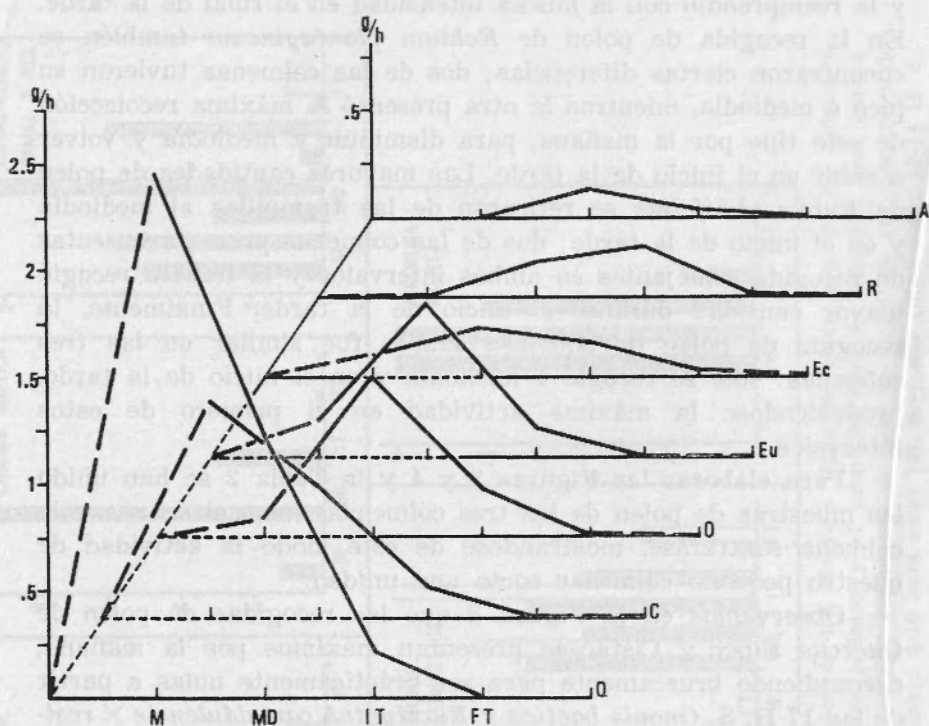


Fig. 3.—Variación diaria de las tasas de recogida de polen en gramos por hora (g/h) de cada tipo en el conjunto de las tres colmenas. M (manana): 6-10 hora solar (H. S.); MD (mediodia): 10-14 H. S.; IT (inicio de la tarde): 14-17 H. S.; FT (final de la tarde): 17-20 H. S.; Q, *Quercus suber*; C, *Cistaceae*; O, *Ononis baetica*; Eu, *Eucalyptus camaldulensis × resinifera*; Ec, *Echium plantagineum*; R, *Rubus ulmifolius*; A, *Anchusa azurea*.

dos recursos decreció hasta un 48 %, suministrando *Ononis baetica* y *Eucalyptus camaldulensis × resinifera* alrededor de un 19 % cada uno y recogiéndose polen de doce tipos distintos. En el intervalo de inicio de la tarde la actividad de pecoreo de nuestras colonias se diversificó: se detectó polen de doce tipos, siete de ellos en proporciones que oscilaban desde casi el 12 % hasta alrededor del 20 % del peso total y los cinco restantes con porcentajes inferiores a 5. Por último, entre las 17-20 H. S. la actividad pecreadora descendió, además de cuantitativa, cualitativamente ya que sólo fueron recogidos cinco tipos distintos de cargas: *Echium plantagineum* (50 %), *Ononis baetica* (24 %),

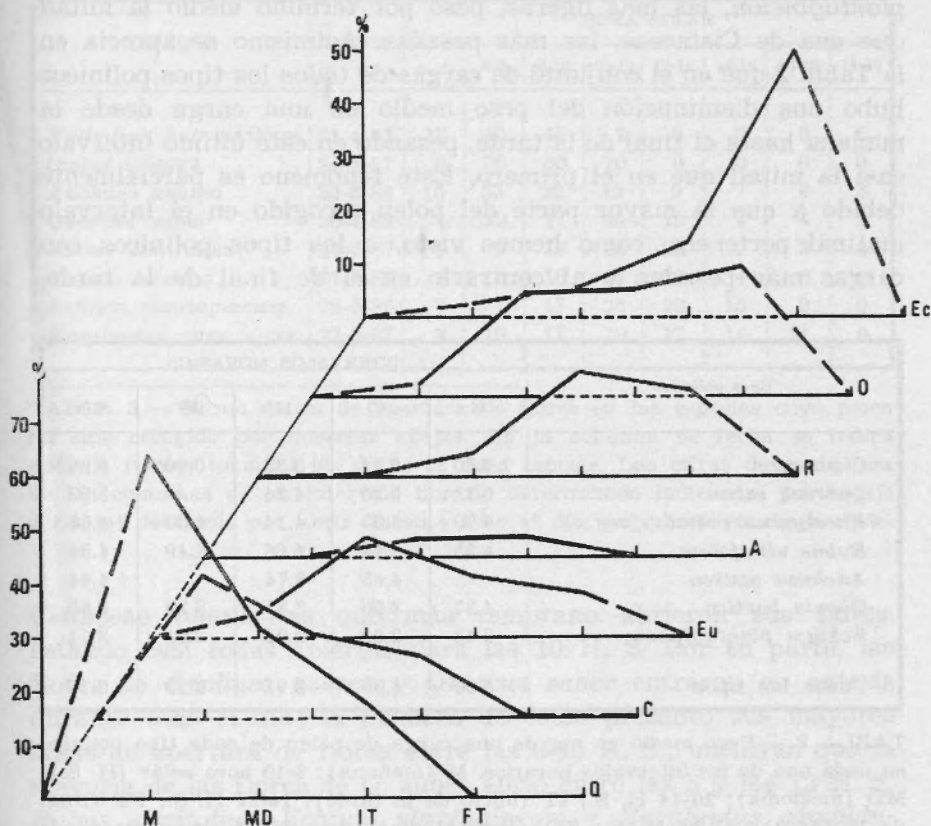


Fig. 4. — Porcentajes que representa el peso de cada tipo polínico en cada intervalo horario frente al peso de todo el polen recogido en el mismo intervalo, considerando las tres colmenas conjuntamente. M (mañana): 6-10 hora solar (H. S.); MD (mediodia): 10-14 H. S.; IT (inicio de la tarde): 14-17 H. S.; FT (final de la tarde): 17-20 H. S.; Q, *Quercus suber*; C, Cistaceae; Eu, *Eucalyptus camaldulensis* × *resinifera*; A, *Anchusa azurea*; R, *Rubus ulmifolius*; O, *Ononis baetica*; Ec, *Echium plantagineum*.

Rubus ulmifolius (17 %) y *Eucalyptus camaldulensis* × *resinifera* (9 %) suministraron la práctica totalidad del peso del polen retenido en las trampillas.

El peso medio de una carga de polen de las recogidas el día de muestreo por nuestras colmenas fue de 5,17 mg. Se observa en la Tabla 2 que se registraron diferencias notables en el peso medio de una carga de cada tipo polínico: una carga de *Echium*



plantagineum, las más ligeras, pesó por término medio la mitad que una de Cistaceae, las más pesadas. Asimismo se aprecia en la Tabla 2 que en el conjunto de cargas de todos los tipos polínicos hubo una disminución del peso medio de una carga desde la mañana hasta el final de la tarde, pesando en este último intervalo casi la mitad que en el primero. Este fenómeno es parcialmente debido a que la mayor parte del polen recogido en el intervalo matinal pertenece, como hemos visto, a los tipos polínicos con cargas más pesadas y al contrario en el de final de la tarde,

Tipos polínicos	INTERVALOS HORARIOS				
	M	MD	IT	FT	TD
Cistaceae	6.30	6.44	5.33	0.20*	6.28
<i>Quercus suber</i>	6.11	5.90	4.24	—	5.93
<i>Eucalyptus camal. × res.</i>	4.70	5.03	4.14	4.00	4.86
<i>Rubus ulmifolius</i>	4.35	4.42	4.66	4.49	4.54
<i>Anchusa azurea</i>	—	4.65	3.74	—	4.44
<i>Ononis baetica</i>	4.27	3.96	3.31	3.29	3.85
<i>Echium plantagineum</i>	3.43	3.09	2.94	3.03	3.11
Todos los tipos	5.90	4.95	3.91	3.29	5.17

TABLA 2. — Peso medio en mg de una carga de polen de cada tipo polínico en cada uno de los intervalos horarios. M (manana): 6-10 hora solar (H. S.); MD (mediodía): 10-14 H. S.; IT (inicio de la tarde): 14-17 H. S.; FT (final de la tarde): 17-20 H. S.; TD (todo el dia): 6-20 H. S.; *, corresponde a una sola carga.

dándose al mediodía y en el inicio de la tarde situaciones de transición entre ambos extremos. Pero además, dentro de las cargas de cada tipo polínico también se observaron diferencias de peso medio entre las recogidas en los distintos intervalos, siendo las cargas del inicio y el final de la tarde menos pesadas que las de los otros dos intervalos, con la sola excepción de *Rubus ulmifolius*. Las mayores diferencias de peso medio entre cargas de distintos intervalos se dieron en las de *Quercus suber* seguidas de las de Cistaceae, y el extremo opuesto lo ocuparon las cargas de *Rubus ulmifolius* seguidas de las de *Echium plantagineum*.

La Tabla 3 muestra cómo se reparte a lo largo del día la apertura de flores en aquellas especies que más polen han proporcionado a nuestras abejas. Se observa que las especies de

ESPECIES	FECHA	HORA SOLAR							
		a. 6	6-8	8-10	10-12	12-14	14-16	16-18	18-20
<i>Halimium halimifolium</i>	24-4-87	12	40	46	2	0	0	0	0
<i>Cistus crispus</i>	24-4-87	0	30	60	10	0	0	0	0
<i>Anchusa azurea</i>	20-5-88	10	33	22	10	9	7	6	3
<i>Quercus suber</i>	20-4-88	4	12	17	44	13	4	4	2
<i>Rubus ulmifolius</i>	27-5-87	8	9	22	26	23	9	3	0
<i>Ononis baetica</i>	27-5-87	0	0	16	57	17	4	6	0
<i>Echium plantagineum</i>	28-5-86	7	7	17	25	20	15	9	0
<i>Eucalyptus cam. × res.</i>	27-5-87	9	10	17	19	17	14	14	0

TABLA 3.— Ritmo diario de apertura de flores en las especies cuyo polen ha sido recogido por nuestras abejas. En la columna de fecha se indica qué día fueron tomados los datos de cada especie. Las cifras de cualquiera de las columnas de un intervalo horario determinado indican el porcentaje del total de flores por abrir durante todo el día que abren en ese periodo.

Cistaceae fueron las que más temprano abrieron sus flores, estando casi todas abiertas para las 10 H. S. Por su parte, las flores de *Anchusa azurea* y *Quercus suber* entraron en antesis durante todo el día; la primera de éstas presentó sus mayores tasas de apertura de flores entre las 6-10 H. S., mientras que la mayoría de las flores de *Q. suber* abrió entre las 8 y las 12 H. S. *Rubus ulmifolius*, *Echium plantagineum* y *Eucalyptus camaldulensis × resinifera* abrieron sus flores desde primera hora de la mañana hasta las 18 H. S., produciéndose el mayor número de antesis en estas tres especies entre las 8 y las 14 H. S. Finalmente, el 90 % de las flores de *Ononis baetica* entró en antesis entre las 8 y las 14 H. S. y las restantes lo hicieron desde las 14 hasta las 18 H. S.

Salvo en *Rubus ulmifolius*, en todas estas especies la apertura de sus flores supone la exposición del polen, por lo que el ritmo diario de apertura es también el de presentación del polen. En *R. ulmifolius* las anteras de cada flor exponen el polen gradualmente durante varias horas después de la antesis.

Sin duda el día de nuestro de las colmenas, la apertura de flores de Cistaceae y *Quercus suber* se produjo antes de lo que indican los datos recogidos en la Tabla 3. En estas especies el ritmo de apertura de flores se estudió en unas fechas en que

amanece sensiblemente más tarde, la temperatura es más baja y la humedad relativa del aire es más alta que en la fecha que se muestraron las colmenas, y estos factores retrasan la apertura de flores y la exposición del polen (STANLEY & LINSKENS, 1974; BRANDT & GOTTSBERGER, 1988).

DISCUSION

La cantidad de polen recogida un dia por una colmena depende de factores como el tamano de la colonia (ALLEN & JEFFREE, 1956; McLELLAN, 1976), la extensión de la cámara de cria (HELMICH & ROTHENBUHLER, 1986) o sus reservas de polen (FREE, 1967), y de ahí las diferencias encontradas entre las cantidades de polen recogidas por cada una de nuestras colmenas.

En un área de 2 km en torno a las colmenas se encontraron el dia de muestreo alrededor de 190 especies en floración, y de éstas unas 90 estaban en pico (véase ORTIZ, 1991). Frente a estas cifras el número de fuentes de polen utilizadas por nuestras colonias resulta bastante bajo, lo cual concuerda con las observaciones de VISSCHER & SEELEY (1982) que señalan que las colonias organizan su actividad percoreadora de modo que en un dia determinado sus abejas se centran en unas pocas fuentes de alimento de alta calidad. Asimismo es destacable el alto grado de coincidencia entre las fuentes de polen empleadas por cada una de nuestras colmenas, sobre todo si se tiene en cuenta el gran número de recursos polínicos que tuvieron a su alcance. Esto sugiere que los factores que más fuertemente condicionaron la elección de recursos polínicos fueron comunes a las tres colmenas: por ejemplo, la abundancia relativa de cada especie (PERCIVAL, 1947; LOUVEAUX, 1959), la cantidad de polen por flor o unidad floral (PERCIVAL, l. c.), la distancia del recurso a la colmena (FREE & WILLIAMS, 1974), la presencia simultánea de néctar (PERCIVAL, 1955) o las condiciones meteorológicas (PERCIVAL, 1947; LOUVEAUX, 1958b). Otros elementos como los requerimientos nutricios del momento (PERCIVAL, 1955) o las preferencias innatas (FREE & WILLIAMS, 1973) de cada una de las colmenas podrían responder de las pequeñas diferencias existentes entre las tres colonias en cuanto a recursos polínicos utilizados. Dado que los niveles de población, actividad criadora y reservas de alimentos eran distintos en las tres colmenas es razonable

que también lo fueran sus requerimientos nutricios. Por el contrario, ya que muy probablemente nuestras reinas eran de orígenes próximos es posible que las preferencias innatas de sus obreras no fuesen muy dispares (FREE & WILLIAMS, l. c.).

Al igual que en el presente trabajo, ZUCCOLI (1987) observó en Italia que la mayor parte de la actividad recolectora de polen se desarrolla en la primera mitad del día. Aunque no hemos realizado ninguna medida para cuantificar la variación de la actividad pecoreadora global de nuestras colmenas a lo largo del día, sí hemos observado que el tránsito de abejas en las piqueras aumenta durante la mañana y se mantiene elevado durante el mediodía y gran parte de la tarde. BOSACOMA (1986) observó en Barcelona el mismo patrón de actividad pecoreadora contando abejas que regresaban a la colmena. La diferencia entre este patrón y el que hemos encontrado en la recogida de polen indica que la proporción de abejas recolectoras de polen respecto al total de pecoreadoras fue mayor durante la mañana que durante la tarde.

Halimium halimifolium y *Cistus crispus* abrieron sus flores por la mañana, siendo ese el periodo en que hubo mayor cantidad de su polen disponible a los polinizadores. Ambas ofrecen gran cantidad de polen por flor y la morfología de sus corolas no es en absoluto restrictiva, por lo que son visitadas por un gran número y variedad de insectos, sobre todo pequeños coleópteros e himenópteros, que rápidamente van mermando la masa de polen utilizable. La cantidad de polen de estas especies recogida por nuestras colmenas evolucionó paralelamente a la oferta, disminuyendo a medida que el día avanzaba. A partir de mediodía estas flores empiezan a desprender sus pétalos y los sépalos se cierran de nuevo sobre los verticilos fértiles, de modo que ya durante el inicio de la tarde hay una disminución enorme del número de flores abiertas. La importante reducción del peso de cada carga de este polen durante el inicio de la tarde estaría relacionada con la disminución del número de flores y del polen disponible y el consiguiente entorpecimiento de su recolección.

La mayor parte de las flores de *Quercus suber* expusieron su polen por la mañana y el mediodía. Se trata de una planta anemófila cuyo polen es fácilmente arrastrado por el viento. El día de muestreo de las colmenas hubo viento moderado que comenzó a soplar a mediodía, aumentó durante el inicio de la tarde y

disminuyó después. De este modo la cantidad de polen disponible para las abejas disminuiría a mediodía, al ser buena parte de éste arrastrado por el viento, y eso se refleja en una menor recolección. Durante el inicio de la tarde la masa de polen aprovechable sería, sin duda, aún menor, y además el viento movería más enérgicamente los amentos dificultando la actividad recolectora de *Apis mellifera*; ello se tradujo en una recolección de polen bastante inferior y en una fuerte caída del peso de cada carga. Por otra parte, cabe señalar que el carácter seco del polen de *Quercus suber* no parece dificultar en exceso su empaquetamiento en cargas.

El patrón de recogida de polen de *Ononis baetica* es altamente coincidente con el de apertura de sus flores. A partir de mediodía la proporción de flores con polen utilizable por las abejas respecto al total de flores abiertas disminuiría, complicándose la búsqueda de aquéllas y observándose una apreciable disminución del peso de cada carga.

El ritmo de recogida del polen de *Eucalyptus camaldulensis* × *resinifera* guarda poca relación con el de apertura de las flores de esta planta, presentando cada colmena un comportamiento diferente. El peso medio de una carga cae substancialmente durante el inicio de la tarde, y la causa podría ser el viento que haría difícil el pecoreo en flores situadas a una considerable altura sobre ramas péndulas.

En términos generales el patrón de recogida de polen de *Echium plantagineum* coincide con el de apertura de sus flores. El comportamiento de la colmena 2 se aparta de esta afirmación, pero esta colonia recogió muy poco polen de esta especie. *Echium plantagineum* es una especie nectarífera muy visitada por *Apis mellifera* que simultanea en muchos casos la recogida de su néctar y su polen. Las flores de *Echium plantagineum* producen mayor cantidad de néctar en las horas centrales del día, siendo más productivas las flores que llevan varias horas abiertas, las cuales habitualmente ya no presentan polen (POLO & ORTIZ, inédito). Las abejas melíferas que visitan esta especie a primera y última horas del día muestran preferencia por las flores recién abiertas, mientras en las horas centrales del día se decantan más por flores más antiguas (POLO & ORTIZ, inédito). De este modo, las abejas que simultanean el pecoreo de néctar y polen en esta especie recogerían cargas de néctar mayores en las horas centrales del

dia en detrimento de las de polen. Esta sería la causa del menor peso medio de las cargas del mediodía y el inicio de la tarde respecto a las de la mañana. Sin embargo, a final de la tarde las cargas de polen de *Echium* no vuelven a alcanzar el peso medio de por la mañana; esto podría explicarse porque a última hora, al disminuir la intensidad luminosa, muchas pecoreadoras regresarian a las colmenas antes de completar sus cargas. Este fenómeno explicaría también la disminución del peso medio de las cargas del resto de los tipos en el periodo de final de la tarde.

En *Rubus ulmifolius* la mayor exposición de polen se producirá varias horas después que la tasa de apertura de flores más alta. La mayoría de sus flores abrieron al final de la mañana y durante el mediodía, por lo que la tasa de recogida de este polen fue elevada a mediodía y máxima en el inicio de la tarde, recogiéndose en este último periodo las cargas más pesadas. No obstante, durante la mañana y el final de la tarde la oferta polínica de *Rubus* fue sin duda menos baja de lo que refleja la actividad recolectora de nuestras abejas.

La fuerte concentración de la actividad recolectora de polen de *Anchusa azurea* durante el mediodía contrasta con la mayortaria apertura de flores de esta especie durante la mañana. En ese periodo de gran actividad disminuirá considerablemente la proporción de flores con polen disponible, y esto se refleja durante el inicio de la tarde en un importante descenso de la tasa de recolección y una bajada apreciable del peso de cada carga de este polen.

En definitiva, la correlación observada entre el patrón de exposición del polen y el de su recogida por *Apis mellifera* es buena para algunas especies y no lo es tanto o casi no existe para otras, habiendo sin duda diversos factores que pueden afectar negativamente a la citada correlación (fenómenos meteorológicos o floraciones alternativas, por ejemplo). En este sentido nuestros resultados no se apartan de los obtenidos por PERCIVAL (1947, 1955). En cambio SYNGE (1947) encontró una conexión más estrecha entre el tiempo de presentación del polen de varias especies y el de su recolección por *Apis mellifera*.

Varios factores pueden apuntarse como posibles responsables de las diferencias de peso medio entre las cargas de polen de los distintos tipos. Podría existir relación entre el tamaño de los granos de polen (véase VALDES & al., 1987) y el peso medio

de las cargas: los granos de polen de Cistaceae son los mayores; los de *Quercus suber* son bastante más grandes que los de *Rubus ulmifolius* o *Eucalyptus camaldulensis* × *resinifera*, y éstos a su vez sensiblemente mayores que los de *Ononis baetica* y *Echium plantagineum*; sin embargo, los granos de polen de *Anchusa azurea* son bastante más voluminosos que los de *Quercus suber*. Podría pensarse que las cargas de plantas nectaríferas son menores que las de plantas estrictamente poliniferas, al simultanearse en el primer caso la recogida de néctar y polen: *Halimium halimifolium* y *Quercus suber* no producen néctar y *Cistus crispus* tiene un marcado carácter polinífero a pesar de producir néctar (TALAVERA & al., 1988), pero también *Ononis baetica* es estrictamente polinífero (ORTIZ, 1991). El grado de dificultad impuesto por la morfología floral a la hora de recoger el polen también podría influir en el peso medio de las cargas: la recogida de polen en *Echium plantagineum* y sobre todo en *Anchusa azurea* y *Ononis baetica* es sin duda más difícil que en el resto. Vemos, sin embargo, que ninguno de estos elementos explica por si solo las diferencias aludidas.

Aunque no hemos realizado medidas de tamaño de las cargas, a simple vista se aprecia una relación positiva entre éste y el peso de las mismas. Resulta obvio que cuanto más pequeña sea una carga de polen menor es la probabilidad de que sea retenida en la trampilla y viceversa. Por ello, el polen capturado en la trampilla no será fiel reflejo del recogido por las abejas, es decir las especies con cargas de polen más pequeñas estarán infrarrepresentadas en las muestras de polen obtenidas en trampillas y al contrario. Asimismo el grado de representación de las cargas de una especie en las muestras de las trampillas puede variar a lo largo del día.

AGRADECIMIENTOS

Este trabajo se ha financiado con cargo al proyecto CAICYT PA 85-297 concedido al Prof. S. TALAVERA, a quien agradecemos sus valiosas sugerencias. Los comentarios de la Dra. M. J. DÍEZ y M. ARISTA sobre versiones previas del manuscrito contribuyeron, sin duda, a mejorarlo.

BIBLIOGRAFÍA

ALLEN, M. D. & E. P. JEFFREE

- 1956 The influence of stored pollen and of colony size on the brood rearing of honeybees. *Ann. appl. Biol.* **44**(4): 649-656.

BOSACOMA, J.

- 1986 Medida de la actividad de pecoreo de las colonias de abejas. Factores que la influencian. Un estudio previo. *Actas II Congr. Nac. Apic. (Gijón, 1984)*: 249-254.

BRANDT, U. & G. GOTTSBERGER

- 1988 Flower phenology, pollinating insects and breeding systems in *Cistus*, *Halimium* and *Tuberaria* species in Portugal. *Lagascalia* **15** (extra): 625-634.

ERDTMAN, G.

- 1960 The acetolysis method. A revised description. *Svensk. Bot. Tidskr.* **54**(4): 561-564.

FREE, J. B.

- 1967 Factors determining the collection of pollen by honeybee foragers. *Anim. Behav.* **15**: 134-144.

FREE, J. B. & I. H. WILLIAMS

- 1973 Genetic determination of honeybee (*Apis mellifera* L.) foraging preferences. *Ann. appl. Biol.* **73**: 137-141.

- 1974 Influence of the location of honeybee colonies on their choice of pollen sources. *J. Appl. Ecol.* **11**(3): 925-935.

HELLMICH, R. L. & W. ROTHENBUHLER

- 1986 Relationship between different amounts of brood and the collection and use of pollen by the honeybee (*Apis mellifera*). *Apidologie* **17**(1): 13-20.

HIDEUX, M.

- 1972 Techniques d'étude du pollen au MEB: effects comparés des différents traitements physicochimiques. *Micron* **3**: 1-31.

JEAN-PROST, P.

- 1985 *Apicultura*. Ediciones Mundi-Prensa. Madrid.

LOUVEAUX, J.

- 1958a Recherches sur la récolte du pollen par les abeilles (*Apis mellifica* L.). *Ann. Abeille* **1**: 113-188.

- 1958b Recherches sur la récolte du pollen par les abeilles (*Apis mellifica* L.) (suite). *Ann. Abeille* **1**: 197-221.

- 1959 Recherches sur la récolte du pollen par les abeilles (*Apis mellifica* L.) (fin). *Ann. Abeille* **2**(1): 13-111.

MCLELLAN, A. R.

- 1976 Factors affecting pollen harvesting by the honeybee. *J. Appl. Ecol.* **13**(3): 801-811.

ORTIZ, P. L.

- 1991 *Melitopalinología en Andalucía Occidental*. Tesis Doctoral. Editorial Universidad de Sevilla. Sevilla.

PERCIVAL, M.

- 1947 Pollen collection by *Apis mellifera*. *New Phytol.* **46**: 142-173.
1955 The presentation of pollen in certain Angiosperms and its collection
by *Apis mellifera*. *New Phytol.* **54**: 353-368.

REITSMA, T.J.

- 1969 Size modification of recent pollen grains under different treatments.
Rev. Palaeobot. Palynol. **9**: 175-202.

STANLEY, R. G. & H. F. LINSKENS

- 1974 *Pollen. Biology Biochemistry Management*. Springer-Verlag. Berlin.
Heidelberg. New York.

SYNGE, A. D.

- 1947 Pollen collection by honeybees (*Apis mellifera*). *J. Anim. Ecol.* **16**:
122-138.

TALAVERA, S.; J. HERRERA; J. ARROYO; P. L. ORTIZ & J. A. DEVESA

- 1988 Estudio de la flora apícola de Andalucía Occidental. *Lagascalia*
15 (extra): 567-591.

VALDES, B.; M. J. DÍEZ & I. FERNÁNDEZ

- 1987 *Atlas Polínico de Andalucía Occidental*. Inst. Des. Regional y Excma.
Diputación de Cádiz. Sevilla.

VISSCHER, P. K. & T. D. SEELEY

- 1982 Foraging strategy of honey bee colonies in a temperate deciduous
forest. *Ecology* **63**(6): 1790-1801.

ZUCOLI, L.

- 1987 Pollini di piante anemogame ed entomogame bottinati da *Apis mellifera* L. in Bassa Valtellina. *Apicoltura* **3**: 101-111.

OCHROPORUS RHAMNI (M. BONDARTSEVA) FIASSON & NIEMELÄ EM PORTUGAL

I. MELO¹ & M. T. TELLERÍA²

¹ Museu, Laboratório e Jardim Botânico, Rua da Escola Politécnica, 58, 1200 Lisboa,
² Real Jardín Botánico, Plaza de Murillo, 2, 28014 Madrid — Espanha

Received em 22-XI-1991.

SUMARIO

A ocorrência de *Ochroporus rhamni* (M. Bondartseva) Fiasson & Niemelä é referida pela primeira vez em Portugal. É dada uma breve descrição da espécie baseada no material português e feito um levantamento da sua distribuição mundial.

SUMMARY

The first record of *Ochroporus rhamni* (M. Bondartseva) Fiasson & Niemelä is reported from Portugal. A brief description of the species based on the portuguese specimen is given, and its world distribution is surveyed.

NO decurso de uma exploração micológica na região do Alto Alentejo, em Maio de 1989, empreendida no âmbito do projeto Flora Micológica Ibérica (PR87-0370), a nossa atenção foi despertada por um espécime de *Hymenochaetaceae* (*Aphyllophorales*, *Basidiomycotina*) que crescia sobre caules mortos de *Cytisus* sp. Pelo aspecto macroscópico não restavam dúvidas que seria certamente uma espécie de *Phellinus* s. l., lembrando a dimensão dos poros e a cor do himenóforo qualquer coisa parecida com *P. punctatus*. A pouca espessura do espécime, porém, aliada à presença de numerosas fendas dispostas em retículo que apareceram durante o processo de secagem, fizeram-nos afastar essa hipótese. Estas mesmas características levaram-nos a tentar identificar o nosso espécime como *Ochroporus rhamni*, uma espécie rara, encontrada no Centro e no Sul da Europa, e depois, a observação microscópica do material, permitiu confirmar essa identificação.

Ochroporus rhamni (M. Bondartseva) Fiasson & Niemelä, *Karsenia* 24: 26, 1984.

Phellinus rhamni (M. Bondartseva) H. Jahn, *Westfäl. Pilzbriefe* 6: 89, 1967.

Alto Alentejo: Marvão, Carvalhal, 29SPD3759, 630 m, em caule seco de *Cytisus* sp., 6.V.1989, I. Melo & J. Cardoso 4163 (LISU).

Basidioma de consistência lenhosa, firmemente adnado ao substrato, totalmente resupinado, estendendo-se ao longo do caule, formando uma mancha com cerca de 12 cm de comprimento e 3-4 cm de largura, fino, não ultrapassando 2,5 mm de espessura, de contorno irregular, por vezes sem margem ou então com margem estéril muito fina, superfície dos poros castanho-acinzentada escura, com um brilho sedoso-acetinado no material fresco, contraíndo na secagem e ficando profundamente atravessada por fendas, dispostas em retículo. Poros pequenos, regulares, 6-8/mm, arredondados ou levemente angulosos com dissepimentas finas. Tubos indistintamente estratificados, concolores com os poros, subículo muito fino, 0,5 mm de altura.

Sistema de hifas dimítico, hifas geradoras 2-2,7 μm de diâmetro, de membrana fina, ramificadas, com septos simples (Fig. 1d), hifas esqueléticas 2,5-4 μm de diâmetro, não ramificadas, de paredes desigualmente espessadas, amarelas-acastanhadas (Fig. 1e). Hifas dispostas paralelamente nas dissepimentas.

Espínulas himenais 17-28 \times 6-10 μm , de ápice agudo e dilatadas na base, com paredes castanhas escuras, muito espessadas, geralmente geniculadas na base.

Basídios aclavados, 10-12 \times 6-7,5 μm , com 4 esterigmas até 3 μm de comprimento (Fig. 1b).

Esporos 5-6 \times 4-5 μm , subglobosos a largamente elipsóides, com membrana levemente espessada e apículo distinto, inamíloides, indextrinóides e acianófilos (Fig. 1a).

A primeira referência à existência desta espécie na Europa é feita por BOURDOT & GALZIN (1928: 624) sob o nome de *Phellinus laevigatus*. Mais tarde é brevemente descrita por M. BONDARTSEVA como *P. laevigatus* var. *rhamni* (SINADSKIJ & BONDARTSEVA, 1960) e elevada a espécie, *Phellinus rhamni*, por JAHN (1967: 89).

O. rhamni é um fungo termófilo, sendo conhecido da Europa central e meridional (Fig. 2). Referido primeiro para a França (BOURDOT & GALZIN, *op. cit.*) foi depois encontrado na União Soviética (SINADSKIJ & BONDARTSEVA, *op. cit.*, BONDARTSEVA & PARMASTO, 1986: 115-116) e mais tarde registado na Alemanha,

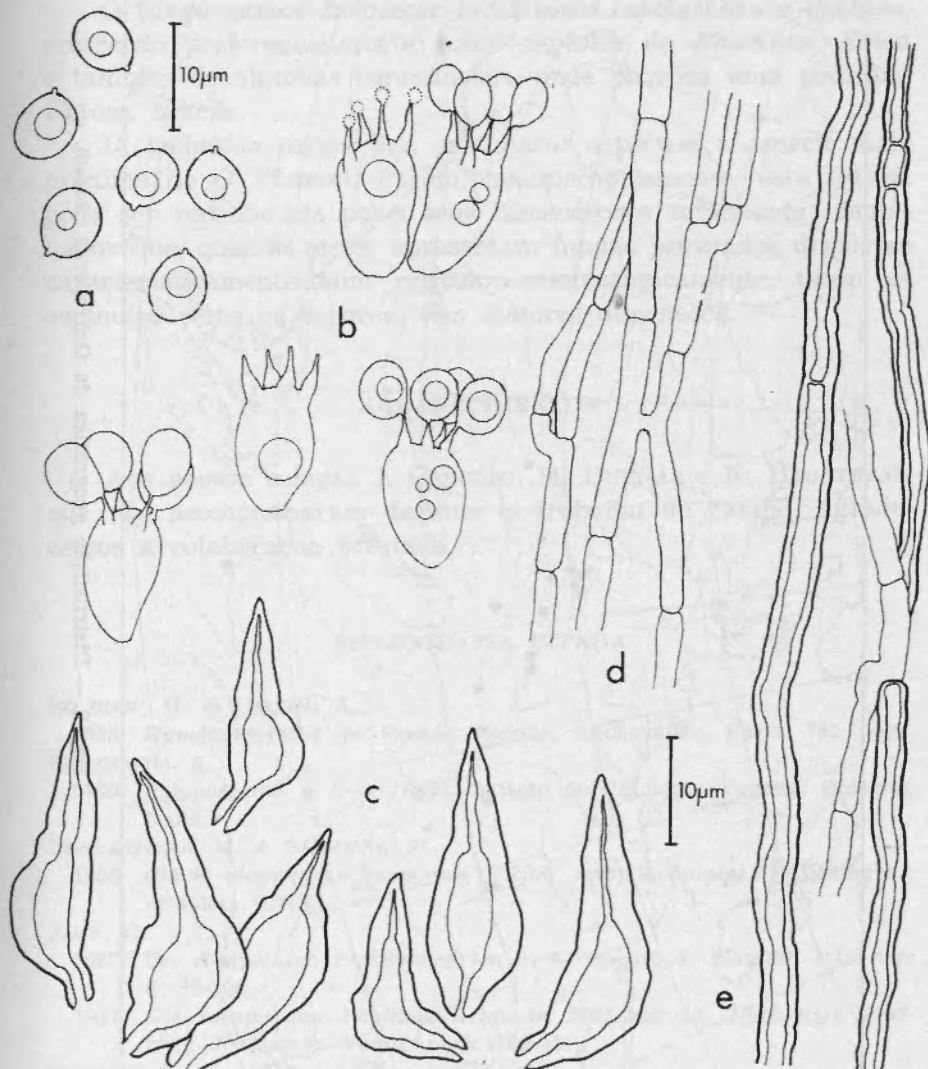


Fig. 1. — *Ochroporus rhamni*: a) esporos, b) basídios, c) espinulas himeniais, d) hifas geradoras, e) hifas esqueléticas.

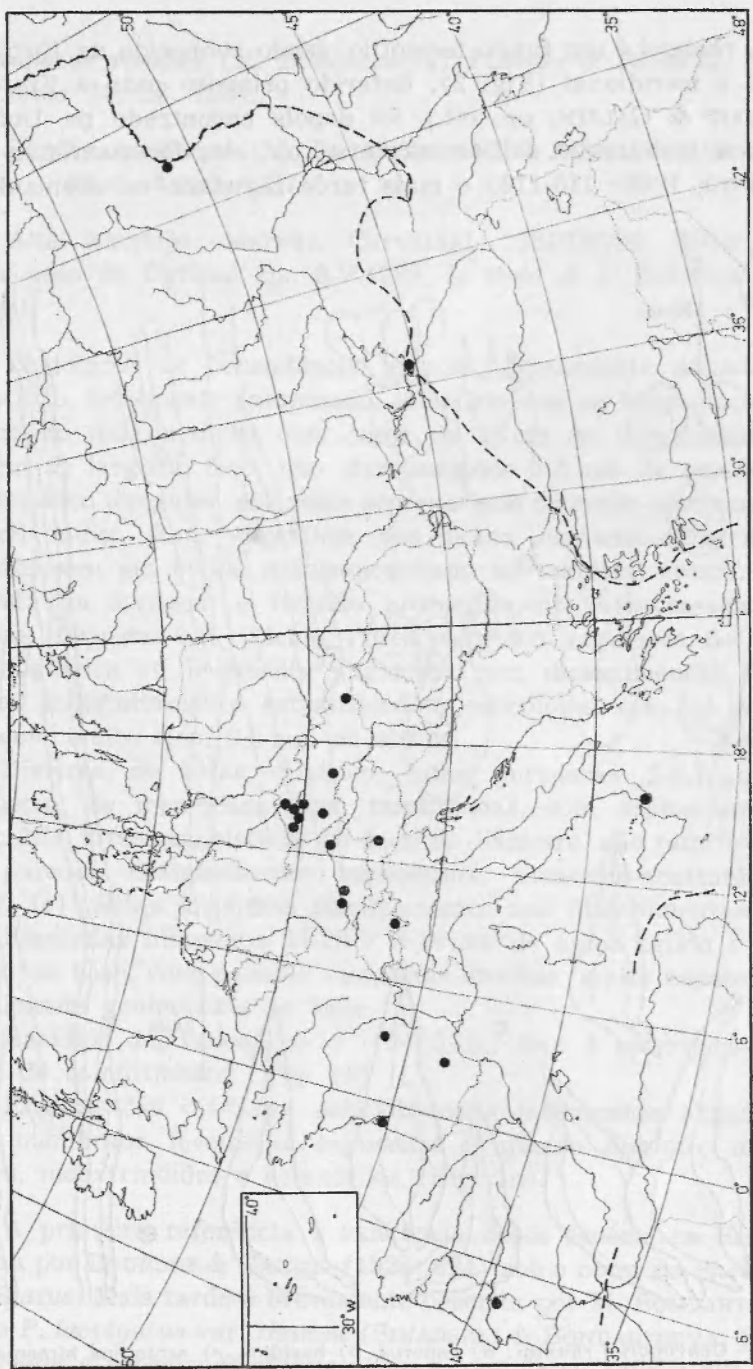


Fig. 2.—Distribuição geográfica de *Ochthoporus rhamni*.

Áustria e Checoslováquia (JAHN, 1967: 90). NIEMELÄ (1972: 57) voltou a referir colheitas da Áustria e Checoslováquia e JAHN (1981: 138) alargou a sua área de distribuição à Suíça. KOTLABA (1984: 34), publicou todas as localidades onde o fungo foi encontrado na Checoslováquia e recentemente, BERNICCHIA (1990: 420), registou a ocorrência desta espécie na Itália.

O fungo parece favorecer localidades ensolaradas e quentes, crescendo preferencialmente sobre espécies de *Rhamnus*, *Erica* e também de algumas leguminosas, onde provoca uma podridão fibrosa branca.

O. lavigatus parece ser, em muitos aspectos, a espécie mais próxima de *O. rhamni*. Porém, macroscopicamente, esta última pode ser reconhecida pelos seus himenóforos totalmente resupinados que, quando secos, apresentam fendas profundas dispostas characteristicamente num retículo; microscopicamente, tanto as espínulas como os esporos, têm maiores dimensões.

AGRADECIMENTOS

Aos nossos colegas J. CARDOSO, M. DUEÑAS e K. HJORTSTAM que nos acompanharam durante o trabalho de campo, agradecemos a colaboração prestada.

BIBLIOGRAFIA CITADA

- BOURDOT, H. & GALZIN, A.
1928 *Hyménomycètes de France*. Sceaux, Lechevalier, Paris, 761 pags.
- BERNICCHIA, A.
1990 *Polyporaceae s. l. in Italia*. Istituto de Patologia Vegetal. Bologna. Italia.
- BONDARTSEVA, M. & PARMASTO, E.
1986 *Clavis diagnostica fungorum URSS. Aphyllophorales. I.* Leningrad. «Nauka». URSS.
- JAHN, H.
1967 Die resupinaten *Phellinus-Arten* in Mitteleuropa. *Westfäl. Pilzbriefe* 6: 37-108.
1981 Die resupinaten *Phellinus-Arten* in Mitteleuropa. *Nachträge 1967-1981*. J. Cramer. Vaduz. pags. 109-151.
- KOTLABA, F.
1984 *Zeměpisné rozšírení a ekologie chorosu (Polyporales s. l.) Ceskoslovensku*. Academia. Praha.

NIEMELÄ, T.

- 1972 On Fennoscandian Polypores. II. *Phellinus laevigatus* (Fr.) Bourd. & Galz. and *P. lundellii* Niemelä, n. sp. *Ann. Bot. Fennici* 9: 41-59.
- SINADSKIJ, J. & BONDARTSEVA, M.
- 1960 Nekotorye trutovyye griby na listvennyh porodah v pojme reki Ural. *Bot. Mater. Otdela Sporovyh Rastenij Bot. Inst. Akad. Nauk SSSR* 13: 222-232.

POLUIÇÃO ATMOSFÉRICA

CARACTERIZAÇÃO DE ESTADOS DE REFERÊNCIA EM TORNO DA CENTRAL TÉRMICA DA TAPADA DO OUTEIRO, BROALHOS, PORTO

A. SÉNECA & F. BARRETO CALDAS

Instituto de Botânica Dr. Gonçalo Sampaio, Fac. Ciências, U. P.
Rua do Campo Alegre, 1191, P 4100 Porto

Received em 30-XII-1991.

RESUMO

Caracteriza-se o estado de referência em torno da Central termoeléctrica da Tapada do Outeiro, Broalhos, Porto através do estudo qualitativo e quantitativo da vegetação brio-epifítica. O forófito utilizado foi *Olea europaea* L. Foram realizadas 11 amostras numa área de cerca de 25 km² em torno da Central. Ao calcular valores de índice de Pureza Atmosférica (IPA), os diferentes pontos foram incluídos em classes de pureza atmosférica de acordo com BENTO-PEREIRA & SÉRGIO (1983).

SUMMARY

This study refers to the general actual condition state of the bryo-epiphytic flora on *Olea europaea* L. of an area surrounding the thermo-power station of Tapada do Outeiro, near Oporto. Eleven samples were made on an area of about 25 km² and for each one a value of an Atmospheric Purity Index was calculated. The general conclusion was that this flora is negatively affected in its species richness, vitality and cover by atmospheric pollution.

1 — INTRODUÇÃO

As sensibilidade de briófitas à poluição atmosférica é conhecida na Europa desde há cerca de 100 anos quando ARNOLD (1982) observou que algumas espécies de musgos estavam a desaparecer em Munique. A sua sensibilidade demonstrou-se superior à das plantas vasculares (BARKMAN, 1969) e não inferior à dos líquenes (GILBERT, 1969), e por isso muitos autores as têm utilizado em

estudos de poluição atmosférica (LEBLANC & RAO, 1974, SÉRGIO & BENTO-PEREIRA, 1981, BENTO-PEREIRA & SÉRGIO, 1983, SÉRGIO & SIM-SIM, 1985). Dos estudos efectuados é evidente que os poluentes atmosféricos são responsáveis pelo desaparecimento de espécies e pelo empobrecimento das comunidades briofíticas em áreas urbanas e/ou industrializadas, uma vez que o padrão de distribuição das espécies e/ou o seu estado de vitalidade reflecte o padrão de distribuição das emissões poluentes.

O dióxido de enxofre libertado na atmosfera altera a distribuição das espécies briofíticas provocando necrose foliar, dado que é absorvido directamente para as células em solução aquosa (BARKMAN, 1969), e alterações no ciclo reprodutivo, por impedimento da reprodução sexuada ou de qualquer tipo de reprodução, pois a acidificação dos substratos interfere com a produção e sobrevivência dos diásporos vegetativos e protonemas (GILBERT, 1971). As espécies variam na sua sensibilidade estando esta dependente de factores ambientais, nomeadamente microclimáticos e microtopográficos.

Neste trabalho pretendeu-se estudar o efeito quantitativo e qualitativo do impacto que as emissões de SO₂ da Central térmica da Tapada do Outeiro, Broalhos, exercem nas comunidades de briofitas epífitas, de modo a caracterizar um estudo de referência. Em Portugal, trabalhos deste tipo são ainda escassos (BENTO-PEREIRA & SÉRGIO, 1983, SÉRGIO & SIM-SIM, 1985) e na região Norte é a primeira vez que esta metodologia é utilizada.

2 — CARACTERIZAÇÃO GERAL DA ÁREA

A região em estudo tem uma elevada densidade populacional e industrial. Para além da Central, cuja emissão poluente mais significativa é SO₂, existem nas imediações outras unidades industriais que emitem para a atmosfera essencialmente este composto e também compostos do tipo NO_x. A actividade agrícola tem aqui um papel importante, ocupando a quase totalidade dos terrenos aráveis. Da vegetação natural, que BRAUN-BLANQUET (1956) indica como sendo constituída por bosques dominados por *Quercus robur* L. pouco resta, uma vez que as áreas não utilizadas para a agricultura foram florestadas com *Pinus pinaster* e *Eucaliptus* sp.

Do ponto de vista bioclimático esta região está incluída no domínio atlântico (ALCOFORADO *et al.*, 1982) e os ventos dominantes durante os meses húmidos são do quadrante SE de acordo com medidas tomadas no local desde 1986.

Este trabalho foi realizado a pedido da EDP e por isso incidiu em torno desta Central térmica. Não corresponde, pois, a uma caracterização geral da área em termos de poluição atmosférica, o que exigiria o alargamento substancial da área amostrada. Trata-se, assim, de uma abordagem parcial ao problema das emissões poluentes nesta região, que no entanto se pensa ser um ponto de partida importante para trabalhos subsequentes mais alargados e/ou aprofundados.

3 — METODOLOGIA

Foram utilizados métodos quantitativos e qualitativos na análise e estudo da vegetação briofítica epífita. Foram utilizados como forófitos exemplares adultos de *Olea europaea* L. por ter já sido utilizada em Portugal noutros estudos (BENTO-PEREIRA & SÉRGIO, 1983, SÉRGIO & SIM-SIM, 1985). Foram realizadas 11 amostras distribuídas numa área de 25 km² em torno da Central (Fig. 1). Na tentativa de minimizar o efeito que diferentes factores ambientais pudessem ter no padrão de distribuição das espécies, na localização das amostras foi tido em conta, para além de uma boa dispersão: a direcção dominante dos ventos, topografia, localização dos olivais e algumas características das árvores — idade, número e troncos desprovidos ou sem vestígios da presença de hera. Sempre que possível foram examinadas 10 árvores por amostra. Nalguns casos em que isso não foi possível optou-se por examinar um número inferior dada a importância da localização da amostra.

A vegetação epífática foi estudada desde a base até 2 m de altura. Para cada árvore registaram-se as espécies ocorrentes e determinaram-se os valores de sociabilidade e cobertura (si) e de vitalidade (vi), variando o primeiro de 1 a 5 e o segundo de 1 a 4 de acordo com escalas utilizadas por BENTO-PEREIRA & SÉRGIO (1983).

Para cada amostra foi calculada a diversidade específica expressa em número de espécies presentes e aplicada a fórmula do Índice de Pureza Atmosférica (IPA) segundo LEBLANC &

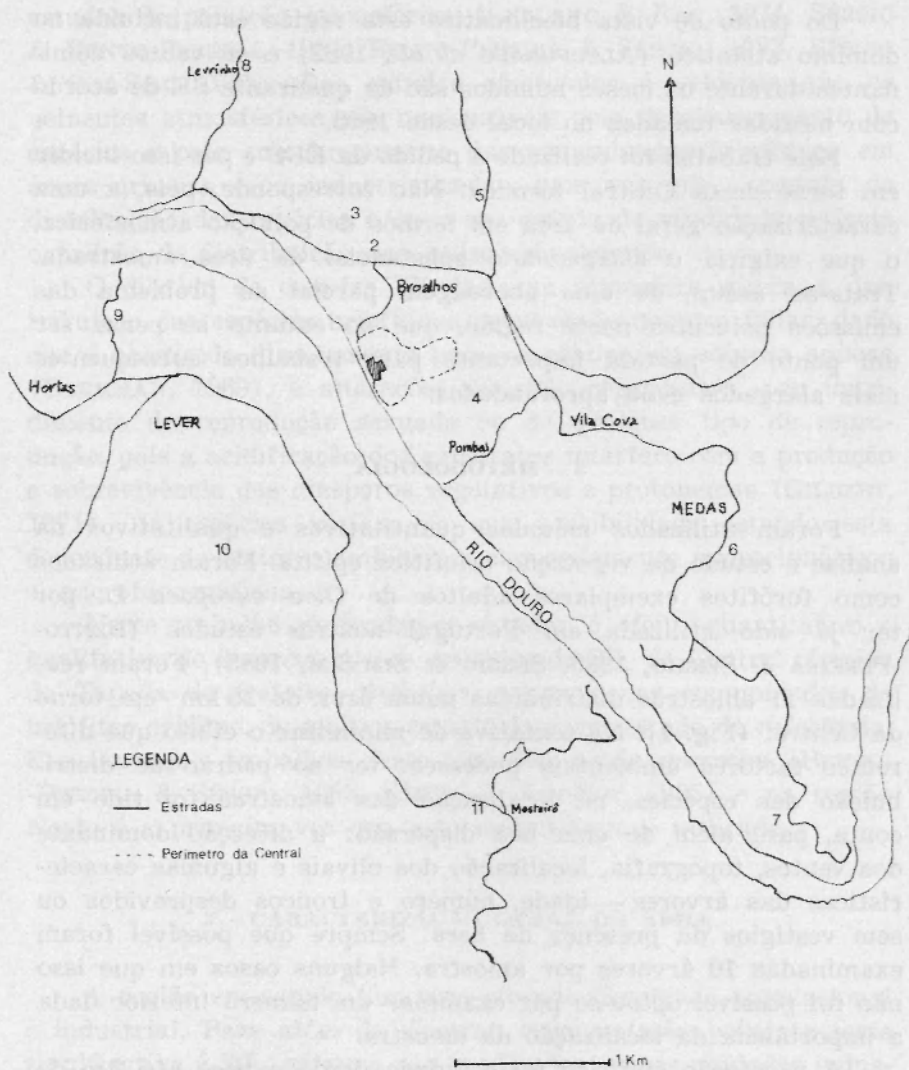


Fig. 1. — Representação esquemática da área estudada e localização dos pontos de amostragem.

SLOOVER (1970), adaptada por HOFFMANN (1974). Esta fórmula foi ajustada para que os valores fossem 10 vezes inferiores de acordo com BENTO-PEREIRA & SÉRGIO (1983):

$$\text{IPA} = 1/100 \sum (s_i + v_i) Q_i$$

Qi — índice ecológico correspondente ao número médio de espécies a que cada epífito se encontra associado na totalidade das amostras.

Os valores de IPA de cada amostra foram incluídos em classes relacionadas com a concentração atmosférica de SO₂. Estas classes, definidas para o vale do Tejo, região de características distintas (SÉRGIO & BENTO-PEREIRA, 1981) incluem:

QUADRO I

Relação entre classes de pureza atmosférica definidas em termos de valores de IPA com a [SO₂] atmosférico

Classes	I	II	III	IV	V	VI
IPA	0-1	1-5	5-10	10-20	20-30	> 30
[SO ₂] u g/m ³	> 125	70-125	60-70	50-60	40-50	< 40

4 — RESULTADOS

Ao todo foram reconhecidas 33 espécies de briófitas epífitas.

A comunidade estudada está relacionada com a comunidade clímax Leucodontalia (VON HUBSCHMANN, 1952) emend. LECOINTE, 1975), na associação Tortuletum laevipilae (ALLORGE, 1922, DUVIGNEAUD, 1941), agrupamento empobrecido (LECOINTE, 1975). Estas comunidades que, no estado climálico, cobrem 81% dos troncos de árvores jovens — adultas isoladas, encontram-se largamente distribuídas nas regiões subatlântica, continental e mediterrânea da Europa e, do ponto de vista ecológico, possuem características heliófilas e mesoxerófilas (LECOINTE, 1975).

O Quadro II apresenta a listagem das espécies identificadas e a frequência percentual da sua ocorrência por amostra e o seu Qi médio. Faz ainda referência aos valores de IPA calculados em cada amostra, incluindo-as em classes de pureza atmosférica (ver Quadro I). Para cada ponto de amostragem é também indicada a diversidade específica expressa em termos de número de espécies identificadas em cada local. Optou-se por exprimir a diversidade nestes termos por ser o índice que melhor expressa as alterações observadas na comunidade.

QUADRO II

Frequência percentual de ocorrência das espécies nas amostras. Também indicado o Qi de cada espécie, os valores de IPA e as classes em que se inclui cada ponto de amostragem. (Nomenclatura dos musgos segundo DUELL, 1984, 1985 e das hepáticas segundo DUELL, 1983)

Amostras	1	3	6	9	5	2	11	5	8	10	7
Diversidade	5	4	12	8	8	11	16	15	11	13	17
IPA	0,7	0,7	1,3	2,1	2,1	3,1	3,6	4,2	4,8	5,6	5,8
Classes	I	I	II	II	II	II	II	II	III	III	III
Qi											
7,00 <i>Barbula unguiculata</i>	0	0	0	33	0	0	0	0	0	0	0
9,00 <i>Brachythecium velutinum</i>	10	0	10	0	10	17	0	0	25	17	0
10,50 <i>Bryum capillare</i>	10	0	20	33	40	67	33	100	25	50	83
10,75 <i>Bryum sp.</i>	0	0	20	0	20	17	33	0	0	0	0
12,50 <i>Campylopus fragilis</i>	0	0	0	0	0	17	17	0	0	0	0
15,00 <i>Campylopus pilifer</i>	0	0	0	0	0	0	33	0	0	0	0
13,00 <i>Cynodontium bruntonii</i>	0	0	0	0	0	0	0	14	0	0	0
10,10 <i>Dicranoweisia cirrata</i>	10	25	10	0	80	83	50	43	50	83	33
13,00 <i>Eurhynchium pulchellum</i>	0	0	30	0	0	0	0	0	0	17	33
15,00 <i>E. praelongum</i>	0	0	0	0	0	0	17	0	0	0	0
11,00 <i>Fissidens viridulus</i>	0	0	10	0	0	0	0	0	0	0	0
9,82 <i>Frullania dilatata</i>	30	38	70	33	100	100	83	57	100	100	100
15,00 <i>Grimmia sp.</i>	0	0	0	0	0	0	17	0	0	0	0
15,00 <i>Hedwigia ciliata</i>	0	0	0	0	0	0	17	0	0	0	0
11,75 <i>Homalothecium sericeum</i>	0	0	20	0	10	17	33	57	50	100	83
10,00 <i>Hypnum andoi</i>	0	0	0	0	0	0	0	0	25	0	0
9,82 <i>H. cupressiforme</i>	10	38	60	67	30	83	33	71	100	67	100
11,00 <i>Lophocolea bidentata</i>	0	0	10	0	0	0	0	0	0	0	0
11,25 <i>Metzgeria furcata</i>	0	0	0	33	0	17	0	0	0	33	17
13,00 <i>Orthotrichum sp.</i>	0	0	0	0	0	0	0	14	0	0	0
14,00 <i>O. affine</i>	0	0	0	0	0	0	17	43	0	0	0
11,50 <i>O. diaphanum</i>	0	0	0	33	0	0	0	0	0	0	17
10,67 <i>O. lyellii</i>	0	13	0	0	0	17	0	43	100	67	50
14,00 <i>O. tenellum</i>	0	0	0	0	0	0	17	29	0	67	33
16,00 <i>Plagiomnium affine</i>	0	0	0	0	0	0	0	0	0	0	17
13,00 <i>Porella obtusata</i>	0	0	0	0	0	0	0	0	25	0	33
11,25 <i>Pterogonium gracile</i>	0	0	0	33	20	17	33	57	100	50	83
13,00 <i>Radula complanata</i>	0	0	0	0	0	0	0	0	50	0	17
15,00 <i>Scapania compacta</i>	0	0	0	0	0	0	33	0	0	0	0
13,75 <i>Scleropodium touretii</i>	0	0	10	0	0	0	17	14	0	0	17
11,80 <i>Tortula laevipila</i>	0	0	16	67	0	0	0	29	0	67	17
11,00 <i>Trichostomum crispulum</i>	0	0	10	0	0	0	0	0	0	0	0
baumgatneri	0	0	0	0	0	0	0	14	0	33	33

Foi também estudado o modo como os valores de IPA se relacionam com a diversidade em cada ponto de amostragem (Gráfico 1) e a relação existente entre esta e a vitalidade média das plantas em cada local (Gráfico 2).

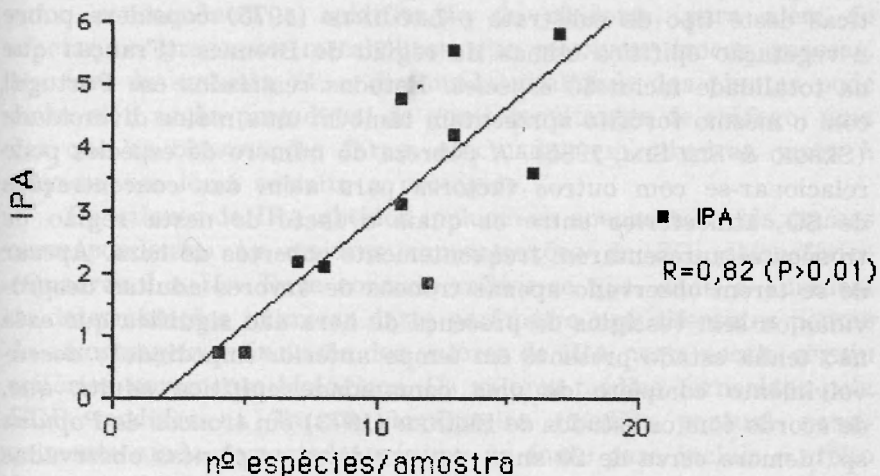


Gráfico 1. — Recta de regressão que relaciona a diversidade e os valores de IPA em cada ponto de amostragem.

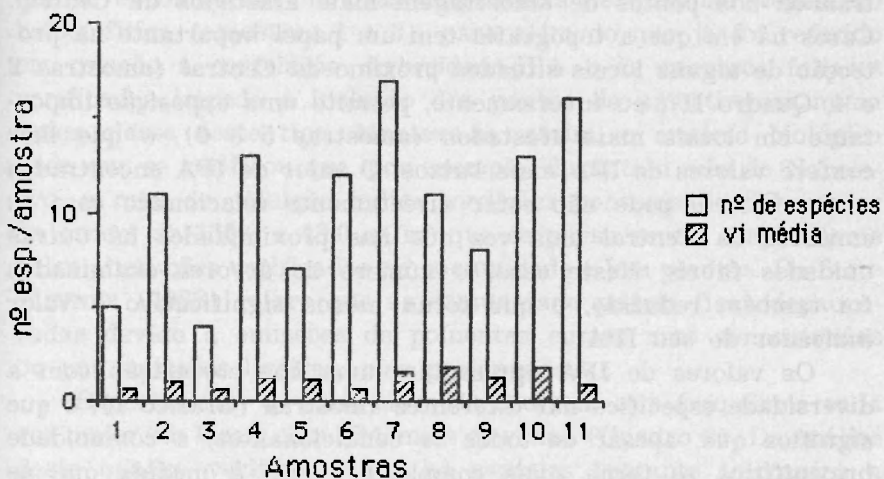


Gráfico 2. — Relação entre a diversidade específica e a vitalidade média das plantas observadas em cada ponto de amostragem.

5 — DISCUSSÃO

Do reconhecimento da vegetação brio-epifítica desta região pode concluir-se que se encontra bastante empobrecida. O número de espécies identificadas inclui algumas que não são características deste tipo de substrato e LECOINTE (1975) considera pobre a vegetação epifítica clímax da região de Brennes (França) que na totalidade inclui 55 espécies. Estudos realizados em Portugal com o mesmo forófito apresentam também uma maior diversidade (SÉRGIO & SIM-SIM, 1985). A pobreza do número de espécies pode relacionar-se com outros factores para além das concentrações de SO₂ atmosférico entre os quais o facto de nesta região os troncos se apresentarem frequentemente cobertos de hera. Apesar de se terem observado apenas troncos de árvores adultas desprovidas ou sem vestígios da presença de hera não significa que esta não tenha estado presente em tempo anterior impedindo o desenvolvimento completo de uma comunidade epifítica adulta que, de acordo com os estudos de BERNER (1973) em troncos de *Populus* sp., demora cerca de 20 anos. Apesar disso as plantas observadas apresentavam sinais evidentes de necrose foliar, por vezes em mais de 20% da área, o que indubitavelmente aponta para os efeitos nefastos que este tipo de emissões provoca nas plantas.

De um modo geral, valores de IPA mais elevados encontram-se nos pontos de amostragem mais afastados da Central. Casos há em que a topografia tem um papel importante na protecção de alguns locais situados próximo da Central (amostras 2 e 4, Quadro II), ou inversamente, permite uma exposição importante em locais mais afastados (amostras 5 e 6), o que lhes confere valores de IPA mais baixos. O valor de IPA encontrados na amostra 9 pode não estar directamente relacionado com as emissões da Central uma vez que nas proximidades há outras unidades fabris. Neste caso, o número de árvores examinadas foi também reduzido, o que torna menos significativo o valor indicador do seu IPA.

Os valores de IPA apresentam uma boa correlação com a diversidade específica nas diferentes amostras (Gráfico 1), o que significa que, apesar de todos os condicionantes, a comunidade brioepifítica se torna mais complexa e rica à medida que as emissões poluentes se atenuam. Excepções são as amostras 6 e 11 a cujos elevados valores de diversidade não correspondem valores

elevados de IPA. O Gráfico 2 mostra que, nestes casos, os baixos valores de IPA são consequência de as plantas apresentarem valores de vitalidade muito reduzidos. No primeiro caso o principal factor responsável é possivelmente a poeira causada pelo transporte aéreo de carvão em cestas, sobre o local. A poeira tem como consequência a acidificação do ritidoma, para além de afectar os processos metabólicos que envolvem trocas gasosas. No caso da amostra 11, a diminuída vitalidade das plantas pode dever-se à acção prejudicial de gases resultantes de tráfego, uma vez que as observações foram efectuadas em oliveiras junto à estrada, em local estreito e protegido.

Os valores de IPA obtidos incluem-se apenas nas três classes correspondentes às maiores concentrações de SO₂ atmosférico (Quadros I e II). Deve contudo referir-se que, dada a ausência de determinações químicas deste parâmetro nos diferentes pontos de amostragem, a inclusão dos valores de IPA nesta escala seguiu critérios puramente biológicos. Os valores médios fornecidos pela EDP, medidos na Tapada do Outeiro (medida pontual, possivelmente ainda demasiado próxima da fonte para incluir o efeito da pena de fumo) durante os meses de Outubro e Novembro de 1990 são bastante inferiores — 9,04 e 4,85 µg/m³, respectivamente —, o que por si permitiria a inclusão de toda a área numa classe de IPA máximo. Contudo, o facto de haver amostras em que se encontraram oliveiras desprovidas de qualquer vegetação brioepifítica (amostras 1 e 3), para além do que já foi referido em relação à correlação diversidade-IPA e às necroses foliares verificadas impede a inclusão dos pontos de amostragem numa única classe deste tipo. Manteve-se, assim, o critério biológico dado que se verificou que, por exemplo, durante o mês de Novembro, a rosa de poluição indica medições pontuais de SO₂ no ar da ordem de 135,0 e 43,0 µg/m³ que se pensa serem responsáveis pelas alterações verificadas na comunidade e nas plantas. De facto WINNER (1988) refere que as comunidades podem ficar depauperadas devido a emissões de poluentes curtas mas concentradas ou por emissões ligeiras, mas prolongadas.

Espécies com Qi mais elevadas ocorrem com frequência cada vez maior em locais com IPA mais elevados (Quadro 2). Da análise deste quadro verifica-se que há espécies bastante tolerantes a este tipo de emissões poluentes, cujo Qi é baixo, *Frullania dilatata*, *Hypnum cupressiforme*, *Bryum capillare* e *Dicranoweisia cirrata*.

A presença constante das duas primeiras está também relacionada com o facto de serem espécies pioneiras em habitats xerófíticos, enquanto que a de *D. c irritata* se prende com uma expansão generalizada a nível europeu em regiões sujeitas a determinados níveis de poluição (C. SÉRGIO, com. pess.). Outras espécies com Qi mais elevados apresentam sensibilidade diferencial a determinados níveis destas emissões, aparecendo apenas e com maior frequência em locais em que estas são inferiores a determinado nível. Estas espécies têm, pois, um considerável valor indicador. Este valor confere com os indicados por SÉRGIO (1987), se considerarmos os valores médios de concentração de SO₂ atmosférico indicados para esta região. Espécies como *Pterogonium gracile*, *Homalothecium sericeum* e *Orthotrichum lyleii*, normalmente presentes apenas quando a concentração de SO₂ atmosférico é inferior a 20 µg/m³ ocorrem aqui incluídos em classes de pureza atmosférica correspondentes a concentrações deste composto muito superiores possivelmente devido ao facto de apenas pontualmente e não de modo contínuo estas concentrações serem deste teor. Não deve subestimar-se, por outro lado, que as comunidades e a sensibilidade e tolerância das espécies respondem também a alterações do meio ambiente e que, quer a escala de IPA quer os valores de concentração de SO₂ atmosférico a ele associados e à presença ou ausência de determinadas espécies, foram obtidos para regiões com características diferentes da que agora se estudou. A utilização desta escala, mesmo assim condicionada, fornece indicações valiosas quer quanto ao estado do ar, pois permitiu evidenciar a importância que os critérios biológicos têm na definição da sanidade atmosférica de uma área, e levanta questões importantes sobre as diferenças que as comunidades brio-epifíticas e a sensibilidade das espécies podem apresentar em diferentes regiões do país.

6 — CONCLUSÃO

De modo geral pode afirmar-se que a vegetação brio-epifítica se encontra bastante afectada no que se refere à sua composição quantitativa e qualitativa, à sua vitalidade e cobertura.

Apesar de ser apenas uma primeira abordagem ao problema da poluição atmosférica por SO₂ nesta região, este trabalho mostra o valor e a contribuição que o estudo das comunidades brio-

-epifíticas pode dar para a avaliação do estado do ar em zonas urbanas e industrializadas.

A escala de classes de IPA e respectivas concentrações de SO₂ atmosférico associadas utilizada é susceptível de ser aferida para esta região em estudos posteriores, mais alargados. Estão também por caracterizar as comunidades brio-epifíticas clímax nesta zona do país, o que permitiria conclusões mais rigorosas quanto à presença ou ausência de determinadas espécies em situações como a estudada.

AGRADECIMENTOS

À Dr.^a CECÍLIA SÉRGIO pela ajuda na identificação de alguns exemplares e à EDP que financiou este trabalho.

BIBLIOGRAFIA

- ALCOFORADO, M. J.; ALEGRIA, M. F.; PEREIRA, A. R. & SIRGADO, C.
1982 Domínios bioclimáticos em Portugal definidos por comparação dos índices de Gaussem e Emberger. *Centro de Estudos Geográficos*, Rel. 14: 1-31.
- ARNOLD, F.
1982, in WINNER, 1988.
- BARKMAN, J. J.
1958 Phytosociology and ecology of cryptogamic epiphytes. Assen.
- BENTO-PEREIRA, F. & SÉRGIO, C.
1983 Líquenes e briófitos como bioindicadores da poluição atmosférica. II. Utilização de uma escala quantitativa para Lisboa, *Rev. Biologia*, 12: 297-312.
- BERNER, L.
1973 Combien faut-il de temps aux lichens et aux mousses corticoles pour peupler une surface neuve? *Rev. Bryol. Lichenol.*, 39(3): 473-477.
- BRAUN-BLANQUET, J.; PINTO DA SILVA, A. R. & ROZEIRA, A.
1956 Résultats de deux excursions géobotaniques à travers le Portugal septentrional et moyen. II. Chenaires à feuilles caduques. *Agronomia Lusit.*, 18(3): 167-241.
- DUELL, R.
1983 Distribution of European and Macaronesian liverworts (Hepaticophytina), *Bryologische Beiträge*, 2.
1984, 1985 Distribution of European and Macaronesian mosses (Bryophytina), *Bryologische Beiträge*, 4 e 5.
- GILBERT, O. L.
1969 The effects of SO₂ on lichens and bryophytes around Newcastle upon Tyne. In: Air Pollution, Proceedings of the First European Congress

- on the Influence of Air Pollution on Plants and Animals, p. 223-233. Wageningen, Netherlands.
- 1971 Urban bryophyte communities in Northeast England. *Trans. Brit. Bryol. Soc.*, 6: 306-316.
- HOFFMANN, G. R.
- 1974 The influence of a paper pulp mill on the ecological distribution of epiphytic cryptogams in the vicinity of Lewiston, Idaho and Clarkson, Washington. *Environ. Pollut.*, 7: 283-301.
- LEBLANC, F. & DE SLOOVER
- 1970 Relation between industrialization and the distribution and growth of epiphytic lichens and mosses in Montreal. *Can. J. Bot.*, 48: 1485-96.
- LEBLANC, F. & RAO, D. N.
- 1974 A review of the literature on bryophytes with respect to air pollution. *Soc. Bot. Fr., Coll. Bryol.*, 121: 237-255.
- LECOINTE, A.
- 1975 Etude phytosociologique des groupements de bryophytes de la Brenne (Indre, France). *Documents phytosociologiques*, 9-14: 165-195.
- SÉRGIO, C.
- 1987 Epiphytic bryophytes and air quality in the Tejo estuary. *Symposia Biologica Hungarica*, 35: 795-814.
- SÉRGIO, C. & BENTO-PEREIRA, F.
- 1981 Líquenes e briófitos como bioindicadores da poluição atmosférica. I. Utilização de uma escala qualitativa para Lisboa. *Bol. Soc. Brot.*, Sér. 2, 54: 291-303.
- SÉRGIO, C. & SIM-SIM, M.
- 1985 Estudo da poluição atmosférica no estuário do Tejo. A vegetação epifítica como bioindicadora. *Port. Acta Biol. (B)* 14: 213-244.
- WINNER, W. E.
- 1988 Responses of Bryophytes to Air Pollution. in Lichens, Bryophytes and Air Quality. *Bibl. Lichenol.*, 30: 141-173. J. Cramer Ed., Berlin-Stuttgart.

TAXA NOVA AGARICALIUM

MARCO CONTU

Via A. Manzoni, 33 — 09128 Cagliari, ITALIA

In redazione, 27-XII-1991.

RIASSUNTO

Sono proposti 11 taxa generici e infragenerici in seno all'ordine delle **Agaricales** (**Basidiomycetes**). Viene eretto il nuovo genere **Echinosporella** (**Lyophyllaceae**) per accomodarvi *Agaricus constrictus* Fries, dai caratteri strutturali ed ecologici alquanto particolari.

SUMMARY

Eleven new generic and infrageneric taxa are proposed into the **Agaricales** (**Basidiomycetes**). The new genus **Echinosporella** is erected to accommodate *Agaricus constrictus* Fries, a very peculiar entity from both micromorphological and edafic point of view.

KEY WORDS: Fungi, Basidiomycetes, Agaricales, generic and infrageneric taxa, new names.

I nuovi taxa generici e infragenerici proposti nella seguente comunicazione risultano da alcune riconsiderazioni personali sulla sistematica di alcuni generi facenti parte dell'ordine delle **Agaricales**. Piuttosto che essere inseriti nel corpo di alcuni futuri lavori specifici sui macromiceti della Sardegna essi sono riuniti ed illustrati in una sede unica.

Callistosporium sectio Pseudocollybia (Kühner ex Bon) Contu,
stat. nov.

Basionimo: *Callistosporium* subgenus *Pseudocollybia* Kühner
ex Bon, Doc. Mycol. 22/23: 279, 1976. Typus: *C. luteoolivaceum*
Sing.

Questa sezione comprende le specie dotate di ife rossastre-purpuree in NH₄OH e di basidi poco allungati, non superanti in lunghezza i 30 µm.

Callistosporium sectio Xerophorus (Bon) Contu, stat. nov.

Basionimo: Callistosporium subgenus Xerophorus Bon, Doc. Mycol. 79: 57, 1991 («1990»).

In contrapposizione alla precedente questa sezione annovera le specie ad ife verdiolivastre in NH₄OH e basidi superanti in lunghezza i 30 µm. Il typus è *C. olivascens* (Boud.) Bon.

Calocybe sectio Carneoviolaceae (Sing. ex Bon) Contu, comb. nov.

Basionimo: Rugosomyces sectio Carneoviolacei Singer ex Bon, Doc. Mycol. 82: 65, 1991. Typus: *C. ionides* (Fr.) Donk.

Mentre sembra accettabile senza troppe difficoltà il nuovo genere **Rugosomyces** Raith. recentemente proposto per includervi le **Lyophyllaceae** a rivestimento pileico cellulare o imeniforme, sembra un poco eccessivo approvare il recente emendamento del genere proposto da M. BON, il quale inserisce in **Rugosomyces** anche molte altre entità a rivestimento pileico tricodermico o quasi tale. Conseguentemente le specie *ionides*, *obscurissima*, *carnea*, *persicolor*, *alpestris* e *caucasica* (per limitarsi a quelle europee) devono essere mantenute in **Calocybe** e la sezione che le contiene va reinserita in tale genere.

Dermoloma sectio Atrobrunnea Sing. ex Contu, sect. nov.

Species sporis amyloideis praeditis. Typus: *D. atrobrunneum* (Dennis) Bon.

Questa sezione si oppone alla sez. **Dermoloma** che contiene specie prive di spore amiloidi (typus: *D. cuneifolium* sensu Singer).

Echinosporella Contu, genus novum Lyophyllacearum

Differt a *Calocybe* sporis echinulatis-aculeatis atque praesentia veli cortiniformi. Typus: *E. constricta* (Fr.) Contu, comb. nov.

Echinosporella constricta (Fries) Contu, comb. nov.

Basionimo: *Agaricus constrictus* Fries, Syst. Mycol. 1: 28, 1821.

La combinazione dei caratteri macro (presenza di un anello cortiniforme sempre ben formato ed evidente nella parte superiore del gambo) e micromorfologici (spore echinulate, ad aculei bassi, simili a quelli di certe *Laccaria* ma più fitti) rende l'*Agaricus constrictus* di Fries piuttosto isolato all'interno del genere *Calocybe* dove è stato collocato verosimilmente solo a causa dei basidi siderofili. L'unicità dei caratteri, unita all'ecologia molto peculiare (terreni molto concimati come stalle, pollai, etc.) giustifica appieno la collocazione di *constrictus* in un genere a se' stante. L'altra specie della (ex) sezione *Echinosporae* J. Lge (ora sinonimo di *Echinosporella*), *C. leucocephala*, non entra in questo nuovo genere sia per la diversa ornamentazione della spora che per l'assenza di velo; anche l'habitat (boschivo) è incompatibile.

Laccaria sectio Laccaria subsectio Amethystinae (Bon) Contu, stat. nov.

Basionimo: *Laccaria sectio Amethystinae* Bon, Doc. Mycol. 51: 46, 1983.

La sezione **Amethystinae** sembra eccessiva se fondata su un solo carattere come quello della colorazione del micelio.

Laccaria sectio Laccaria subsectio Bisporae Contu, subsect. nov.

Species basidis bisporis praeditis. Typus: *L. echinospora* (Speg.) Sing.

La ragion d'essere di questa nuova sotto-sezione, peraltro contenente un numero abbastanza rilevante di specie, è eminentemente pratica.

Limacella sectio Lubricae H. V. Smith ex Contu, sect. nov.

Species stipite glutinoso vel viscido praeditis. Typus: *L. illinita* (Fr.) Earle.

Limacella sectio Limacella subsectio Pseudoannularia Contu, subsect. nov.

Species sectionis Limacellae stipite annulo membranoso obtecto. Typus: *L. lenticularis* (Lasch) R. Maire.

Questa sottosezione si oppone alla sottosezione **Limacella** che contiene specie provviste di anello cortiniforme ed evanescente, non membranoso e persistente (i. e. *L. delicata*, typus sectionis atque generis, *vinosorubescens*, *roseofloccosa*, etc.). Ulteriori parametri utilizzabili per separazione di stirpi e serie sono l'ornamentazione della spora ed il suo comportamento a contatto con il liquido di Melzer. Uno studio floristico sul genere **Limacella** in Sardegna è attualmente in corso.

Volvariella sectio Macrosporae Contu, sect. nov.

Species sporis 10(12) μm faciliter superantibus. Typus: *V. gloiocephala* (DC: Fr.) Boekh. et Enderle.

Le dimensioni della spora sono un carattere fondamentale e prezioso per la classificazione delle specie di tale genere.

KINETIC PROPERTIES OF A β -GLUCOSIDASE FROM *DICHOMITUS SQUALENS* (KARST.) REID¹

M. EMÍLIA RESENDE, M. MANUELA CAROLINO
& N. TEIXEIRA RODEIA

Departamento de Biologia Vegetal, Faculdade de Ciências, Universidade de Lisboa
1700 Lisboa-Portugal

Received, 9-III-1992.

SUMMARY

One β -glucosidase from *D. squalens* was studied and the results were: the thermal stability (between 50° and 75° C), the effect of pH on activity (best activity at pH 4.0) and on the stability (was higher between pH 4.0 and 5.0) and the K_m (to the ONPG was 0.97 mM), V_{max} .(to the ONPG was 4.08 nM min⁻¹) and the K_i (with D-glucose was of 3.85 mM) of this enzyme. D-glucose is shown to be a competitive inhibitor when the ONPG is the substrate.

INTRODUCTION

THE breakdown of native cellulose to soluble sugars is a process which involves the action of a multi-enzymic system (FOGARTY & KELLY, 1979; RYU & MANDELS, 1980). One component of this system is the β -glucosidase which catalyses the hydrolysis of cellobiose on D-glucose. As is well known, the cellobiose is a potent inhibitor of depolymerizators celulases, and if allowed to accumulate causes a significant decline in the rate, and for practical purposes a decrease in the overall level of cellulose hydrolysis (WOOL, 1980).

The efficient hydrolysis of cellobiose to D-glucose catalysed by β -D-glucosidase is, therefore, critical to the overall digestion of cellulose. Some reviews on β -glucosidases from different sources have discussed their role, and their properties and applications

¹ These results were presented at the «3º Congresso Nacional de Biotecnologia», October 6-9, 1986, Lisbon, Portugal.

(LOUREIRO DIAS, 1981; WOODWARD & WISEMAN, 1982; PARR, 1983). The *Trichoderma reesei/viride* cellulase system [see 1,4-(1,3; 1,4)- β -D-glucan-4-glucan hydrolase, EC 3.2.1.4] has been studied most extensively but, although this organism produces high levels of cellulose solubilizing activities, the extramycelial levels of β -D-glucosidase produced in the culture filtrates are low (ALLEN & STERNBERG, 1980; RYU & MANDELS, 1980) and of relatively poor thermal stability (INGLIN *et al.*, 1980; WOODWARD & WISEMAN, 1982). *Penicillium funiculosum* has been reported previously as a cellulase producing organism which not only yields good levels of cellulose solubilizing activity but also produces high levels of extramycelial β -D-glucosidase. PARR (1983) has studied some kinetic properties of the β -D-glucosidase (cellobiase) in a commercial cellulase product from *P. funiculosum* and its relevance in the hydrolysis of cellulose. This product has shown promise in a trickling tower reactor for the digestion of cellulosic wastes.

In the present work some properties of the β -D-glucosidase from *D. squalens* were investigated and the effect on the application in the hydrolysis of cellulose studied.

MATERIALS AND METHODS

Materials

The mycelium of a white-rot *Dichomitus squalens* (Karst.) Reid, strain was isolated from a fruitbody, collected from a coniferous tree (*Pinus* sp.) and has been sub-cultured on potato dextrose agar.

Erlenmeyers of 250 ml containing 100 ml of a basal liquid medium, NORKRANS & HAMMARSTROM (1963) (enriched with biotin 5 μ g l⁻¹ and thiamine-100 mg l⁻¹) and supplemented with 1% Whatman cellulose as the sole carbon source, were inoculated with mycelium which grew without agitation in a temperature of 28° C.

All chemicals and reagents were of analytical grade.

Methods

After 14 days of incubation the cultures were centrifuged, the mycelium was discarded and the extracellular extracts were added by sodium azide (in a final concentration of 0.01%) to

avoid contamination. Then they were maintained at 4° C until be assayed.

Enzyme assays

β -D-glucosidase activity was determined by incubating at 50° C, for 30 min, a reaction mixture containing 1 ml 0.2M of sodium acetate buffer, pH 4.0, 1 ml 5mM of ortho-nitro-phenyl- β -D-glucopyranoside, 1 ml of enzyme solution (a suitable diluted extracellular extract) and 1 ml of water. The reaction was stopped by the addition of 4 ml 0.4M glycine-NaOH solution, pH 10.8 (WOOD, 1968).

The absorbance of the mixture resulting was measured at 430 nm. Appropriate enzyme and substrate blanks were included.

One unit of activity (U) is defined as the amount of enzyme, which under the reaction conditions, catalyses the release of 1 μ mole of ortho-nitrophenol per min (PARR, 1983).

Temperature stability

Thermal deactivation experiments were carried out by pipetting 1 ml quantities of extracellular extracts (enzyme solution) into test tubes preheated to the incubating temperatures (between 50° and 75° C) in a water bath. At noted times samples were removed and diluted directly into cold buffer (0.2M sodium acetate) and the diluted samples assayed for β -D-glucosidase activity as described in enzyme assays.

pH activity

pH activity experiments were carried out pipetting 1 ml quantities of 0.2M sodium acetate buffer solutions of different pH values between 2.76 and 9.76, 1 ml of 5 mM ONPG, 1 ml of the extracellular extract (enzyme solution) and 1 ml of water. β -D-glucosidase activity was determined by incubating, at 50° C for 30 min the reaction mixture. The reaction was stopped by the addition of 4 ml of 0.4M glycine-NaOH solution, pH 10.8 as already referred above.

pH stability

A reaction mixture containing 1 ml 0.2M sodium acetate in different pH from 2.76 up to 9.76 and 1 ml of the enzyme solution

was incubated at room temperature during 18 h. Then we applied to all test tubes the same method to determine the β -D-glucosidase activity described in enzyme assays.

Kinetic properties

The kinetic properties of a β -D-glucosidase were investigated, using the assay method described above, but with different substrate concentrations (ONPG) or in the presence of one inhibitor (various glucose concentrations) (LINEWEAVER BURK, 1934; DIXON WEBB, 1964).

RESULTS

Fig. 1 shows some thermal stability properties of the β -D-glucosidase at pH 4.0. The percentage of β -D-glucosidase activity remaining after a 10 min period is plotted as a function of the

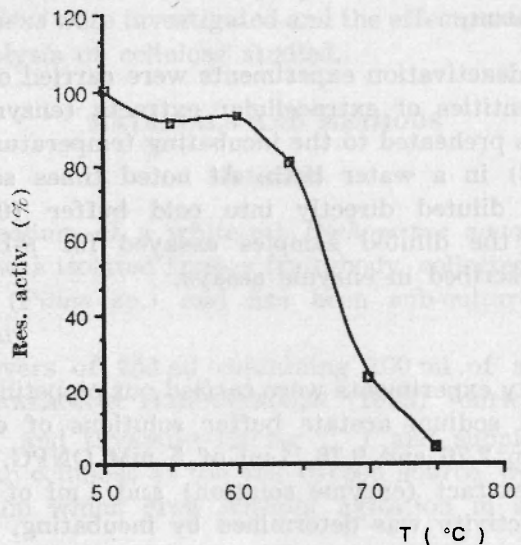


Fig. 1. — Thermal Stability of *D. squalens* β -glucosidase.

incubation temperature. Under the assay conditions the β -D-glucosidase has a residual activity of about 100 % when submitted to a temperature between 50° and 60° C. Then it is rapidly inactivated above 65° C, being the residual activity of 25 % at 70° C.

The effect of pH on the activity and, on the stability of a β -glucosidase of *D. squalens*, are graphed in Fig. 2. Effectively the activity is higher between, pH 3 and 6 and the best value

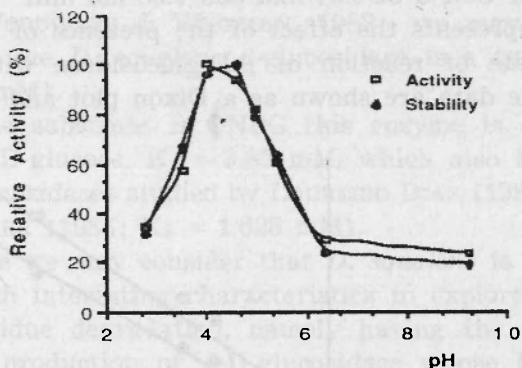


Fig. 2. — Effect of pH on *D. squalens* β -glucosidase activity and on the stability. Relative activity (%).

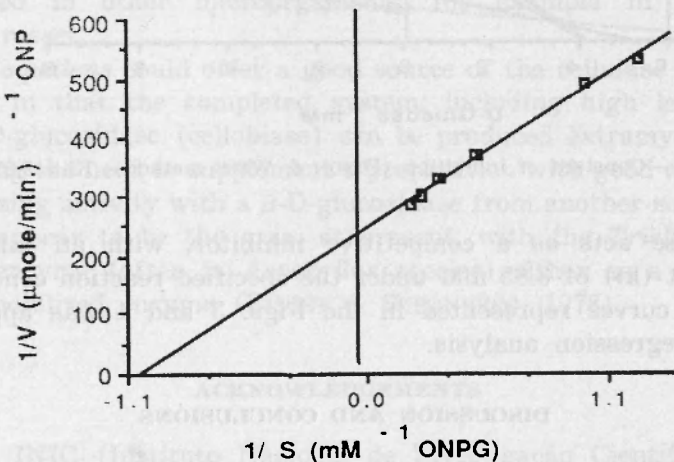


Fig. 3. — Lineweaver-Burk plot: $V_{\text{máx.}} = 4.08 \text{ nmol. min.}^{-1}$; $K_m = 0.97 \text{ mM.}$

occurs in pH 4.0-100 % relative activity. Also the stability is higher between pH 3 and 6 being the highest in pH 5.0-100 %.

Fig. 3 shows a Lineweaver-Burk plot of the data obtained from an experiment using ONPG in which the initial rate of the

reaction is observed as a function of ONP concentration. The results show that the reaction follows Michaelis-Menten kinetics over the range of substrate concentrations studied, with a K_m and V_{max} for ONPG of 0.97 mM and 4.08 nM min⁻¹ respectively.

Fig. 4 represents the effect of the presence of D-glucose on the initial rate of reaction of β -D-glucosidase with ONPG as substrate. The data are shown as a Dixon plot and indicate that

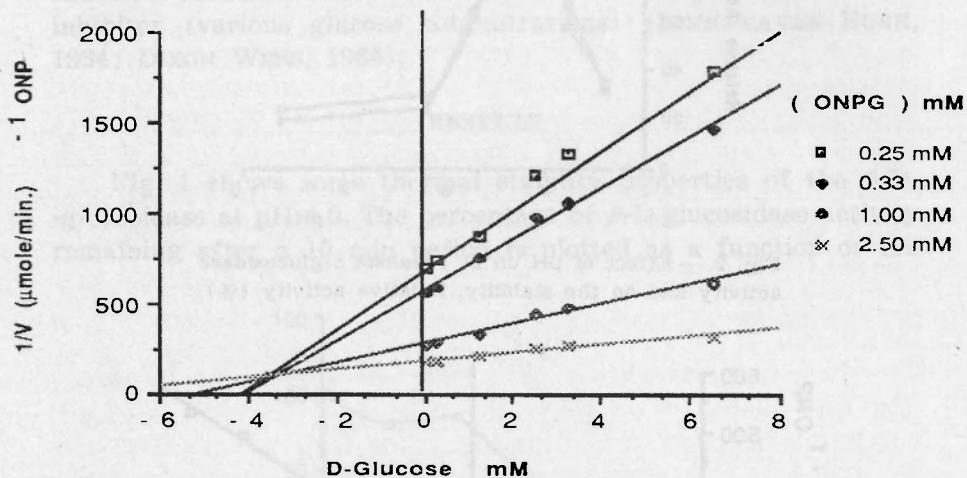


Fig. 4. — Constant of inhibition (DIXON & WEBB method): $K_i = 3.85$ mM.

D-glucose acts as a competitive inhibitor, with an inhibition constant (K_i) of 3.85 mM under the specified reaction conditions. To the curves represented in the Figs. 3 and 4 was applied a linear regression analysis.

DISCUSSION AND CONCLUSIONS

With reference to thermal stability of *D. squalens* β -glucosidase, we verified that at 50°C the enzyme presents 100 % activity, a value that remains more or less constant only until 64°C when there is 80 % residual activity. However at 70°C it presents a rapid thermal inactivation.

The profiles of the pH effect on the activity and on the stability, were similar, and they seemed to indicate that the enzyme suffered denaturation in the pH under 2.76 and over 6.35.

Once the Michaelis constant (K_m) for ONPG at pH 4.0 and 50° C for the β -D-glucosidase shows wide variations, from 0.05 mM for *Saccharomyces cerevisiae* (WOODWARD & WISEMAN, 1982) 0.4 mM for *P. funiculosum* (PARR, 1983), 44 mM for *Aspergillus phoenicis* (WOODWARD & WISEMAN, 1982), we may consider, in general, that the *D. squalens* β -glucosidase is a typical enzyme ($K_m = 0.97$ mM).

When the substrate is ONPG this enzyme is competitively inhibited by D-glucose, $K_i = 3.85$ mM, which also happens with other β -D-glucosidases studied by LOUREIRO DIAS (1981; $K_i = 1.75$ mM), and PARR (1983; $K_i = 1.625$ mM).

Therefore we may consider that *D. squalens* is a cellulolytic organism with interesting characteristics to explore the ligninocellulosic residue degradation, namely having the capability of a profitable production of β -D-glucosidase whose high thermal stability, and acidic stability (pH = 4.0-5.0) as can be testified by observing Fig. 1 and Fig. 2, could lead to a quicker and more efficient biological hydrolysis of native cellulose than the others presented in other microorganisms, for example in *Trichoderma reesei*.

D. squalens could offer a good source of the cellulase enzyme system in that the completed system, including high levels of the β -D-glucosidase (cellobiase) can be produced extramycelialy, obviating the need to supplement a preparation with good cellulose solubilizing activity with a β -D-glucosidase from another source as would appear to be the case, at present, with the *Trichoderma reesei* enzyme (often in *Aspergillus* species) either as a free or an immobilized enzyme (BISSET & STERNBERG, 1978).

ACKNOWLEDGEMENTS

To INIC (Instituto Nacional de Investigação Científica) to financial support of the research work.

REFERENCES

- ALLEN, A. & STERNBERG, D.
1980 *Biotechnol. Bioeng. Symp.* 1: 189-197.
BISSET, F. & STERNBERG, B.
1978 *Appl. Environ. Microbiol.* 35: 750-755.

- DIXON, M. & WEBB, E.
1964 *Enzymes*. Longmans Green and Co. Ltd. ed., London.
- FOGARTY, W. M. & KELLY, C. T.
1979 *Topics in Enzyme and Fermentation Biotechnology* (WISEMAN, A. ed.). Ellis Horwood, Chichester, vol. 3: 45.
- INGLIN, M.; FEINBERG, B. & LOEWENBERG, J. R.
1980 *Biochem. J.* 185: 515-519.
- LINEWEAVER, H. & BURK, D.
1934 *Journal of American Chemical Society* 56(1): 658-666.
- LOUREIRO DIAS, M. C.
1981 *Ciência Biológica* 6: 279-286.
- NORKRANS, B. & HAMMARSTROM, A.
1963 *Physiologia plantarum* 16(1): 1-10.
- PARR, S. R.
1983 *Enzyme Micro. Tecnol.* 5: 457-462.
- RYU, D. D. Y. & MANDELS, M.
1980 *Enzyme Microb. Technol.* 2: 91-102.
- WOOD, T. M.
1968 *Biochem. J.* 109: 217-227.
1980 *Ciência Biológica* 5: 27-33.
- WOODWARD, J. & WISEMAN, A.
1982 *Enzyme Microb. Technol.* 4: 73-79.

THE *OENOTHERA* SPECIES
IN THE COLLECTION OF PROF. DR. A. HANSEN
IN COPENHAGEN (CO)

KRZYSZTOF ROSTANSKI

Department of Plant Systematics
Jagiellonska 28, 40-032 Katowice, Poland

Received, 16-III-1991.

1. *Oenothera affinis* Cambess.

I. Faial, Horta, 1973, A. Hansen 161.

2. *Oenothera erythrosepala* Borb.

I. S. Miguel, Praia E. Ponta Delgada, 1979, A. Hansen 108.

I. S. Miguel, S.^{ra} da Rosa, 1971, A. Hansen 285.

I. Faial, S. Horta, 1973, A. Hansen 45.

3. *Oenothera oehlkersii* Kappus

I. Pico, Lajes, 1974, A. Hansen 01.

4. *Oenothera rosea* l'Her. ex Ait.

I. Santa Maria, near Airport Hotel, 1974, A. Hansen 60.

I. Santa Maria, Praia, E. Vila do Porto, 1970, A. Hansen (-).

I. Santa Maria, São Lourenço, 1970, A. Hansen (-).

I. Santa Maria, near the top of Picos, 1970, A. Hansen (-).

I. Faial, Horta, 1973, A. Hansen 13.

I. Pico, São Mateus, 1973, B. Gonçalves 5050.

I. S. Miguel, Ponta Delgada, 1971, A. Hansen 167.

I. S. Miguel, near Airport Santana, 1971, A. Hansen 293.

I. Terceira, Angra, 1984, A. Hansen 1003.

I. Terceira, Angra, 1972, A. Hansen 222.

5. *Oenothera stricta* Ledeb.

- I. Pico, NE. of Madalena, 1973, A. Hansen 17.
I. São Jorge, Velas, 1973, B. Gonçalves 5069.

6. *Oenothera suaveolens* Desf. ex Pers.

- I. S. Miguel, Boronção, 1971, A. Hansen 277 and *O. erythrosepala* Borb.
I. S. Miguel, S.^{ra} da Rosa, E. Ponta Delgada, 1979, A. Hansen 285.

7. *Oenothera* sp., perhaps an hybrid of *O. erythrosepala* Borb.

- I. Terceira, Angra, 1972, A. Hansen 231.
I. Terceira, Monte Brasil, 1979, F. Skovgaard (-) (the same
as on page 30 of my previous paper → leg. Brooke, BM).

APORTACIONES AL CONOCIMIENTO DE LOS PTERIDÓFITOS DEL OCCIDENTE HISPANO — II

por

E. RICO, X. GIRALDEZ & B. CASASECA

Dpto. Biología Vegetal (Botánica), Facultad de Biología, Universidad de Salamanca
37008 Salamanca, España

Recibido, 2-X-1991.

RESUMEN

Se aportan nuevos datos para el conocimiento de la distribución de los pteridófitos en el occidente de la Península Ibérica. Destacan los hallazgos de *Isoetes durieui* Bory y *Dryopteris carthusiana* (Vill.) H. P. Fuchs, además de algunas novedades provinciales.

ABSTRACT

New data for the knowledge of the distribution of the Pteridophyta in the Western Iberian Peninsula are given. *Isoetes durieui* Bory and *Dryopteris carthusiana* (Vill.) H. P. Fuchs detach as chorologic contributions; besides some provincial newness.

INTRODUCCION

CIGUIENDO la línea de trabajos anteriores y enmarcado dentro de un proyecto de investigación sobre la fitogeografía de los pteridófitos del CW hispano, subvencionado por el programa de acciones concertadas entre la Universidad de Salamanca y la Caja de Ahorros, presentamos en este trabajo los hallazgos corológicos más relevantes, tras dos años de herborizaciones intensivas por las comarcas del centro-occidente de España. Estos hallazgos en ocasiones representan un avance notable respecto a lo conocido y en otras sirven para completar lagunas (51 puntos nuevos) de los mapas del Atlas de la pteridoflora ibérica y balear

(APIB; SALVO & al., 1984), permitiendo en todo caso comprender mejor la distribución de los pteridófitos del CW hispano y de todo el occidente ibérico.

RESULTADOS

Lycopodiella inundata (L.) J. Holub

LEÓN: Torneros de la Valdería, entre los arroyos Cabañas y Cefreo, 29TQG2374, 1100 m, zona higroturbosa, 4-IX-1990, B. Casaseca, X. Giráldez & E. Rico, SALA 51100.

ZAMORA: Muelas de los Caballeros, arroyo del Ferradal, 29TQG2074, 1180 m, pradera higroturbosa, 4-IX-1990, B. Casaseca, X. Giráldez & E. Rico, SALA 51101.

Damos a conocer dos nuevas poblaciones muy próximas entre sí de este licopodio escaso en el interior peninsular. Al igual que en otras localidades finícolas meridionales se refugia en un hábitat favorable a las plantas circumboreales o eurosiberianas: las zonas higroturbosas, en esta ocasión las de la vertiente sur de la sierra de la Cabrera, justo en la zona limítrofe entre las dos provincias mencionadas. Para ambas se trata de la segunda cita provincial, tras la zamorana de VALLE & NAVARRO (1984: 169) y la leonesa que se recoge en DÍAZ GONZÁLEZ (1986: 18), algo alejadas de las nuestras.

Anadir el punto QG-1 en el mapa del APIB.

Selaginella denticulata (L.) Spring

CÁCERES: Cáceres, carretera de Cáceres a Badajoz km 26, arroyo de la Pizarrilla, 29SQD1249, 350 m, talud terroso, 5-IV-1990, B. Casaseca & E. Rico, SALA 51163.

Anadir el punto QD-2 en el mapa del APIB.

Isoetes setaceum Lam.

CÁCERES: De Brozas a Herreruela, km 20, 29SPD8578, 340 m, cauce de arroyuelo, 23-II-1991, C. Carricajo, X. Giráldez, A. Pastor & E. Rico, SALA 51121.

SALAMANCA: Entre La Alamedilla y Alberguería de Arganán, arroyo de Martín Rodrigo, 29TPE8479, 770 m, borde del arroyo, 22-III-1991, X. Giráldez, M. J. Pérez & E. Rico, SALA 51138.

Añadir los puntos *PD-3* y *PE-3* en el mapa del APIB.

Isoetes histrix Bory

SALAMANCA: Entre San Pedro y Frades de la Sierra, 30TTL 6611, 980 m, pastos densos, 26-III-1991, X. Giráldez & M. A. Martín, SALA 51131.

Añadir el punto *TL-2* en el mapa del APIB.

Isoetes velatum A. Braun var. *velatum*

CÁCERES: Guíjo de Coria, carretera al embalse de Borbollón, km 20, 29TQE1442, 22-II-1991, C. Carricajo, X. Giráldez, A. Pastor & E. Rico, SALA 51142. Del cruce de Mohedas al pantano Gabriel y Galán, 29TQE3957, 400 m, en charcas de un arroyo, 23-II-1990, X. Giráldez & E. Rico, SALA 51128. Entre Herreruela y la estación de Herreruela, charca Nueva 29SPD8166, 360 m, márgenes de la charca, 23-II-1991, C. Carricajo, X. Giráldez, A. Pastor & E. Rico, SALA 51140. Valverde del Fresno, frontera con Portugal, río Torto, 29TPE6845, 370 m, cauce del río, 30-V-1991, X. Giráldez, A. Pastor & E. Rico, SALA 51125.

ZAMORA: Castro de Alcañices, arroyo de la Rivera, 29TQG 3408, 660 m, cauce del río, 5-VI-1991, B. Casaseca, X. Giráldez & E. Rico, SALA 51124 y 51127.

Añadir los puntos *QE-1* y *2*, *PD-3*, *PE-4* y *QG-2* en el mapa del APIB.

Isoetes durieui Bory

CÁCERES: Las Mestas, río Batuecas,, 29TQE4179, 450 m, pocetas en repisas del río, 3-V-1990, X. Giráldez & J. Serradilla, SALA 50982. De Martilandrán al Gasco, río Malvedillo, 29TQE 2875, 650 m, márgenes del río, 3-V-1990, X. Giráldez & J. Serradilla, SALA 50983. Riomalo de Abajo, río Batuecas, 29TQE4677, 400 m, zonas húmedas junto al río, 22-II-1991, C. Carricajo, X. Giráldez, A. Pastor & E. Rico, SALA 51184. De Membrío a Alcántara,

pequeño arroyo tributario del río Salor, 29SPD7282, 150 m, bordes del arroyo cerca de su desembocadura, 23-II-1991, *C. Carricajo, X. Giráldez, A. Pastor & E. Rico*, SALA 50984. Campillo de Deletosa, garganta Vado Grande, 30STK7800, 320 m, márgenes del arroyo, 2-IV-1991, *E. Rico*, SALA 50985. De Valverde del Fresno a Portugal, río Pesquero, 29TPE7347, 370 m, bordes del río, 30-V-1991, *X. Giráldez, A. Pastor & E. Rico*, SALA 50986.

SALAMANCA: La Fregeneda, arroyo de las Almas, 29TPF7543, 170 m, 10-III-1990, junto al arroyo, *X. Giráldez & E. Rico*, SALA 50987. La Encina, río Agueda, 29TQE0983, 690 m, zonas rezumantes en la ribera del río, 11-II-1991, *C. Carricajo, A. Pastor, E. Rico & J. Serradilla*, SALA 50988.

Aportamos 8 nuevas localidades para este pteridófito circunmediterráneo occidental, conocido en el CW hispano únicamente de dos herborizaciones —de algo más de 20 años de antigüedad— en la comarca cacerena de Las Villuercas, las recogidas en RIVAS MARTÍNEZ & LADERO (1972: 41) y PRADA (1983: 93) y que corresponden a las cuadrículas de 50×50 TJ-1 y UJ-1, respectivamente; no obstante, en el mapa 16 del APIB aparece sólo una cuadrícula y errónea, la TJ-2. Nuestros hallazgos añaden 5 puntos nuevos, los de las cuadrículas QE-1, PD-3, TK-2, PE-4 y PF-4, que se recogen en el mapa de la Figura 1 confeccionado a partir del APIB —con la modificación indicada— y de FRANCO & ROCHA AFONSO (1982).

Tras las primeras recolecciones casuales en invierno y primavera de 1990, lo hemos buscado de manera expresa por varias zonas de las provincias de Cáceres, Salamanca y Zamora, comprobando su rareza en el occidente hispano y su extraordinaria escasez; las poblaciones fueron observadas casi siempre en localidades distantes y constaban en general de pocos individuos.

En el occidente hispano se hace más escaso hacia el norte, habiendo encontrado sólo dos poblaciones en Salamanca, provincia para la que es novedad y debeadirse a la síntesis de PRADA (1986) para *Flora iberica*. Hasta el momento han resultado infructuosas nuestras búsquedas al norte del río Duero, aunque en Portugal lo sobrepasa levemente en las localidades de Trás-os-Montes anotadas en FRANCO & ROCHA AFONSO (l. c.: 46).

En cuanto a su ecología, todas las poblaciones halladas por nosotros se encontraban sobre pizarras y junto a cursos de agua

en general de poco caudal (salvo en el caso del río Agueda), pero algo alejadas de la orilla del cauce habitual, allí donde el agua sólo llega en las crecidas temporales. Además, esas poblaciones aparecen siempre en valles de fuerte desnivel donde las crecidas pueden ser frecuentes, bien en los excavados por el encajonamiento de grandes ríos (Duero, Tajo o Agueda) bien en los de macizos montanosos o de sus estribaciones (Villuercas, sierra de Gata).

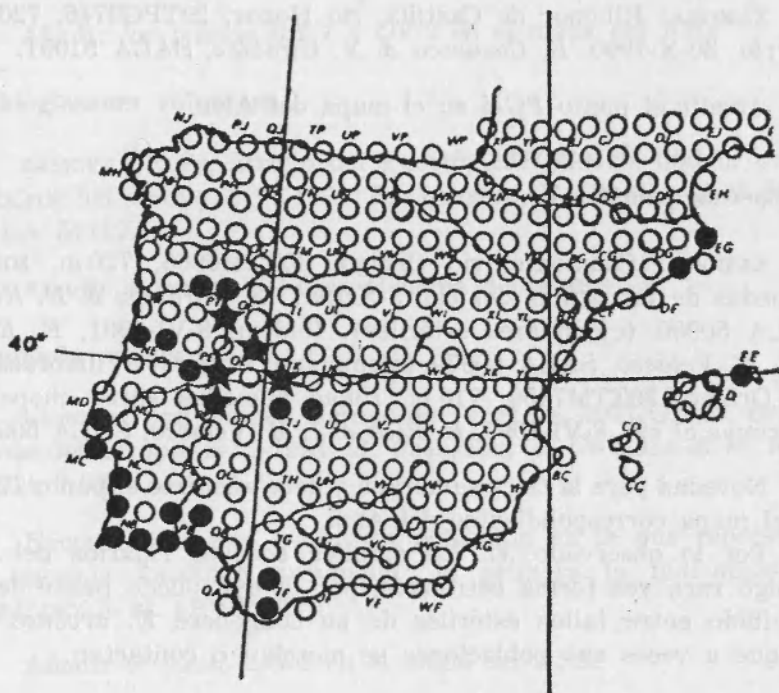


Fig. 1. — Distribución de *Isoetes durieu* en la Península Ibérica.

● : Localidades conocidas. ★ : Nuevas aportaciones.

La mayor termicidad del fondo de esos valles permitiría asimismo la penetración hacia el interior peninsular de esta planta que tiene aptitud por las zonas no alejadas del mar.

Su congénere *I. histrix* Bory, que por su apariencia semejante en el campo puede ser causa de que poblaciones de la especie que nos ocupa pasen desapercibidas, es también muy escasa en esos medios, mientras que es frecuentísima en zonas llanas, donde la inundación temporal es más permanente. De las

localidades indicadas, únicamente encontramos las dos especies en las riberas del río Salor, en poblaciones muy separadas, y en las orillas del río Batuecas en Riomalo, aquí en poblaciones prácticamente mezcladas.

***Equisetum ramosissimum* Desf.**

ZAMORA: Rihonor de Castilla, río Honor, 29TPG9746, 720 m, del río, 30-X-1990, *B. Casaseca & X. Giráldez*, SALA 51091.

Añadir el punto *PG-4* en el mapa del APIB.

***Equisetum palustre* L.**

ZAMORA: Coomonte, río Orbigo, 30TTM6866, 720 m, zonas húmedas de las orillas del río, 3-X-1987, *X. Giráldez & E. Rico*, SALA 50980 (ejemplares estériles). Ibídem, 8-VI-1991, *E. Rico & J. M. Velasco*, SALA 50979 (ejemplares fértiles). Villabrázaro, río Orbigo, 30TTM7359, 710 m, zonas húmedas entre choperas próximas al río, 8-VI-1991, *E. Rico & J. M. Velasco*, SALA 50978.

Novedad para la flora zamorana y debe anadirse el punto *TM-1* en el mapa correspondientes del APIB.

Por lo observado, en los amplios bosques riparios del río Orbigo rara vez forma estróbilos, por lo que puede pasar desapercibido entre tallos estériles de su congénere *E. arvense* L., ya que a veces sus poblaciones se mezclan o contactan.

***Ophioglossum lusitanicum* L.**

CÁCERES: Garrovillas, estación de Tajo, 29SQD1696, 260 m, pastos poco profundos sobre pizarras, 31-XII-1989, *E. Rico*, SALA 51130. Cedillo, 29SPD2889, 220 m, pequeños pastos entre jaras, 27-I-1990, *X. Giráldez & E. Rico*, SALA 51115. Entre Brozas y Herreruela, río Salor, 29SPD8272, 200 m, pastizales en claros de encinar, 23-II-1991, *C. Carricajo, X. Giráldez, A. Pastor & E. Rico*, SALA 51129.

Añadir los puntos *QD-1* y *PD-1* y *3* en el mapa del APIB.

Ophioglossum azoricum K. Presl

SALAMANCA: De Morasverdes a Tenebrón, regato Sotillo, 29TQE2799, 800 m, pastos próximos al regato, 12-VI-1990, X. Giráldez & E. Rico, SALA 51111.

ZAMORA: Entre Fermoselle y Pinilla de Fermoselle, rivera de Pinilla, 29TQF2080, 640 m, pastos densos, 31-V-1991, B. Casaseca, X. Giráldez & E. Rico, SALA 51112.

Anadir los puntos *QE-1* y *QF-1* en el mapa del APIB.

Ophioglossum vulgatum L.

ZAMORA: Nuez, arroyo del Puerto, 29TQG0425, 550 m, prado al borde del arroyo, 5-VI-1991, B. Casaseca, X. Giráldez & E. Rico, SALA 51117.

Anadir el punto *QG-2* en el mapa del APIB.

Osmunda regalis L.

ZAMORA: San Mamed, arroyo de Terneros, 29TQG1019, 690 m, borde del arroyo, 5-VI-1991, B. Casaseca, X. Giráldez & E. Rico, SALA 51098.

Encontramos una magnífica población en la que representa la segunda localidad provincial; la primera la indicamos en GIRÁLDEZ & al. (1986: 305).

Anadir el punto *QG-2* en el mapa del APIB.

Polypodium cambricum L. subsp. *cambricum*

ZAMORA: Embalse de Castro, 29TQG3407, 580 m, repisas de roquedos, 27-XII-1990, E. Rico, SALA 51151.

Anadir el punto *QG-2* en el mapa del APIB.

Polypodium interjectum Shivas

CÁCERES: Carretera de Cáceres a Badajoz, puerto de la Cobacha, 29SQD0740, 380 m, roquedos graníticos, 5-IV-1990, B. Casaseca & E. Rico, SALA 51152. Entre Brozas y Herreruela, río Salor,

29SPD8272, 23-II-1991, 200 m, repisas de pizarras, *C. Carricajo*, *X. Giráldez*, *A. Pastor* & *E. Rico*, SALA 51086.

Anadir los puntos *QD-2* y *PD-3* en el mapa del APIB.

Cheilanthes acrostica (Balbis) Tod.

SALAMANCA: San Esteban de la Sierra, ladera próxima al río Alagón, 30TTK5489, 660 m, grietas terrosas de muros de separación de bancales, 22-II-1991, *C. Carricajo*, *X. Giráldez*, *A. Pastor* & *E. Rico*, SALA 51083.

Citamos ahora en firme para la provincia de Salamanca este pteridófito, del que existían algunas citas erróneas ya aclaradas (FERNÁNDEZ DÍEZ, 1980: 20) y que está, por tanto, ausente de catálogos o floras postetriores (CASASECA & al., 1982; MUÑOZ GARMENDIA, 1986).

Anadir el punto *TK-1* en el mapa del APIB.

La termicidad de estos valles meridionales salmantinos junto a la proximidad de asomos de calizas cámbicas (en el término colindante de Los Santos), explicaría la presencia, en esta localidad bastante aislada, de esta especie que en el CW hispano tiene clara apetencia por los sustratos básicos. Las citas más próximas corresponden a las calizas del centro de la provincia de Cáceres (SANTOS BOBILLO & RUÍZ TÉLLEZ, 1986: 129). Se trata también del primer hallazgo para el Sistema Central, si bien procedente de su fosa más marcada, la del río Alagón; RIVAS MARTÍNEZ & SAENZ DE RIVAS (1971) consideraban su existencia probable en dicha cordillera.

Cheilanthes maderensis Lowe

CÁCERES: Santiago de Alcántara, rivera de Aurela, 29SPD 4685, 230 m, grietas de pizarras, 27-I-1990, *X. Giráldez* & *E. Rico*, SALA 51084.

Anadir el punto *PD-1* en el mapa del APIB.

Anogramma leptophylla (L.) Link

SALAMANCA: Cerralbo, río Huebra, molino de Picones, 29TQF 0540, 650 m, oquedades de granitos, 10-III-1990, X. Giráldez & E. Rico, SALA 51089.

Anadir el punto *QF-2* en el mapa del APIB.

Cosentinia vellea (Aiton) Tod.

CÁCERES: Alcántara, regato de Remolinos, 29SPD7998, 180 m, grietas de un muro de pizarras expuesto al sol, 23-II-1991, *C. Carrasco*, X. Giráldez, A. Pastor & E. Rico, SALA 51099.

Hallazgo de interés corológico cierto, dada la rareza de este pteridófito termófilo y de apetencias calcícolas en el occidente ibérico. Las escasas referencias de las calizas y pizarras del C y E cacereno, recogidas en SANTOS BOBILLO & RUIZ TELLEZ (l. c.: 129), son las localidades más próximas. En cuanto a Portugal, según FRANCO & ROCHA AFONSO (l. c.: 110) estaría ausente de toda la cuenca del Tajo incluidas las comarcas fronterizas próximas a la localidad que ahora indicamos.

Anadir el punto *PD-3* en el mapa del APIB.

Asplenium trichomanes subsp. *quadrivalens* D. E. Meyer

SALAMANCA: Entre Membrive y Navagallega, Peña de Santa Cruz, 30TTL6310, 1140 m, grietas de rocas graníticas, 26-III-1991, X. Giráldez & M. A. Martín, SALA 511160.

Anadir el punto *TL-2* en el mapa del APIB.

Asplenium billotii F. W. Schultz

SALAMANCA: Entre Membrive y Navagallega, Peña de Santa Cruz, 30TTL6310, 1140 m, fisuras de rocas graníticas, 26-III-1991, X. Giráldez & M. A. Martín, SALA 511158.

Anadir el punto *TL-2* en el mapa del APIB.



***Asplenium onopteris* L.**

ZAMORA: Villarino de Manzanas, arroyo del Cabrón, 29TQG 0839, 650 m, muros de separación de fincas, 9-VII-1991, *X. Giráldez, M. J. Pérez & E. Rico*, SALA 51186.

Anadir el punto *QG-1* en el mapa del APIB.

***Asplenium adiantum-nigrum* L.**

SALAMANCA: Entre Membrige y Navagallega, Pena de Santa Cruz, 30TTL6310, 1130 m, fisuras de rocas graníticas, 26-III-1991, *X. Giráldez & M. A. Martín*, SALA 51156.

ZAMORA: San Mamed, arroyo de Terneros, 29TQG1019, 690 m, grietas de muros, 5-VI-1991, *B. Casaseca, X. Giráldez & E. Rico*, SALA 51097.

Anadir los puntos *TL-2* y *QG-2* en el mapa del APIB.

***Ceterach officinarum* Willd.**

SALAMANCA: Entre El Payo y Fuenteguinaldo, río Agueda, 29TPE9266, 800 m, fisuras del puente sobre el río, 28-X-1990, *X. Giráldez & E. Rico*, SALA 51090.

ZAMORA: Palacios del Pan, río Esla, 30TTM5612, 700 m, fisuras de pizarras, 29-XII-1990, *E. Rico*, SALA 51162.

Anadir los puntos *PE-3* y *TM-2* en el mapa del APIB.

***Cystopteris dickieana* R. Sim**

CÁCERES: Garciaz, 30STJ7365, 670 m, paredones próximos al pueblo, 26-I-1990, *X. Giráldez & E. Rico*, SALA 51095. Montánchez, subida al repetidor, 29SQD4744, 880 m, muros graníticos, 7-IV-1990, *B. Casaseca & E. Rico*, SALA 51155.

ZAMORA: Escuredo, río Negro, 29TQG0071, 1140 m, en grietas de muros, 6-VI-1990, *B. Casaseca & X. Giráldez*, SALA 51093.

Anadir los puntos *TJ-1*, *QD-2* y *QG-1* en el mapa del APIB.

Athyrium filix-femina (L.) Roth

CÁCERES: Entre Cabezabellosa y El Torno, garganta de Zahur-dón, 30TTK4545, 950 m, bordes de una fuente, 1-XI-1990, E. Rico, SALA 51154.

Añadir el punto *TK-2* en el mapa del APIB.

Dryopteris affinis (Lowe) Fraser-Jenkins subsp. *affinis*

CÁCERES: Entre Alcorneo y Valencia de Alcántara, 29SPD 5256, 550 m, márgenes de un regato, 27-I-1990, X. Giráldez & E. Rico, SALA 51106. Entre Cabezabellosa y El Torno, garganta de Noblillo, 30TTK4746, 870 m, bordes del arroyo, 1-XI-1990, E. Rico, SALA 51149. Navatrasierra, finca Castanarejo, 30SUJ 0085, 750 m, galerías del arroyo, 2-XI-1990, E. Rico, SALA 51150.

ZAMORA: Anta de Rioconejo, río Negro, 29TQG0861, 900 m, galería del río, 6-VI-1990, B. Casaseca & X. Giráldez, SALA 51105. Calabor, balneario, 29TPG8848, 880 m, zonas rezumantes en borde de carretera, 30-X-1990, B. Casaseca & X. Giráldez, SALA 51104.

Añadir los puntos *PD-3*, *TK-2*, *UJ-1*, *QG-1* y *PG-4* en el mapa del APIB.

Dryopteris affinis subsp. *borreri* (Newman) Fraser-Jenkins

ZAMORA: Quintanilla, arroyo de Valtorno, 29TQG2570, 870 m, borde del arroyo, 4-IX-1990, B. Casaseca, X. Giráldez & E. Rico, SALA 51103.

Añadir el punto *QG-1* en el mapa del APIB.

Dryopteris carthusiana (Vill.) H. P. Fuchs

ZAMORA: Nuez, arroyo del Puerto, 29TQG0425, 550 m, pequeña zona rezumante próxima a la galería del arroyo, 5-VI-1991, B. Casaseca, X. Giráldez & E. Rico, SALA 50975.

Localidad bastante alejada de las conocidas hasta el momento en la Península Ibérica — la más próxima sería Cervantes, en Lugo, recogida por FRASER-JENKINS (1982: 268) —, que representa

una de las manifestaciones finícolas de esta especie holártica ya en el límite meridional de su área. Dispersa por su tercio norte, en la Península Ibérica se la conoce únicamente de una localidad más meridional, correspondiente al Sistema Ibérico en la provincia de Guadalajara (FRASER-JENKINS, l. c.: 269).

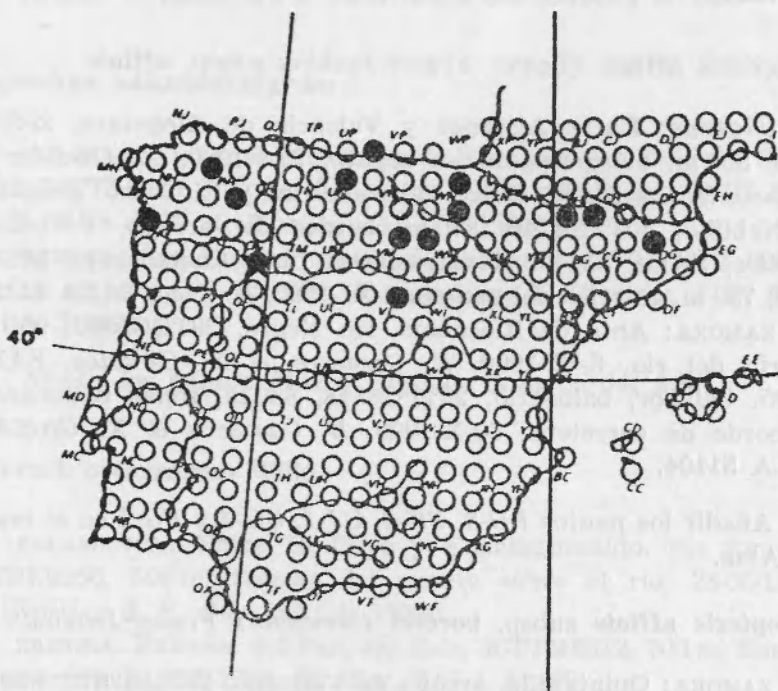


Fig. 2. — Distribución de *Dryopteris carthusiana* en la Península Ibérica.
 ●: Localidades conocidas. ★: Nueva aportación.

El aislamiento de esta población zamorana, de escasos ejemplos, queda claro en el mapa de la Figura 2, hecho a partir del correspondiente del APIB. Es novedad para la provincia de Zamora y no es conocida de la provincia de León (DÍAZ & PUENTE, 1985; SALVO & ARRABAL, 1986), por lo que los puntos *QH-2* y *QG-1*, próximos al *QG-2* que ahora aportamos, que aparecían en el mapa del AFE (JALAS & SUOMINEN, 1972: 105), debían estar basados en datos erróneos. Tampoco ha sido citada en Portugal, pero su presencia en el país vecino es muy probable, puesto que nuestra localidad dista menos de 1 km del límite entre ambos

países, marcado por el río Manzanas del que es tributario el arroyo del Puerto.

Dryopteris dilatata (Hoffm.) A. Gray

CÁCERES: Hervás, 30TTK5660, 780 m, borde de un arroyo, 12-V-1990, E. Rico, SALA 51108.

SALAMANCA: San Martín del Castanar, 29TQE4990, 840 m, zonas húmedas y sombrías en un bosquete de *Quercus robur* L., 23-II-1990, X. Giráldez & E. Rico, SALA 51107.

Aportamos dos nuevas citas para el Sistema Central español, del cual, en firme, sólo se conocía de una localidad salmantina (SÁNCHEZ MATA & DE LA FUENTE, 1986: 173) perteneciente al macizo bejarano al igual que la cacerena que ahora señalamos; otras referencias erróneas anteriores de dicha cordillera fueron precisadas por FRASER JENKINS (l. c.: 275).

Las dos poblaciones estaban muy localizadas y escondidas, acorde con su escasez en el CW hispano, y en ambos casos representan la segunda cita provincial — de Cáceres sólo se conoce del macizo de la Villuercas (RIVAS MARTÍNEZ & LADERO, 1972: 54).

Ninguno de los dos puntos aparece en el APIB, aunque sólo para el QE-1 es novedad.

Blechnum spicant (L.) Roth subsp. spicant

ZAMORA: Otero de Centenos, río Negro, 29TQG2160, 850 m, galería del río, 4-IX-1990, B. Casaseca, X. Giráldez & E. Rico, SALA 51147.

Anadir el punto QG-1 en el mapa del APIB.

REFERENCIAS BIBLIOGRAFICAS

- CASASECA, B.; FERNANDEZ DÍEZ, F. J.; AMICH, F.; RICO, E. & SÁNCHEZ, J.
1982 Catálogo de las plantas vasculares de la provincia de Salamanca. I.
Pteridophyta. Trab. Dep. Univ. Salamanca 10: 5-28.
DÍAZ GONZÁLEZ, T. E. (ed.)
1986 *Exsiccata pteridophyta iberica*. León.
DÍAZ GONZÁLEZ, T. E. & PUENTE GARCÍA, E.
1985 Avance sobre la pteridoflora leonesa. *Anales de Biología* 1: 267-299.

- FERNÁNDEZ DÍEZ, F. J.
- 1980 Adiciones al catálogo de la flora vascular de la sierra de Tamames y Pena de Francia (Salamanca). *Trab. Dep. Bot. Salamanca* 9: 19-34.
- FRANCO, J. & ROCHA AFONSO, M. L.
- 1982 Distribuição de pteridófitos e gimnospérmicas em Portugal. *Serviço Nacional de Parques, Reservas e Património Paisagístico*. Lisboa.
- FRASER-JENKINS, C. R.
- 1982 *Dryopteris* in Spain, Portugal and Macaronesia. *Bol. Soc. Brot.*, sér. 2, 55: 175-336.
- GIRÁLDEZ, X.; RICO, E.; ROMERO, T. & SÁNCHEZ RODRIGUEZ, J. A.
- 1986 Contribución al conocimiento corológico de los pteridófitos del CW hispano. *Acta Bot. Malacitana* 11: 302-309.
- JALAS, J. & SUOMINEN, J. (Eds.)
- 1972 *Atlas Flora Europaea. Distribution of vascular plants in Europe. 1. Pteridophyta (Psilotaceae to Azollaceae)*. Helsinki.
- MUÑOZ GARMENDIA, F.
- 1986 *Cheilanthes* Swartz, In: S. Castroviejo & al. (Eds.), *Flora iberica* 1: 44-51. Madrid.
- PRADA, C.
- 1983 El género *Isoetes* L. en la Península Ibérica. *Acta Bot. Malacitana* 8: 73-100.
- 1986 *Isoetes* L., In: S. Castroviejo & al. (Eds.), *Flora iberica* 1: 15-20. Madrid.
- RIVAS MARTÍNEZ, S. & SAENZ DE RIVAS, C.
- 1971 Notas sobre la flora de la Cordillera Central, I. *Pteridophyta*. *Trab. Dep. Bot. Fisiol. Veg.* 3: 15-28.
- RIVAS MARTÍNEZ, S. & LADERO, M.
- 1972 Los pteridófitos de Las Villuercas (Cáceres). *Anales Inst. Bot. Cavanilles* 28: 35-62.
- SALVO, A. E.; CABEZUDO, B. & ESPANA, L.
- 1984 Atlas de la pteridoflora ibérica y balear. *Acta Bot. Malacitana* 9: 105-128.
- SALVO, A. E. & ARRABAL, M. I.
- 1986 *Dryopteris* Adanson., In: S. Castroviejo & al. (Eds.), *Flora iberica* 1: 128-143. Madrid.
- SÁNCHEZ MATA, D. & DE LA FUENTE GARCIA, V.
- 1986 Datos de interés corológico sobre algunos táxones del occidente de la Península Ibérica. *Bol. Soc. Brot.*, sér. 2, 59: 167-181.
- SANTOS BOBILLO, M. T. & RUÍZ TELLEZ, T.
- 1986 Algunas plantas interesantes de la flora cacerena. *Stvdia Bot.* 5: 129-134.
- VALLE GUTIERREZ, C. J. & NAVARRO ANDRES, F.
- 1984 Sobre la vegetación y flora turfófila de la sierra de la Culebra. *Lazaroa* 5: 165-171.

ACCIONES ALELOPÁTICAS DE LOS LÍQUENES

M. ESTRELLA LEGAZ*, L. XAVIER FILHO **
& C. VICENTE *

Recibido, 30-X-1991.

RESUMO

Neste trabalho se analizam as ações alelopáticas dos fenois líquénicos sobre fanerógamas, algas, fungos e os próprios líquens. De modo igual, se analizam as características moleculares que determinam a acção alelopática e os processos metabólicos que interferem.

RESUMEN

En este trabajo se analizan las acciones alelopáticas de los fenoles líquénicos sobre fanerógamas, algas, hongos, y los propios líquenes. De igual forma, se analizan las características moleculares que determinan la acción alelopática y los procesos metabólicos que interfieren.

ABSTRACT

In this paper, allelopathic actions of lichen phenols on higher plants, algae, fungi and lichens are analyzed. In addition, molecular characteristics of phenols that determine allelopathic actions are studied as well as the metabolic process which they inhibit.

1. Papel de los líquenes en el suelo

LOS líquenes terrícolas y saxícolas colonizan suelos y rocas en una extensión superficial considerable, aunque con escasa penetración. Las Cladonias substropicales pueden formar sobre suelos arenosos almohadillas de hasta 70 cm de diámetro y sin

* Departamento de Fisiología Vegetal, Facultad de Biología, Universidad Complutense, 28040 Madrid, España.

** Laboratório de Tecnologia Farmacêutica, Universidade Federal de Paraíba, 58 000 João Pessoa, Pb. Brasil.

embargo, su penetración efectiva en el suelo no sobrepasa, por término medio, los 20 mm de profundidad. En esta situación, al igual que en la creada por crustosos saxícolas, que se adhieren a las rocas mediante los bordes de su hipotalo, toma lugar una discreta protección del substrato frente a la erosión eólica. La estructura en red de la médula proporciona una débil estabilización estructural de los elementos superficiales del suelo, aunque estos aparezcan muy alterados químicamente. Sin embargo, la adherencia de las hifas a las partículas edáficas parece ser fuerte ya que no es posible liberar a *Baeomyces rufus* de tales adherencias por medios mecánicos, ni aún con ultrasonidos. Por otra parte, el englobamiento de partículas edáficas entre las hifas fúngicas parece constituir una primera fase en la nutrición mineral del liquen (RICHARDSON & NIEBOER, 1980) por lo que comporta de aumento en la superficie efectiva de intercambio entre liquen y substrato.

El ataque químico del suelo por los líquenes que lo colonizan es un problema que, aunque abundantemente documentado, está aún lejos de ser bien resuelto. Los fenoles liquénicos que cristalizan sobre los córtices talinos pueden pasar al suelo y allí ejercer su acción quelante sobre los minerales, extrayendo cationes y dando origen a nuevos minerales, de composición química alterada respecto a los originales (ASCASO & GALVAN, 1976, 1982). Varios problemas surgen en este punto. El primero de ellos consiste en ignorar por completo cuál es el mecanismo mediante el cual los fenoles son segregados al cortex y cristalizados en él. La hipótesis de SCOTT (1971) acerca de esterasas exocelulares que llevaran a cabo la síntesis de dépsidos en aquella localización es absolutamente inconsistente. De todas formas, no es éste el mayor problema, sino aquel relativo a la muy baja solubilidad en agua de tales fenoles. Aunque es cierto que la solubilidad de estos compuestos aumenta con la formación de anillos quelados (Fig. 1), según hacen notar SYARS & ISKANDAR (1973), no es menos cierto que su importancia pedogenésica será muy limitada. Por otra parte, la tendencia xérica de muchos líquenes saxícolas lleva baja disponibilidad de agua durante muy largos períodos de tiempo. Cabe, entonces, la posibilidad de que períodos ocasionales de lluvia sean suficientes para arrastar cantidades significativas de fenoles y percolarlos en el suelo.

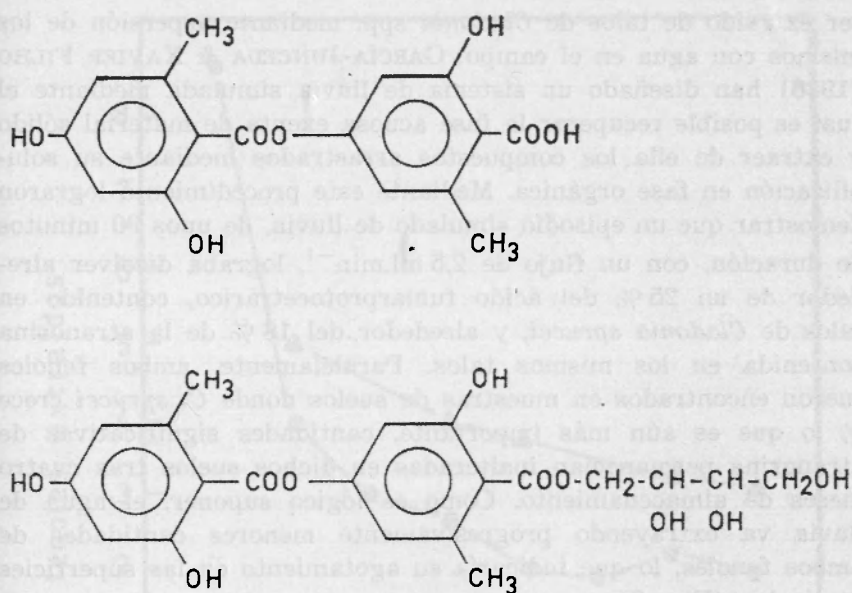


Fig. 1. — Fórmulas estructurales del ácido lecanórico y de la eritrina.

2. Acción de la lluvia sobre el lavado de fenoles líquénicos

La presencia de fenoles líquénicos en los suelos sobre los que estas plantas viven ha sido recientemente descrita. XAVIER FILHO *et al.* (1984) demostraron la presencia en suelos arenosos de orcinol, meil- β -orcínol carboxilato, ácido fumarprotocetrárico y atranorina procedentes de sus colonizadores, *Cladonia verticillaris* y *C. calycantha*. Ademas de esto, XAVIER FILHO *et al.* (1985) demostraron que cantidades significativas de atranorina y ácido fumarprotocetrárico, acumuladas en talos de *C. sandstedei*, eran efectivamente lavadas tras un prolongado periodo de lluvia y recuperadas en el suelo inmediatamente que las lluvias cesaron. Cabe siempre la posibilidad de que en el suelo se encuentren estos fenoles, más como productos de su liberación por degradación de materiales talinos desgajados por la lluvia o muertos que como lixiviados, aunque mediante un análisis microscópico de las muestras usadas se trate de excluir este supuesto. En este sentido, son mucho más aclaratorios los experimentos de simulación realizados, tanto en campo como en condiciones controladas de laboratorio. Por ejemplo, MALICKI (1965) demostró que el ácido úsnico puede

ser extraído de talos de *Cladonia* spp. mediante aspersión de los mismos con agua en el campo. GARCÍA-JUNCEDA & XAVIER FILHO (1986) han diseñado un sistema de lluvia simulada mediante el cual es posible recuperar la fase acuosa exenta de material sólido y extraer de ella los compuestos arrastrados mediante su solubilización en fase orgánica. Mediante este procedimiento lograron demostrar que un episodio simulado de lluvia, de unos 90 minutos de duración, con un flujo de $2,5 \text{ ml} \cdot \text{min}^{-1}$, lograba disolver alrededor de un 25% del ácido fumarprotocetrárico, contenido en talos de *Cladonia sprucei*, y alrededor del 18% de la atranorina contenida en los mismos talos. Paralelamente, ambos fenoles fueron encontrados en muestras de suelos donde *C. sprucei* crece y, lo que es aún más importante, cantidades significativas de atranorina permanecían inalteradas en dichos suelos tras cuatro meses de almacenamiento. Como es lógico suponer, el agua de lluvia va extrayendo progresivamente menores cantidades de ambos fenoles, lo que indicaría su agotamiento en las superficies corticales (Fig. 2).

3. Permeación de los fenoles líquénicos a través de las membranas celulares

La presencia de fenoles líquénicos en el suelo y su estabilidad con el tiempo posibilita el establecimiento de fenómenos alelopáticos, que han sido descritos ampliamente en la bibliografía siempre con criterios experimentales. La acción alelopática requiere, necesariamente, que los fenoles penetren a través de las membranas celulares de las células vegetales que van a sufrir dicha acción. Desgraciadamente, no existe, al menos que conozcamos, ninguna información experimental sobre la permeación de dichas sustancias. Un intento de abordar el tema fue llevado a cabo por CIFUENTES (1979) al estudiar la cinética de reparto del L-usnato sódico en fases lípido-agua. Los datos obtenidos revelan una gran dificultad en el reparto del fenol desde el agua al hexano, que se ve moderadamente facilitado por un incremento en la temperatura del sistema (máximo a 37°C) y por el aumento del volumen de la fase acuosa (óptimo de la razón v/v agua:hexano = 4). Ninguno de los dos factores aumenta significativamente la velocidad de reparto desde el hexano al agua, que es muy alta en todos los casos. La inclusión de una proteína en la fase acuosa,

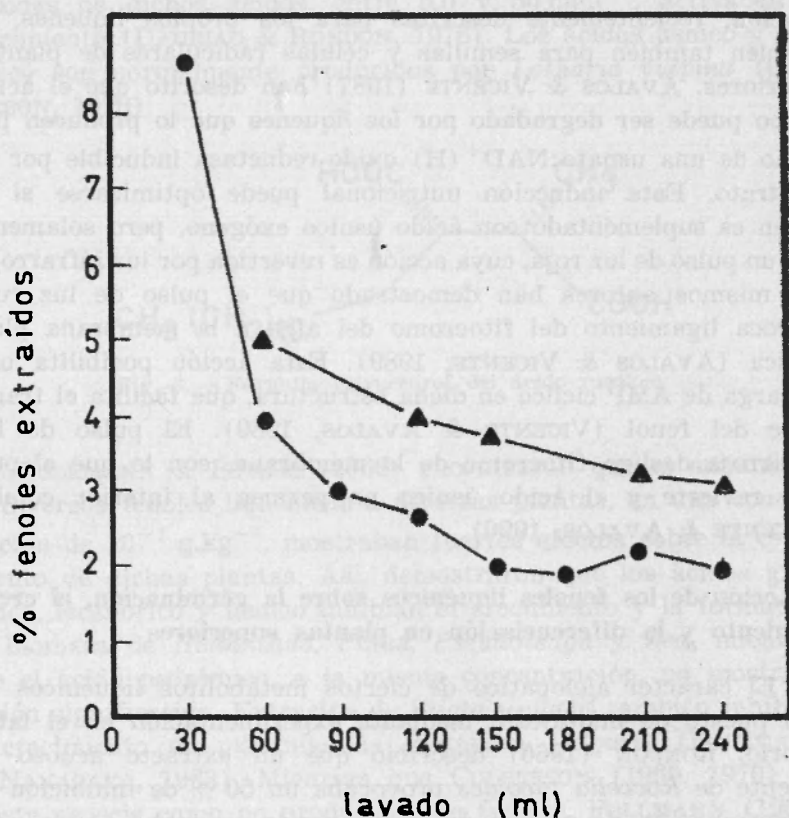


Fig. 2. — Extracción de ácido fumarprotocetrárico (●) y atranorina (▲) por lluvia simulada. Los resultados se expresan como porcentajes de los totales de ambas substancias contenidos en el talo.

como es la seroalbúmina bovina, no mejoraba, sino todo lo contrario, el reparto hacia el hexano, mientras que incrementaba significativamente el reparto en la dirección contraria. Esto podría explicarse mediante el secuestro del fenol por la proteína, dado que puede unirse covalentemente a ella (VICENTE & CIFUENTES, 1986).

La extrapolación de estos datos a las condiciones biológicas es extremadamente difícil. Puede predecirse que el usnato será un anión de fácil paso desde la membrana al citoplasma celular una vez que haya logrado repartirse en aquella. Este inconveniente, que no es pequeño, podría solventarse si las condiciones de per-

meación, recientemente descritas para los propios líquenes, se cumplen también para semillas y células radiculares de plantas superiores. AVALOS & VICENTE (1987) han descrito que el ácido úsnico puede ser degradado por los líquenes que lo producen por medio de una usnato:NAD⁺(H) oxido-reductasa inducible por su substrato. Esta inducción nutricional puede optimizarse si el liquen es suplementado con ácido úsnico exógeno, pero solamente tras un pulso de luz roja, cuya acción es revertida por luz infrarroja. Los mismos autores han demostrado que el pulso de luz roja provoca ligamiento del fitocromo del alga a la membrana plasmática (AVALOS & VICENTE, 1989). Esta acción posibilita una descarga de AMP cíclico en dicha estructura, que facilita el transporte del fenol (VICENTE & AVALOS, 1989). El pulso de luz infrarroja desliga fitocromo de la membrana, con lo que el proceso revierte y el ácido úsnico no permea al interior celular (VICENTE & AVALOS, 1990).

4. Acción de los fenoles liquénicos sobre la germinación, el crecimiento y la diferenciación en plantas superiores

El carácter alelopático de ciertos metabolitos liquénicos ha sido puesto de manifiesto mediante experimentación en el laboratorio. RONDON (1966) describió que un extracto acuoso en caliente de *Roccella fucoides* provocaba un 50 % de inhibición de la germinación de granos de trigo cuando se usaba a una concentración del 2,5 % (p/v). Un efecto semejante se observaba sobre el crecimiento en altura de plántulas jóvenes. Aunque en el citado trabajo no se aporta ningun dato sobre la naturaleza química de tal extracto, sí se especifica que *R. fucoides* posee cantidades substanciales de ácido lecanórico, bien libre, bien glicosilado como eritrina (Fig. 1).

La germinación de granos de trigo también era inhibida por extractos de *Letharia vulpina*. Esta inhibición era máxima cuando se preparaba el extracto en tampón fosfato, siguiendo el método de BUSTINZA & CABALLERO (1947), aún mayor que cuando el extracto se preparaba con etanol o agua. Los mismos extractos mostraban efectos inhibidores del crecimiento de raíz, coleoptilo y plúmula, lográndose una buena simulación de este efecto mediante disoluciones de los ácidos úsnico y vulpínico en un rango de concentraciones de 0.05 a 1.0 g.l⁻¹. Sin embargo, disoluciones más

diluidas de dichos ácidos, entre 5.0 y 50 mg.l⁻¹, activaban el crecimiento (DAURIAC & RONDON, 1976). Los ácidos úsnico y vulpínico son normalmente producidos por *Letharia vulpina* (CULBERSON, 1970).

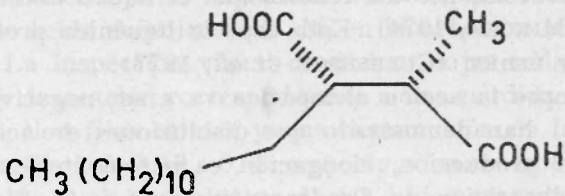


Fig. 3.— Fórmula estructural del ácido rocélico.

FOLLMANN & PETERS (1966) encontraron que el suministro de diversos fenoles liquénicos a diversas plantas, en una concentración de 10⁻⁷ g.kg⁻¹, mostraban fuertes efectos sobre el crecimiento de dichas plantas. Así, demostraron que los ácidos girofórico, lecanórico y úsnico inhibían el crecimiento y la formación de biomasa de *Helianthus*, *Pinus*, *Pseudotsuga* y *Zea*, mientras que el ácido psorómico, a la misma concentración, no mostraba acción significativa. Extractos de *Sticta weigelii* también inhibían el crecimiento de plántulas de *Phaseolus vulgaris* (FOLLMANN & NAKAGAYA, 1963). Mientras que CULBERSON (1969, 1970) da a esta especie como no productora de fenoles, FOLLMANN (1965) afirma que *S. weigelii* produce ácido úsnico.

Algunos dépsidos, como los ácidos difractaico, barbático, 4-0-demetylbarbático y evérnico, y sus catabolitos (o precursores) monocíclicos, los ácidos 4-0-metil-β-orcinol carboxílico, 2,4-0-dimetil-β-orcinolcarboxílico, β-orcinolcarboxílico, orselínico, 4-0-metilorselínico y 4-0-metilorselinato etil éster, inhiben el crecimiento de hipocótilo de lechuga para concentraciones entre 0.1 y 1.0 mM así como la elongación de la radícula, salvo que en este caso, las concentraciones bajas muestran un fuerte efecto promotor de la elongación (NISHITOBA *et al.*, 1987).

No se ha dado hasta ahora una explicación clara de estos mecanismos, en parte por falta de investigación adecuada, en parte por la existencia de datos experimentales discrepantes. Por ejemplo, RUNDEL (1978) describe que el desarrollo en altura de plántulas de *Pinus sylvestris*, así como la densidad de su dosel,

se ven fuertemente inhibidos por el grado de desarrollo de *Cladonia alpestris* en el suelo circundante. Sin embargo, más que una acción directa de segregados liquénicos, esta inhibición parece deberse a la notable desaparición de micorrizas asociadas al pino, desaparición provocada por los fenoles que el liquen excreta al suelo (BROWN & MIKOLA, 1974). Esta especie liquénica produce ácidos perlatólico y úsnico (CULBERSON *et al.*, 1977).

No siempre la acción alelopática va a ser negativa. QUILHOT *et al.* (1981) han demostrado que disoluciones de ácido rocélico estimulan la producción, elongación e incremento en peso seco de raíces adventicias de *Tradescantia virginiana*. Sin embargo, este efecto estimulador podría deberse a que, aún participando el ácido rocélico de la actividad antibiótica de buena parte de los metabolitos liquénicos, no participa de la estructura fenólica (Fig. 3). Además de esto, GARCIA *et al.* (1982) han demostrado que el ácido rocélico estimula el crecimiento del gametofito de *Ulva lactuca*, obteniéndose el máximo incremento para una concentración de 10^{-7} M. Esta estimulación es superior a la obtenida utilizando la óptima concentración de ácido indol-3-acético, que resultó ser, en este caso, 10^{-5} M. La acción sobre el esporofito es aún más patente que para el gametofito a la misma concentración usada (10^{-7} M). Los autores ofrecen como explicación hipotética, la actuación del ácido rocélico vía estimulación de la actividad de la auxina endógena ya que, como ha demostrado AUGER (1976), las algas contienen auxina, en mayor concentración las jóvenes que las maduras.

El riego de plántulas de *Citrullus vulgaris* con $28 \mu\text{g.ml}^{-1}$ de una mezcla no establecida de substancias extraídas con acetona del liquen *Evernia prunastri* no provoca alteraciones significativas del peso fresco, contenido en clorofilas y reacción de Hill de la fanerógama. Tampoco afecta a la germinación de sus semillas ni acelera o retarda el envejecimiento de sus cotiledones (YAGUE & ESTÉVEZ, 1985). Los autores sólo indican que los cloroplastos cotiledonares, visualizados al microscopio electrónico de transmisión, presentan una discreta desorganización de los tilacoides y una reducción del número de grana, aunque parecen haber aumentado su tamaño. Sin embargo, en ausencia de la más mínima cuantificación de los datos ultraestructurales y del más mínimo

análisis estadístico del resto, estas observaciones no pueden ser tomadas como significativas.

Tratamientos semejantes han podido ser cuantificados por RAPSCH & ASCASO (1985) mediante técnicas de análisis de imagen. Hojas de espinaca fueron incubadas durante una semana en una disolución de ácido evérnico 35,5 μM , en bicarbonato sódico 1 mM, de pH 6,5. La inspección visual de dichas hojas indica síntomas de clorosis y desecación correspondiente a una pérdida aproximada del 10 % de clorofilas totales y una disminución de la razón clorofila a/clorofila b de 1,47 a 0,92, respecto a los controles incubados en bicarbonato. Los cloroplastos de las hojas tratadas con ácido evérnico tenían un menor contenido en almidón, menor área, menos grana por sección y menos tilacoides por granum.

Los histogramas de las partículas reveladas por criocorrosión indicaban que su frecuencia, cuando eran menores de 10 nm, incrementaba en la cara EF_m de los cloroplastos tratados con ácido evérnico, mientras que las partículas de diámetro de 14 nm eran menos frecuentes. La frecuencia relativa de partículas menores de 10 nm incrementaba sobre las caras PF_m y PE_u por tratamiento con el fenol. SEMENOVA & LADYGIN (1984) habían sugerido un modelo según el cual PSII asociado a LHCP forma partículas de 14-22 nm en la cara EF, siendo sólo PSII las partículas de 10-14 nm en la misma cara de fractura. PSI formaría las partículas de 10-14 nm en la cara de fractura PF. Esto indica que el ácido evérnico estaría separando el complejo LHCP del PSII.

5. Acciones alelopáticas sobre hongos

MILLER *et al.* (1965) describieron que *Umbilicaria papulosa* poseía dos tipos de substancias con poder fitotóxico. Una de ellas, soluble en éter o en etilacetato, inhibía el crecimiento de dos hongos, *Glomerella cingulata* y *Monilinia fructicola*. Este compuesto era retenido en carbón activo, tenía un punto de fusión de 131,5°-132°C y los análisis de IR, PMR y MS indicaban que se trataba de etil orselinato. El material soluble en éter podía ser parcialmente extraído con agua. El producto tenía un punto de fusión de 96°-97°C y los análisis de IR y PMR indicaron que se trataba de orcinol. Un segundo compuesto, esta vez hidrosoluble, inhibía el crecimiento de raíces de pepino sin afectar el crecimiento fúngico. Su naturaleza química no ha sido elucidada.

CAVALCANTI *et al.* (1983) han demostrado que atranorina aislada de *Cladonia sandstedei* inhibe fuertemente el crecimiento en medio líquido de *Candida albicans* y *C. stellatooides* a una concentración de $500 \mu\text{g.l}^{-1}$ y en medio sólido, a concentraciones entre 250 y $500 \mu\text{g.l}^{-1}$.

TOLPYSHEVA (1979) demostró que la presencia de líquenes como *Cladonia rangiferina* y *C. stellaris* en suelos de pinares disminuía muy sensiblemente la cantidad de hongos microscópicos presentes en dichos suelos. Tal acción afectaba a especies de los géneros *Aspergillus*, *Penicillium*, *Mortierella*, *Mucor* y *Trichoderma* principalmente. Esta previsible inhibición del crecimiento pudo ser repetida usando extractos acuosos de talos de ambas especies, recientemente colectados (TOLPYSHEVA, 1984a). La alelopatía negativa afectaba principalmente a *Penicillium cyclopium*, *P. purpurogenum* y *Trichoderma viride*, aunque los extractos de ambos líquenes no parecían afectar sensiblemente a *P. implicatum*, *P. lanosum*, *P. frequentans* y *P. raistrickii*. Esta acción alelopática parecía estar relacionada con la presencia de fenoles liquénicos, como el ácido fumarprotocetrárico y la atranorina (TOLPYSHEVA, 1984b).

WHITON & LAWREY (1982) han estudiado la germinación de ascosporas de *Sordaria fimicola* (hongo de vida libre) y de *Cladonia cristatella* en presencia de tres fenoles liquénicos disueltos en disoluciones tamponadas para rangos de pH de 4 a 7. La germinación de esporas de *C. cristatella* era leve, pero significativamente inhibida por el ácido vulpínico, aunque no se observaba ningún efecto debido a los ácidos evérnico o estíctico. Por el contrario, las esporas de *S. fimicola* veían fuertemente inhibida su germinación por los ácidos vulpínico y evérnico, aunque no por estíctico. No se observó ningún efecto apreciable debido al pH. Posteriormente, WHITON & LAWREY (1984) ensayaron la germinación de ascosporas de los líquenes custosos *Graphis scripta* y *Caloplaca citrina*. Los ácidos vulpínico y evérnico inhibían sensiblemente la germinación de las esporas de ambos líquenes mientras que la atranorina solo inhibía la germinación de las de *C. citrina*.

6. Bases metabólicas de la acción alelopática de los fenoles liquénicos

La función biológica mediante la cual los fenoles liquénicos ejercen su acción fue estudiada a finales de los años 40, al demostrar que el ácido úsnico inhibía la respiración de huevos de *Arbacia*, así como sus divisiones mitóticas y la fusión de los núcleos de las células parentales (MARSHAK & FAGER, 1950). En los controles realizados en ausencia del fenol liquénico, la fusión nuclear se lograba a los 20 minutos de contacto entre ambas células, mientras que a los 260 minutos se alcanzaba el estado de mórlula. A este tiempo final, el núcleo espermático aún permanecía en la superficie del núcleo femenino cuando el contacto entre ambas células sexuales se llevaba a cabo en presencia de ácido úsnico. La inhibición de la fusión se debía, en este caso, a una inhibición de la DNasa por el fenol, inhibición que era acelerada por Cu^{2+} o Co^{2+} . El sistema DNasa, inhibido en esta forma, no podía realizar la dispersión del material nuclear espermático, requisito previo a la fusión nuclear.

Aún más interesante, bajo el punto de vista de la acción alelopática, resulta la capacidad del ácido úsnico para desacoplar la fosforilación oxidativa. Utilizando un homogenado de hígado de rata suplementado con $MgCl_2$ y citoeromo c, JOHNSON *et al.* (1950) midieron la esterificación del ácido fosfórico, el consumo de oxígeno y la razón fosfato esterificado a oxígeno consumido variando las concentraciones de ácido úsnico entre 1 y 32 μM y empleando una amplia gama de substratos de oxidación. Entre 1 y 15 μM de ácido úsnico, el consumo de oxígeno permanecía inalterado, o incluso incrementaba, mientras que disminuía drásticamente la esterificación del fosfato. Este efecto era aditivo al producido por el 2,4-dinitrofenol cuando ambos inhibidores estaban presentes en las mezclas de incubación, lo que confirmaba la identidad de los mecanismos de acción de ambos compuestos.

Entre ambos mecanismos existía otra semejanza. LOOMIS & LIPMANN (1948) habían observado que bajas concentraciones de 2,4-dinitrofenol estimulaban el consumo de oxígeno. JOHNSON *et al.* (1950) encontraron el mismo efecto para el ácido úsnico a concentraciones entre 0 y 1 μM . Similares resultados obtuvo NATORI (1957a) sobre la respiración de *Mycobacterium tuber-*

culosis 607 en presencia de 3-dibenzofurilamino metasulfonato sódico. El derivado inhibía el consumo de oxígeno a una concentración 1mM pero lo estimulaba a una concentración de 10 μ M. También encontró el mismo autor que agentes surfactantes como el Tween 20 y 85, Span 80 y Triton X100 disminuían la actividad antibiótica de ciertos dibenzofuranos sobre *Mycobacterium* 607, posiblemente por oclusión micelar del surfactante por el antibiótico, lo que traería como consecuencia la disminución de su concentración en las cercanías de las células.

Otros fenómenos sobre superficies celulares producidas por fenoles líquénicos han sido descritos. Partiendo de una observación preliminar de MANSO & VICENTE (1971), quienes suponían que el L-usnato sódico podría permeabilizar bacterias Gram negativas, VICENTE & CIFUENTES (1981) observaron que células de *Proteus mirabilis* incubadas sobre L-usnato sódico tomaban rápidamente fumarato del medio de cultivo sin que se pudiera detectar un aumento de la correspondiente permeasa ni variaciones significativas en las deshidrogenasas del ciclo de Krebs. Observaciones al microscopio electrónico de transmisión de estas células demostraron que las membranas de las formas L mostraban una neta disruptión que era estructuralmente compensada por un neto engrosamiento de la pared celular en posición polar. Idéntico hecho, aunque deslocalizado, podía observarse en las formas S.

El incremento en el grosor de la pared celular en aquellos puntos en que la membrana aparece rota puede explicarse mediante el aumento de actividad, producido por el ácido úsnico, de ciertas enzimas de síntesis de materiales de pared. Esta activación debe entenderse en una doble vía. Por una parte, las bacterias incubadas sobre L-usnato, en presencia de glucosa y amonio, sintetizan activamente glucosamina-P isomerasa. El efecto del fenol se ejerce provocando la retención de la enzima en el interior celular, impidiendo su secreción al medio (CIFUENTES & VICENTE, 1983). Por otra parte, la enzima citoplásmica es sensiblemente activada por L-usnato (CIFUENTES & VICENTE, 1980). En esta doble vía, la aposición sobre la pared celular de nuevos materiales sintetizados aumenta la estabilidad física celular, como lo demuestra la mayor resistencia de las células, tratadas con el fenol, frente a un choque osmótico (VICENTE & CIFUENTES, 1981).

7. Bases moleculares de la acción alelopática

Dibenzofuranos estructuralmente relacionados, aunque no biosintéticamente, con los ácidos úsnicos, también poseen actividad alelopática (antibiótica) frente a una amplia gama de bacterias. El ácido didímico muestra actividad frente a *S. aureus* y *M. tuberculosis*, aunque no frente a *E. coli* (NATORI, 1957b). Frente a esta última, ciertos derivados, como el 3-aminodibenzofurano o el 3-hidroxibenzofurano, son inhibidores de su crecimiento.

Un intento de relacionar estructura química y actividad antibiótica o alelopática fue llevado a cabo por SHIBATA *et al.* (1948) utilizando derivados substituidos en diversas posiciones de ambos anillos para los ácidos úsnicos. Estudiada su acción sobre *M. tuberculosis avium*, se pierde la mitad de su capacidad antibiótica cuando los dos hidroxilos libres del primer anillo se esterifican con ácido acético (Fig. 4). Mientras que según las condiciones experimentales establecidas por estos autores, tanto la forma D- como la forma L- del ácido úsnico detienen el crecimiento bacteriano a una dilución 1:160 000, el ácido L-diacetilúsntico requiere una dilución 1:80 000.

En el segundo anillo, la hidrogenación del doble enlace, convirtiendo el ácido úsnico en dihidroúsntico, disminuye a un cuarto su capacidad antibiótica (dilución 1:40 000); combinando ambas sustituciones en el ácido L-diacetildihidroúsntico, se requiere una dilución 1:10 000 para detener el crecimiento bacteriano (Fig. 5).

Se puede considerar, en este caso, que los hidroxilos libres en posiciones meta-6,8 en el primer anillo son fundamentales como soporte de la actividad antibiótica de los ácidos úsnicos. Esta conclusión vendría dada por el hecho que el ácido DL-usnoico tiene una actividad menor de la sexta parte de aquella demostrada para el ácido úsnico. En este caso, el hidroxilo libre en posición 8 del primer anillo es transformado en función ceto, mientras que un nuevo hidroxilo aparece en posición 5 (Fig. 6).

Sobre estos hechos, podría pensarse que la acción alelopática y la capacidad quelante de los ácidos úsnicos está íntimamente relacionada, ya que la actividad se pierde cuando se impide la formación del anillo quelado, bien por acetilación (ácido diacetilúsntico), bien por agolpamiento estérico (ácido usnoico). Sin embargo, NATORI (1957b) hace notar que la adición de cationes tales como Fe^{2+} , Fe^{3+} , Cu^{2+} , Co^{2+} , Zn^{2+} o Mn^{2+} , no afectan

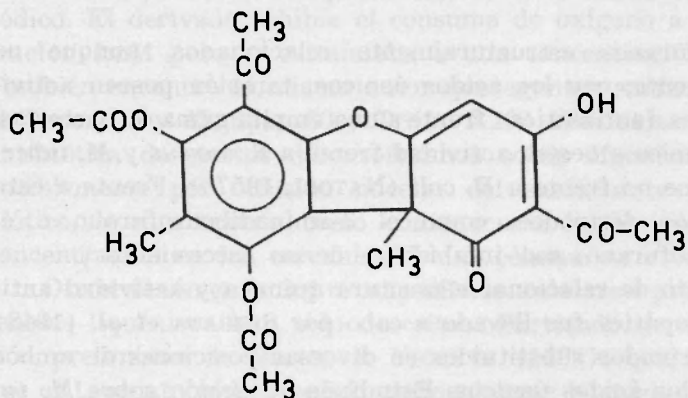


FIG. 4

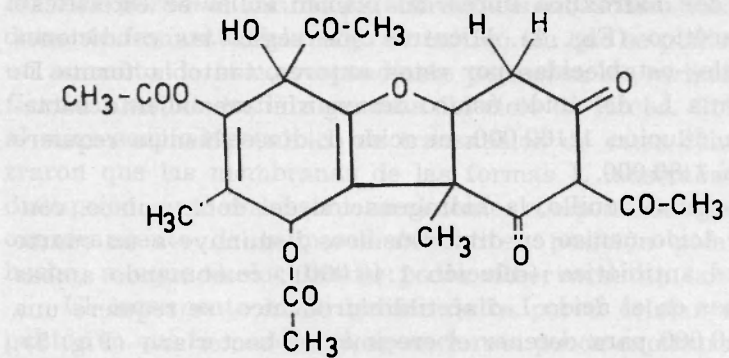


FIG. 5

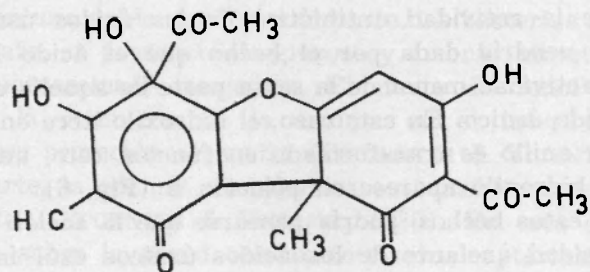


FIG. 6

Figs. 4, 5 y 6.—Fórmulas estructurales de los ácidos diacetilúsrico, diacetildihidróúsrico y usnico.

la actividad antibiótica del 3-aminodibenzofurano. El grado de oxidación del segundo anillo de los ácidos usnicos sería otra de las bases de la actividad antibiótica, ya que una reducción progresiva de sus dobles enlaces conduce a la pérdida de su actividad biológica.

NATORI *et al.* (1957) también demostraron que la substitución del oxígeno heterocíclico del 2- y 3-aminodibenzofurano por un átomo de azufre no modificaba el poder bacteriostático de estos compuestos frente a *Mycobacterium 37HRv*, aunque pierden algo de efectividad frente a *Mycobacterium 607*. Sin embargo, la oxidación del átomo de azufre a SO o SO₂ provoca una notable pérdida de actividad. Idéntica pérdida se observaba cuando el oxígeno heterocíclico es substituido por -CH₂-, -CO o -NH-.

REFERENCES

- ASCASO, C. & GALVAN, J.
1976 Studies on pedogenetic action of lichen acids. *Pedobiologia*, 16: 321-331.
1982 The weathering of calcareous rocks by lichens. *Pedobiologia*, 24: 219-229.
- AUGIER, H.
1976 Les hormones des algues. Etat actuel des connaissances. I. Recherches et tentatives d'identification des auxines. *Botanique Marseillaise*, 19: 127-1443.
- AVALOS, A. & VICENTE, C.
1987 Equivalence between Pfr and cyclic AMP in the induction of D-usnic acid dehydrogenase in the lichen *Evernia prunastri*. *Plant Physiology*, 84: 803-807.
1989 Action of filipin on phytochrome-modulated D-usnic acid NAD⁺(H) oxido-reductase activity in the lichen *Evernia prunastri*. *Journal of Plant Physiology*, 135: 478-482.
- BUSTINZA, F. & CABALLERO, A.
1947 Contribución al estudio de los antibióticos procedentes de líquenes. *Anales del Jardín Botánico de Madrid*, 7: 511-548.
- BROWN, R. T. & MIKOLA, P.
1974 The influence of fruticose soil lichens upon the mycorrhizal and seedling growth of forest trees. *Acta Forestalia Fennica*, 141: 1-23.
- CAVALCANTI, L. H. S. M.; MAIA, R. F.; LIMA, E. O. & XAVIER FILHO, L.
1983 Atividade antimicrobiana *in vitro* da atranorina. *Revista de Microbiología São Paulo*, 14: 168-171.
- CIFUENTES, B.
1979 Cinéticas de reparto de L-usnato sódico en fases hexano:agua y hexano:proteína. *Trabajos del Departamento de Botánica y Fisiología Vegetal*, 10: 53-58.

- CIFUENTES, C. & VICENTE, C.
- 1980 Binding studies of L-usnic acid to D-fructose-6-P aminotransferase. *Biochemical and Biophysical Research Communications*, **95**: 1550-1554.
 - 1983 Action of L-usnic acid on glucosamine phosphate isomerase activity of *Proteus mirabilis*. *Cryptogamie, Bryologie et Lichenologie*, **4**: 255-262.
- CULBERSON, C. F.
- 1969 Chemical and Botanical Guide to Lichen Products. The University of North Carolina Press, Chapel Hill.
 - 1970 Supplement to Chemical and Botanical Guide to Lichen Products. *Bryologist*, **73**: 177-377.
- CULBERSON, C. F.; CULBERSON, W. L. & JOHNSON, A.
- 1977 Second Supplement to Chemical and Botanical Guide to Lichen Products. The American Bryological and Lichenological Society, St. Louis.
- DAURIAC, H. & RONDON, Y.
- 1976 Quelques aspects des propriétés d'un lichen, le *Letharia vulpina*, en biologie végétale expérimentale. I. Action sur la germination du blé et le développement de l'ail. *Bulletin de la Société Botanique de France*, **123**: 235-241.
- FOLLMANN, G.
- 1965 Flechtenstoffe und Stecklingsbenwurzelung. *Naturwissenschaften*, **52**: 266.
- FOLLMANN, G. & NAKAGAWA, M.
- 1963 Keimhemmung von Angiospermensamen durch Flechtenstoffe. *Naturwissenschaften*, **21**: 386-387.
- GARCÍA, F.; ESPINOZA, A.; COLTANTES, G.; RIOS, V. & QUILHOT, W.
- 1982 Lichen substances and the plant growth. III. The effects of roccellic acid on the growth of seedlings of *Ulva lactuca*. *Journal of Hattori Botanical Laboratory*, **53**: 443-447.
- GARCÍA-JUNCEDA, E. & XAVIER FILHO, L.
- 1986 Solubilization of lichen phenolics from *Cladonia sprucei* by simulated rainfall. *Lichen Physiology and Biochemistry*, **1**: 61-69.
- GONZALEZ, A. & CIFUENTES, B.
- 1986 Reversal by dithiothreitol of urease inactivation by L-usnic acid. *Phytochemistry*, **25**: 1063-1066.
- JOHNSON, R. B.; FELDOTT, G. & LARDY, H. A.
- 1950 The mode of action of antibiotic, usnic acid. *Archives of Biochemistry*, **28**: 317-323.
- LOOMIS, W. T. & LIPPMANN, F.
- 1948 Reversible inhibition of the coupling between phosphorylation and oxidation. *Journal of Biological Chemistry*, **173**: 807-7808.
- MALICKI, J.
- 1965 The effect of lichen acids on the soil microorganisms. Part. I. The washing down of the acids into the soil. *Annales Universitatis Marie Curie-Sklodowska, Section C*, **20**: 239-248.

- MANSO, R. & VICENTE, C.
- 1971 Acción del L-usnato sódico sobre la actividad ureasa de *Proteus mirabilis*. *Microbiología Espanola*, 24: 123-132.
- MARSHAK, A. & FAGER, J.
- 1950 Prevention of nuclear fusion and mitosis and inhibition of deoxyribonuclease by D-usnic acid. *Journal of Cellular and Comparative Physiology*, 35: 317-319.
- MILLER, E. V.; GRIFFIN, C. E.; SCHAESFERS, T. & GORDON, M.
- 1965 Two types of growth inhibitors in extracts of *Umbilicaria papulosa*. *Botanical Gazette*, 126: 100-107.
- NATORI, S.
- 1957a Antibacterial effect of lichen substances and related compounds. VII. The structure-activity relationship observed in compounds related to dibenzofuran and an approach to the elucidation of the mode of action. *Pharmaceutical Bulletin*, 5: 553-560.
- 1957b Antibacterial effect of lichen substances and related compounds. V. Dibenzofuran derivatives. *Pharmaceutical Bulletin*, 5: 539-547.
- NATORI, S.; ITO, M. & NAKAGOME, T.
- 1957 Antibacterial effect of lichen substances and related compounds. VI. Dibenzotriophene, fluorene and carbazole derivatives. *Pharmaceutical Bulletin*, 5: 548-552.
- NISHITOBIA, Y.; NISHIMURA, H.; NISHIYAMA, T. & MIZUTANI, J.
- 1987 Lichen acids, plant growth inhibitors from *Usnea longissima*. *Phytochemistry*, 26: 3181-3185.
- JUILHOT, W.; THOMPSON, W. J.; VIDAL, B. S. & CAMPOS, P. C.
- 1981 Lichen substances and the plant growth. I. The effect of roccellic acid on the development of adventitious roots in cuttings of *Tradescantia virginiana*. *Journal of Hattori Botanical Laboratory*, 49: 273-277.
- RAPSCH, S. & ASCASO, C.
- 1985 The effect of evernic acid on structure of spinach chloroplasts. *Annals of Botany*, 56: 467-473.
- RICHARDSON, D. H. S. & NIEBOER, E.
- 1980 Surface binding and accumulation of metals in lichens. In: *Cellular Interactions in Symbiosis and Parasitism* (Ed. by C. B. COOK, P. W. PAPPAS & E. D. RUDOLPH), pp. 755-94. Ohio State University Press, Columbus.
- DONDON, Y.
- 1966 Action inhibitrice de l'extrait du lichen *Roccella fucoides* sur la germination. *Bulletin de la Société Botanique de France*, 113: 1-2.
- RUNDEL, P. W.
- 1978 The ecological role of secondary lichen substances. *Biochemical Systematics and Ecology*, 6: 157-170.
- SCOTT, G. D.
- 1971 Plant Symbiosis. Edward Arnold Publ., London.
- SEMENOVA, G. A. & LADYGIN, V. G.
- 1984 Topography of thylakoid membranes of chloroplasts based on the analysis of *Chlamydomonas* mutants deficient in chlorophyll-protein complexes. *Photosynthetica*, 18: 50-56.

- SHIBATA, S.; UKITA, T. & TAMURA, T.
 1948 Relation between chemical constitution and antibacterial effects of usnic acid and its derivatives. *Japan Medical Journal*, **1**: 151-155.
- SYERS, J. K. & ISKANDAR, I. K.
 1973 Pedogenetic significance of lichens. In: The Lichens (Ed. by V. AHMADJIAN & M. E. HALE), pp. 225-248. Academic Press, New York.
- TOLPYSHCHEVA, T. Y.
 1979 Effect of lichens on the quantity of soil microscopic fungi in lichen pine forest. *Botanical Journal*, **64**: 1341-1344 (in Rusian).
 1984a Effects of lichen extracts on fungi. I. Effects of aqueous extracts of *Cladina stellaris* and *C. rangiferina* on the growth of soil fungi. *Mycological Pathology*, **18**: 287-293.
 1984b Effects of lichen extracts on fungi. II. Effects of joint preparation obtained from *Cladina stellaris* and *C. rangiferina* on growing soil fungi. *Mycological Pathology*, **18**: 384-388.
- VICENTE, C. & AVALOS, A.
 1989 Regulation by light of the intracellular levels of cyclic AMP in the lichen *Evernia prunastri*. *Endocyt. C. Res.*, **6**: 203-211.
 1990 Phytochrome mediates permeability changes which make possible nutritional induction of D-usnic acid oxido-reductase in the lichen *Evernia prunastri*. In: Endocytobiology IV (Ed. by P. NARDON, V. GIANINAZZI-PEARSON, A. M. GRENIER, L. MARGULIS & D. C. SMITH), pp. 187-190. INRA, Paris.
- VICENTE, C. & CIFUENTES, B.
 1979 Reversal by L-cysteine of the inactivation of urease by L-usnic acid. *Plant Science Letters*, **15**: 165-168.
 1981 L-Usnate and permeability. *Cryptogamie, Bryologie et Lichenologie*, **2**: 213-222.
- WHITON, J. C. & LAWREY, J. D.
 1982 Inhibition of *Cladonia cristatella* and *Sordaria ascospora* germination by lichen acids. *Bryologist*, **85**: 222-226.
 1984 Inhibition of crustose lichen spore germination by lichen acids. *Bryologist*, **87**: 42-43.
- XAVIER FILHO, L.; ARRUDA, E. C.; PAULO, M. Q.; LEGAZ, M. E. & VICENTE, C.
 1984 Chemotaxonomical study on *Cladonia verticillaris* and *C. calycantha*. *Phyton*, **44**: 115-119.
- XAVIER FILHO, L.; PAULO, M. Q.; VICENTE, C. & LEGAZ, M. E.
 1985 Phenols from *Cladonia sandstedei* analyzed by high performance liquid chromatography. *Cryptogamie, Bryologie et Lichenologie*, **6**: 143-149.
- YAGUE, E. & ESTEVEZ, M. P.
 1985 Effect of *Evernia prunastri* extracts on growth and photosynthetic activity of *Citrullus vulgaris* seedlings. *Phyton*, **45**: 69-77.

EFFECT OF SALINITY ON THE GROWTH RATE OF *GYRODINIUM* CF. *AUREOLUM* (DINOPHYCEAE)

VANDA M. MASCARENHAS & LÚCIA PINTO

Instituto Nacional de Saúde Dr. Ricardo Jorge.
Lisboa, Portugal.

Received, 14-V-1992.

ABSTRACT

On the influence of different salinities growth rate of the naked coastal dinoflagellate *Gyrodinium* cf. *aureolum* Hulbert was examined in batch cultures using a monoclonal culture isolated from Albufeira, Portugal. A wide range in salinity (7.6 to 44.7‰) is tolerated by *G. cf. aureolum*. Optimum salinity value is at 7.6‰ ($k = 0.3$ divisions.day $^{-1}$), and no significant difference in the growth rate is found from 11.6 to 18‰ (less than 10%). Division rates between 25.7-37.3‰ and at 44.7‰ are about 30% or 50% less than maximum value respectively. *G. cf. aureolum* could only survive for a short time at salinities 3.6‰ and 51.7‰. A fair agreement is found between the growth rate and the maximum cell yield obtained in each salinity, with their maximum ranging from 7.6 to 18‰.

Key words: Autecology, physiology, salinity, growth-rate, *Gyrodinium* cf. *aureolum*.

INTRODUCTION

Gyrodinium aureolum was first described by HULBURT in 1957 collected at the east coast of USA, in the Woods Hole area. The first mass occurrence of this species in Europe was observed in South West coastal waters of Norway in Autumn 1966 (BRAARUD & HEIMDAL, 1970). Its occurrence was accompanied by spectacular brown discolouration and by fish mortality in floating net cages and in the mostly of various littoral invertebrates. According to those authors, this species must have occurred before in low concentrations without having been recorded, as its shape has

greatly changed during preservation. Since then (1966), the species has bloomed several times, probably becoming the most widespread dinoflagellate red tides in North European waters (TANGEN, 1977). JENKINSON & CONNORS (1980), LINDAHL (1983), BOALCH (1984), BROCKMANN (1985), DAHL *et al.* (1985) and BELIN *et al.* (1990) have characterized the occurrence of the *G. aureolum* blooms in different parts of Northern Europe, with references to its harmful consequences for fish and the marine littoral invertebrates. One of the most recent *Gyrodinium aureolum* blooms observed occurred along the Norwegian coast in autumn 1988 and reached great proportions, and affected a much larger area than the previous ones (DAHL & TANGEN, 1990).

Next to temperature, salinity is the most obvious environmental factor to affect marine algae growth in the intertidal zone, estuaries or rock pools. The local salinity changes which are usually associated with freshwater inflow or evaporation processes, are closely connected with the distribution of marine species which «must reflect not only its preferred or tolerated salinity range, but also its ability to withstand changes with time» (BIRD & McLACHLAN, 1986). The response to any sudden change in salinity in those habitats is quite interesting, as this requires a precise «osmoacclimation» or «turgor pressure» regulation (CRAM, 1976; REED, 1984, in KIRST, 1990).

This paper reports a series of experiments performed to determine the response to different levels of salinity in terms of growth rate and changes of the cell morphology characteristics of the dinoflagellate *Gyrodinium cf. aureolum*.

MATERIAL AND METHODS

The strain used in the present study was isolated in monoclonal culture from Albufeira, Portugal, in April, 1989 (clone 334). It is a naked coastal dinoflagellate for which no massive occurrence has been recorded for Portuguese coastal waters until now, nor has its toxicity been tested. Stock clonal cultures were maintained at $19 \pm 1^\circ\text{C}$ in sterilized artificial media (Provasoli), ASP₁ and ASP₂ mixed in the proportion 1:1. A range of salinities (3.6 to 51.7‰) was obtained by adjusting the NaCl concentration, but not the nutrients, in the ASP₁ + ASP₂ medium. So the monovalent to bivalent ion relation in the different salinities tested changed

from 1.1 to 20.8. Cells in the late log phase growing at 27‰ ASP₁ + ASP₂ medium were used as inocula.

Culture experiments with different salinities were conducted in triplicate in 500 ml flasks, with 250 ml of medium at 19 ± 1°C, and were top and base illuminated by cool-white fluorescent lamps at a level of ~ 3500 lux on a daily light regime of 14:10. The experiments were started with *ca* 150 cells.ml⁻¹. An optical microscope (Photo-Zeiss II) was used for preliminary characterization of the strain and to follow the cellular morphology changes occurring under different salinities. A culture strain was sent to Dr. TAKAYAMA (Japan) who kindly agreed to confirm its identification.

An aliquot of the experimental cell culture was taken every three to four days. In cultures where cell density was scarce and at the initial growth phase of some experimental cultures, cell numbers were determined using a Palmer-Malloney (0.1 ml capacity). Culture density was further determined by a Coulter-Counter model ZM, with a 140 µm diameter aperture. Growth rates ($k = \text{divisions} \cdot \text{day}^{-1}$) were calculated as described by GUILLARD (1973), using a linear least-squares regression of the log-transformed data. Covariance analyses were used to check the statistical significance between the experiments in each salinity for a confidence limit of 95% (GALVÃO DE MELO, 1979).

RESULTS

This species proved to be a very sensitive organism as it rapidly changes shape and easily disintegrates when examined under the optical microscope. In culture it forms a gold brown cloud, that strives towards the light due to its strong positive phototaxis. Cells have no thecal plates. The epicone is hemispherical to broadly conical. The hypocone is distinctly truncated with a more or less marked indentation at the antapex. Cells are slightly dorsi-ventrally flattened. The girdle is moderately deep and shows a left-handed displacement over 16-23 % of the length. It divides the cells in two sub-equal parts, the epicone normally being somewhat smaller than the hypocone. The sulcus is wide and deep in the hypocone, and on the epicone, is almost straight and extends deeply onto the epicone (Fig. 1). The cells vary greatly in size, being able to form two subpopulations of vegetative

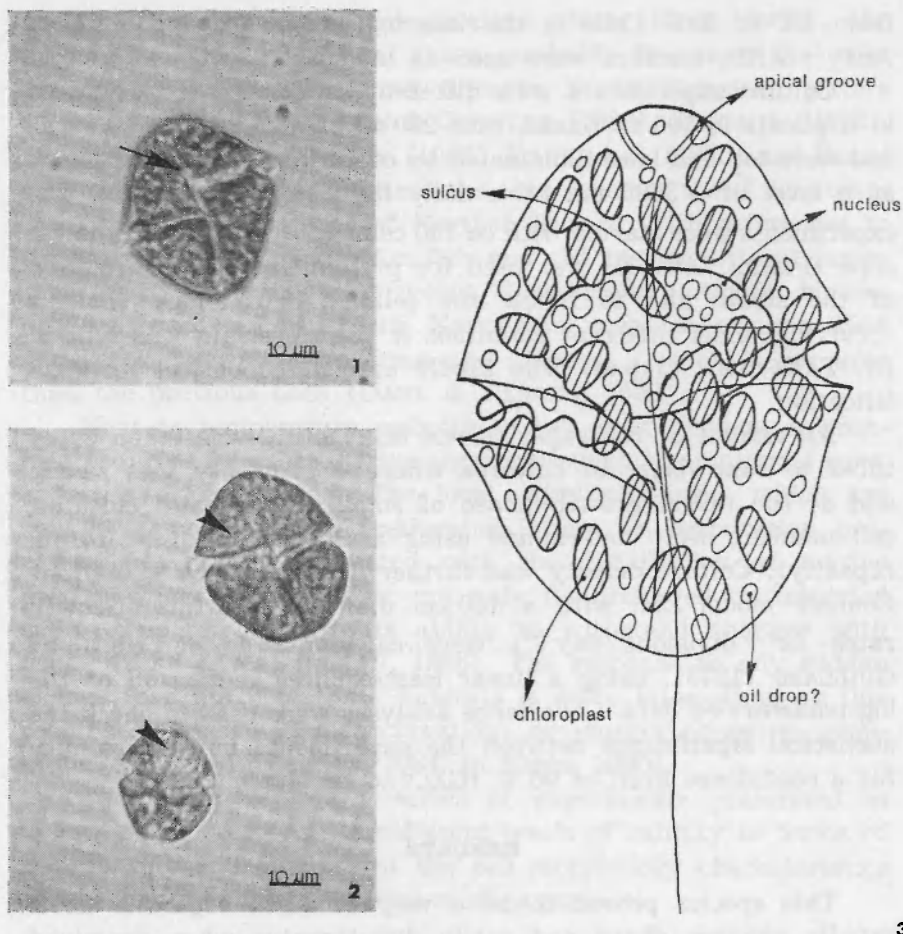


Fig. 1-3. — Morphology of *Gyrodinium* cf. *aureolum*. Fig. 1, ventral view showing the epicone hemispherical, the hypocone distinctly truncated and the displacement of the cingulum. arrowhead = sulcus. Fig. 2, «large» and «small» specimens. arrow = nucleus. Bars = 10 μ m. Fig. 3, Sketches of this specimen (TAKAYAMA, personal communication, 1991), showing details of morphology and of the cell content.

cells («small» and «large» forms). They also show a change in shape according to the age of the culture (Fig. 2). The length varied from 20.2 to 40.3 μ m and the width from 17.3 to 31.7 μ m. The cell content includes numerous elliptical or irregular brownish-yellow chromatophores and a single spherical to ovoid nucleus

positioned at the cingulum level. The transverse flagellum completely encircles the body. The longitudinal flagellum is long, about one body length.

These morphological characteristics of the cells fit closely with the description and the sketches of *Gyrodinium aureolum* (Fig. 3) kindly made by TAKAYAMA, 1991 (personal communication). He used a light and a scanning electron microscope referring the occurrence of an apical groove encircling the apex (Fig. 3). According to TAKAYAMA this strain is similar to *Gyrodinium aureolum* of HULBURT's original description but different from *Gymnodinium nagaesakiiense*. Further observations are necessary to confirm this.

1 — Cellular morphology changes

Between 7.6 and 37.3 %, the cells maintained the typical healthy morphology and swimming behaviour during growth. From 7.6 % to 18 % dense golden brown cultures were obtained. At 44.7 % almost all the cells were able to survive seven days following the inoculation. After this period, the cells seemed healthy and it was possible to see actively dividing forms. Their length varied from 15.8 to 28.2 μm and the width from 17.3 to 27.4 μm .

At 3.6 %, shortly after the inoculation the cells became swelled, lost their mobility and developed vacuoles. At first, the cells appeared rounded without a well defined cingulum or sulcus. They also appeared hyaline as the cytoplasm and the organelles were pushed into one cell pole due to the development of the vacuoles. Later on, having lost their mobility, the cells gradually recovered their normal appearance, since it was possible to distinguish the cingulum and the sulcus. At this salinity an evident «osmoacclimation» process appeared to have take place, after a lag phase. However, they could not divide.

After inoculation cells subjected to high salinity (51.7 %) showed a complete change of their typical external features, some of them being surrounded by a hyaline substance. Even so the cells were able to survive for more than 16 days.

2 — Growth curves

Fig. 4 shows the growth curves obtained for each of the salinities tested.

— At 7.6‰ there was a lag phase of about three days with an evident exponential phase after the 6th day of culture.

— At 11.6‰ and 18‰, growth curves, maximum cell yields and growth rates were quite similar, with a defined exponential phase after the 2th day of growth. The lag phase was relatively short.

— At 25.7, 31.3 and 37.7‰ the growth curves and lag phase were quite similar. An evident reduction of the doubling cell number can be reported after the 7th day of growth. At 37.7‰ that reduction was more evident, reaching a maximum cell yield 65% less than the maximum obtained at 11.6‰.

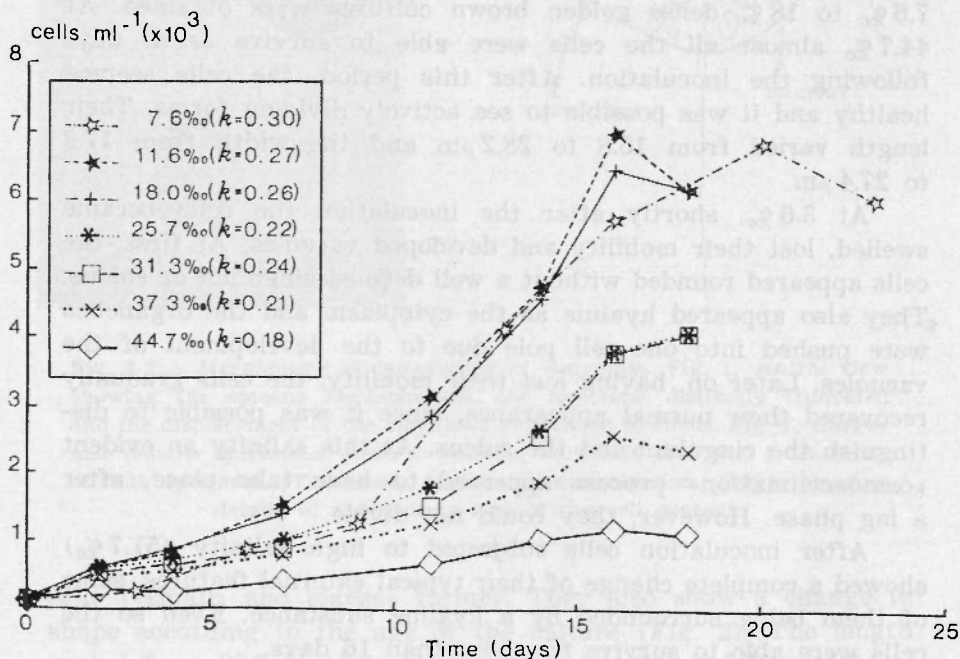


Fig. 4. — Progress of the cell density of *Gyrodinium* cf. *aureolum* at various salinities.

— At 44.7‰ there was again an increase of the lag phase, and a slower increment of the cell concentration could be noticed by the flattening of the growth curves. The maximum cell yield reached was very low (85% less than the maximum obtained at 11.6‰).

3 — Growth rate and maximum cell yield

The relationship between growth rate and maximum cell yield against salinity is presented in Fig. 5. The maximum growth rate value was obtained at 7.6‰ $k = 0.3$ divisions . day⁻¹, (monovalent to bivalent ions ratio 2.7) with a decrease (*ca.* 30%) up to 37.3‰. At 44.7‰ a considerable reduction of the growth rate could be noticed. At 3.6 and 51.7‰ the cells were only able to survive, the surviving capacity being function of time. Considering the maximum cell yield obtained at each salinity, a fair agreement between these values and the growth rate was seen. In both

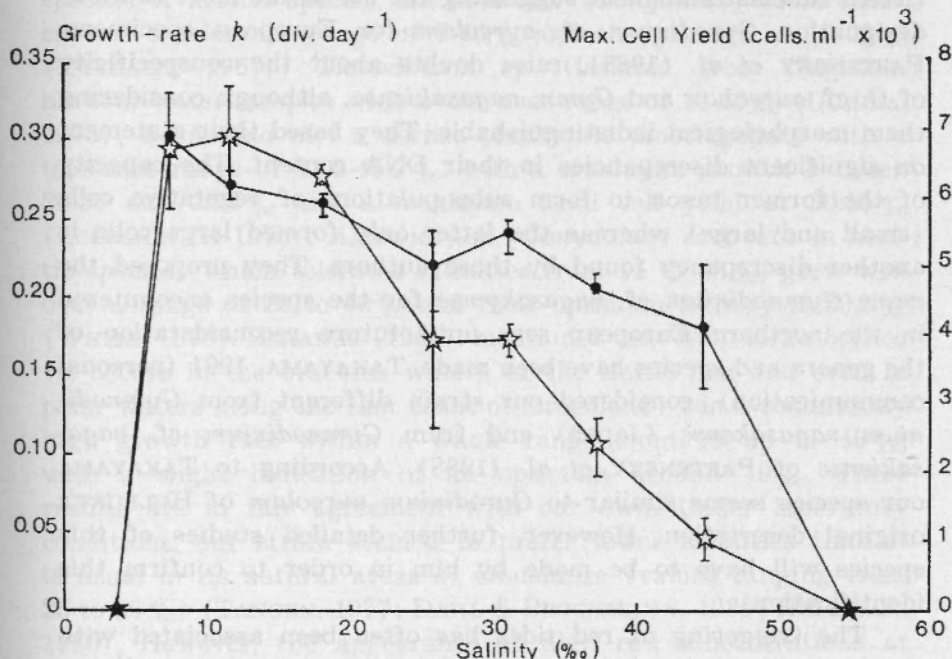


Fig. 5.—Relationship between growth rate and maximum cell yield at different salinities. Full points — average growth rate; stars — average maximum cell yield; bars = 95 % confidence limits.

parameters maximum values were obtained between 7.6‰ and 11.6‰, with a slight decrease at 18‰. Above this level an evident reduction of the maximum cell yield can be noticed.

DISCUSSION

The are some species whose taxonomic classification in one genus is quite difficult, as they have some characteristics that could lie at the borderline or bridge other groups. They show great variability from place to place and/or according to environmental conditions (wild state or cultured). TANGEN (1977) and TAYLOR (1985) suggested that *Gyrodinium aureolum* might be conspecific with *Gymnodinium nagasakiense*. MATSUOKA *et al.* (1989) also mentioned this possibility based on morphologically similarities. They also suggested that *G. aureolum* from the Northern European waters could be different from *G. aureolum* first described by HULBURT. PARTENSKY & SOURNIA (1986) confirmed this last statement suggesting the use of the more cautious designation *Gyrodinium* cf. *aureolum* for European specimens. PARTENSKY *et al.* (1988), raise doubts about the conspecificity of *G. cf. aureolum* and *Gymn. nagasakiense*, although considering them morphological indistinguishable. They based their statement on significant discrepancies in their DNA content. The capacity of the former taxon to form subpopulations of vegetative cells (small and large) whereas the latter only formed large cells is another discrepancy found by those authors. They proposed the name *Gymnodinium* cf. *nagasakiense* for the species encountered in the northern European seas until future reconsideration of the genera and species have been made. TAKAYAMA, 1991 (personal communication), considered our strain different from *Gymnodinium nagasakiense* (Japan) and from *Gymnodinium* cf. *nagasakiense* of PARTENSKY *et al.* (1988). According to TAKAYAMA our species seems similar to *Gyrodinium aureolum* of HULBURT's original description. However, further detailed studies of this species will have to be made by him in order to confirm this identification.

The triggering of red tides has often been associated with the input of nutrients, humic acids and lowering of the salinity, caused by upwelling, river discharge, rainfall or land drainage. Low grazing pressure and the existence of a stratified water

column had also been referred to as important factor in producing red tides (PRAKASH, 1967; BRAARUD & HEIMDAL, 1970; TANGEN, 1977; MARGALEF *et al.*, 1979). Like most environmental factors, salinity found in marine habitats differs greatly with respect to space and time. The majority of marine dinoflagellates live in ocean waters with salinity higher than 20 or 30 ‰, rarely more than 40 ‰ (TAYLOR & POLLINGHER, 1987). According to these authors, the highly stenohaline distribution of some species may sometimes be due to an intolerance of some other constituents of land run off. The *G. aureolum* blooms in Norwegian coastal waters, described by BRAARUD & HEIMDAL (1970) and by TANGEN (1977) seem to have been started after or during an upwelling period (salinities between 27 and 33 ‰) and proceeded in less saline water affected by heavy river runoff (20-25 ‰, occasionally 16 ‰).

The remarkable euryhalinity of our strain was evident and in the main agrees with those previously reported for some other species. A neritic species, *Alexandrium (Gonyaulax) tamarensis*, showed a tolerance range of 7-40 ‰ and an optimum at 19-20 ‰ (PRAKASH, 1967); *Glenodinium* sp. (isolated from Nagasaki harbour water sample) with a tolerance range of 10-45 ‰ (UCHIDA, 1975); *Cachonina niei* a neritic planktonic dinoflagellate with a tolerance range of 11.6-45.2 ‰, with a maximum growth between 20.55 and 30.7 ‰ and a maximum final cell yield at 20.55 ‰ (LOEBLICH III 1975); *Alexandrium (Gonyaulax) excavata* (a neritic species) which tolerates salinities from 11 to 43 ‰, grew well over a range of 20 to 40 ‰ and their optimum salinity is 30.5 ‰ (WHITE, 1978). BRAARUD (1961), mentioned that *Exuviaella baltica* (it occurs in the brackish waters of the Baltic Sea and even in polar waters along the east coast of Greenland) has a remarkably high growth rate within a whole range from 10 up to 40 ‰, with a slight indication of an optimum around 10 ‰. These results are in fair agreement with our own. Under laboratory conditions, our strain seemed to prefer lower salinities than it is usual in its natural areas of abundance (values ranging from 25 to 30 ‰) (TANGEN, 1977; DAHL & BROCKMANN, 1985; HOLLIGAN, 1985). However, the appearance of high cell concentrations at salinities down to 16.4 ‰ has also been mentioned (BRAARUD & HEIMDAL, 1970) or the occurrence of the highest cell concentrations during a bloom when the salinities were between 15 and

25‰ (DAHL & TANGEN, 1990). CHANG & CARPENTER (1985) also refer to the occurrence in Carmans estuary of *Gyrodinium aureolum* in waters with salinity between 0 and 22‰. However they did not observe a clear relationship between cell density and salinity. The salinity associated with the bloom was around 15‰, with lower cell densities at very low or very high salinities.

When submitted to any change in salinity, algae respond by an osmoacclimation process or turgor pressure regulation. This process involves, at first, a massive and rapid water flux into or out of the organism following the osmotic gradient. Owing to the selective ion permeability and diffusion via ion-selective channels of the plasmalemma membrane, there is an uptake or loss of ions which means changes in the cellular ionic ratios of the organism. The main ions involved are K^+ , Na^+ , Cl^- ; Ca^{2+} also play an important role in this process. Afterwards, there occurs an osmotic adjustment in which cellular concentrations of the osmotically active solutes (osmolytes) change until a new steady state is achieved (KIRST, 1989). This will be easily reached if the changes of the salinity are moderate. Usually when subjected to hypo or hyperosmotic stresses, the whole cell will swell or shrink, respectively, and develop vacuoles that may serve as compartments to sequester ions, mainly Na^+ and Cl^- (KNOTH & WIENCKE, 1984). The cellular morphological changes observed when the cells were exposed to 3.6 and 51.7‰ agree quite closely with this last statement. The variable long lag phase found in some salinities tested (7.6 and 44.7‰), is probably related to the above mentioned period of «osmoacclimation». This period should correspond to the time necessary for the cells to recover their ability to divide, after the normal equilibrium of exchanges of water and salts between the cell and its medium was disturbed.

As mentioned by KIRST (1989), «near the limits of salinity tolerance, growth may be sacrificed in order to maintain osmotic adjustment, which guarantees survival at least for short periods». The failure to grow in 3.6 and 51.7‰, its survival capacity, even for a short period, corroborates this statement. Also, according to the same author referring to GILMOUR *et al.* (1982) and GILMOUR *et al.* (1985) results obtained in *Dunaliella* showed that osmotic stress increased the permeability of the thylakoids to ions — eg. Na^+ and Cl^- which subsequently inhibited photosystem I and II.

It can be concluded that the euryhalinity of *Gyrodinium cf. aureolum* was quite evident. In culture this strain could divide from 7.6 to 44.7‰, the optimum salinity value being much below the mean salinity of its usual areas of abundance. The low growth rate obtained in our experiments could be consequence of the dramatic change between the monovalent and bivalent ion ratio, inherent of the method used to get the different salinities tested. This species, although not able to multiply, could survive for a while at 3.6 and 51.7‰ salinities.

REFERENCES

- BIRD, C. J. & McLACHLAN, J.
1986 The effect of Salinity on distribution of species of *Gracilaria* Grev (Rhodophyta, Gigartinales): An Experimental Assessment. *Botanica Marina*. Vol. XXIX: 231-238.
- BELIN, C.; BERTHOME, J. P.; LASSUS, P.
1990 Dinoflagellés toxiques et phénomènes d'eaux colorés sur les côtes françaises évolution et tendances entre 1975 et 1988. *Equinoxe*. 25: 30-38.
- BOALCH, G. T.
1984 Recent blooms in the Western English Channel. Procc. Int. Seaweed Symp. XI.
- BRAARUD, T.
1961 Cultivation of marine organisms as a mean of understanding environmental influence on populations: *Oceanography American Ass. for the Adv. of Sci.* 271-298.
- BRAARUD, T. & HEIMDAL, B.
1970 Brown water on the Norwegian Coast in Autumn 1966. *A Norwegian Journal of Botany* vol. 17, n° 2: 91-97.
- BROCKMANN, U. H.; DAHL, E.; EBERLEIN, K.
1985 Nutrient dynamics during a *Gyrodinium aureolum* bloom. In: ANDERSON, D.; WHITE, A.; BADEN, D. [Eds.]. *Toxic Dinoflagellates*, Elsevier, pp. 239-244.
- CHANG, J. & CARPENTER, E. J.
1985 Blooms of the dinoflagellate *Gyrodinium aureolum* in a Long Island estuary: Box model analysis of bloom maintenance. *Marine Biology*. 89: 83-93.
- CRAM, W. J.
1976 Negative feedback regulation of transport in cells. The maintenance of turgor, volume and nutrient supply. In: LUTTGE, U.; PITMAN, M. G. [Eds.]. *Encyclopedia of Plant Physiology* (NS), vol. 2A. *Transport in Plants II*. Berlin/Heidelberg/New York: Springer, pp. 283-316.

- DAHL, E. & BROCKMANN, U.
- 1985 The growth of *Gyrodinium aureolum* Hulbert in in situ Experimental bays. In: ANDERSON, D.; WHITE, A.; BADEN, D. [Eds.]. *Toxic Dinoflagellates*, Elsevier, pp. 233-238.
- DAHL, E. & TANGEN, K.
- 1990 *Gyrodinium aureolum* bloom along the Norwegian coast in 1988: In: GRANELI, E.; SUNDSTROM, B.; EDLER, L.; ANDERSON, D. [Eds.]. *Toxic Marine Phytoplankton*. Elsevier, pp. 123-127.
- GALVÃO DE MELO, F.
- 1985 Métodos estatísticos em estudos comparativos: comparação de tratamentos: In: Escola Nacional de Saúde Pública [Eds.]. *Obras Avulsas*, Lisboa, n.º 4, pp. 195.
- GUILLARD, R.
- 1973 Division rates. In: STEIN [Ed.]. *Handbook of Phycological Methods: culture methods and growth measurements*. Cambridge Univ. Press, London, pp. 289-311.
- GILMOUR, D. J.; HIPKINS, M. F.; BONEY, A. D.
- 1982 The effect of salt stress on the primary processes of photosynthesis in *Dunaliella tertiolecta*. *Plant Sci. Lett.* 26: 325-330.
- GILMOUR, D. J.; HIPKINS, M. F.; WEBER, A. N.; BAKER, N. R.; BONEY, A. D.
- 1985 The effect of ionic stress on photosynthesis in *Dunaliella tertiolecta*. Chlorophyll fluorescence Kinetics and spectral characteristic. *Planta* 163: 250-256.
- HOLLIGAN, P. M.
- 1985 Marine Dinoflagellate Blooms-Growth strategies and Environmental Exploitation. In: ANDERSON, D.; WHITE, A.; BADEN, D. [Eds.]. *Toxic Dinoflagellates*, Elsevier, pp. 133-139.
- JENKINSON, I. R. & CONNORS, P. P.
- 1980 The occurrence of the red tide causing organisms, *Gyrodinium aureolum* Hulbert (Dinophyceae), round the South and West of Ireland in August and September 1979. *J. of Sherkin Island*. 1: 126-146.
- KIRST, G. O.
- 1989 Salinity tolerance of eukaryotic marine algae. *Annu. Rev. Plant Physiol. Plant Mol. Biol.* 40: 21-53.
- KNOTH, A. & WIENCKE, C.
- 1984 Dynamic changes of protoplasmic volume and of fine structure during osmotic adaptation in the intertidal alga *Porphyra umbilicalis*. *Plant, Cell Environ.* 7: 113-119.
- LINDAHL, O.
- 1983 On the development of a *Gyrodinium aureolum* occurrence on the Swedish west in 1982. *Marine Biology*. 77: 143-150.
- LOEBLICH III, A. R.
- 1975 A sea water medium for dinoflagellates and the nutrition of *Cachonina niei*. *J. Phycol.* 11 (1): 80-86.
- MARGALEF, R.; ESTRADA, M. & BLASCO, D.
- 1979 Functional morphology of organisms involved in red tides, as adapted to decaying turbulence. In: TAYLOR, D. & SELIGER, H. [Eds.]. *Toxic Dinoflagellates Blooms*. Elsevier/North-Holland, pp .89-94.

- MATSUOKA, K.; IIZUKA, S.; TAKAYAMA, H.; HONJO, T.; FUKUYO, Y.; ISHIMARU, T.
1987 Geographic distribution of *Gyrodinium nagasakiense* Takayama et
Adachi around West Japan. In: OKAICHI, T.; ANDERSON, D. NEMOTO,
T. [Eds.]. *Red Tides. Biology Environmental Science and Toxicology*.
Elsevier, pp. 101-104.
- PARTENSKY, F. & SOURNIA, A.
1986 Le dinoflagellé *Gyrodinium* cf. *aureolum* dans le plancton de l'Atlan-
tique nord: identification, écologie, toxicité. *Cryptogam. Algol.* 7:
251-275.
- PARTENSKY, F.; VAULOT, D.; COUTÉ, A. & SOURNIA, A.
1988 Morphological and nuclear analysis of the bloom-forming dinofla-
gellates *Gyrodinium* cf. *aureolum* and *Gymnodinium nagasakiense*.
J. Phycol. 24: 408-415.
- PRAKASH, A.
1967 Growth and toxicity of a marine dinoflagellate, *Gonyaulax tam-
rensis*. *J. Fish. Res. Bd. Canada.* 24 (7): 1589-1604.
- REED, R. H.
1984 Use and abuse of osmo-terminology. *Plant, Cell Environ.* 7: 165-170.
- TAYLOR, F. J. R.
1985 The taxonomy and relationships of red tide flagellates. In: ANDERSON,
D.; WHITE, A.; BADEN, D. [Eds.]. *Toxic Dinoflagellates*, Elsevier.
pp. 11-26.
- TAYLOR, F. J. R. & POLLINGHER, U.
1987 Ecology of Dinoflagellates. Marine Ecosystem. In: TAYLOR, F. [Ed.].
The Biology of Dinoflagellates. Botanical Monographs. Blackwell,
Scientific Publication, Oxford, pp. 398-502.
- TANGEN, K.
1977 Blooms of *Gyrodinium aureolum* (Dinophyceae) in North European
waters, accompanied by mortality in marine organisms. *Sarsia.* 63:
123-133.
- UCHIDA, T.
1975 Nutrition of *Glenodinium* sp. isolated from Nagasaki harbor. *Bull.
Plankton Soc. Japan.* 22 (1 and 2): 11-16.
- WHITE, A. W.
1978 Salinity effects on growth and toxin content of *Gonyaulax excavata*,
a marine dinoflagellate causing shellfish poisoning. *J. Phycol.* 14:
475-479.

INTERÉS FITOGEOGRÁFICO DE ALGUNAS PLANTAS BASÍFILAS DE LA TIERRA DEL PAN (ZAMORA) RARAS O AUSENTES EN LA FLORA PORTUGUESA

RAMIRO GARCÍA RÍO & FLORENTINO NAVARRO ANDRÉS

Departamento de Biología Vegetal, Facultad de Biología,
Universidad de Salamanca. 37008 Salamanca. España.

Recibido, 15-V-1992.

RESUMEN

Se comentan doce plantas basífilas nuevas o poco conocidas en la flora zamorana con interés corológico.

ABSTRACT

Commentary is made of twelve basiphilous plants which have a chorological interest news or almost unknown in the Zamora flora.

INTRODUCCIÓN

LA Tierra del Pan, muy próxima a la región de Trás os Montes e Alto Douro, ocupa el CE de la provincia de Zamora aproximadamente. En su conjunto es una gran llanura de unos 700 metros de altitud por término medio. Esta comarca es una encrucijada de variadas litologías, lo que ha supuesto que muchos vegetales basífilos de tendencia continental se detengan en ella y no penetren en los tramos portugueses de la cuenca del Duero, donde al cambio litológico hay que adicionar una influencia oceánica más acusada.

En este territorio se distinguen dos grandes unidades geomorfológicas: Un Zócalo, formado por materiales principalmente ordovícicos, y una Cuenca sedimentaria. El Zócalo ocupa el W de la comarca y está constituido por granodioritas, esquistos, cuarcitas y pizarras arcillosas. De forma puntual se encuentran

pequeños asomos de calizas masivas de edad Silúrico-Devónico. La Cuenca sedimentaria constituye los dos tercios orientales del territorio, en ella nos encontramos principalmente arcillas, areniscas, conglomerados y materiales modernos no estratificados. Esta parte del territorio está salpicada de tesos en los que alternan margas y calizas.

La Cuenca sedimentaria con suelos básicos se corresponde biogeográficamente con la porción más occidental del sector Castellano-Duriense mientras que el Zócalo con sustratos silíceos dominantes es incluido en la franja meridional del sector Orensano-Sanabriense que hacia Portugal se trueca en el sector Lusitano-Duriense.

Tanto en el solar administrativamente zamorano del sector Castellano-Duriense como en el Orensano-Sanabriense impera el piso bioclimático supramediterráneo inferior del ombroclima seco con inviernos frios o frescos (GARCÍA RÍO, 1991).

CATALOGO FLORISTICO

A continuación se comentan doce plantas estrictamente calcícolas o de preferencias basófilas que salvo raras excepciones (*Astragalus sesameus* y *Fumana thymifolia*) no atraviesan las fronteras hispanolusas. Las señaladas con un asterisco (*), son nuevas aportaciones al catálogo florístico zamorano.

* *Cerastium perfoliatum* L.

ZAMORA: Villalonso, Las Canteras, 800 m., 30TUM1007, mala hierba de cultivos cerealistas asentados sobre suelos carbonatados (*Roemero hybridae-Hypecoetum penduli*), 24-IV-1990, SALAF 24667.

Damos la localidad ibérica más occidental; la cita más próxima es vallisoletana (FERNÁNDEZ DÍEZ, 1984: 256). No se conoce de la flora de Portugal [RICO *in* CASTROVIEJO & al. (eds.) 1990: 265].

* *Dianthus pungens* L. subsp. *hispanicus* (Asso) O. Bolós & Vigo

ZAMORA: Vezdemarbán, Valoria, 800 m., 30TUM0414, 3-VII-1987, SALAF 24665; Abezames, Valcuervo, 790 m., 30TTM9910,

2-V-1990, SALAF 24666. En matorrales desarrollados sobre sustratos margoso-pedregosos y calizas (*Lino differentis-Salvietum lavandulifoliae*).

Es una de las citas peninsulares más occidentales.

* **Astragalus sesameus** L.

ZAMORA: Aspariegos, Las Cabecinas, 700 m., 30TTM8016, 10-V-1990, SALAF 24664; Coreses, La Cantera Vieja, 710 m., 30TTM8203, 16-V-1990. En majadales desarrollados sobre suelos margosos referibles a *Poo bulbosa-Astragaletum sesamei*.

Se distribuye por la Región Mediterránea occidental y llega hasta el Algarve (AMARAL FRANCO, 1971: 325).

* **Vicia montana** Retz.

ZAMORA: Coreses, Mayo, 780 m., 30TTM8404, 2-V-1987, SALAF 24654; Toro, Las Bodegas, 700 m., 30TTL9598, 28-IV-1990, SALAF 24665; Villadondiego, Las Coronas, 800 m., 30TUM0307, 2-VII-1990, SALAF 24656; Vezdemarbán, Valoria, 800 m., 30TUM0414, 3-VII-1990, SALAF 24657.

Suele comportarse como mala hierba en cultivos cerealistas y sembrados de girasol que se asientan sobre arcillas carbonatadas.

Se halla en varios puntos de la meseta castellana sin penetrar en Portugal (GUINEA, 1953: 155).

* **Hippocratea ciliata** Willd.

ZAMORA: Aspariegos, Las Cabecinas, 700 m., 30TTM8016, 10-V-1990, SALAF 24663. En céspedes terofíticos calcífilos de *Helianthemum villosi-Euphorbietum sulcatae*.

Del mapa publicado por DOMÍNGUEZ (1976: 245) se desprende que este terófito es muy escaso en la cuenca del Duero. Para esta última porción de la geografía ibérica ha sido señalada de las provincias de Palencia, Segovia y Valladolid (BURGAZ, 1983: 80; CASASECA & al., 1983: 233; CEBOLLA & al., 1983: 338; FERNÁNDEZ ALONSO, 1985: 95; ROMERO & RICO, 1989: 166). La localidad aportada representa el límite noroccidental conocido de este taxón mediterráneo.

* **Euphorbia minuta** Loscos & Pardo

ZAMORA: Vezdemarbán, Quiñones, 780 m., 30TUM0414, 4-VII-1990, SALAF 24662. Claros de matorrales basófilos de *Lino differentis-Salvietum lavandulifoliae*.

Cuando LOSA (1947: 415-416) publicó la distribución de este endemismo hispano, solamente se conocía de la cuenca del Ebro y de alguna localidad aislada de la parte occidental de la del Duero. A partir de dicha fecha se ha completado considerablemente su área, ampliándose ésta hasta la Meseta Sur. En nuestros tesos calizos alcanza su límite occidental.

Fumana thymifolia (L.) Spach

ZAMORA: Coreses, La Cantera Vieja, 720 m., 30TTM8203, 15-IV-1990, SALAF 24701. En tomillares calcícolas de *Lino differentis-Salvietum lavandulifoliae*.

Entre las localidades zamoranas estudiadas por MOLERO & ROVIRA (1987: 5) figura la publicada de Fuentesaúco por GIRÁLDEZ (1987: 109) y la correspondiente a un pliego de Brea. Este último pueblo no aparece en la cartografía zamorana, lo que nos hace sospechar que el pliego sea de Zaragoza donde sí hay pueblos con ese nombre.

Nuestra aportación completa el área conocida de esta Cistácea, la cual, aún penetrando en Portugal, tiene en los cerros miocenos zamoranos, uno de sus enclaves ibéricos más noroccidentales.

* **Trinia glauca** (L.) Dumort

ZAMORA: Gallegos del Pan, Mirazamora, 760 m., 30TTM8203, 11-V-1990, SALAF 24658; Algodre, Las Gavias, 760 m., 30TTM 8405, 16-V-1990, SALAF 24661. En los tomillares basífilos de *Lino differentis-Salvietum lavandulifoliae*.

A nuestros pliegos hay que sumar una recolección de CASASECA & al. (Abbezames, 11-VI-1990, SALA 49323).

ARENAS (1990: 115) recoge la distribución peninsular de este taxon y sitúa las localidades más próximas a las aquí aportadas en León (CARBO & al., 1977: 89) y Valladolid (FERNÁNDEZ DÍEZ, 1985: 86).

*** *Sideritis montana* L. subsp. *ebracteata* (Asso) Murb.**

ZAMORA: Aspariegos, Lás Cabecinas, 700 m., 30TTM8016, 10-V-1990, SALAF 24668. En pastizales terofíticos basófilos de *Helianthemum villosi-Euphorbietum sulcatae*.

En el cuenca del Duero este endemismo hispano-norteafricano se conoce al menos de las provincias de Soria (SEGURA, 1975: 765; 1988: 352), Segovia (ROMERO & RICO, 1989: 238), Valladolid (BURGAZ, 1983: 99; FERNÁNDEZ DIEZ, 1984: 261; ROMERO & RICO *l. c.*) y Salamanca (SÁNCHEZ SÁNCHEZ, 1979: 257).

*** *Nepeta nepetella* L. subsp. *aragonensis* (Lam.) Ubera & Valdés**

ZAMORA: Villalonso, Las Canteras, calizas de cobertera, 800 m., 30TUM1007, 5-VII-1990, SALAF 24669.

UBERA & VALDÉS (1983: 27-29) estudian la distribución de este endemismo hispano, sin incluirlo en nuestra provincia. Nuestra localidad sirve de nexo entre leonesas y vallisoletanas conocidas.

*** *Senecio minutus* (Cav.) DC.**

ZAMORA: El Campillo, El Castillo, calizas silúricas, 720 m., 30TTM5409, 20-V-1988, SALAF 24671. En pastizales terofíticos de *Helianthemum villosi-Euphorbietum sulcatae*.

Es frecuente en la cuenca del Duero (AEDO & *al.*, 1987: 152; CARBO & *al.*, 1977: 103; GALAN, 1990: 139; MAYOR, 1975: 343; SÁNCHEZ SÁNCHEZ, 1979: 255; VICIOSO, 1941: 232) pero muy rara y escasa en nuestra provincia.

*** *Carduncellus monspelliensium* All.**

ZAMORA: Vezdemarbán, 790 m., 30TUM0314, 4-VIII-1990, SALAF 24660. En taludes calizos, donde cohabita con algunos elementos propios de *Aphyllation*.

Parece estar ausente en Portugal (AMARAL FRANCO, 1984) aunque sea relativamente frecuente en las provincias de la cuenca hispana del Duero. Las localidades más proximas a las que nosotros traemos son leonesas (CARBÓ & *al.*, 1977: 105) y vallisoletanas (FERNÁNDEZ ALONSO, 1985: 191).

BIBLIOGRAFIA CITADA

- AEDO, C.; HERRA, C.; LAÍNZ, M.; LORIENTE, E. & MORENO MORAL, G.
 1987 Contribución al conocimiento de la flora montanesa VI. *Anales Jard. Bot. Madrid*, 44(2): 445-457.
- AMARAL FRANCO, J.
 1971 *Nova Flora de Portugal* 1, *Lycopodiaceae-Umbelliferae*. Lisboa.
 1984 *Nova Flora de Portugal* 2, *Clethraceae-Compositae*. Lisboa.
- ARENAS, J. L.
 1990 Estudio carpológico de la subfamilia Apioideae (Umbelliferae) en la España Peninsular y Baleares. Tesis Doc. (inéd.). Fac. Biología, Univ. Sevilla.
- BURGAZ, A. R.
 1983 Flora y vegetación gipsófila de la provincia de Valladolid y sureste de Palencia. Instituto Cultural Simancas. Valladolid.
- CAREO, R.; MAYOR LOPEZ, M.; ANDRÉS RODRÍGUEZ, J. & LOSA QUINTANA, J. M.
 1977 Aportaciones al catálogo florístico de la provincia de León. *Acta Bot. Malacitana*, 3: 63-120.
- CASASECA MENA, B.; FERNÁNDEZ DÍEZ, F. J.; AMICH GARCIA, F.; RICO HERNÁNDEZ, E. & SÁNCHEZ SÁNCHEZ, J.
 1983 Flora Española. Tercera Centuria. Ed. Univ. Salamanca.
- CASTROVÍEJO, S.; LAÍNZ, M.; LÓPEZ GONZALEZ, G.; MONTSERRAT, P.; MUÑOZ GARMENDIA, F.; PAIVA, J. & VILLAR, L. (Eds.)
 1990 Flora ibérica II. *Real Jard. Bot. CSIC*. Madrid.
- CEBOLLA, C.; RIVAS, M. A. & SORIANO, C.
 1983 Catálogo florístico del río Duratón (Segovia, España), 2, *Rosaceae a Umbelliferae. Lazaroa*, 4: 227-240.
- DOMÍNGUEZ, E.
 1976 Revision de las especies anuales del género *Hippocrepis* L. *Lagascalia*, 5(2): 225-261.
- FERNÁNDEZ ALONSO, J. L.
 1985 Flórula del término municipal de Encinas de Esgueva y zonas limítrofes. Mem. Licenciatura (inéd.) Fac. Biología. Univ. Salamanca.
- FERNÁNDEZ DÍEZ, F. J.
 1984 Aportaciones al conocimiento de la flora vallisoletana. *Studia Bot.*, 3: 225-262.
 1985 Aportaciones a la flora vallisoletana 2. *Studia Bot.*, 4: 79-87.
- GALAN, P.
 1990 Contribución al estudio florístico de las comarcas de La Lora y Páramo de Masa (Burgos). *Fontqueria*, 30: 1-167.
- GARCÍA RÍO, R.
 1991 Estudio de la flora y vegetación cormofíticas de las comarcas zamoranas del Pan, Tera y Carballeda. Tesis Doctoral (inéd.). Fac. de Biología. Univ. de Salamanca.
- GIRÁLDEZ, X.
 1987 Algunos táxones interesantes del sureste zamorano. *Collec. Bot.* (Barcelona), 17(1): 107-111.

GUINEA, E.

- 1953 Estudio botánico de las vezas y arvejas españolas. Monografía del género *Vicia* L. en la Península Ibérica. *Inst. Nac. Invest. Agron.* Madrid.

LOSA, T. M.

- 1947 Algo sobre las especies españolas del género *Euphorbia* L. *Anales Jard. Bot. Madrid*, 7: 357-451.

MAYOR, M.

- 1975 Datos florísticos sobre la Cordillera Central (Somosierra, Ayllón y Pela). *Anales Inst. Bot. Cavanilles*, 32(2): 323-347.

MOLERO, J. & ROVIRA, A. M.

- 1987 Taxonomía del grupo *Fumana thymifolia* (*Cistaceae*). *Candollea*, 42(2): 501-531.

ROMERO, T. & RICO, E.

- 1989 Flora de la cuenca del río Duratón. *Ruizia*, 8. Madrid.

SÁNCHEZ SÁNCHEZ, J.

- 1979 *Estudio de la flora y vegetación de la comarca de Ledesma*. Tesis Doc. (inéd.). Fac. Biología, Univ. Salamanca.

SEGURA, A.

- 1975 De flora soriana y otras notas botánicas. *Anales Inst. Bot. Cavanilles*, 32(2): 763-774.

UBERA, J. L. & VALDÉS, B.

- 1983 Revision del género *Nepeta* (*Labiatae*) en la Península Ibérica e Islas Baleares. *Lagascalia*, 12(1): 3-80.

VICIOSO, C.

- 1941 Materiales para el estudio de la flora soriana. *Anales Jard. Bot. Madrid*, 2: 188-235.

PTERIDÓFITAS DA RESERVA DE CAETÉS (PAULISTA — PE)

MÔNICA CRISTINA ALCÂNTARA DE FARIAS,
MÉCIA AGRA MACEDO BELO
& IVA CARNEIRO LEÃO BARROS

Departamento de Botânica, Centro de Ciências Biológicas
Universidade Federal de Pernambuco, Cidade Universitária,
Recife — PE, Brasil

Recebido em 18-V-1992.

RESUMO

Estudos taxonômicos preliminares foram realizados na Reserva de Caetés, objetivando contribuir para o conhecimento da flora pteridofítica local. Nove espécies foram identificadas, distribuídas em nove gêneros e seis famílias: *Lygodium* Sw., *Dicranopteris* Bernh., *Trichomanes* L., *Trichipteris* Presl., *Pityrogramma* Link, *Adiantum* L., *Acrostichum* L., *Lindsaea* Dry. ex Sm. e *Ctenitis* (C. Chr.) C. Chr. & Ching. As famílias mais representativas em número de espécies foram Pteridaceae e Dennstaedtiaceae, com três e dois gêneros respectivamente. A maioria é terrestre, apresentando uma ampla distribuição geográfica.

ABSTRACT

Preliminary taxonomic studies were realized in the «Caetés» Reserve, aiming to contribute to the knowledge of the local pteridophytic flora. 9 species were identified, which were distributed in 9 genus and 6 families: *Lygodium* Sw., *Dicranopteris* Bernh., *Trichomanes* L., *Trichipteris* Presl., *Pityrogramma* Link, *Adiantum* L., *Acrostichum* L., *Lindsaea* Dry. ex Sm. and *Ctenitis* (C. Chr.) C. Chr. & Ching. The most representative families in amount of species were Pteridaceae and Dennstaedtiaceae, with 3 and 2 genus, respectively. Most of them are terrestrial, with wide geographic distribution.

Key words: Pteridophytes, forest, taxonomy.

INTRODUÇÃO

NO Brasil a flora pteridofítica vem sendo estudada por vários autores, destacando-se os trabalhos realizados por BRADE (1940), BRAGA (1951), PONTUAL (1972), BARROS (1980), RANAL (1983), SANTANA (1987), BARROS *et al.* (1988), que abrangem parâmetros taxonômicos, fisiológicos e ecológicos.

Em Pernambuco, as pteridófitas têm sido estudadas do ponto de vista biossistêmático e ecológico — ANDRADE-LIMA (1950), PONTUAL (1969 e 1971), BARROS (1980) — além disso, tem-se dado ênfase a outras áreas de pesquisa, como os trabalhos desenvolvidos por SILVA (1989), que testou a atividade antimicrobiana de frondes e rizomas de 17 espécies de pteridófitas ocorrentes em remanescentes de Mata Atlântica; SILVA (1989), que analisou populações de *Anemia villosa* Sw. ex Willd. do ponto de vista fenológico, ontogenético e hídrico e DIAS-FILHA (1989), que estudou a germinação de esporos e a fenologia de *Lygodium volubile* Sw.

O levantamento preliminar da pteridoflora da Reserva de Caetés visou contribuir para o conhecimento das espécies nativas dos remanescentes de Floresta Atlântica do Nordeste brasileiro.

MATERIAL E MÉTODOS

A Reserva Ecológica de Caetés localiza-se no município de Paulista, integrante da Região Metropolitana do Recife (Lat. 7° 55' 00" e 7° 56' 30" S, e Long. 34° 55' 15" e 34° 56' 30" O. Gw.), e ocupa uma área de 175 ha. O clima é quente e húmido com chuvas de inverno antecipadas, com médias anuais de precipitação equivalente a 2340,8 mm e temperatura igual a 25,9° C.

As coletas foram feitas mediante a técnica comumente desenvolvida pelos taxonomistas. As fontes para a classificação taxonômica e distribuição geográfica das espécies foram SEHNEN (1970, 1971, 1972), TRYON & TRYON (1982) e PROCTOR (1985). O material examinado encontra-se depositado no Herbário da Universidade Federal de Pernambuco (UFP).

A observação dos tipos e distribuição dos aparelhos estomáticos e do padrão de venação foi feita através da técnica de diafanização de STRITTMATTER (1973), com posterior observação em microscópio óptico com câmara clara, através da qual foram realizadas as ilustrações. Para a classificação dessas estruturas utilizou-se as chaves de VAN COTTSEM (1970) e BRADE (1945).

RESULTADOS

As espécies estudadas pertencem às famílias Schizaeaceae, Gleicheniaceae, Hymenophyllaceae, Cyatheaceae, Pteridaceae, Dennstaedtiaceae e Dryopteridaceae.

SCHIZAEACEAE

Lygodium volubile Sw. (Fig. 1)

Comentários: Apresenta as pínulas férteis com esporangiôforos laterais no prolongamento das vênulas; esporângio com anel apical inteiro; apresenta as pinas hipoestomáticas, com estômatos do tipo anomocítico e o padrão de venação tipicamente taeniopteridis; espécie frequente em bordos de mata; hábito escandente.

Distribuição geográfica: Brasil (Pará, Pernambuco, Alagoas, Bahia, Minas Gerais, Rio de Janeiro, Paraná, Santa Catarina, Rio Grande do Sul), Cuba, Guianas, Venezuela, Jamaica, Trinidad.

GLEICHENIACEAE

Dicranopteris pectinata (Willd.) Underw. (Fig. 2)

Basiônimo: *Mertensia pectinata* Willd. in Kungl. Svenska Vet. — Akad. Handl. II, 25: 168. 1804; Griseb., Fl. Br. W. Ind. 652. 1864.

Comentários: Distingue-se por apresentar o pecíolo robusto e os ramos primários bifurcados, separados em um ângulo mais ou menos reto; as gemas são revestidas por pêlos arruivados. Os estômatos, do tipo anomocítico, distribuem-se na face abaxial das pinas, e o padrão de venação é do tipo sphenopteridis. Cresce em capoeiras e à beira de matas.

Distribuição geográfica: Brasil (Santa Catarina, Paraná, São Paulo, Rio de Janeiro, Bahia e Pernambuco), Guiana Holandesa e Inglesa, Venezuela, Panamá, México e América Tropical.

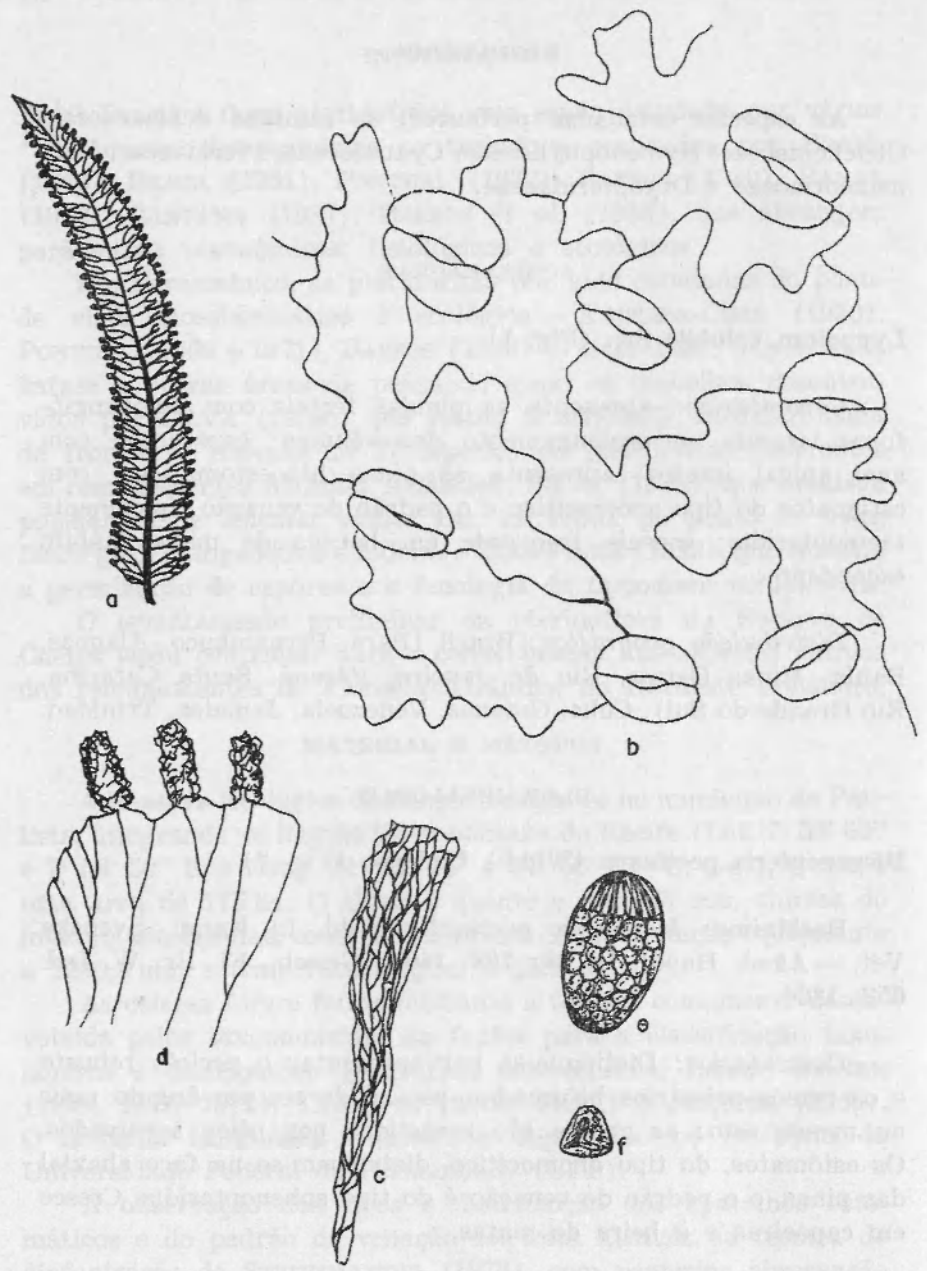


Fig. 1. — *Lygodium volubile* Sw.: a — venação; b — estômatos (face abaxial) ($400\times$); c — escama do pecíolo ($40\times$); d — detalhe da pina fértil; e — esporângio ($40\times$); f — esporo ($100\times$).

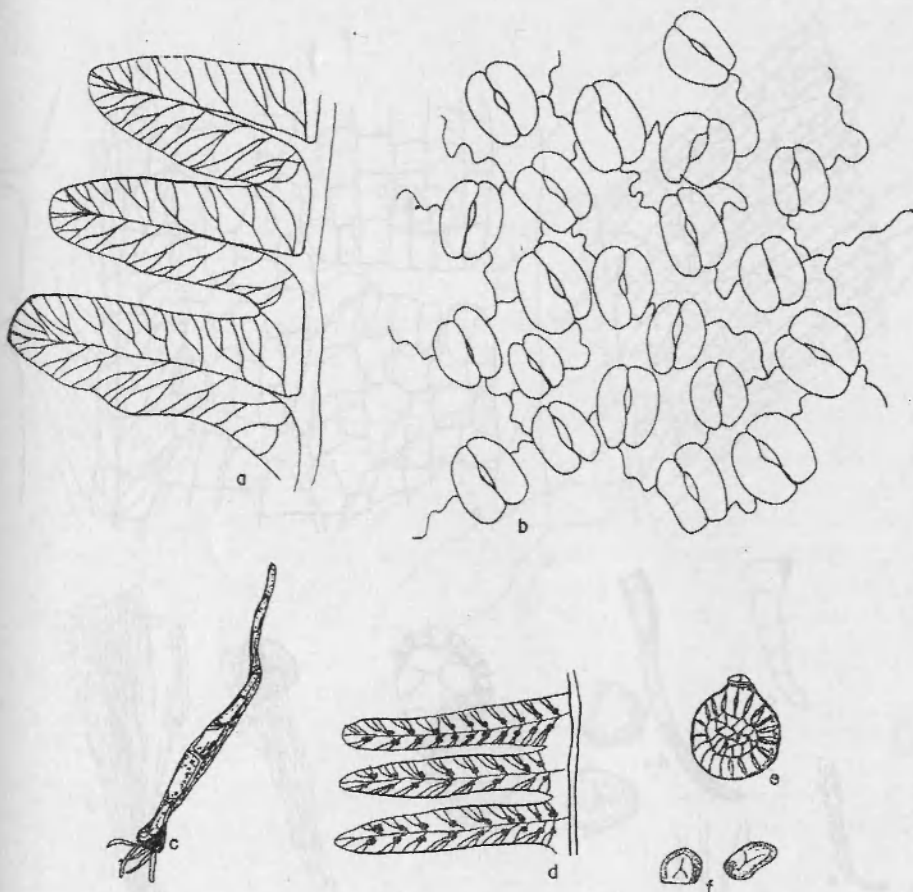


Fig. 2. — *Dicranopteris pectinata* (Willd.) Underw.: a — venação; b — estômatos (face abaxial) ($400\times$); c — tricoma da base do pecíolo ($40\times$); d — detalhe da pina fértil; e — esporângio ($40\times$); f — esporo ($400\times$). —

HYMENOPHYLLACEAE

Trichomanes pinnatum Hedw. (Fig. 3)

Comentários: Pode-se destacar a lâmina foliar com venações paralelas interligadas e soros piriformes abundantes nas bordas serradas; o padrão de venação é do tipo pecopteridis; espécie encontrada em solos húmidos e sombreados.



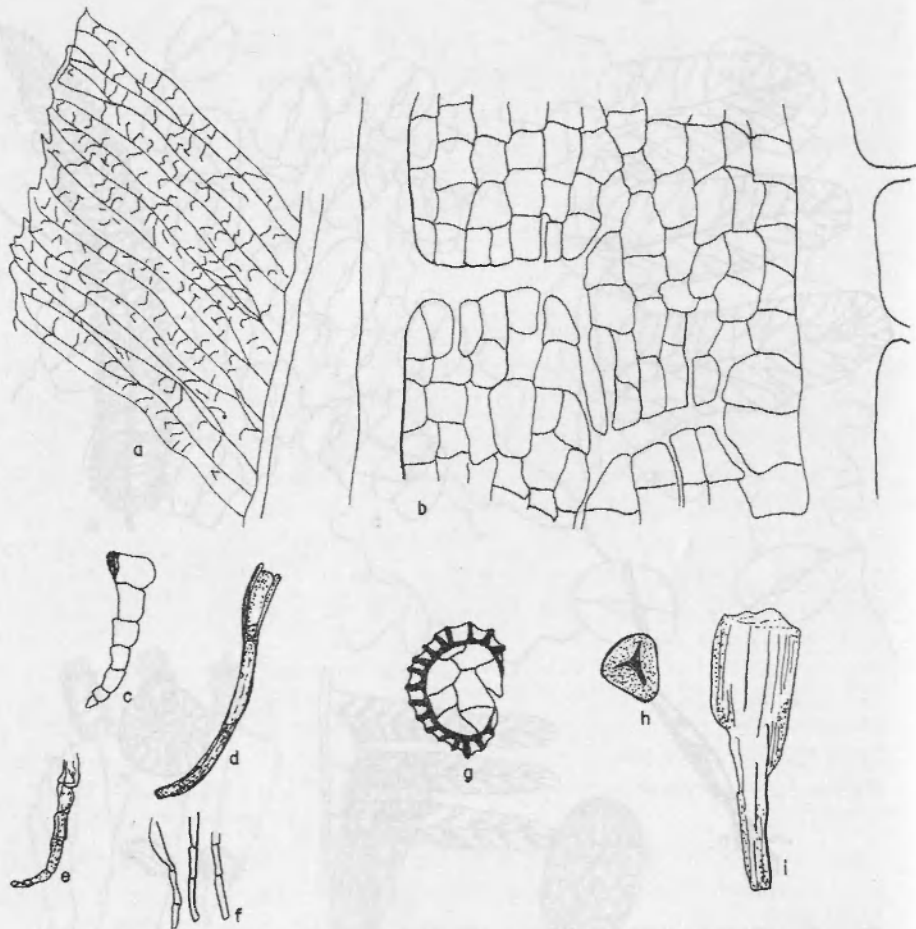


Fig. 3.—*Trichomanes pinnatum* Hewd.: a — venação; b — detalhe da venação; c-f — tricoma do rizoma ($40\times$, $100\times$, $40\times$, $40\times$ respectivamente); g — esporângio ($100\times$); h — esporo ($40\times$); i — indústio.

Distribuição geográfica: Brasil (Amazonas, Piauí, Ceará, Pernambuco, Bahia, Goiás, Minas Gerais e Mato Grosso), Panamá, Venezuela, Chile.

CYATHEACEAE

Trichipteris microdonta (Desvaux) Tryon (Fig. 4)

Basiônimo: *Polypodium microdontum* Desv.

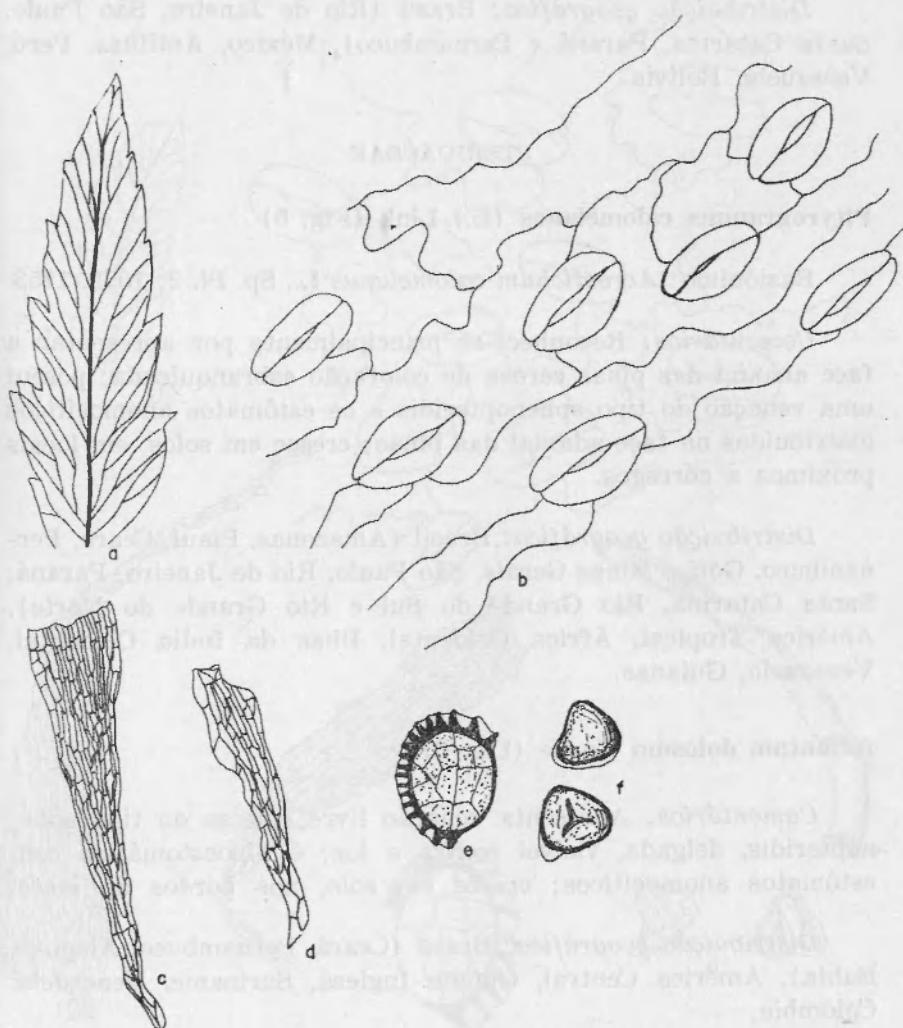


Fig. 4.—*Trichipteris microdonta* (Desvaux) Tryon: a—venação; b—estômatos (face abaxial) ($400\times$); c e d—escamas do pecíolo; e—esporângio ($400\times$); f—esporo ($400\times$).

Comentários: Possui caule arborescente, raquis provida de espinhos marrons e raquíolas com acúleos finos e longos; é hipoestomática, com estômatos anomocíticos, apresentando um padrão de venação sphenopteridis; hábito terrestre, crescendo em bordos de matas.

Distribuição geográfica: Brasil (Rio de Janeiro, São Paulo, Santa Catarina, Paraná e Pernambuco), México, Antilhas, Perú, Venezuela, Bolívia.

PTERIDACEAE

Pityrogramma calomelanos (L.) Link (Fig. 5)

Basiônimo: *Acrostichum calomelanus* L., Sp. Pl. 2: 1072. 1753.

Comentários: Reconhece-se principalmente por apresentar a face abaxial das pinas cerosa de coloração esbranquiçada; possui uma venação do tipo sphenopteridis e os estômatos anomocíticos distribuídos na face adaxial das pinas; cresce em solos, em locais próximos a córregos.

Distribuição geográfica: Brasil (Amazonas, Piauí, Ceará, Pernambuco, Goiás, Minas Gerais, São Paulo, Rio de Janeiro, Paraná, Santa Catarina, Rio Grande do Sul e Rio Grande do Norte), América Tropical, África Ocidental, Ilhas da Índia Ocidental, Venezuela, Guianas.

Adiantum dolosum Kunze (Fig. 6)

Comentários: Apresenta venação livre emersa do tipo sphenopteridis, delgada, visível contra a luz; é hipoestomática com estômatos anomocíticos; cresce em solo, nos bordos de mata.

Distribuição geográfica: Brasil (Ceará, Pernambuco, Alagoas, Bahia), América Central, Guiana Inglesa, Suriname, Venezuela, Colômbia.

Acrostichum danaeifolium Langsd. & Fischer (Fig. 7)

Comentários: A lâmina foliar é oblonga, coriácea, rija e simplesmente pinada; venação finamente reticulada do tipo anaxeti; estômatos tipicamente anomocíticos; os esporângios encontram-se desordenadamente espalhados por toda superfície abaxial das pinas, com coloração amarronzada; habita solos pantanosos, em lugares de água salobra ou não.

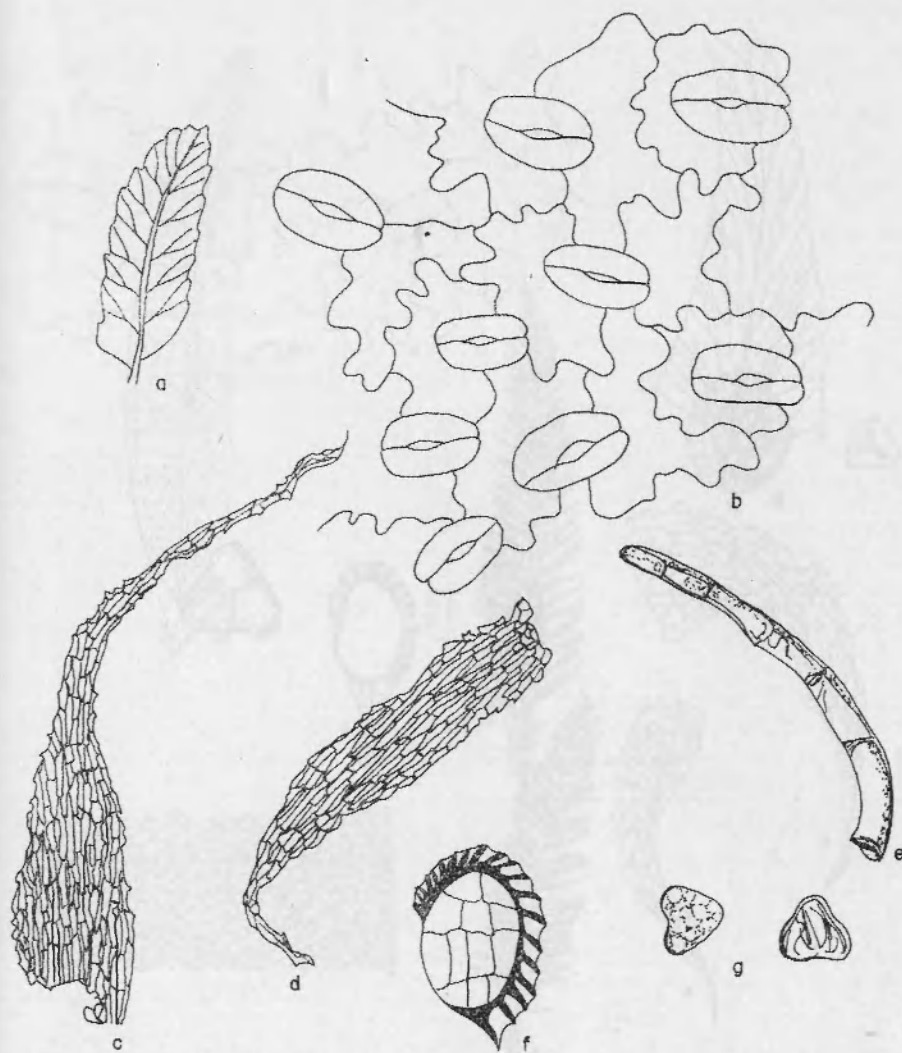


Fig. 5.—*Pityrogramma calomelanos* (L.) Link: a — venação; b — estômatos (face abaxial) ($400\times$); c — escama do pecíolo ($40\times$); d — escama do rizoma ($40\times$); e — tricoma da raquis ($100\times$); f — esporângio ($100\times$); g — esporo ($400\times$).

Distribuição geográfica: Brasil (Pernambuco, Rio de Janeiro, Paraná, São Paulo, Santa Catarina, Rio Grande do Sul), América Tropical.

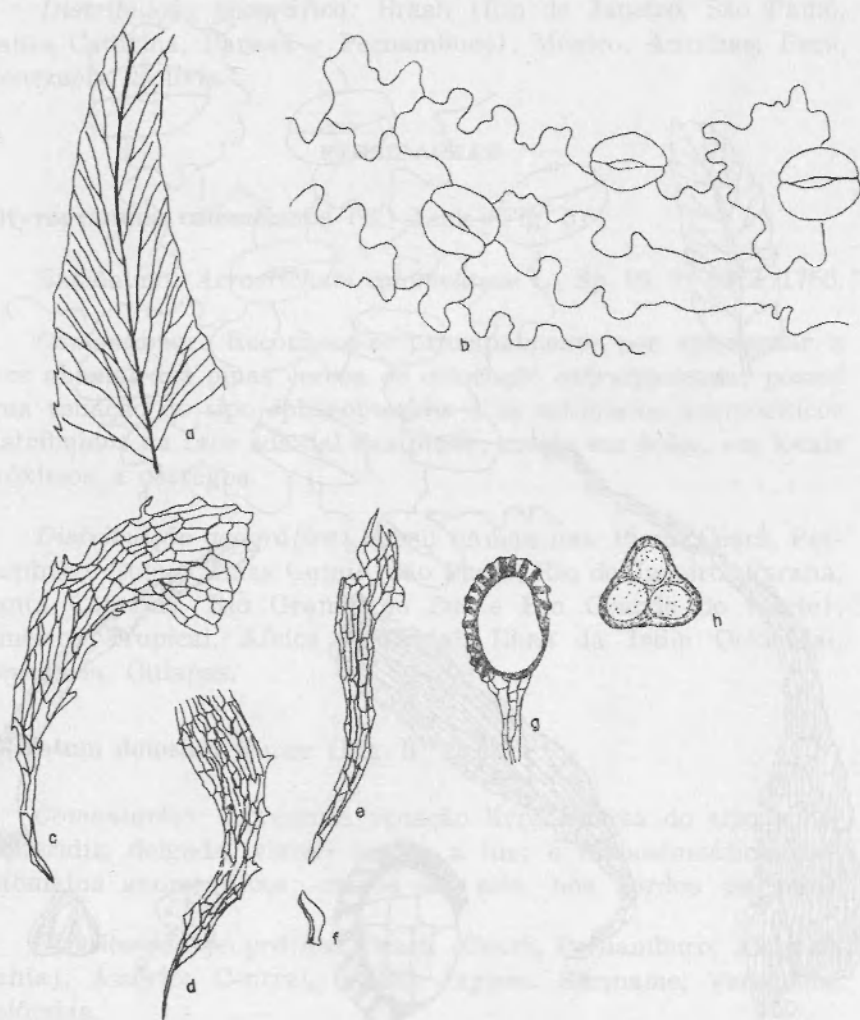


Fig. 6. — *Adiantum dolosum* Kunze: a—venação; b—estômatos (face abaxial) ($400\times$); c e d—escama do rizoma ($40\times$); e—escama do pecíolo ($40\times$); f—tricoma do pecíolo ($40\times$); g—esporângio ($100\times$); h—espoço ($400\times$).

DENNSTAEDTIACEAE

Lindsaea lancea (L.) Beddome (Fig. 8)

Basiônimo: *Adiantum lancea* L., Sp. Pl. Ed. 2, 2: 1557. 1763.

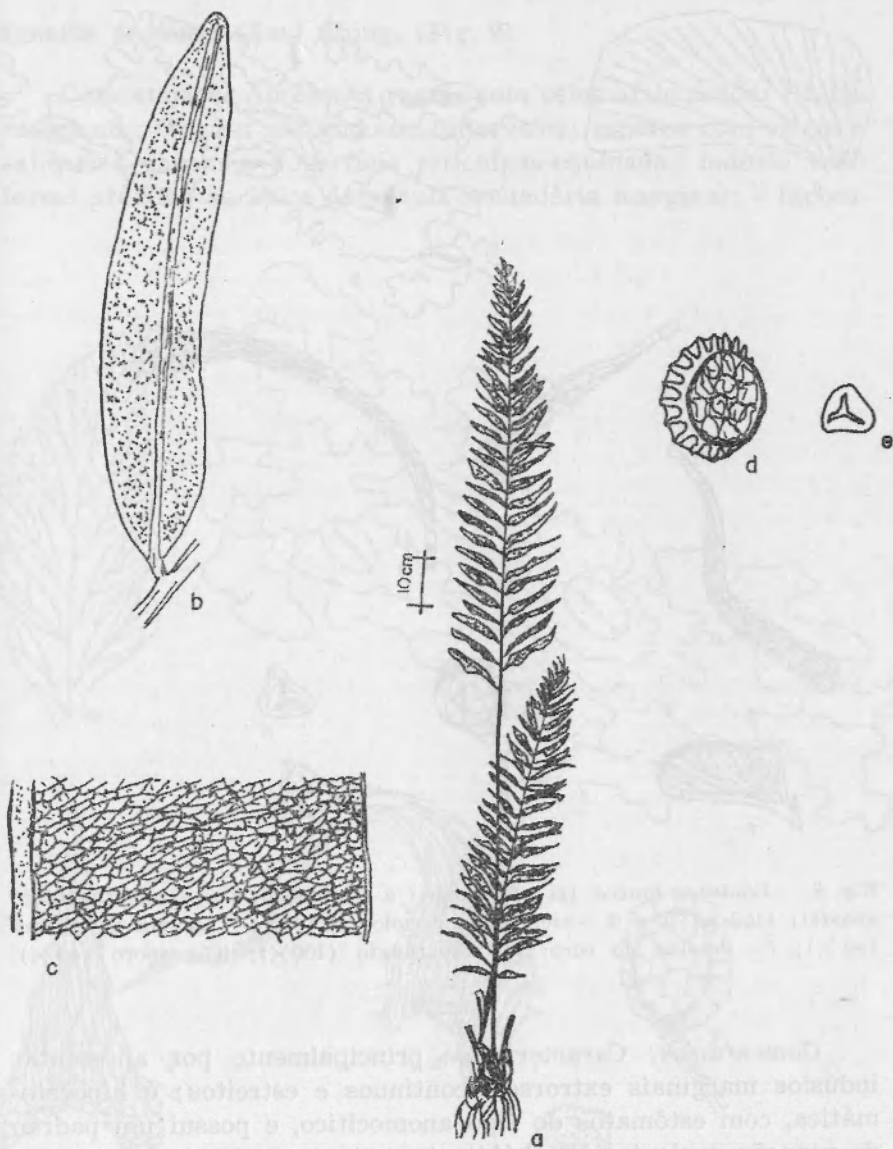


Fig. 7.—*Acrostichum danaeifolium* Langsd. & Fischer.: a—aspecto geral da planta; b—pina fértil; c—venação; d—esporângio ($40\times$); e—espoço ($40\times$).

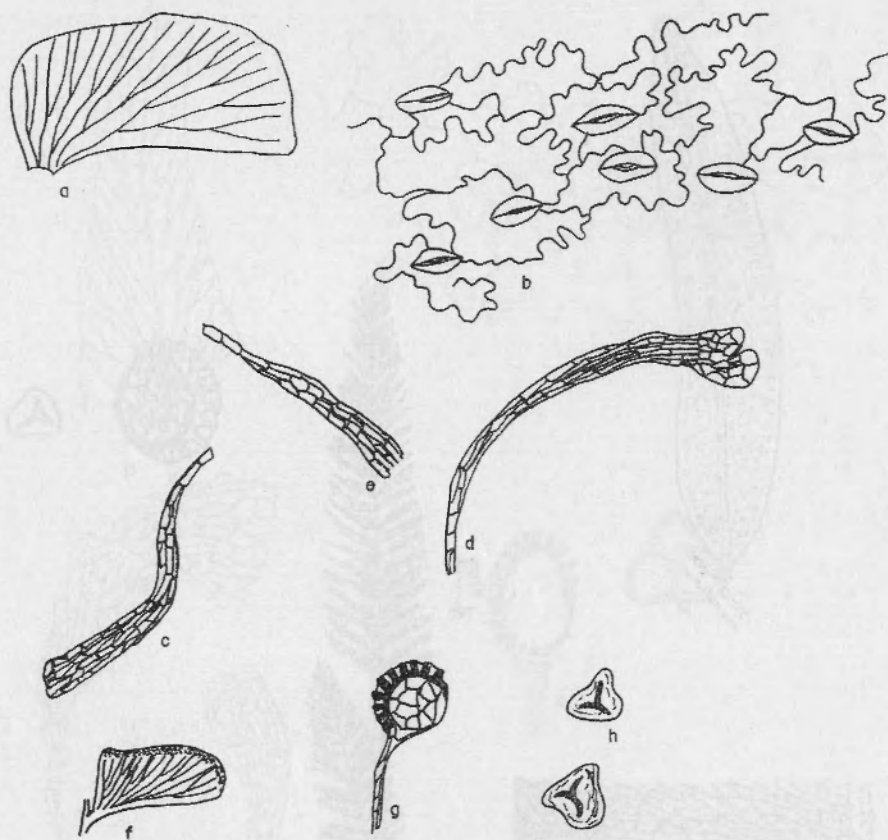


Fig. 8. — *Lindsaea lancea* (L.) Beddome.: a — venação; b — estômatos (face abaxial) ($100\times$); c e d — escama do pecíolo ($40\times$); e — escama do rizoma ($40\times$); f — detalhe do soro; g — esporângio ($100\times$); h — esporo ($40\times$).

Comentários: Caracteriza-se principalmente por apresentar indússios marginais extrorsos, contínuos e estreitos; é hipoestomática, com estômatos do tipo anomocítico, e possui um padrão de venação cyclopteridis; hábito terrestre.

Distribuição geográfica: Brasil (Amazonas, Pará, Minas Gerais, Pernambuco, Goiás, Mato Grosso, Rio Grande do Sul, São Paulo, Paraná, Santa Catarina), América Tropical, Ceilão, Malásia, México, Ilhas Ocidentais, Paraguai.

DRYOPTERIDACEAE

Ctenitis protensa (Sw.) Ching. (Fig. 9)

Comentários: Apresenta raquis com pêlos articulados; rizoma rastejante; frondes nascendo em intervalos; esporos com sulcos e saliências e com a superfície reticulada-equinada; indúsio reniforme próximo ao ápice da vênula secundária marginal; é hipoes-

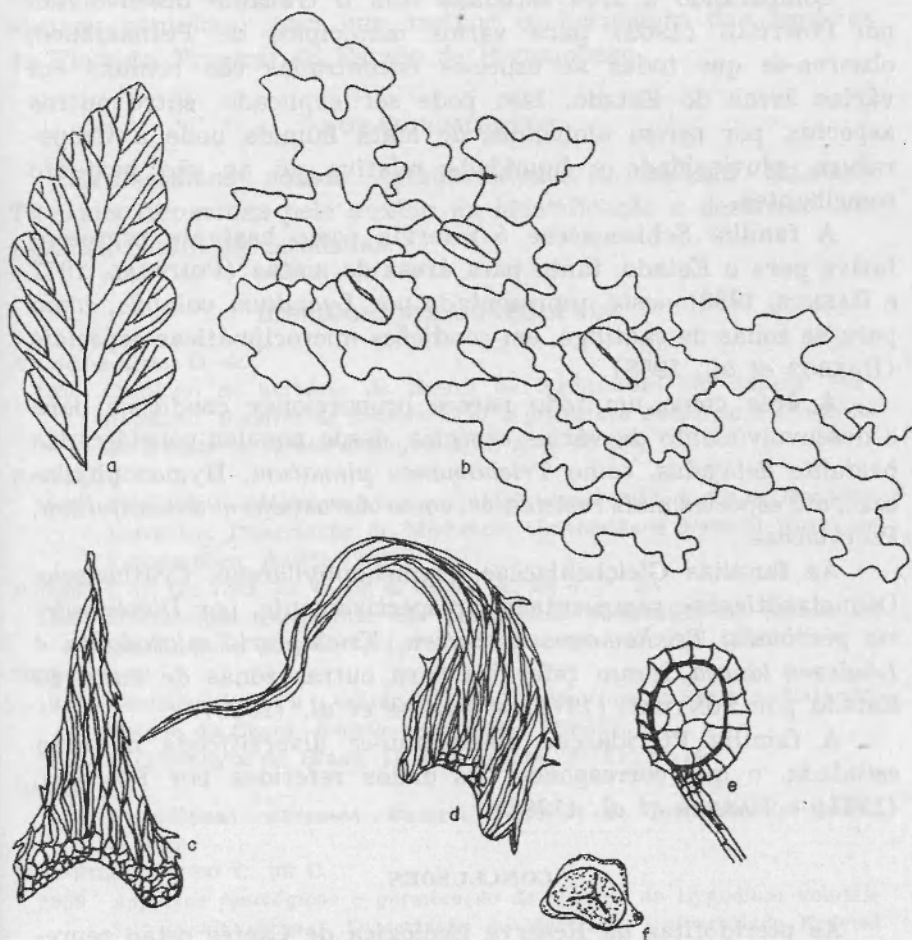


Fig. 9. — *Ctenitis protensa* (Sw.) Ching.: a — venação; b — estômatos (face abaxial) ($400 \times$); c — escama do rizoma ($400 \times$); d — escama do pecíolo ($40 \times$); e — esporângio ($100 \times$); f — esporo ($400 \times$).

tomática com estômatos do tipo polocítico-parietocítico, cuja venação é tipicamente sphenopteridis; hábito terrestre.

Distribuição geográfica: Brasil (Pernambuco, São Paulo), América, África, Madagascar, Índia, Ceilão, Filipinas, Himalaias, China, Japão, Nova Zelândia, Guianas, Colômbia, Bolívia.

DISCUSSÃO

Comparando a área estudada com o trabalho desenvolvido por PONTUAL (1969) para vários municípios de Pernambuco, observa-se que todas as espécies encontradas são comuns em várias áreas do Estado. Isso pode ser explicado, entre outros aspectos, por serem ambientes de mata húmida onde a temperatura, pluviosidade e humidade relativa do ar são bastante semelhantes.

A família Schizaeaceae é referida como bastante representativa para o Estado, tanto para áreas de matas (PONTUAL, 1971 e BARROS, 1980) neste, representada por *Lygodium volubile*, como para as zonas de caatinga, em condições microclimáticas especiais (BARROS *et al.*, 1988).

A área como um todo parece proporcionar condições para o desenvolvimento de várias espécies, desde aquelas consideradas bastante delicadas, como *Trichomanes pinnatum*, Hymenophyllaceae, até espécies mais resistentes, como *Acrostichum danaeifolium*, Pteridaceae.

As famílias Gleicheniaceae, Hymenophyllaceae, Cyatheaceae Dennstaedtiaceae representadas, respectivamente, por *Dicranopteris pectinata*, *Trichomanes pinnatum*, *Trichipteris microdonta* e *Lindsaea lancea*, foram referidas para outras zonas de mata do Estado por PONTUAL (1971) e BARROS *et al.* (1988).

A família Pteridaceae apresentou-se diversificada na área estudada, o que corresponde aos dados referidos por PONTUAL (1971) e BARROS *et al.* (1988).

CONCLUSÕES

As pteridófitas da Reserva Ecológica de Caetés estão representadas por 9 espécies, distribuídas em 9 gêneros e 6 famílias.

A família mais representativa em número de espécies foi Pteridaceae, com 3 representantes.

Todos os taxons estudados já haviam sido registrados para o nordeste e municípios de Pernambuco onde existem remanescentes de mata atlântica; entretanto, esta é a primeira referência para a mata de Caetés.

As espécies referidas neste estudo preliminar possuem ampla distribuição geográfica e são consideradas cosmopolitas. Sendo assim, a área parece apresentar condições ambientais para o desenvolvimento de vários representantes da pteridoflora. Portanto, outros estudos florísticos devem ser realizados na área, visando contribuir para um melhor conhecimento das espécies da Floresta Tropical do Estado de Pernambuco.

AGRADECIMENTOS

Expressamos nossos agradecimentos à bióloga SILVANE TAVARES RODRIGUES pelo auxílio na identificação e descrição das espécies botânicas estudadas.

BIBLIOGRAFIA CONSULTADA

ANDRADE-LIMA, D. A.

1950 Catálogo do herbário da Escola de Agricultura em Tapera, Pernambuco. *Boletim da Secretaria de Agricultura Indústria e Comércio do Estado de Pernambuco*, v. 1, n. 2, p. 68-126.

BARROS, I. C. L.

1980 *Taxonomia, fitogeografia e morfologia das Schizaeaceae do Nordeste brasileiro*. Dissertação de Mestrado, Universidade Federal Rural de Pernambuco, Recife, 249 p.

BARROS, I. C. L.; LIRA, O. C. DE & SILVA, A. DE J. R. DA

1988 Distribuição geográfica das pteridófitas ocorrentes no Estado de Pernambuco, Brasil. *Acta Botanica Brasilica*, 2(1/2): 47-84.

BRADE, A. C.

1940 Contribuição para o estudo da flora pteridofítica da Serra de Baturité, Estado do Ceará. *Rodriguesia*, 4(13): 289-314.

1945 Pteridophyta do Brasil, II. *Rodriguesia*, 9(18): 61-74.

BRAGA, R.

1951 Pteridófitas cearenses. *Revista Editorial do Instituto do Ceará*, p. 3-27.

DIAS-FILHA, M. DO C. DE C.

1989 *Aspectos fenológicos e germinação de esporos de Lygodium volubile Sw. (Schizaeaceae)*. Dissertação de Mestrado. Universidade Federal de Pernambuco, Recife, 124 p.

JARRETT, F. M. et al.

1985 *Index Filicum. Supplementum Quintum*. Oxford University Press. (Pro Annis 1961-1975).

- PONTUAL, I. B.
- 1969 Pteridófitas de Pernambuco e Alagoas (II). In: CONGRESSO NACIONAL DE BOTÂNICA. *Anais da Sociedade Brasileira de Botânica*, p. 185-192.
 - 1971 Pteridófitas de Pernambuco e Alagoas (I). *Anais do Instituto de Ciências Biológicas da Universidade Federal Rural de Pernambuco*, 1(1): 153-160.
 - 1972 Pteridófitas do Nordeste. In: CONGRESSO NACIONAL DE BOTÂNICA. *Anais da Sociedade Brasileira de Botânica*, p. 41-43.
- PROCTOR, G. R.
- 1985 *Ferns of Jamaica — A guide to the pteridophytes*. British Museum (Natural History), London, 631 p.
- RANAL, M. A.
- 1983 *Efeito da temperatura e da intensidade luminosa no desenvolvimento de gametófitos de pteridófitas*. Dissertação de Mestrado. Universidade Estadual Paulista «Júlio de Mesquita Filho», Rio Claro, 234 p.
- SANTANA, E. DE S.
- 1987 *Estudos taxonômicos das pteridófitas da Mata do Buraquinho (Paraíba — Brasil)*. Dissertação de Mestrado. Universidade Federal Rural de Pernambuco, Recife, 147 p.
- SEHNEM, A.
- 1970 Gleicheniáceas. *Flora ilustrada catarinense*. Facc. GLEICH., Itajaí, 37 p.
 - 1971 Himenofiláceas. *Flora ilustrada catarinense*. Facc. HIMEN., Itajaí.
 - 1972 Pteridáceas. *Flora ilustrada catarinense*. Facc. PTERI., Itajaí, 244 p.
- SILVA, A. DE J. R. DA
- 1989 *Análise populacional de Anemia villosa H. B. ex. Willd. na Pedra de São José, Vicência — PE*. Dissertação de Mestrado. Universidade Federal de Pernambuco, Recife, 249 p.
- SILVA, L. L. S. DA
- 1989 *Atividade antimicrobiana em pteridófitas ocorrentes em área remanescente da Floresta Atlântica — Mata de Dois Irmãos (Recife — PE)*. Dissertação de Mestrado. Universidade Federal de Pernambuco, Recife, 158 p.
- STRITTMATTER, C. G. D. DE
- 1973 Nueva técnica de diafanización. *Bulletim de la Sociedad Argentina de Botanica, Buenos Aires*, 15(1): 126-129.
- TRYON, R. M. & TRYON, R. F.
- 1982 *Ferns and allied plants with special reference to Tropical America*. New York, 867 p.
- VAN COTTHEM, W. R. J.
- 1970 A classification of stomatal types. *Botanical Journal of The Linnean Society, Bruxelas*, 63: 235-246.

THE MUTAGENIC EFFECT OF COLCHICINE
ON THE GERMINATION, MORPHOLOGY AND YIELD
OF TWO VARIETIES OF *VIGNA UNGUICULATA* (L.)
WALPERS (PAPILIONACEAE) IN NIGERIA

by

E. O. UMOH * & LAWRENCE ETIM **

* Department of Biological Sciences, University of Calabar, Calabar, Nigeria.

** Institute of Oceanography, University of Calabar, Calabar, Nigeria.

Received 30-V-1992.

ABSTRACT

Effects of 0.4 % colchicine on the germination, morphology and yield of two varieties of *Vigna unguiculata* L. (Ife Brown and TVX 3236) from Nigeria were studied. A delay in germination of the seeds from the two varieties was attributed to the inhibitory effect of colchicine on the activities of the hydrolytic enzymes required for the conversion of starch into soluble sugars, as well as the inhibitory effects of colchicine on cell division. There was a general reduction in the size of the morphological features, number of seeds per pod and of pods per plant in the treated plants. However, a significantly larger seed size ($P < 0.001$) obtained from both varieties soaked in colchicine for one day is an interesting result which could be exploited in further breeding work.

INTRODUCTION

Vigna unguiculata (L.) WALPERS is one of the most variable and widely cultivated economic species of the genus *Vigna*. It is thought to have originated either from Africa or from Asia (COBLEY, 1962, IRVINE, 1969). Presently, several varieties are grown in Nigeria where they are utilised in a variety of ways ranging from the use of young green seedlings as a vegetable through cover crops and forages for livestock to its consumption as a dry bean. It has also become well established as one of

the most important cash crops in Nigeria (UGBOROGHO and AGOMO, 1989).

The mutagenic effects of colchicine and similar drugs on a number of plant species have widely been studied. According to TAYLOR (1965), doses of colchicine as low as 10^{-7} M arrest all mitoses in metaphase. AHMED *et al.* (1975) reported retarded growth, crinkled leaves and in extreme cases death in monoploid soybean treated with colchicine. ROSS *et al.* (1954) demonstrated that agronomically important characteristics in *Sorghum* may be altered as a result of treatment with colchicine, and that the progeny of the changed plants bred true in the majority of cases. DIRK *et al.* (1956) reported the development of chemical sectors on plants of flax, soybean, corn and wheat treated with colchicine. According to them, different flower and seed colours were obtained from different branches of the treated plants. They also observed that some branches (like the brown seeded branches) significantly out-yielded the others. UGBOROGHO & SODIPO (1985) reported delay in the germination of seeds of *Lycopersicum* soaked in colchicine for more than two days. They also obtained mutant plants with increased number of flowers per inflorescence, long and swollen cotyledons, curly leaves, distorted stems and extremely reduced internodes. A similar delay in germination was also noticed by UGBOROGHO & AGOMO (1989) from seeds of *V. unguiculata* var. *vulgare* soaked in 0.4%, 0.6% and 0.8% of colchicine for 24 hours while those soaked at 1% gave no germination. The same workers reported a high percentage of germination for seeds soaked in 0.4% and 0.6% colchicine for 6 hours.

In view of the interesting and varied reports obtained by other workers as given above; the present work seeks to elucidate the effect of colchicine on two varieties of *V. unguiculata* with a view to producing some even more interesting variants.

MATERIALS AND METHODS

Two varieties of *V. unguiculata* namely Ife Brown and TVX 3236 were obtained from the Akwa Ibom State Agriculture Extension Department at Uyo (Nigeria). They were designated in this work as varieties A and B respectively. Two hundred and fifty seeds of either variety were divided into 5 groups of 50 and put in petri dishes. 20 ml of freshly prepared 0.4% solution of colchi-

cine was used to presoak the different batches for 1, 2, 3 and 4 days respectively, at 23° C. Thus, C-1A, C-2A, C-3A, C-4A indicate the number of days variety A (Ife Brown) seeds were presoaked in 0.4 % colchicine. Similarly, C-1B, C-2B, C-3B and C-4B indicate the number of days variety B (TVX 3236) seeds were presoaked in colchicine. The fifth petri dish contained seeds presoaked in distilled water for 2 days and was taken as the control. Seeds soaked for more than 2 days were washed on the third day with distilled water and resoaked in fresh 0.4 % solution of colchicine. This was to ensure the continued availability of oxygen for metabolic activities which is necessary for seed germination.

The soaked seeds were washed with distilled water before planting in the nursery. They were later transplanted in the field. The experiment was a 5×2 factorial using completely randomised block design with 6 replications.

The following characters were studied in the 2 varieties: percentage germination, plant height, stem diameter, leaf area, leaf length, leaf width (at the widest point), number of leaves per plant, number of branches per plant, number of pods per plant, number of seeds per pod and average weight of seed.

Six readings were taken for each treatment combination. Leaf area was measured by tracing its outline on a normal graph paper and calculating the area therefrom. All linear dimensions were measured with a meter rule except stem diameters which were measured using a vernier callipers. Analyses of variances were done on the treatment means (where applicable) and Duncan's multiple range tests used for test of significance.

RESULTS

This is the first time in which the effects of colchicine on the two varieties of *V. unguiculata* have been studied and the results obtained give a detailed and interesting picture of how the germination, morphology and yield of these varieties are affected by colchicine.

a) Effect of colchicine on seedling emergence

Treatment with 0.4 % solution of colchicine for 1 to 2 days delayed germination in the 2 varieties while those soaked for 3 days merely produced radicles without plumules and those

soaked for 4 days did not germinate at all. On the other hand, seeds soaked in distilled water showed a significantly higher ($P < 0.001$) percentage of germination. Figs. 1 & 2 give the germination percentage of treated and untreated seeds of the two varieties.

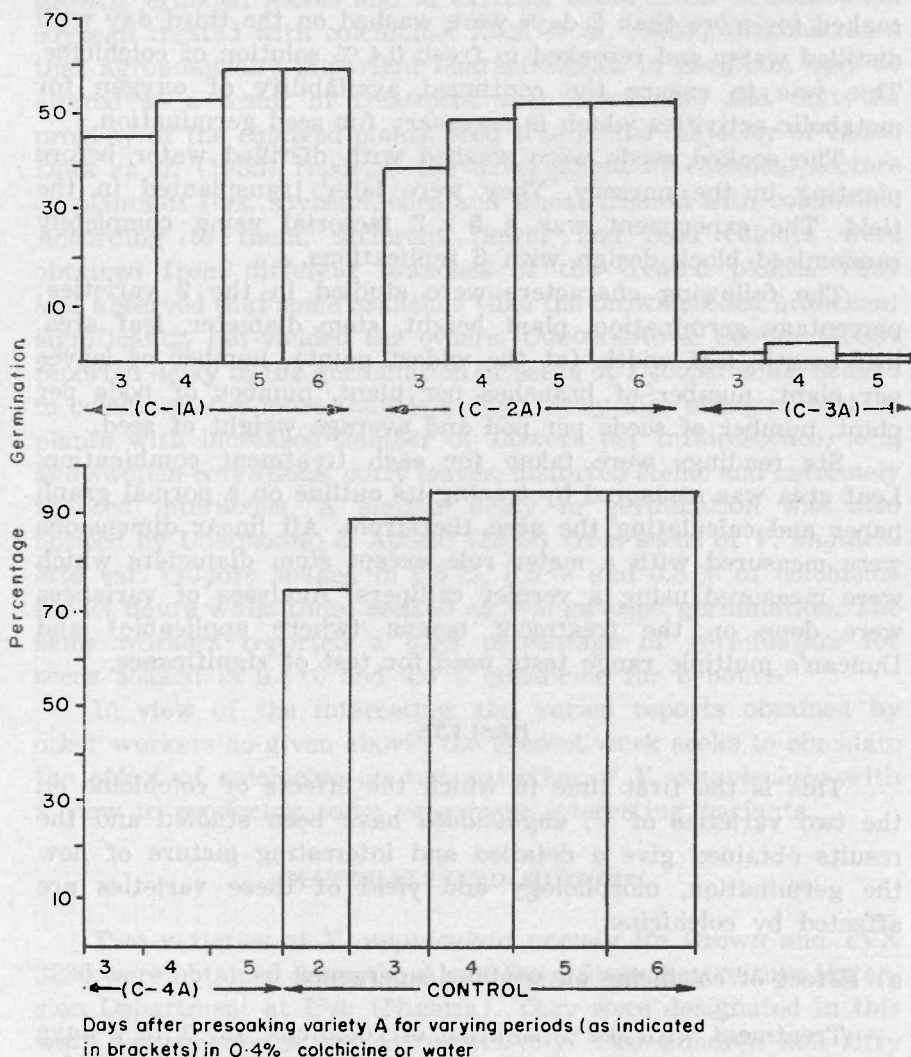


Fig. 1.—Percentage germination in variety A (Ife Brown).

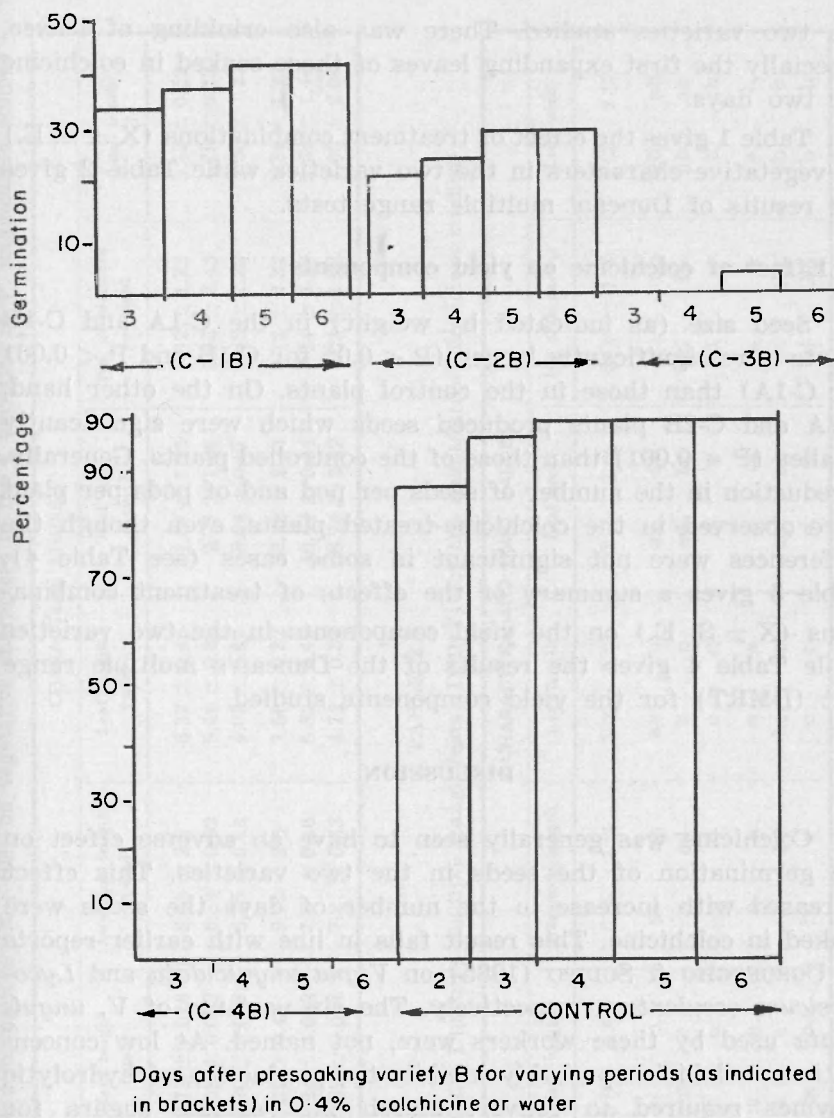


Fig. 2. --- Percentage germination in variety B (TVX 3236).

b) **Effect of colchicine on some morphological characters of plant**

The two varieties seem to differ significantly from each other ($P < 0.001$) only in plant height, as reflected in the control experiments. Generally, colchicine caused a reduction in size in

the two varieties studied. There was also crinkling of leaves, especially the first expanding leaves of those soaked in colchicine for two days.

Table 1 gives the effect of treatment combinations ($\bar{X} \pm S.E.$) on vegetative characters in the two varieties while Table 2 gives the results of Duncan's multiple range tests.

c) Effect of colchicine on yield components

Seed size (as indicated by weight) in the C-1A and C-1B plants were significantly larger ($P < 0.05$ for C-1B and $P < 0.001$ for C-1A) than those in the control plants. On the other hand, C-2A and C-2B plants produced seeds which were significantly smaller ($P < 0.001$) than those of the controlled plants. Generally, a reduction in the number of seeds per pod and of pods per plant were observed in the colchicine-treated plants, even though the differences were not significant in some cases (see Table 4). Table 3 gives a summary of the effects of treatment combinations ($\bar{X} \pm S.E.$) on the yield components in the two varieties while Table 4 gives the results of the Duncan's multiple range test (DMRT) for the yield components studied.

DISCUSSION

Colchicine was generally seen to have an adverse effect on the germination of the seeds in the two varieties. This effect increased with increase in the number of days the seeds were soaked in colchicine. This result falls in line with earlier reports by UGBOROGHO & SODIPO (1985) on *Vigna unguiculata* and *Lycopersicum esculentum* respectively. The six variants of *V. unguiculata* used by these workers were, not named. At low concentrations, colchicine probably inhibits the production of hydrolytic enzymes required to convert starch into soluble sugars for germination. In addition, since cell division is an essential prerequisite for germination and growth and since colchicine is known to inhibit cell division, the delay in germination observed could also be partially attributed to the blockage of cell division.

The study on the yield components revealed a general reduction in the number of seeds per pod per plant in the colchicine-treated plants. Apparently, this might mean a reduction

TABLE 1

Effect of treatment combinations ($\bar{X} + SE$) on vegetative characters in the 2 varieties of *V. unguiculata* studied

Treatment combinations	CHARACTERS STUDIED				
	Pant height (cm)	Inernode length (cm)	Leaf length (cm)	Leaf area (cm ²)	No. of branches per plant
Control (A)	28.71 ± 0.016	8.65 ± 2.3	6.32 ± 0.46	11.64 ± 1.75	7.32 ± 1.23
C-1A	18.08 ± 0.022	6.89 ± 0.32	5.46 ± 0.84	9.77 ± 1.22	5.55 ± 2.45
C-2A	12.20 ± 0.018	6.75 ± 0.44	4.03 ± 0.32	8.04 ± 0.67	4.82 ± 2.22
Control (B)	35.32 ± 0.41	9.25 ± 2.5	7.50 ± 0.32	12.92 ± 2.34	8.12 ± 2.32
C-1B	20.24 ± 0.032	7.6 ± 0.46	5.32 ± 0.46	10.64 ± 0.54	6.24 ± 1.27
C-2B	15.82 ± 0.054	7.2 ± 0.33	4.72 ± 0.32	8.74 ± 2.22	5.32 ± 1.32

TABLE 2*

Results of the Duncan's multiple Range tests (DMRT) for the quantitative characters studied

Treatment combination	CHARACTERS AND DMRT VALUES				
	Pant height	In node length	Leaf length	Leaf area	No. of branches
Control (A)	5 % b	5 % ab	5 % ab	5 % ab	5 % ab
C-1A	cd c	c cd	b c	cd bc	ab cd
C-2A	e c	c c	d d	d c	ab c
Control (B)	a c	a b	a bc	a bc	a bc
C-1B	c de	b bc	bc c	bc d	bc c
C-2B	bc	c	c	d	bc c

* Treatment collections bearing any case letter in common for a given character indicates no significant difference at the probability levels indicated

TABLE 3

Effects of treatment combinations ($X \pm SE$). on yield components in the two varieties of *Vigna unguiculata*

Treatment combination	No. of pods per plant	No. of seeds per pod	Wet weight of 100 seeds (g)	Dry weight of 100 seeds (g)
Control (A)	7.54 ± 1.12	9.32 ± 0.54	25.72 ± 0.84	20.64 ± 0.32
C-1A	5.65 ± 1.34	8.64 ± 1.84	30.23 ± 2.34	25.12 ± 2.43
C-2A	4.84 ± 2.24	7.53 ± 0.87	20.34 ± 1.87	15.65 ± 1.42
Control (B)	8.21 ± 1.20	10.84 ± 0.58	24.22 ± 2.32	19.42 ± 0.98
C-1B	6.84 ± 0.30	9.24 ± 2.07	27.04 ± 1.34	22.42 ± 1.32
C-2B	5.21 ± 1.71	8.01 ± 1.87	20.22 ± 1.42	15.20 ± 1.64

TABLE 4 *

Results of the Duncan's multiple Range tests (DMRT) for the yield components studied

Treatment combination	No. of pods per plant		No. of seeds per pod		Wet weight of 100 seeds		Dry weight of 100 seeds	
	5 %	1 %	5 %	1 %	5 %	1 %	5 %	1 %
Control (A)	a	ab	a	a	bc	b	bc	b
C-1A	bc	bc	b	ab	a	a	a	a
C-2A	c	c	b	b	d	c	d	c
Control (B)	a	a	a	a	c	b	c	b
C-1B	ab	abc	a	a	b	ab	b	ab
C-2B	bc	bc	b	b	d	c	d	c

* Treatment collections bearing any case letter in common for a given character indicates no significant difference at the probability levels indicated.

in overall yield but the significantly larger seed size ($P < 0.01$) obtained from plants of both varieties soaked in colchicine for just one day is a desirable character which could be exploited in further breeding work. SEMENIUK (1979) obtained larger fruits in *Exacum* spp. treated with colchicine.

The reduction in morphological features in the plants of the two varieties treated with colchicine as well as the crinkling of the first expanding leaves in the treated plants is similar to reports of earlier workers like AHMED *et al.* (1975) & SEMENIUK (1978)

on soybean and *Exacum* spp. respectively. Reports of different results from similar treatments also abound. ACKERMAN & DERMEN (1972), for instance, obtained plants with thicker leaves, deeper leaf serrations and more pronounced marginal teeth from a sterile inter-specific *Camellia* hybrid treated with 0.5% solution of colchicine.

Apparently, the exact effect of colchicine and similar drugs on the morphological and yield characteristics of an individual plant depends on a number of factors notably the amount of drug imbibed by the plant and the genetic constitution of the individual, among others.

REFERENCES

- AHMED, Q. N.; BRITTON, E. J. & BYTH, D. E.
1975 A colchicine induced diploid from Haploid soybean Twin. *Journal of Heredity* **66**: 327-330.
- ARISUMI, T.
1972 Stabilities of colchicine-induced tetraploid and cytochimeral daylilies. *Journal of Heredity* **63**(1): 15-18.
- COELEY, L. S.
1962 An introduction to the botany of tropical crops. 3rd ed. London, 1962.
- DIRK, V. A.; ROSS, J. G. & HARPSTEAD, D. D.
1956 Colchicine induced true breeding chimeral sectors in flax. *Journal of Heredity* **47**: 229-233.
- IRVINE, F. R.
1969 West African crops. Vol. 2. 3rd. Oxford.
- ROSS, J. G.; FRANZKE, C. J. & SCHUH, L. A.
1954 Studies on the colchicine induced variants on sorghum. *Agronomic Journal* **46**: 10-15.
- SEMENIUK, P.
1978 Cochiploidy in *Exacum*. *Journal of Heredity* **69**: 277-278.
- TAYLOR, E. W.
1965 The mechanism of colchicine inhibition of mitosis. *Journal of Cell Biology* **25**: 145-160.
- UGBOROGHO, R. E. & SODIPO, E. O.
1985 Studies on the mutagenic effect of colchicine on *Lycopersicum esculentum* Miller in Nigeria. *Boletim da Sociedade Broteriana*, vol. LVIII (2^a serie): 139-148.
- UGBOROGHO, R. E. & AGOMO, C. O.
1989 Seed germination and economic importance of *Vigna unguiculata* (L.) WALPERS in Nigeria. *Feddes Repertorium* **100**: 147-155.

CATÁLOGO DOS TAXA REFERIDOS NA SÉRIE «CONTRIBUIÇÃO PARA O CONHECIMENTO CITOTAXONÓMICO DAS SPERMATOPHYTA DE PORTUGAL» — I

MARGARIDA QUEIRÓS * & CARMEN VIERA **

* Departamento de Botânica. Universidade de Coimbra Portugal.

** Departamento de Biología Vegetal. Universidad de Santiago de Compostela. Espana.

Received em 10-XI-1992.

RESUMO

As seguintes listas são o índice dos números cromossómicos de algumas famílias (8 — *Liliaceae*. 9 — *Cruciferae*. 10 — *Chenopodiaceae*. 11 — *Euphorbiaceae*. 12 — *Onagraceae*. 13 — *Geraniaceae*. 14 — *Cistaceae*. 15 — *Scrophulariaceae*. 16 — *Malvaceae*. 17 — *Papaveraceae*. 18 — *Lamiaceae*) publicados na série «Contribuição para o conhecimento citotaxonómico das *Spermatophyta de Portugal*» (Boletim da Sociedade Broteriana, 2.ª série, 47, 1973 — 54, 1980; Anuário da Sociedade Broteriana, 38, 1972; Memórias da Sociedade Broteriana, 27, 1984).

SUMMARY

The following lists are the chromosome number index of some families (8 — *Liliaceae*. 9 — *Cruciferae*. 10 — *Chenopodiaceae*. 11 — *Euphorbiaceae*. 12 — *Onagraceae*. 13 — *Geraniaceae*. 14 — *Cistaceae*. 15 — *Scrophulariaceae*. 16 — *Malvaceae*. 17 — *Papaveraceae*. 18 — *Lamiaceae*) from the series «Contribuição para o conhecimento citotaxonómico das *Spermatophyta de Portugal*» published on «Boletim da Sociedade Broteriana, 2.ª série, 47, 1973 — 54, 1980; Anuário da Sociedade Broteriana, 38, 1972; Memórias da Sociedade Broteriana», 27, 1984.

É já apreciável o volume dos estudos cariológicos empreendidos desde 1969 no Departamento de Botânica da Universidade de Coimbra e que deram origem à série em epígrafe. A mesma apareceu sob a direcção de A. FERNANDES e dela foram já publicadas diversas famílias:

I — GRAMINEAE

- FERNANDES, A. & QUEIRÓS, M. — *Bol. Soc. Brot.*, Sér. 2, **43**: 20-140, 1969.
 I, Supl. 1. QUEIRÓS, M. — *Bol. Soc. Brot.*, Sér. 2, **47**: 77-103, 1973.
 I, Supl. 2. QUEIRÓS, M. — *Bol. Soc. Brot.*, Sér. 2, **48**: 81-98, 1974.

II — COMPOSITAE

- FERNANDES, A. & QUEIRÓS, M. — *Bol. Soc. Brot.*, Sér. 2, **45**: 5-121, 1971.
 II, Supl. 1. QUEIRÓS, M. — *Bol. Soc. Brot.*, Sér. 2, **47**: 299-314, 1973.

III — CARYOPHYLLACEAE

- FERNANDES, A. & LEITÃO, M. T. — *Bol. Soc. Brot.*, Sér. 2, **45**: 143-176, 1971.

IV — LEGUMINOSAE

- FERNANDES, A. & SANTOS, M. F. — *Bol. Soc. Brot.*, Sér. 2, **45**: 177-225, 1971.
 IV, Supl. 1. FERNANDES, A. & SANTOS, M. F. — *Bol. Soc. Brot.*, Sér. 2, **49**: 173-196, 1975.
 IV, Supl. 2. FERNANDES, A., SANTOS, M. F. & QUEIRÓS, M. — *Bol. Soc. Brot.*, Sér. 2, **51**: 137-186, 1977.
 IV, Supl. 3. FERNANDES, A. & QUEIRÓS, M. — *Bol. Soc. Brot.*, Sér. 2, **52**: 79-164, 1978.

V — BORAGINACEAE

- FERNANDES, A. & LEITÃO, M. T. — *Bol. Soc. Brot.*, Sér. 2, **46**: 389-405, 1972.

VI — PLANTAGINACEAE

- FERNANDES, A. & FRANÇA, F. — *Bol. Soc. Brot.*, Sér. 2, **46**: 465-501, 1972.

VII — UMBELLIFERAEE

- QUEIRÓS, M. — *Anu. Soc. Brot.* **38**: 293-314, 1972.
 VII, Supl. 1. QUEIRÓS, M. — *Bol. Soc. Brot.*, Sér. 2, **48**: 171-186, 1974.

VIII — LILIACEAE

- NEVES, J. B. — *Bol. Soc. Brot.*, Sér. 2, **47**: 157-212, 1973.

IX — CRUCIFERAEE

- QUEIRÓS, M. — *Bol. Soc. Brot.*, Sér. 2, **47**: 315-335, 1973.

X — CHENOPODIACEAE

- QUEIRÓS, M. — *Bol. Soc. Brot.*, Sér. 2, **49**: 121-142, 1975.

XI — EUPHORBIACEAE

QUEIRÓS, M. — *Bol. Soc. Brot.*, Sér. 2, 49: 143-161, 1975.

XII — ONAGRACEAE

QUEIRÓS, M. — *Bol. Soc. Brot.*, Sér. 2, 50: 107-116, 1976.

XIII — GERANIACEAE

ALVES, M. C. & LEITÃO, M. T. — *Bol. Soc. Brot.*, Sér. 2, 50: 231-245, 1976.

XIV — CISTACEAE

LEITÃO, M. T. & ALVES, M. C. — *Bol. Soc. Brot.*, Sér. 2, 50: 247-263, 1976.

XV — SCROPHULARIACEAE

FERNANDES, A., QUEIRÓS, M. & SANTOS, M. F. — *Bol. Soc. Brot.*, Sér. 2, 51: 37-90, 1977.

XVI — MALVACEAE

QUEIRÓS, M. — *Bol. Soc. Brot.*, Sér. 2, 51: 187-199, 1977.

XVII — PAPAVERACEAE

QUEIRÓS, M. — *Bol. Soc. Brot.*, Sér. 2, 54: 153-171, 1980.

XVIII — LAMIACEAE

FERNANDES, A. & LEITÃO, M. T. — *Mem. Soc. Brot.*, 27: 27-75, 1984.

Em virtude de se tratar de uma grande massa de dados, achou-se conveniente compilar os respectivos resultados dos *taxa*, dispondo os mesmos, dentro de cada família, por ordem alfabética.

Julga-se facilitar, assim, as consultas da mencionada série, contribuindo, por outro lado, para uma futura elaboração do atlas cromossómico da flora portuguesa. Saliente-se, porém, que um dos principais objectivos da presente publicação é a necessidade de esclarecer algumas divergências de carácter taxonómico e nomenclatural, uma vez que alguns números cromossómicos publicados foram atribuídos a *taxa* com nomes diferentes dos adoptados em obras de referência mais recentes. Nesses casos, foi estabelecida a devida sinonímia, havendo, porém, o cuidado de efectuar as remissões que se acharam adequadas.

Acha-se já publicado o catálogo das seguintes famílias:
 1 — *Gramineae* (QUEIRÓS, in *Lagascalia* 15 (1): 79-88, 1988);
 2 — *Compositae* (QUEIRÓS & VIERA, in *Lagascalia* 16 (1): 15-24, 1990). Em vias de impressão encontra-se o das famílias que se passam a indicar: 3 — *Caryophyllaceae* (QUEIRÓS & VIERA); 4 — *Leguminosae* (QUEIRÓS & VIERA); 5 — *Boraginaceae* (QUEIRÓS & VIERA); 6 — *Plantaginaceae* (QUEIRÓS & VIERA); 7 — *Umbelliferae* (QUEIRÓS & VIERA).

Continuando a série do referido catálogo, publica-se o das restantes famílias já estudadas das *Spermatophyta* portuguesas, isto é: 8 — *Liliaceae*; 9 — *Cruciferae*; 10 — *Chenopodiaceae*; 11 — *Euphorbiaceae*; 12 — *Onagraceae*; 13 — *Geraniaceae*; 14 — *Cistaceae*; 15 — *Scrophulariaceae*; 16 — *Malvaceae*; 17 — *Papaveraceae*; 18 — *Lamiaceae*.

8 — LILIACEAE (BARROS NEVES, 1973)

Para tentarmos solucionar problemas nomenclaturais levantados por esta família, foram consultadas as obras de COUTINHO (1913), DAVIS & al. (1984); HEYWOOD & CHATER (1980) e VALDÉS (1987).

- Allium ampeloprasum* L., 2n = 40, (80), 48. **47:** 168-170 (1973).
A. ampeloprasum var. *porrum* (L.) Gay (ver *Allium porrum* L.).
A. baeticum Boiss. subsp. *occidentale* Coutinho, 2n = 32. **47:** 171 (1973).
A. gaditanum Pérez-Lara [ver *Allium guttatum* Steven subsp. *sardoum* (Moris) Stearn].
A. gaditanum var. *bulbiferum* Coutinho, 2n = 48. **47:** 166 (1973).
A. guttatum Steven subsp. *sardoum* (Moris) Stearn (*Allium gaditanum* Pérez-Lara), 2n = 32, 48. **47:** 164-166 (1973).
A. massaessylum Batt. & Trabut, 2n = 14. **47:** 175 (1973).
A. neapolitanum Cyr., 2n = 31-36. **47:** 175-180 (1973).
A. nigrum L., 2n = 16. **47:** 174 (1973).
A. paniculatum L., 2n = 16. **47:** 173 (1973).
A. porrum L. [*Allium ampeloprasum* var. *porrum* (L.) Gay], 2n = 48. **47:** 170-171 (1973).
A. pruinatum Link, 2n = 16. **47:** 164 (1973).
A. roseum L., 2n = 32. **47:** 174-175 (1973).
A. schmitzii Coutinho, 2n = 16. **47:** 171-172 (1973).

- A. scorzonerifolium Desf. ex DC. var. xericciense (Pérez-Lara)
R. Fernandes, $2n = 14$. 47: 172 (1973).
- A. sphaerocephalum L., $2n = 16$. 47: 162-164 (1973).
- A. triquetrum L., $2n = 18$. 47: 180-181 (1973).
- A. vineale L. var. compactum (Thuill.) Cosson & Germ., $2n = 32$,
40. 47: 166-167 (1973).
- A. vineale var. nitens (Sousé & Maill.) Coutinho, $2n = 40$. 47:
167-168 (1973).
- Asparagus albus L., $2n = 20$. 47: 182 (1973).
- A. aphyllus L., $2n = 40$. 47: 182-183 (1973).
- Asphodelus aestivus Brot. [*Asphodelus microcarpus* Viv.; *A. microcarpus* var. *aestivus* (Brot.) Coutinho], $2n = 28$, 56, 84.
47: 159-160 (1973).
- A. fistulosus L., $2n = 56$. 47: 158-159 (1973).
- A. lusitanicus* Coutinho (ver Asphodelus ramosus L.).
- A. microcarpus* Viv. (ver Asphodelus aestivus Brot.).
- A. microcarpus* var. *aestivus* (Brot.) Coutinho (ver Asphodelus aestivus Brot.).
- A. ramosus L. (*Asphodelus lusitanicus* Coutinho), $2n = 56$, 84.
47: 159 (1973).
- Hyacinthoides italicica (L.) Rothm. (*Scilla italicica* L.), $2n = 16$.
47: 192-193 (1973).
- Lilium martagon L. $2n = 24$. 47: 186 (1973).
- Muscaria comosum (L.) Miller, $2n = 18$. 47: 197-198 (1973).
- M. neglectum Guss. ex Ten. [*Muscaria racemosum* (L.) Lam. & DC.],
 $2n = 36$. 47: 198 (1973).
- M. racemosum* (L.) Lam. & DC. (ver Muscaria neglectum Guss.
ex Ten.).
- Ornithogalum broteroi Laínz [*Ornithogalum unifolium* (L.) Ker-Gawler], $2n = 34$. 47: 193-194 (1973).
- O. concinnum (Salisb.) Coutinho, $2n = 36$. 47: 194 (1973).
- O. carbonense L., $2n = 54$. 47: 194-195 (1973).
- O. pyrenaicum L., $2n = 16$. 47: 195-196 (1973).
- O. umbellatum L., $2n = 27$. 47: 196 (1973).
- O. unifolium* (L.) Ker-Gawler (ver Ornithogalum broteroi Laínz).
- Polygonatum odoratum (Miller) Druce, $2n = 20$. 47: 181-182 (1973).
- P. odoratum var. *ambiguum* (Link) Rothm. & P. Silva, $2n = 20$.
47: 181-182 (1973).
- Ruscus aculeatus L., $2n = 40$. 47: 183 (1973).
- Scilla autumnalis L., $2n = 28$. 47: 188-189 (1973).

- S. haycinnthoides L., $2n = 20$. **47**: 189 (1973).
S. italicica L. (ver *Hyacinthoides italicica* (L.) Rothm.).
S. monophyllos Link, $2n = 20$, 40. **47**: 187-188 (1973).
S. peruviana L., $2n = 16$. **47**: 189-191 (1973).
S. ramburei Boiss., $2n = 20$. **47**: 192 (1973).
S. verna Hudson, $2n = 20$. **47**: 191-192 (1973).
Simethis planifolia (L.) Gren. & Godron, $2n = 48$. **47**: 161-162 (1973).
Smilax aspera L. [*Smilax aspera* var. *nigra* (Willd.) Coutinho], $2n = 32$. **47**: 184 (1973).
Smilax aspera var. *nigra* (Willd.) Coutinho (ver *Smilax aspera* L.).
Tulipa australis Link [ver *Tulipa sylvestris* L. subsp. *australis* (Link) Pamp.].
Tulipa sylvestris L. subsp. *australis* (Link) Pamp. (*Tulipa australis* Link), $2n = 24$. **47**: 185-186 (1973).
Urginea maritima (L.) Baker, $2n = 64$. **47**: 196-197 (1973).

BIBLIOGRAFIA

- BARROS NEVES, J. (1973) — Contribution à la connaissance cytotaxinomique des *Spermatophyta* du Portugal. VIII. *Liliaceae*. *Bol. Soc. Brot.*, Sér. 2, **47**: 157-212.
 COUTINHO, A. P. (1913) — Flora de Portugal: 122-139. Lisboa.
 DAVIS, P. H. & al. (1984) — Flora of Turkey, 8: 67-136. Edinburgh.
 HEYWOOD, V. H. & CHATER, A. O. (1980) — *Liliaceae*. In TUTIN, T. G. & al. (ed.). *Flora Europaea*, 5: 14-74. Cambridge.
 VALDÉS, B. (1987) — *Liliaceae*. In: VALDÉS, B. & al. (ed.). Flora Vascular de Andalucía Occidental, 3: 424-462. Barcelona.

9 — CRUCIFERAE (QUEIRÓS, M., 1973)

Baseámo-nos nos trabalhos de AVETISJAN (1986), DAVIS (1965), FRANCO (1971), HEYWOOD (1964) e TALAVERA (1987) para tentarmos solucionar certos problemas nomenclaturais que se nos depararam.

- Alliaria petiolata* (Bieb.) Cavara & Grande, $2n = 42$. **47**: 316-317 (1973).
Alyssum minus (L.) Rothm. (ver *Alyssum simplex* Rudolphi).
A. simplex Rudolphi [*Alyssum minus* (L.) Rothm.], $2n = 16$. **47**: 321 (1973).

- A. serpyllifolium Desf. subsp. lusitanicum Dudley & P. Silva, 2n = 16. **47:** 322 (1973).
- Arabis lusitanica* Boiss. [ver *Arabis planisiliqua* (Pers.) Reichenb.].
- A. planisiliqua (Pers.) Reichenb. (*Arabis lusitanica* Boiss.), 2n = 16. **47:** 321 (1973).
- A. stenocarpa Boiss. & Reuter, 2n = 16. **47:** 321 (1973).
- Barbarea verna* (Miller) Ascherson, 2n = 16. **47:** 318 (1973).
- Biscutella auriculata* L., 2n = 16. **47:** 325 (1973).
- B. valentina (L.) Heywood, 2n = 36. **47:** 324 (1973).
- Brassica barrelieri* (L.) Janka subsp. *oxyrrhina* (Cosson) P. W. Ball & Heywood [ver *Brassica oxyrrhina* (Cosson) Cosson].
- B. *oxyrrhina* (Cosson) Cosson [*Brassica barrelieri* (L.) Janka subsp. *oxyrrhina* (Cosson) P. W. Ball & Heywood], 2n = 18. **47:** 327 (1973).
- Cakile maritima* Scop. subsp. *maritima*, 2n = 18. **47:** 329 (1973).
- Capsella rubella* Reuter, 2n = 16. **47:** 323 (1973).
- Cardamine flexuosa* With., 2n = 32. **47:** 321 (1973).
- C. *hirsuta* L., 2n = 16. **47:** 321 (1973).
- C. *pratensis* L., 2n = 16, 24. **47:** 320 (1973).
- Coincya johnstonii* (Samp.) Greuter & Burdet [*Rhynchosinapis johnstonii* (Samp.) Heywood], 2n = 48. **47:** 329 (1973).
- C. *pseudoerucastrum* (Brot.) Greuter & Burdet [*Rhynchosinapis pseudoerucastrum* (Brot.) Franco subsp. *pseudoerucastrum*], 2n = 48. **47:** 328 (1973).
- Coronopus didymus* (L.) Sm., 2n = 32. **47:** 326 (1973).
- C. *squamatus* (Forsskål) Ascherson, 2n = 32. **47:** 325-326 (1973).
- Diplotaxis catholica* (L.) DC. subsp. *catholica*, 2n = 18. **47:** 326 (1973).
- D. *vicentina* (Coutinho) Rothm., 2n = 20. **47:** 327 (1973).
- *D. *virgata* (Cav.) DC., 2n = 18. **47:** 326 (1973).
- Draba muralis* L., 2n = 32. **47:** 322 (1973).
- Eruca sativa* Miller [*Eruca vesicaria* (L.) Cav. subsp. *sativa* (Miller) Thell.], 2n = 22. **47:** 328 (1973).
- E. *vesicaria* (L.) Cav. subsp. *sativa* (Miller) Thell. (ver *Eruca sativa* Miller).

* O espécime testemunho arquivado em COI foi identificado posteriormente como *D. catholica* por R. FERNANDES (1985). Notas sobre a flora de Portugal — XI. *Bol. Soc. Brot.*, Sér. 2, **58:** 235-248.

- Erucastrum nasturtiifolium* (Poiret) O. E. Schulz, $2n = 16$. **47:** 329 (1973).
- Erysimum linifolium* (Pers.) Gay subsp. *linifolium*, $2n = 14$. **47:** 317 (1973).
- Hirschfeldia incana* (L.) Lagrèze-Fossat, $2n = 14$. **47:** 329 (1973).
- Iberis contracta* Pers. subsp. *welwitschii* (Boiss.) Moreno [*Iberis linifolia* Loefl. subsp. *welwitschii* (Boiss.) Franco & P. Silva], $2n = 14$. **47:** 324 (1973).
- I. linifolia* Loefl. subsp. *welwitschii* (Boiss.) Franco & P. Silva [ver *Iberis contracta* Pers. subsp. *welwitschii* (Boiss.) Moreno].
- I. procumbens* Lange subsp. *microcarpa* Franco & P. Silva, $2n = 14$. **47:** 324 (1973).
- I. procumbens* Lange subsp. *procumbens*, $2n = 14$. **47:** 324 (1973).
- Lepidium heterophyllum* Benth., $2n = 16$. **47:** 325 (1973).
- L. latifolium* L., $2n = 24$. **47:** 325 (1973).
- L. virginicum* L., $2n = 32$. **47:** 325 (1973).
- Lobularia maritima* (L.) Desv., $2n = 24$. **47:** 322 (1973).
- Malcolmia littorea* (L.) R. Br., $2n = 20$. **47:** 317 (1973).
- M. ramosissima* (Desf.) Thell., $2n = 28$. **47:** 317-318 (1973).
- Matthiola incana* (L.) R. Br. subsp. *incana*, $2n = 14$. **47:** 318 (1973).
- Nasturtium officinale* R. Br., $2n = 32$. **47:** 318 (1973).
- Raphanus raphanistrum* L. subsp. *microcarpus* (Lange) Thell., $2n = 18$. **47:** 331 (1973).
- R. raphanistrum* L. subsp. *raphanistrum*, $2n = 18$. **47:** 331 (1973).
- R. sativus* L., $2n = 18$. **47:** 330 (1973).
- Rapistrum rugosum* (L.) All. subsp. *linneanum* (Boiss. & Reuter) Rouy & Fouc., $2n = 16$. **47:** 330 (1973).
- R. rugosum* (L.) All. subsp. *orientale* (L.) Arcangeli, $2n = 16$. **47:** 330 (1973).
- R. rugosum* (L.) All. subsp. *rugosum*, $2n = 16$. **47:** 330 (1973).
- Rhynchosinapis johnstonii* (Samp.) Heywood [ver *Coincyia johnstonii* (Samp.) Greuter & Burdet].
- R. pseudoerugastrum* (Brot.) Franco subsp. *pseudoerugastrum* [ver *Coincyia pseudoerugastrum* (Brot.) Greuter & Burdet].
- Rorippa amphibia* (L.) Besser, $2n = 16$. **47:** 319 (1973).
- R. pyrenaica* (Lam.) Reichenb., $2n = 16$. **47:** 319 (1973).
- R. sylvestris* (L.) Besser subsp. *sylvestris*, $2n = 32$. **47:** 319 (1973).
- Sinapis alba* L. subsp. *alba*, $2n = 24$. **47:** 327 (1973).
- S. arvensis* L., $2n = 18$. **47:** 327 (1973).

- Sisymbrella aspera* (L.) Spach subsp. *aspera*, $2n = 16$. **47**: 320 (1973).
- Sisymbrium altissimum* L., $2n = 14$. **47**: 316 (1973).
- S. officinale* (L.) Scop., $2n = 14$. **47**: 316 (1973).
- Teesdalia nudicaulis* (L.) R. Br., $2n = 36$. **47**: 323 (1973).

BIBLIOGRAFIA

- AVETISJAN, V. E. (1986) — *Cruciferae*. In: GREUTER, W. & al. (ed.) Med.-Checklist. A critical inventory of vascular plants of the circum-mediterranean countries. Dicotyledones (*Convolvulaceae-Labiatae*), 3: 34-172. Genève-Berlin.
- DAVIS, P. H. (1965) — Flora of Turkey, 1: 248-495. Edinburgh.
- FRANCO, J. DO A. (1971) — Nova Flora de Portugal (Continente e Açores), 1: 196-239. Lisboa.
- HEYWOOD, V. H. (1964) — *Cruciferae*. In: TUTIN, T. G. & al. (ed.), Flora Europaea, 1: 260-346. Cambridge.
- QUEIRÓS, M. (1973) — Contribuição para o conhecimento citotaxonómico das Spermatophyta de Portugal. IX. *Cruciferae*. Bol. Soc. Brot., Sér. 2, **47**: 315-335.
- TALAVERA, S. (1987) — *Brassicaceae (Cruciferae)*. In: VALDÉS, B. & al. (ed.), Flora Vascular de Andalucía Occidental, 1: 375-446. Barcelona.

10 — CHENOPODIACEAE (QUEIROZ, M., 1975)

Foram consultadas as obras de CASTROVIEJO (1990), FRANCO (1971), GREUTER & RAUS (1984), TUTIN (1964) e VALDÉS & PASTOR (1987) com o fim de tentarmos solucionar alguns problemas nomenclaturais.

- Arthrocnemum glaucum* (Delile) Ung.-Sternb. [ver *Arthrocnemum macrostachyum* (Moric.) Moris].
- A. *macrostachyum* (Moric.) Moris [*Arthrocnemum glaucum* (Delile) Ung.-Sternb.], $2n = 36$. **49**: 134 (1975).
- Atriplex halimus* L., $2n = 18$. **49**: 129 (1975).
- A. hastata* L., $2n = 18$. **49**: 130-133 (1975).
- A. patula* L., $2n = 36$. **49**: 129 (1975).
- Beta maritima* L. [*Beta vulgaris* L. subsp. *maritima* (L.) Arcangeli], $2n = 18$. **49**: 122 (1975).
- B. *vulgaris* L. subsp. *maritima* (L.) Arcangeli (ver *Beta maritima* L.).
- B. *vulgaris* L. subsp. *vulgaris*, $2n = 18$. **49**: 122 (1975).

- Chenopodium album* L., 2n = 36, 54. **49:** 127-129 (1975).
C. ambrosioides L., 2n = 32. **49:** 123 (1975).
C. botrys L., 2n = 18. **49:** 123 (1975).
C. multifidum L., 2n = 32. **49:** 124 (1975).
C. murale L., 2n = 18. **49:** 124, 126 (1975).
C. opulifolium Schrader ex Koch & Ziz, 2n=54. **49:** 126-127 (1975).
C. urbicum L., 2n = 18. **49:** 124 (1975).
C. vulvaria L., 2n = 18. **49:** 124 (1975).
Halimione portulacoides (L.) Aellen, 2n = 36. **49:** 133 (1975).
Salsola kali L. [*Salsola kali* L. subsp. *tragus* (L.) Nyman], 2n=36. **49:** 135 (1975).
S. kali L. subsp. *tragus* (L.) Nyman (ver *Salsola kali* L.).
S. soda L., 2n = 18, **49:** 135 (1975).
Suaeda maritima (L.) Dumort., 2n = 36. **49:** 134 (1975).
S. splendens (Pourret) Gren. et Godron, 2n = 18: **49:** 134 (1975).

BIBLIOGRAFIA

- CASTROVIEJO, S. (1990) — *Chenopodiaceae*. In: CASTROVIEJO, S. & al. (ed.), Flora Ibérica, 2: 476-553. Madrid.
- FRANCO, J. DO A. (1971) — Nova Flora de Portugal (Continente e Açores), 1: 88-100. Lisboa.
- GREUTER, W. & RAUS, TH. (1984) — Med-Checklist Notulae, 9. *Willdenowia* 14 (1): 37-54.
- QUEIRÓS, M. (1975) — Contribuição para o conhecimento citotaxonómico das *Spermatophyta* de Portugal. X. *Chenopodiaceae*. *Bol. Soc. Brot.*, Sér. 2, **49:** 121-142.
- TUTIN, T. G. (1964) — *Chenopodiaceae*. In: TUTIN, T. G. & al. (ed.), Flora Europaea 1: 90-108. Cambridge.
- VALDÉS, B. & PASTOR, J. (1987) — *Chenopodiaceae*. In: VALDÉS, B. & al. (ed.), Flora Vascular de Andalucía Occidental, 1: 171-193. Barcelona.

11 — EUPHORBIACEAE (QUEIRÓS, M., 1975)

As obras de FRANCO (1971), PAX & HOFFMANN (1986), TUTIN (1968) e VALDÉS (1987) foram consultadas para a resolução de problemas nomenclaturais.

- Chrozophora tinctoria* (L.) A. Juss., 2n = 22. **49:** 144 (1975).
Euphorbia amygdaloides L., 2n = 20. **49:** 153-154 (1975).
E. characias L., 2n = 20. **49:** 154 (1975).

- E. dulcis L., $2n = 12$. **49**: 148 (1975).
 E. exigua L., $2n = 24$, $24 + 1$. **49**: 150-151 (1975).
 E. helioscopia L., $2n = 42$. **49**: 149 (1975).
 E. hirsuta L. (*Euphorbia pubescens* Vahl), $2n = 14$. **49**: 148-149 (1975).
 E. lathyris L., $2n = 20$. **49**: 150 (1975).
 E. maculata L., $2n = 42$. **49**: 147 (1975).
 E. nutans Lag., $2n = 12$. **49**: 147 (1975).
 E. paralias L., $2n = 16$. **49**: 152-153 (1975).
 E. peplus L., $2n = 16$. **49**: 151-152 (1975).
 E. portlandica L., $2n = 16$. **49**: 152 (1975).
 E. pterococca Brot., $2n = 16$. **49**: 149 (1975).
E. pubescens Vahl (ver *Euphorbia hirsuta* L.).
 E. segetalis L., $2n = 16$. **49**: 152 (1975).
 E. serpens Kunth, $2n = 24$. **49**: 147 (1975).
 E. terracina L., $2n = 18$. **49**: 153 (1975).
 E. uliginosa Welw. ex Boiss., $2n = 14$. **49**: 147 (1975).
Mercurialis annua L., $2n = 16$, 32 , 48 , 64 . **49**: 144-146 (1975).
M. perennis L., $2n = 64$. **49**: 146 (1975).
Ricinus communis L., $2n = 20$. **49**: 146 (1975).

BIBLIOGRAFIA

- FRANCO, J. DO A. (1971) — Nova Flora de Portugal (Continente e Açores), 1: 405-422. Lisboa.
- PAX, F. & HOFFMANN, K. (1986) — *Euphorbiaceae*. In GREUTER, W. & al. (ed.), Med-Checklist. A critical inventory of vascular plants of the circum-mediterranean countries. Dicotyledones (*Convolvulaceae-Labiatae*) 3: 205-244. Genève-Berlin.
- QUEIRÓS, M. (1975) — Contribuição para o conhecimento citotaxonómico das Spermatophyta de Portugal. XI. *Euphorbiaceae*. *Bol. Soc. Brot.*, Sér. 2, **49**: 143-161.
- TUTIN, T. G. (1968) — *Euphorbiaceae*. In: TUTIN, T. G. & al. (ed.) Flora Europaea, 2: 211-226. Cambridge.
- VALDÉS, B. (1987) — *Euphorbiaceae*. In: VALDÉS, B. & al. (ed.), Flora Vas-cular de Andalucía Occidental, 2: 220-241. Barcelona.

12 — ONAGRACEAE (QUEIRÓS, M., 1976)

Foram consultadas para a resolução de problemas nomenclaturais as obras de FRANCO (1971), MOORE (1968), RAIMAN (1989) e SILVESTRE (1987).

- Circaea lutetiana L., $2n = 22$. 50: 112 (1976).
 Epilobium hirsutum L., $2n = 36$. 50: 109 (1976).
 E. lanceolatum Sebastiani & Mauri, $2n = 36$. 50: 109 (1976).
 E. parviflorum Schreber, $2n = 36$. 50: 109 (1976).
 E. tetragonum L. subsp. tetragonum, $2n = 36$. 50: 109-110 (1976).
 Ludwigia palustris (L.) Elliott, $2n = 16$. 50: 108 (1976).
 Oenothera affinis Camb., $2n = 14$. 50: 111 (1976).
 O. biennis L., $2n = 14$. 50: 110 (1976).
O. erythrosepala Borbás (ver Oenothera glazioviana M. Micheli).
 O. galzioviana M. Micheli (*Oenothera erythrosepala* Borbás),
 $2n = 14$. 50: 111 (1976).
 O. grandiflora L'Hér. ex Aiton, $2n = 14$. 50: 111 (1976).
 O. indecora Camb., $2n = 14$. 50: 112 (1976).
 O. striata Link (*Oenothera stricta* Ledeb. ex Link), $2n = 14$. 50:
 111 (1976).
O. stricta Ledeb. ex Link (ver Oenothera striata Link).

BIBLIOGRAFIA

- FRANCO, J. DO A. (1971) — Nova Flora de Portugal (Continente e Açores),
 1: 486-493. Lisboa.
- MOORE, D. M. (1968) — Onagraceae (Oenotheraceae). In: TUTIN, T. G. & al.
 (ed.), Flora Europaea, 2: 305-311. Cambridge.
- QUEIRÓS, M. (1976) — Contribuição para o conhecimento citotaxonómico das
Spermatophyta de Portugal. *Bol. Soc. Brot.*, Sér. 2, 50: 107-116.
- RAIMAN, R. (1989) — Onagraceae. In: GREUTER, W. & al. (ed.). Med-Checklist.
 A critical inventory of vascular plants of the circum-mediterranean
 countries. Dicotyledones (*Lauraceae-Rhamnaceae*), 4: 249-255. Genève-
 Berlin.
- SILVESTRE, S. (1987) — Onagraceae (Oenotheraceae). In: VALDÉS, B. & al.
 (ed.), Flora Vascular de Andalucía Occidental, 2: 206-210. Barcelona.

13 — GERANIACEAE (ALVES, M. C. & LEITÃO, M. T., 1976)

Com o fim de resolver problemas nomenclaturais, foram consultadas as obras de DEVESA (1987), FRANCO (1971), KNUTH (1986) e WEBB (1968).

Erodium aethiopicum (Lam.) Brumh. & Thell. [*Erodium cicutarium* (L.) L'Hérit. subsp. *bipinnatum* (Desf.) Tourlet], $2n=40$.
 50: 237 (1976).

- E. botrys (Cav.) Bertol., 2n = 40. **50:** 237 (1976).
 E. chium (L.) Willd., 2n = 20. **50:** 235 (1976).
E. cicutarium (L.) L'Hérit. subsp. *bipinnatum* (Desf.) Tourlet
 [ver *Erodium aethiopicum* (Lam.) Brumh. & Thell.].
 E. cicutarium (L.) L'Hérit. subsp. *cicutarium*, 2n = 40. **50:** 237
 (1976).
E. cicutarium (L.) L'Hérit. subsp. *jacquinianum* (Fischer, C. A.
 Meyer & Avé-Lall.) Briq: (ver *Erodium salzmannii* Delile).
 E. laciniatum (Cav.) Willd., 2n = 40. **50:** 235-236 (1976).
 E. malacoides (L.) L'Hérit., 2n = 40. **50:** 236 (1976).
 E. moschatum (L.) L'Hérit., 2n = 20. **50:** 238, 240 (1976).
 E. salzmanii Delile [*Erodium cicutarium* (L.) L'Hérit. subsp.
jacquinianum (Fischer, C. A. Meyer & Avé-Lall) Briq.],
 2n = 20. **50:** 237-238 (1976).
Geranium columbinum L., 2n = 18. **50:** 233-234 (1976).
G. dissectum L., 2n = 22. **50:** 234 (1976).
G. lucidum L., 2n = 40. **50:** 235 (1976).
G. molle L., 2n = 26. **50:** 233 (1976).
G. purpureum Vill., 2n = 32. **50:** 235 (1976).
G. pusillum L., 2n = 26. **50:** 233 (1976).
G. pyrenaicum Burm. fil., 2n = 26. **50:** 232 (1976).
G. rotundifolium L., 2n = 26. **50:** 232-233 (1976).

BIBLIOGRAFIA

- ALVES, M. C. & LEITÃO, M. T. (1976) — Contribuição para o conhecimento citotaxonómico das *Spermatophyta* de Portugal. XIII. *Geraniaceae*. *Bol. Soc. Brot.*, Sér. 2, **50:** 231-245.
 DEVEZA, J. A. (1987) — *Geraniaceae*. In: VALDES, B. & al. (ed.), Flora Vascular de Andalucía Occidental, 2: 271-284. Barcelona.
 FRANCO, J. DO A. (1971) — Nova Flora de Portugal (Continente e Açores), 1: 392-400. Lisboa.
 KNUTH, R. (1986) — *Geraniaceae*. In: GREUTER, W. & al. (ed.), Med-Checklist. A critical inventory of vascular plants of the circum-mediterranean countries. Dicotyledones (*Convolvulaceae-Labiatae*), 3: 248-261. Genève-Berlin.
 WEBB, D. A. (1968) — *Geraniaceae*. In: TUTIN, T. G. & al. (ed.), Flora Europaea, 2: 193-204. Cambridge.

14 — CISTACEAE (LEITÃO, M. T. & ALVES, M. C., 1976)

Para a resolução de problemas nomenclaturais, consultaram-se os trabalhos de CABEZUDO (1987), FRANCO (1971), GREUTER & RAUS (1981, 1982, 1984) e HEYWOOD (1968).

- Cistus albidus L., $2n = 18$. **50:** 248 (1976).
- C. crispus L., $2n = 18$. **50:** 248 (1976).
- C. ladanifer L., $2n = 18$. **50:** 250-251 (1976).
- C. laurifolius L., $2n = 18$. **50:** 250 (1976).
- C. monspeliensis L., $2n = 18$. **50:** 248-249 (1976).
- C. palinhiae Ingram, $2n = 18$. **50:** 251 (1976).
- C. populifolius L., $2n = 18$. **50:** 250 (1976).
- C. psilosepalus Sweet, $2n = 18$. **50:** 249-250 (1976).
- C. salvifolius L., $2n = 18$. **50:** 250 (1976).
- Fumana ericoides (Cav.) Gand., $2n = 32$. **50:** 257 (1976).
- F. thymifolia (L.) Spach ex Webb, $2n = 32$. **50:** 257-258 (1976).
- Halimium alyssoides (Lam.) C. Koch, $2n = 18$. **50:** 252 (1976).
- H. alyssoides (Lam.) C. Koch subsp. lasianthum (Lam.) Rivas Martinez [*Halimium lasianthum* (Lam.) Spach subsp. *lasianthum*], $2n = 18$. **50:** 253 (1976).
- H. commutatum Pau, $2n = 18$. **50:** 254 (1976).
- H. halimifolium (L.) Willk. subsp. halimifolium, $2n = 18$. **50:** 253 (1976).
- H. *lasianthum* (Lam.) Spach subsp. *lasianthum* [ver *Halimium alyssoides* (Lam.) C. Koch subsp. *lasianthum* (Lam.) Rivas Martinez].
- H. ocymoides (Lam.) Willk., $2n = 18$. **50:** 252 (1976).
- H. umbellatum (L.) Spach, $2n = 18$. **50:** 253 (1976).
- H. umbellatum (L.) Spach subsp. viscosum (Willk.) O. Bolós & Vigo [*Halimium verticillatum* (Brot.) Sennen], $2n = 18$. **50:** 253 (1976).
- H. *verticillatum* (Brot.) Sennen [ver *Halimium umbellatum* (L.) Spach subsp. *viscosum* (Willk.) O. Bolós & Vigo].
- Helianthemum aegyptiacum (L.) Miller, $2n = 20$. **50:** 257 (1976).
- H. ledifolium (L.) Miller, $2n = 20$. **50:** 256 (1976).
- H. nummularium (L.) Miller subsp. *nummularium*, $2n = 20$. **50:** 255 (1976).
- H. salicifolium (L.) Miller, $2n = 20$. **50:** 257 (1976).

Tuberaria guttata (L.) Fourr., 2n = 36. **50:** 255 (1976).

T. lignosa (Sweet) Samp., 2n = 14. **50:** 254 (1976).

BIBLIOGRAFIA

- CABEZUDO, B. (1987) — *Cistaceae*. In: VALDÉS, B. & cl. (ed.), Flora Vascular de Andalucía Occidental. 1: 335-354. Barcelona.
- FRANCO, J. DO A. (1971) — Nova Flora de Portugal (Continente e Açores), 1: 458-471. Lisboa.
- GREUTER, W. & RAUS, TH. (1981) — Med-Checklist Notulae, 4. *Willdenowia*, 11 (2): 271-280.
- GREUTER, W. & RAUS, TH. (1982) — Med-Checklist Notulae. 5. *Willdenowia*, 12 (1): 33-46.
- GREUTER, W. & RAUS, TH. (1984) — Med-Checklist Notulae. 9. *Willdenowia*, 14 (1): 37-54.
- HEYWOOD, V. H. (1968) — *Cistaceae*. In: TUTIN, T. G. & al. (ed.), Flora Europea, 2: 282-292. Cambridge.
- LEITÃO, M. T. & ALVES, M. C. (1976) — Contribuição para o conhecimento citotaxonómico das *Spermatophyta* de Portugal. XIV. *Cistaceae*. *Bol. Soc. Brot.*, Sér. 2, **50:** 247-263.

15 — SCROPHULARIACEAE (FERNANDES, A., QUEIRÓS, M. & SANTOS, M. F., 1977)

Foram consultadas as obras de FRANCO (1984), VALDÉS (1970, 1987) e WEBB (1972) para a resolução de problemas nomenclaturais.

- Anarrhinum bellidifolium* (L.) Willd., 2n = 18. **51:** 55-57 (1977).
 A. duriminium* (Brot.) Pers., 2n = 18. **51: 57 (1977).
A. longipedicellatum R. Fernandes, 2n = 18. **51:** 57 (1977).
Antirrhinum graniticum Rothm., 2n = 16. **51:** 53 (1977).
A. majus L. subsp. *cirrhigerum* (Ficalho) Franco, 2n = 16. **51:** 53 (1977).
A. majus L. subsp. *linkianum* (Boiss. & Reuter) Rothm., 2n = 16. **51:** 53 (1977).
A. majus L. subsp. *majus*, 2n = 16. **51:** 53 (1977).
A. meonanthum Hoffmanns. & Link, 2n = 16. **51:** 52-53 (1977).
Celsia glandulosa Bouché (ver *Verbascum levanticum* I. K. Ferguson).

* Por lapso tipográfico o texto indica 2n = 16.

- Cymbalaria muralis* P. Gaertner, B. Meyer & Schreb. subsp. *muralis*, 2n = 14. **51:** 51-52 (1977).
- Digitalis purpurea* L. subsp. *purpurea*, 2n = 56. **51:** 58-59 (1977).
- D. thapsi* L., 2n = 56. **51:** 59-60 (1977).
- Gratiola officinalis* L., 2n = 32. **51:** 37-38 (1977).
- Kickxia cirrhosa* (L.) Fritsch, 2n = 18. **51:** 51 (1977).
- K. elatine* (L.) Dumort. subsp. *crinita* (Mabille) W. Greuter, 2n = 36. **51:** 51 (1977).
- K. spuria* (L.) Dumort. subsp. *integrifolia* (Brot.) R. Fernandes, 2n = 18. **51:** 51 (1977).
- Linaria amethystea* (Lam.) Hoffmanns. & Link subsp. *multipunctata* (Brot.) Chater & D. A. Webb, 2n = 12. **51:** 47 (1977).
- L. diffusa* Hoffmanns. & Link, 2n = 12. **51:** 47 (1977).
- L. incarnata* (Vent.) Sprengel, 2n = 12. **51:** 44 (1977).
- L. lamarckii* Rouy, 2n = 12. **51:** 46 (1977).
- L. micrantha* (Cav.) Hoffmanns. & Link, 2n = 12. **51:** 48 (1977).
- L. saxatilis* (L.) Chaz., 2n = 12. **51:** 48 (1977).
- L. spartea* (L.) Willd., 2n = 12. **51:** 44 (1977).
- L. supina* (L.) Chaz., 2n = 12. **51:** 47 (1977).
- L. triornithophora* (L.) Willd., 2n = 12. **51:** 44-46 (1977).
- L. viscosa* (L.) Dum.-Courset, 2n = 12. **51:** 44 (1977).
- Misopates calycinum* (Lam.) Rothm., 2n = 16. **51:** 55 (1977).
- M. orontium* (L.) Rafin., 2n = 16. **51:** 54-55 (1977).
- Serophularia auriculata* L., 2n = 80; 2n = 86 (80 + 6B); 2n = 88 (80 + 8B). **51:** 41-43 (1977).
- S. canina* L. subsp. *canina*, 2n = 26. **51:** 43 (1977).
- S. frutescens* L., 2n = 26. **51:** 43 (1977).
- S. grandiflora* DC. subsp. *grandiflora*, 2n = 58. **51:** 41 (1977).
- S. lyrata* Willd., 2n = 58. **51:** 43 (1977).
- S. scorodonia* L., 2n = 58. **51:** 40-41 (1977).
- S. sublyrata* Brot., 2n = 58. **51:** 41 (1977).
- Verbascum levanticum* I. K. Ferguson (*Celsia glandulosa* Bouché), 2n = 48. **51:** 40 (1977).
- V. sinuatum* L., 2n = 30. **51:** 40 (1977).
- V. thapsus* L. subsp. *thapsus*, 2n = 36. **51:** 39 (1977).
- V. virgatum* Stokes, 2n = 64, 66. **51:** 39 (1977).
- Veronica anagallis-aquatica* L., 2n = 36. **51:** 62 (1977).
- V. arvensis* L., 2n = 16. **51:** 62-63 (1977).
- V. hederifolia* L. subsp. *hederifolia*, 2n = 54. **51:** 64-65 (1977).
- V. micrantha* Hoffmanns. & Link, 2n = 16. **51:** 61-62 (1977).

- V. montana L., 2n = 18. **51:** 62 (1977).
 V. officinalis L., 2n = 36. **51:** 61 (1977).
 V. peregrina L., 2n = 52. **51:** 63 (1977).
 V. persica Poiret, 2n = 28. **51:** 64 (1977).
 V. polita Fries, 2n = 14. **51:** 64 (1977).
 V. serpyllifolia L. subsp. serpyllifolia, 2n = 14. **51:** 60-61 (1977).

ADENDA

Os taxa a seguir discriminados não foram incluídos na lista supra por o seu estudo cariológico ter sido feito a partir de sementes fornecidas por instituições botânicas europeias:

- Chaenorrhinum minus* (L.) Lange, 2n = 14. **51:** 58 (1977).
C. origanifolium (L.) Fourr., 2n = 14. **51:** 58 (1977).
Linaria aeruginea (Gouan) Cav. subsp. *aeruginea*, 2n = 12. **51:** 46 (1977).
L. alpina (L.) Miller, 2n = 12. **51:** 50 (1977).
L. purpurea (L.) Miller, 2n = 12. **51:** 49 (1977).
L. reflexa (L.) Desf., 2n = 12. **51:** 48 (1977).
L. repens (L.) Miller, 2n = 12. **51:** 49 (1977).
L. tristis (L.) Miller, 2n = 12. **51:** 46 (1977).
L. ventricosa Cosson, 2n = 12. **51:** 50 (1977).
L. vulgaris Miller, 2n = 12. **51:** 50 (1977).
Veronica agrestis L., 2n = 28. **51:** 64 (1977).

BIBLIOGRAFIA

- FERNANDES, A., QUEIRÓS, M. & SANTOS, M. F. (1977) — Contribution à la connaissance cytotaxinomique des *Spermatophyta* du Portugal. XV. *Scrophulariaceae*. *Bol. Soc. Brot.*, Sér. 2, **51:** 37-90.
 FRANCO, J. DO A. (1984) — Nova Flora de Portugal (Continente e Açores), 2: 208-268. Lisboa.
 VALDÉS, B. (1970) — Revision de las especies europeas de *Linaria* con semillas aladas. Universidad de Sevilla. Anales de la Universidad Hispanense Serie Ciencias, 7: 5-288. Sevilla.
 VALDÉS, B. (1987) — *Scrophulariaceae*. In: VALDÉS, B. & al. (ed.), Flora Vascular de Andalucía Occidental, 2: 486-547. Barcelona.
 WEBB, D. A. (1972) — *Scrophulariaceae*. In: TUTIN, T. G. & al. (ed.), Flora Europaea, 3: 216-281. Cambridge.

16 — MALVACEAE (QUEIRÓS, M., 1977)

Para a resolução de alguns problemas nomenclaturais consultou-se DEVESÁ (1987), FRANCO (1971), SCHUMANN (1989) e WEBB (1968).

- **Alcea rosea* L., 2n = 42. **51:** 190-191 (1977).
- Althaea officinalis* L., 2n = 42. **51:** 190 (1977).
- Lavatera arborea* L., 2n = 44. **51:** 188 (1977).
- L. cretica* L., 2n = 112. **51:** 187-188 (1977).
- L. olbia* L., 2n = 42. **51:** 188 (1977).
- L. trimestris* L., 2n = 14. **51:** 189-190 (1977).
- Malva hispanica* L., 2n = 24. **51:** 191 (1977).
- M. parviflora* L., 2n = 42. **51:** 193 (1977).
- M. sylvestris* L., 2n = 42. **51:** 192 (1977).
- M. tournefortiana* L., 2n = 42. **51:** 191 (1977).
- Sida rhombifolia* L., 2n = 14, 14 + 1. **51:** 193-194 (1977).

BIBLIOGRAFIA

- DEVESÁ, J. A. (1987) — *Malvaceae*. In: VALDES, B. & al. (ed.), Flora Vascular de Andalucía Occidental, 1: 319-333. Barcelona.
- FRANCO, J. DO A. (1971) — Nova Flora de Portugal (Continente e Açores), 1: 437-444. Lisboa.
- QUEIRÓS, M. (1977) — Contribuição para o conhecimento citotaxonómico das *Spermatophyta* de Portugal. XVI. *Malvaceae*. *Bol. Soc. Brot.*, Sér. 2, **51:** 187-199.
- SCHUMANN, K. (1989) — *Malvaceae*. In: GREUTER, W. & al. (ed.), Med-Checklist. A critical inventory of vascular plants of the circum-mediterranean countries. Dicotyledones (*Lauraceae-Rhamnaceae*), 4: 231-239. Geneve-Berlin.
- WEBB, D. A. (1968) — *Malvaceae*. In: TUTIN, T. G. & al. (ed.), Flora Europaea, 2: 248-256. Cambridge.

17 — PAPAVERACEAE (QUEIRÓS, M., 1980)

Com o fim de resolver alguns problemas nomenclaturais, foram consultadas as obras de CASTROVIEJO & VILLAR (1986), FEDDE (1989), FRANCO (1971), TUTIN (1964) e VALDÉS (1987).

* De origem desconhecida, cultivada como ornamental, por vezes escapa da jardins.

- Chelidonium majus* L., 2n = 12. **54:** 154-155 (1980).
- Ceratocapnos claviculata* (L.) Lidén [*Corydalis claviculata* (L.) DC. subsp. *claviculata*], 2n = 32. **54:** 160-161 (1980).
- Corydalis claviculata* (L.) DC. subsp. *claviculata* [ver *Ceratocapnos claviculata* (L.) Lidén].
- Fumaria agraria* Lag., 2n = 80. **54:** 161 (1980).
- F. muralis* Kock subsp. *boreoi* (Jordan) Pugsley, 2n = 48. **54:** 161-162 (1980).
- F. officinalis* L. subsp. *officinalis*, 2n = 32. **54:** 162, 164 (1980).
- F. parviflora* Lam., 2n = 32. **54:** 164 (1980).
- Glaucium corniculatum* (L.) J. H. Rudolph, 2n = 12. **54:** 157 (1980).
- G. flavum* Crantz, 2n = 12. **54:** 156-157 (1980).
- Papaver argemone* L., 2n = 42. **54:** 160 (1980).
- P. dubium* L., 2n = 14, 42. **54:** 159-160 (1980).
- P. hybridum* L., 2n = 14. **54:** 160 (1980).
- P. rhoeas* L., 2n = 14. **54:** 159 (1980).
- P. somniferum* L. subsp. *somniferum*, 2n = 22. **54:** 157-158 (1980).
- Platycapnos spicata* (L.) Bernh., 2n = 32. **54:** 164 (1980).

BIBLIOGRAFIA

- CASTROVIEJO, S. & VILLAR, L. (1986) — *Papaveraceae*. In: CASTROVIEJO, S. & al. (ed.), Flora Iberica, 1: 406-469. Madrid.
- FEDDE, F. K. G. (1989) — *Papaveraceae*. In: GREUTER, W. & al. (ed.), Med-Checklist. A critical inventory of vascular plants of the circum-mediterranean countries. Dicotyledons (*Lauraceae-Rhamnaceae*), 4: 269-295. Genève-Berlin.
- FRANCO, J. DO A. (1971) — Nova Flora de Portugal (Continente e Açores), 1: 185-195. Lisboa.
- QUEIROS, M. (1980) — Contribuição para o conhecimento citotaxonómico das Spermatophyta de Portugal. XVII. *Papaveraceae*. *Bol. Soc. Brot.*, Sér. 2, **54:** 153-171.
- TUTIN, T. G. (1964) — *Papaveraceae*. In: TUTIN, T. G. (ed.), Flora Europaea, 1: 246-259. Cambridge.
- VALDÉS, B. (1987) — *Papaveraceae*. In: VALDÉS, B. & al. (ed.), Flora Vascular de Andalucía Occidental, 1: 129-149. Barcelona.

18 — LAMIACEAE (FERNANDES, A. & LETTÃO, M. T., 1984)

Para a superação de problemas nomenclaturais consultaram-se as obras de BOKHARI & HEDGE (1986), FRANCO (1984), HEYWOOD & RICHARDSON (1972) e VALDÉS (1987).

- Acinos alpinus* (L.) Moench subsp. *alpinus*, 2n = 18. **27:** 48 (1984).
Ajuga chamaepitys (L.) Schreber, 2n = 28. **27:** 35-36 (1984).
A. reptans L., 2n = 32. **27:** 35 (1984).
Ballota hirsuta Bentham, 2n = 28. **27:** 53 (1984).
B. nigra L., 2n = 22. **27:** 53-54 (1984).
Calamintha sylvatica Bromf. subsp. *ascendens* (Jordan) P. W. Ball,
 2n = 24. **27:** 48 (1984).
Cleonia lusitanica (L.) L., 2n = 20. **27:** 62 (1984).
Clinopodium vulgare L. subsp. *vulgare*, 2n = 20. **27:** 48-49 (1984).
Lamium amplexicaule L. subsp. *amplexicaule*, 2n = 18. **27:** 59-60
 (1984).
L. hybridum Vill., 2n = 36. **27:** 59 (1984).
L. maculatum L., 2n = 18. **27:** 59 (1984).
L. purpureum L., 2n = 18. **27:** 59 (1984).
Lavandula latifolia Medicus, 2n = 36, 54, 75 (72 + 3). **27:** 37-40
 (1984).
L. pendunculata (Miller) Cav., 2n = 30. **27:** 37 (1984).
L. stoechas L., 2n = 30. **27:** 37 (1984).
Lycopus europaeus L., 2n = 22. **27:** 43 (1984).
Marrubium vulgare L., 2n = 34, 35. **27:** 50 (1984).
Melissa officinalis L., 2n = 32. **27:** 48 (1984).
Melittis melissophyllum L. subsp. *melisoophyllum*, 2n = 36. **27:**
 53 (1984).
Mentha cervina L., 2n = 36. **27:** 40-41 (1984).
M. pulegium L., 2n = 30, 40. **27:** 40 (1984).
M. suaveolens Ehrh., 2n = 24, 42. **27:** 41-43 (1984).
Micromeria juliana (L.) Bentham ex Reichenb., 2n = 30. **27:** 49-50
 (1984).
Nepeta tuberosa L. subsp. *tuberosa*, 2n = 18. **27:** 52-53 (1984).
Origanum majorana L., 2n = 30. **27:** 44-45 (1984).
O. virens Hoffmanns. & Link, 2n = 30. **27:** 43 (1984).
Phlomis lychnitis L., 2n = 20. **27:** 57-58 (1984).
P. purpurea L., 2n = 20. **27:** 56-57 (1984).
Prasium majus L., 2n = 34. **27:** 40 (1984).
Prunella hastifolia Brot., 2n = 28. **27:** 60-61 (1984).
P. laciniata (L.) L., 2n = 30. **27:** 60 (1984).
P. vulgaris L., 2n = 28, 29, 30. **27:** 61 (1984).
Rosmarinus officinalis L., 2n = 24. **27:** 36 (1984).
Salvia sclareoides Brot., 2n = 20. **27:** 62-63 (1984).
S. verbenaca L., 2n = 62, 65. **27:** 63-64 (1984).

- Scutellaria galericulata* L., $2n = 30$. **27: 64** (1984).
S. minor Hudson, $2n = 28$. **27: 64** (1984).
Sideritis hirsuta L., $2n = 28, 29, 30$. **27: 50** (1984).
S. linearifolia Lam., $2n = 50$. **27: 50-51** (1984).
Stachys algeriensis (De Noe) Rothm. [ver *Stachys officinalis* (L.) Trevisan subsp. *algeriensis* (De Noe) Franco].
S. arvensis (L.) L., $2n = 10$. **27: 56** (1984).
S. germanica L. subsp. *lusitanica* (Hoffmanns. & Link) Coutinho, $2n = 30$. **27: 55** (1984).
S. ocymastrum (L.) Briq., $2n = 18$. **27: 56** (1984).
S. officinalis (L.) Trevisan, $2n = 16$. **27: 55** (1984).
S. officinalis (L.) Trevisan subsp. *algeriensis* (De Noe) Franco [*Stachys algeriensis* (De Noe) Rothm.], $2n = 16$. **27: 55** (1984).
S. palustris L., $2n = 104$. **27: 55** (1984).
Teucrium capitatum L., $2n = 26$. **27: 32-33** (1984).
T. polium L. subsp. *vicentinum* (Rouy) D. Wood (*Teucrium vicentinum* Rouy), $2n = 80$. **27: 33-35** (1984).
T. salviastrum Schreber, $2n = 32$. **27: 31** (1984).
T. scordioides Schreber [ver *Teucrium scordium* L. subsp. *scordioides* (Schreber) Arcangeli].
T. scordium L. subsp. *scordioides* (Schreber) Arcangeli (*Teucrium scordioides* Schreber), $2n = 16, 32$. **27: 31-32** (1984).
T. scorodonia L. subsp. *scorodonia*, $2n = 33, 34$. **27: 30-31** (1984).
T. vicentinum Rouy [ver *Teucrium polium* L. subsp. *vicentinum* (Rouy) D. Wood].
Thymus caespitius Brot., $2n = 30$. **27: 45** (1984).
T. camphoratus Hoffmanns. & Link, $2n = 30$. **27: 46** (1984).
T. capitatus (L.) Hoffmanns. & Link, $2n = 30$. **27: 45** (1984).
T. carnosus Boiss., $2n = 56$. **27: 46** (1984).
T. mastichina L., $2n = 60$. **27: 45** (1984).
T. pulegioides L., $2n = 28$. **27: 46-48** (1984).
T. zygis Loefl. ex L., $2n = 58$. **27: 46** (1984).

BIBLIOGRAFIA

BOKHARI, M. H. & HEDGE, I. C. (1986) — *Labiatae*. In: GREUTER, W. & al. (ed.), Med-Checklist. A critical inventory of vascular plants of the circum-mediterranean countries. Dicotyledones (*Convolvulaceae-Labiatae*), 3: 276-395. Genève-Berlin.

- FERNANDES, A. LEITÃO, M. T. (1984) — Contribution à l'étude cytotaxinomique des *Spermatophyta* du Portugal. XVIII. *Lamiaceae*. *Mem. Soc. Brot.*, 27: 27-75.
- FRANCO, J. DO A. (1984) — Nova Flora de Portugal (Continente e Açores), 2: 137-192. Lisboa.
- HEYWOOD, V. H. & RICHARDSON, I. B. K. (1972) — *Labiatae*. In TUTIN, T. G. & al (ed.), *Flora Europaea*, 3: 126-192. Cambridge.
- VALDÉS, B. (1987) — *Lamiaceae (Labiatae)*. In: VALDÉS, B. & al. (ed.), *Flora Vascular de Andalucía Occidental*, 2: 408-469. Barcelona.

APUNTES SOBRE LA FLORA GALLEGA — XII

M. I. ROMERO & J. AMIGO

Departamento de Biología Vegetal, Laboratorio de Botánica.
Facultad de Farmacia. Universidad de Santiago.

Recibido 10-VI-1992.

RESUMEN

Hemos reunido diversas recolecciones relativas a 17 especies de diferente grado de rareza en el territorio de Galicia; se anaden diversos comentarios sobre la significación biogeográfica de algunos de estos hallazgos.

Podemos resaltar las presencias de *Buglossoides purpureocaerulea* (L.) I. M. Johnston, *Lepidium latifolium* L., *Modiola caroliniana* (L.) G. Don. fil., *Rosa arvensis* Hudson y *Typha domingensis* (Pers.) Steudel, encontradas por vez primera en nuestra región.

RÉSUMÉ

Nous avons réuni ici plusieurs récoltes relatives à 17 espèces de différents degrés de rareté dans le territoire de la Galice; nous ajoutons aussi divers commentaires sur la signification biogéographique de certaines de ces trouvailles.

A souligner la présence de *Buglossoides purpureocaerulea* (L.) I. M. Johnston, *Lepidium latifolium* L., *Modiola caroliniana* (L.) G. Don. fil., *Rosa arvensis* Hudson et *Typha domingensis* (Pers.) Steudel, espèces trouvées pour la première fois dans notre région.

Ammi majus L.

A CORUNA: Arzúa; en las afueras de la villa, carretera de Santiago y en borde de carretera. 29T NH65.

LUGO: c. de Monforte, carretera de Sober a Monforte. 29T PH20. 27/VII/1991. SANT 21285.

En ambos casos se trata de las segundas citas provinciales. Las primeras son relativamente recientes y corresponden a GOMEZ-

VIGIDE (1985: 371) en Santiago (A Coruña) y RODRÍGUEZ-OUBINA & al. (1989: 1) en Guitiriz (Lugo). También MERINO (1905: 610 y 1909: 568) la citó y herborizó en Ourense.

Por lo que han precisado algunos de estos autores y por observaciones propias, podemos decir que esta especie aparece ligada a bordes de cultivos y caminos, como viaria y subnitrófila.

Buglossoides purpureocaerulea (L.) J. M. Johnston

OURENSE: Rubiá, Cobas, en la bajada a la cueva llamada Pala Pombeira, 420 m. 29T PH70. 12/VI/1986. SANT 21286.

Tiene el interés de ser la primera presencia regional. Aunque se conocía de puntos próximos del Bierzo (cf. LAÍNZ, 1976: 26 y ANDRÉS & al., 1987: 110) donde nosotros la hemos herborizado también.

En la zona gallega encontramos una población a la umbría de un incipiente bosquete de avellanos, que se asienta en un talud un tanto pedregoso y aparece entreverando una gran área de encinar calcífilo.

Campanula adsurgens Leresche & Levier

LUGO: Triacastela, Cancelo. En el dique de caliza explotado como cantera. 800 m. 29T PH43. 14/VII/1990. SANT 21287.

Lugo, Cruz de Incio, entre Aldea y Ferreiría de Incio. Sobre calizas, en filón calcáreo, al lado de la carretera. 29T PH32.

En ambos casos se presenta en litosuelos muy pedregosos más que en paredes.

Este cismófito, endémico de las calizas entre Galicia y León, tiene en estos dos puntos sus localidades extremas occidentales. La discontinuidad de áreas con respecto al territorio Orocantábrico en que se encuentran las poblaciones de *Campanula arvatica* Lag. más cercanas, y la ausencia de intermedios entre ambos taxa, sugieren el tratamiento específico para la planta galaico-berciana, mejor que el subespecífico propuesto por FEDOROV (1976: 79).

Ferulago lutea (Poiret) Grande

(*F. sulcata* Desf.)

LUGO: Sober, Amandi; en los bancales de viñedos abandonados, en las laderas que caen al Sil. 330 m. 29T PG29. 15/VII/1992. SANT 21288.

BELLOT y CASASECA, herborizaron esta especie (SANT N° 10729) en el mismo municipio que nosotros la hemos recolectado, aunque no tengamos constancia de que publicasen su hallazgo.

Damos esta presencia como la primera cita publicada en la provincia de Lugo. La relación biogeográfica entre las diferentes localidades publicadas anteriormente, todas ellas ourensanas (cf. MERINO, 1905: 579 y 1909: 566; RODRÍGUEZ-GRACIA, 1991: 42), indican su carácter de planta de óptimo mesomediterráneo.

Leontodon tuberosus L.

(*Thrincia grumosa* Brot., *T. tuberosa* DC.)

LUGO: Monforte, Barrioncas; en pastizales de *Poetea bulbosae* sobre margas. 320 m. 29T PH21. 18/IV/1992. SANT 21289.

OURENSE: Rubiá, Vilardesilva; en pastos secos entre matorral mediterráneo. 500 m. 29T PH70. 21/III/1992. SANT 21290.

Se trata de la segunda cita provincial en los dos casos. En Lugo ya la mencionaba MERINO (1906: 446) de la costa norte y en Ourense también fué encontrada en un punto lejano a los nuestros, en Gendive-Lovios (LAÍNZ, 1971: 27).

Lepidium latifolium L.

LUGO: Monforte, en acequia en las afueras de la villa. 300 m. 29T PH20. 15/VII/1992. SANT 21291.

No conocemos cita regional anterior, aunque el mapa de distribución de BOLOS & al. (1990: 124) refleja un área que alcanzaría el sur de Ourense. La más cercana que recordamos es en León capital (HERRERO & al., 1988: 320).

Melica minuta L.

(M. major Sibth. & Smith)

OURENSE: Pereiro de Aguiar, Vilarino. En sotobosque de carballeira termófila con *Q. robur*, *Q. pyrenaica*, *Q. suber*, *Castanea* y *A. unedo*. 29T NG99. 5/VI/1991. SANT 20901.

Segunda localidad provincial.

MERINO (1909: 327) la conoció de una única localidad en la misma provincia pero bastante más al sur, donde el río Limia está a punto de entrar en Portugal. También LAÍNZ (1953: 164) la encontró en localidad pontevedresa vecina de Portugal.

Modiola caroliniana (L.) G. Don fil.

A CORUÑA: Padrón, A Escravitude. En herbazal subnitrófilo rico en papilionáceas al lado de la carretera. 29T NH23. 21/VI/1992. SANT 21292.

Novedad regional; las recolecciones más próximas de que tenemos noticia son de Cantabria (cf. PEREDA, 1957: 151, LAÍNZ & al., 1983: 410). En territorio portugués fué localizada hace casi tres décadas cerca de Oliveira de Azemeis (cf. FRANCO, 1971: 437s).

Nuestra cita hace pensar en una futura presencia más amplia por el arco NW de la península que amplie el mapa de presencia europea de BOLÓS & al. (1990: 280).

Moehringia trinervia (L.) Clairv.

A CORUÑA: Monfero; en las fragas más o menos antropizadas de las laderas del río Eume. 29T NJ70. 15/III/1992. SANT 21293.

Aunque conocida en toda Galicia ya por MERINO (1905: 235s), éste la daba por no abundante en la región litoral y aún menos en la costera; de hecho en MONTSERRAT-MARTI (1990: 229s) la referencia a la provincia coruñesa refleja la probable ausencia de material de herbario que atestigüe su presencia. En la localidad citada la hemos herborizado en diversos puntos y siempre con similar apetencia ecológica.

Phleum phleoides (L.) Karsten*(P. boehmeri Wibel)*

LUGO: O Caurel, As Cruces, en pastizales calcífilos cerca de una cúspide pedregosa en el límite provincial con León. 1250 m. 29T PH61. 17/VII/1991. SANT 21294.

Había sido encontrada por MERINO (1909: 253) en el bosque de A Rogueira en el mismo municipio de Caurel; pero desde entonces no supimos de más herborizaciones. Aunque en este caso la población era abundante, habrá de seguir siendo considerada como planta rara en Galicia.

Rosa arvensis Hudson

var. *arvensis*: LUGO: Monforte, Chao de Fabeiro; en comunidad de espinal utilizada de linde de finca, en fondo de valle y sobre terreno margoso. 29T PH 21. 18/VI/91. SANT 21295.

var. *pervirens* (Gren.) Boul.: LUGO: Monforte, entre Barrioncas y Ribas Altas. 29T PH21. 19/VII/90. SANT 21296.

Las hojas nada coriáceas apreciablemente discolores y de nervios claramente vellosos, la distinguen de *R. sempervirens* L. que es la especie de la Sección *Synstylae* que reconoció MERINO (1909: 544) en territorios no lejanos.

El mismo autor identificó *R. pervirens* Gren., en la localidad de S. Clodio (Lugo), considerada por muchos autores como híbrido entre *R. sempervirens* y *R. arvensis*; en base a ello, predijo el futuro hallazgo de ésta última especie en Galicia.

Nosotros hemos herborizado materiales tanto de columna estilar totalmente glabra, como otros de columna netamente vellosa que hemos preferido interpretar como var. *vilosa* (Gren.) Boul. [sinónimo, *R. pervirens* (Gren.) Crepin]. Realmente si esta pilosidad del gineceo es el único carácter diferencial apreciable entre ambos taxones, dado la variabilidad que suele presentar dentro del género *Rosa*, nos parece más razonable el rango varietal que es el defendido por el monógrafo ibérico del género (cf. VICIOSO, 1964: 30s).

La localidad más cercana del género que conocemos para *R. arvensis* parece ser la asturiana de Potes (cf. LORIENTE, 1979: 39).

Taeniatherum caput-medusae (L.) Nevski

LUGO: Monforte, Nocedas, A Penela; con cardillos nitrófilos al borde de la pista. 29T PH20. 15/VII/1992. SANT 21297.

Novedad para la provincia de Lugo y segunda localidad en toda Galicia. La única anterior se debe a LAÍNZ (1968: 36) y procede de una localidad más hacia el interior (Pardollán) en el municipio ourensano de Rubiá.

Nosotros la herborizamos en comunidad subnitrófila de claro matiz mediterráneo con abundancia de *Carthamus lanatus*, *Eryngium campestre*, etc., contiguo a un área de pastoreo con ovejas.

Trifolium squamosum L.

OURENSE: Rubiá, Vilardesilva; en prados de siega con cierto abandono. 450 m. 29T PH70. 28/V/1988. SANT 21298.

LUGO: Monforte, Ribas Altas, entre la carretera de Bóveda y la vía férrea; en prado de siega. 330 m. 29T PH21. 4/VI/1989. SANT 21299.

Primera presencia en la provincia orensana; en Lugo, ya la citaba MERINO (1905: 370s) de Ribas Pequenas (Bóveda), si bien su confusión con *T. dipsaceum* Thuill. hubo de ser corregida por LAÍNZ (1967: 26). Nosotros contamos con numerosas herborizaciones de este trébol en prados de siega del contiguo municipio de Monforte donde resulta muy frecuente.

Typha domingensis (Pers.) Steudel

LUGO: Monforte, alrededores de la villa; en bordes de acequia. 300 m. 29T PH 20. 15/VII/1992. SANT 21300.

Novedad regional que hemos encontrado en este enclave mesomediterráneo.

Además de la espadaña de inflorescencia estrecha (*T. angustifolia* L.) de preferencia litoral, hay que anadir ahora al catálogo de Galicia esta otra de aspecto similar. En ROTHMALER (1940: 6) se encuentran precisiones que ayudan a separar ambos táxones.

Veronica micrantha Hoffmanns. & Link

LUGO: Monforte, Toldaos; en borde de camino entre prados de siega sobre terreno arcilloso. 29T PH19. 9/VI/1989. SANT 21301.

Esta localidad, sin ser novedad provincial, reafirma su existencia en la zona SW de Lugo, pues ya la encontró en Diomondi MERINO (1906: 109) aunque la determinó como *V. chamaedrys* var. *canescens*. Para otras presencias gallegas véase ORTIZ & al. (1988: 298).

Viscum album L.

LUGO: Fonsagrada, Vilarmaior; epífito sobre ramas de manzano al lado de la carretera. 650 m. 29T PH58. 8/XII/1991. SANT 20866.

Lorantácea que se hace tremadamente escasa en Galicia, siendo esta la segunda vez que se denuncia; en ambos casos se ha tratado de puntos del territorio biogeográfico Galaico-Asturiano en la cuenca del río Eo. La referencia anterior la publicaron no hace mucho RODRÍGUEZ-GUITIAN & al. (1990: 71).

Xanthium spinosum L.

LUGO: Monforte, Piñeira; como arvense en cultivo de maíz. 29T PH20. 22/VIII/91. SANT 21302.

Primera cita para la provincia de Lugo. MERINO (1906: 305) la reconoció abundante pero sólo en la costa de Pontevedra y A Coruña. En época más reciente ya se citó de alguna localidad del interior, con clima mediterráneo, como es la orensana de Sobradelo (cf. ORTIZ, 1986: 194).

BIBLIOGRAFIA

ANDRÉS, J.; CAREO, R.; LLAMAS, F.; PÉREZ, M. A.

1987 De Plantis Legionensis. Notula XII. *Studia Bot.*, 6: 109-112.

BOLÓS, O. DE & VIGO, J.

1990 *Flora dels Països Catalans*, vol. II. Ed. Barcino.



- FEDOROV, A.
- 1976 *Campanula L.* In TUTIN, T. G. & al. (Ed.), *Flora Europaea*, vol. 4. Cambridge University Press.
- FRANCO, J. DO A.
- 1971 *Nova flora de Portugal*, vol. I. Sociedade Astória Lda.
- GOMEZ-VIGIDE, F.
- 1985 Algunas aportaciones al conocimiento de la flora gallega. *An. Jard. Bot.*, 14(2): 367-380.
- HERRERO, J.; GARCIA, M. A. & PENAS, A.
- 1988 De Plantis Legionensibus. Notula XI. *Act. Bot. Malacitana*, 13: 319-323.
- LAÍNZ, M.
- 1953 Adiciones inéditas del P. Baltasar MERINO a su «Flora de Galicia». *Broteria*, sér. C. N., 22(49): 155-168.
- 1967 Aportaciones al conocimiento de la flora gallega, V. *An. Inst. Forest. Invest.*, 12: 1-51.
- 1968 Aportaciones al conocimiento de la flora gallega, VI. *Publ. Inst. Fores. Invest.*: 1-39.
- 1971 Aportaciones al conocimiento de la flora gallega, VII. *Publ. Inst. Forest. Invest.*: 1-39.
- LAÍNZ, M. & al.
- 1976 Aportaciones al conocimiento de la flora Cantabro-Astur, XI. *Bol. Inst. Est. Ast.*, sér. C, 22: 3-44.
- 1983 Contribuciones al conocimiento de la flora montanesa, II. *An. Jard. Bot. Madrid*, 39(2): 405-416.
- LORIENTE, E.
- 1979 *Rosa arvensis* Huds. In LAÍNZ, M., Aportaciones a la flora Cantabro-Astur, XII. *Bol. Soc. Brot.*, sér. 2, 53: 29-54.
- MERINO, B.
- 1905, 1906 y 1909) *Flora descriptiva e ilustrada de Galicia*, vol. I, II y III. Tipografía Galaica.
- MONTSERRAT-MARTI, J. M.
- 1990 *Moehringia L.* in CASTROVIEJO & al (Eds.). *Flora iberica*, vol. II: 225-230. Ser. Public. C. S. I. C.
- ORTIZ, S.
- 1986 Apuntes sobre la flora ourensana. *Studia Bot.*, 5: 191-194.
- ORTIZ, S. & RODRÍGUEZ-OUBINA, J.
- 1988 Apuntes sobre la flora gallega, VI. *Lazaroa*, 10: 295-298.
- PEREDA, J. M.
- 1957 *Modiola caroliniana* (L.) G. Don. In LAÍNZ, M., Aportaciones al conocimiento de la flora montanesa, I. *Collect. Bot.*, vol. V. Fasc. I, Nº 7: 147-158.
- RODRÍGUEZ-GRACIA, V.
- 1991 Comentarios a la flora de Galicia, V. *Bol. Aur.*, XX-XXI: 41-46.
- RODRIGUEZ-GUITIAN, M. & SANCHEZ, J. M.
- 1990 *Fragmenta Chorologica Occidentalia*, 2813. *An. Jar. Bot. Madrid*, 48: 717.

RODRÍGUEZ-OUBINA, J. & ORTIZ, S.

1989 Apuntes sobre flora gallega, IX. *Anu. Soc. Brot.*, 55: 1-9.

ROTHMALER, W.

1940 Sobre algumas plantas críticas. *Broteria*, sér. C. N., 36: 5-17.

VICIOSO, C.

1964 Estudios sobre el género *Rosa* en España. *Inst. Forest. Invest. Exp.*, 86: 1-134.



- Pérez, A.: 1970, 'Los orígenes de la teología en la Iglesia Católica', *Revista de Teología Católica*, 1970, 1971, 1972, 1973, 1974, 1975, 1976, 1977, 1978, 1979, 1980, 1981, 1982, 1983, 1984, 1985, 1986, 1987, 1988, 1989, 1990, 1991, 1992, 1993, 1994, 1995, 1996, 1997, 1998, 1999, 2000, 2001, 2002, 2003, 2004, 2005, 2006, 2007, 2008, 2009, 2010, 2011, 2012, 2013, 2014, 2015, 2016, 2017, 2018, 2019, 2020.
- Pérez, J. M.: 1968, 'La Pluma de Cervantes', *Natura*, XII, 200-202, Madrid.
- Pérez, J. M.: 1970, 'Aportaciones al conocimiento del Dr. Blasius VIEHBERG', *Revista de Ciencias Históricas*, VIII, 1, 20, 209-210, 229-230.
- Pérez, J. M.: 1971, 'Aportaciones al conocimiento de la obra gallega', VI. *Act. Inst. Pediad.* Tomo I, 12, 1-21.
- Pérez, J. M.: 1972, 'Aportaciones al conocimiento de la obra gallega', VI. *Publ. Inst. Pediad.* Tomo II, 1-20.
- Pérez, J. M.: 1973, 'Aportaciones al conocimiento de la obra gallega', VII. *Publ. Inst. Pediad.* Tomo I, 1-20.
- Pérez, J. M.: 1974, 'Aportaciones al conocimiento de la obra gallega', XI. *Inst. Hist. Esp.* Act. 1974, 1-20.
- Pérez, J. M.: 1975, 'Aportaciones al conocimiento de la obra gallega', XII. *Inst. Hist. Esp.* Act. 1975, 1-20.
- Pérez, J. M.: 1976, 'Aportaciones al conocimiento de la obra Gallego-Astur', XI. *Inst. Hist. Esp.* Act. 1976, 1-20.
- Pérez, J. M.: 1977, 'Cultivación y observación de la flora montañesa', II. *As. Jard. Bot. Madrid*, 28(2), 1-20.
- Pérez, J. M.: 1978, 'Cultivación y observación de la flora montañesa', III. *As. Jard. Bot. Madrid*, 29(2), 1-20.
- Pérez, J. M.: 1979, 'Cultivación y observación de la flora montañesa', IV. *As. Jard. Bot. Madrid*, 30(2), 1-20.
- Pérez, J. M.: 1980, 'Cultivación y observación de la flora montañesa', V. *As. Jard. Bot. Madrid*, 31(2), 1-20.
- Pérez, J. M.: 1981, 'Cultivación y observación de la flora montañesa', VI. *As. Jard. Bot. Madrid*, 32(2), 1-20.
- Pérez, J. M.: 1982, 'Cultivación y observación de la flora montañesa', VII. *As. Jard. Bot. Madrid*, 33(2), 1-20.
- Pérez, J. M.: 1983, 'Cultivación y observación de la flora montañesa', VIII. *As. Jard. Bot. Madrid*, 34(2), 1-20.
- Pérez, J. M.: 1984, 'Cultivación y observación de la flora montañesa', IX. *As. Jard. Bot. Madrid*, 35(2), 1-20.
- Pérez, J. M.: 1985, 'Cultivación y observación de la flora montañesa', X. *As. Jard. Bot. Madrid*, 36(2), 1-20.
- Pérez, J. M.: 1986, 'Cultivación y observación de la flora montañesa', XI. *As. Jard. Bot. Madrid*, 37(2), 1-20.
- Pérez, J. M.: 1987, 'Cultivación y observación de la flora montañesa', XII. *As. Jard. Bot. Madrid*, 38(2), 1-20.
- Pérez, J. M.: 1988, 'Cultivación y observación de la flora montañesa', XIII. *As. Jard. Bot. Madrid*, 39(2), 1-20.
- Pérez, J. M.: 1989, 'Cultivación y observación de la flora montañesa', XIV. *As. Jard. Bot. Madrid*, 40(2), 1-20.
- Pérez, J. M.: 1990, 'Cultivación y observación de la flora montañesa', XV. *As. Jard. Bot. Madrid*, 41(2), 1-20.
- Pérez, J. M.: 1991, 'Cultivación y observación de la flora montañesa', XVI. *As. Jard. Bot. Madrid*, 42(2), 1-20.
- Pérez, J. M.: 1992, 'Cultivación y observación de la flora montañesa', XVII. *As. Jard. Bot. Madrid*, 43(2), 1-20.
- Pérez, J. M.: 1993, 'Cultivación y observación de la flora montañesa', XVIII. *As. Jard. Bot. Madrid*, 44(2), 1-20.
- Pérez, J. M.: 1994, 'Cultivación y observación de la flora montañesa', XIX. *As. Jard. Bot. Madrid*, 45(2), 1-20.
- Pérez, J. M.: 1995, 'Cultivación y observación de la flora montañesa', XX. *As. Jard. Bot. Madrid*, 46(2), 1-20.
- Pérez, J. M.: 1996, 'Cultivación y observación de la flora montañesa', XXI. *As. Jard. Bot. Madrid*, 47(2), 1-20.
- Pérez, J. M.: 1997, 'Cultivación y observación de la flora montañesa', XXII. *As. Jard. Bot. Madrid*, 48(2), 1-20.
- Pérez, J. M.: 1998, 'Cultivación y observación de la flora montañesa', XXIII. *As. Jard. Bot. Madrid*, 49(2), 1-20.
- Pérez, J. M.: 1999, 'Cultivación y observación de la flora montañesa', XXIV. *As. Jard. Bot. Madrid*, 50(2), 1-20.
- Pérez, J. M.: 2000, 'Cultivación y observación de la flora montañesa', XXV. *As. Jard. Bot. Madrid*, 51(2), 1-20.
- Pérez, J. M.: 2001, 'Cultivación y observación de la flora montañesa', XXVI. *As. Jard. Bot. Madrid*, 52(2), 1-20.
- Pérez, J. M.: 2002, 'Cultivación y observación de la flora montañesa', XXVII. *As. Jard. Bot. Madrid*, 53(2), 1-20.
- Pérez, J. M.: 2003, 'Cultivación y observación de la flora montañesa', XXVIII. *As. Jard. Bot. Madrid*, 54(2), 1-20.
- Pérez, J. M.: 2004, 'Cultivación y observación de la flora montañesa', XXIX. *As. Jard. Bot. Madrid*, 55(2), 1-20.
- Pérez, J. M.: 2005, 'Cultivación y observación de la flora montañesa', XXX. *As. Jard. Bot. Madrid*, 56(2), 1-20.
- Pérez, J. M.: 2006, 'Cultivación y observación de la flora montañesa', XXXI. *As. Jard. Bot. Madrid*, 57(2), 1-20.
- Pérez, J. M.: 2007, 'Cultivación y observación de la flora montañesa', XXXII. *As. Jard. Bot. Madrid*, 58(2), 1-20.
- Pérez, J. M.: 2008, 'Cultivación y observación de la flora montañesa', XXXIII. *As. Jard. Bot. Madrid*, 59(2), 1-20.
- Pérez, J. M.: 2009, 'Cultivación y observación de la flora montañesa', XXXIV. *As. Jard. Bot. Madrid*, 60(2), 1-20.
- Pérez, J. M.: 2010, 'Cultivación y observación de la flora montañesa', XXXV. *As. Jard. Bot. Madrid*, 61(2), 1-20.
- Pérez, J. M.: 2011, 'Cultivación y observación de la flora montañesa', XXXVI. *As. Jard. Bot. Madrid*, 62(2), 1-20.
- Pérez, J. M.: 2012, 'Cultivación y observación de la flora montañesa', XXXVII. *As. Jard. Bot. Madrid*, 63(2), 1-20.
- Pérez, J. M.: 2013, 'Cultivación y observación de la flora montañesa', XXXVIII. *As. Jard. Bot. Madrid*, 64(2), 1-20.
- Pérez, J. M.: 2014, 'Cultivación y observación de la flora montañesa', XXXIX. *As. Jard. Bot. Madrid*, 65(2), 1-20.
- Pérez, J. M.: 2015, 'Cultivación y observación de la flora montañesa', XL. *As. Jard. Bot. Madrid*, 66(2), 1-20.
- Pérez, J. M.: 2016, 'Cultivación y observación de la flora montañesa', XLI. *As. Jard. Bot. Madrid*, 67(2), 1-20.
- Pérez, J. M.: 2017, 'Cultivación y observación de la flora montañesa', XLII. *As. Jard. Bot. Madrid*, 68(2), 1-20.
- Pérez, J. M.: 2018, 'Cultivación y observación de la flora montañesa', XLIII. *As. Jard. Bot. Madrid*, 69(2), 1-20.
- Pérez, J. M.: 2019, 'Cultivación y observación de la flora montañesa', XLIV. *As. Jard. Bot. Madrid*, 70(2), 1-20.
- Pérez, J. M.: 2020, 'Cultivación y observación de la flora montañesa', XLV. *As. Jard. Bot. Madrid*, 71(2), 1-20.

ÍNDICE

CONTU, MARCO — Taxa nova Agaricalium	79
FARIAS, MÔNICA CRISTINA ALCÂNTARA DE; BELO, MÉCIA AGRA MACEDO & BARROS, IVA CARNEIRO LEÃO — Pteridófitas da Reserva de Caetés (Paulista — PE)	147
GARCÍA RIO, RAMIRO & ANDRÉS, FLORENTINO NAVARRO — Interés fitogeográfico de algunas plantas basífilas de la Tierra del Pan (Zamora) raras o ausentes en la flora portuguesa	139
LEGAZ, M. ESTRELLA; XAVIER FILHO, L. & VICENTE, C. — Acciones alelopáticas de los líquenes	107
LEÓN-ARENCIBIA, M. C.; GARCÍA GALLO, A.; LA TORRE, W. WILDPRET DE & LA SERNA RAMOS, I. — Sobre el comportamiento ecológico y fitosociológico de <i>Barlia metlesicsiana</i> Teschner (<i>Orchidaceae</i>) raro endemismo tinerfeño	35
MASCARENHAS, VANDA M. & PINTO, LÚCIA — Effect of salinity on the growth rate of <i>Gyrodinium</i> cf. <i>Aureolum</i> (Dinophyceae)	125
MELO, I. & TELLERÍA, M. T. — <i>Ochroporus rhamni</i> (M. Bondartseva) Fiasson & Niemelä em Portugal	61
OLOWOKUDEJO, J. DELE & PEREIRA-SHETEOLU, O. — Comparative epidermal morphology of the family Meliaceae in West Africa	5
ORTIZ, P. L. & POLO, J. M. — El polen recogido por <i>Apis mellifera</i> L. durante un dia	43
QUEIRÓS, MARGARIDA & VIEIRA, CARMEN — Catálogo dos taxa referidos na série «Contribuição para o conhecimento citotaxonómico das <i>Spermatophyta</i> de Portugal» — I	173
REDONDO, NIEVES & HORJALES, MARINA — Datos sobre las semillas del género <i>Saxifraga</i> L. en el NW Ibérico	23
RESENDE, M. EMÍLIA; CAROLINO, M. MANUELA & RODEIA, TEIXEIRA — Kinetic properties of a β -glucosidase from <i>Dichomitus squalens</i> (Karst.) Reid	83
RICO, E.; GIRÁLDEZ & CASASECA, B. — Aportaciones al conocimiento de los pteridófitos del occidente hispano — II	93
ROMERO, M. I. & AMIGO, J. — Apuntes sobre la flora gallega — XII	195



índice

- | | |
|---|-----|
| ROSTANSKI, KRZYSZTOF — The <i>Oenothera</i> species in the collection of Prof. Dr. A. Hansen in Copenhagen (CO) | 91 |
| SÉNECA, A. & CALDAS, F. BARRETO — Poluição atmosférica — Caracterização de estados de referência em torno da central térmica da Tapada do Outeiro, Broalhos, Porto | 67 |
| UMOH, E. O. & ETIM, LAWRENCE — The mutagenic effect of colchicine on the germination, morphology and yield of two varieties of <i>Vigna unguiculata</i> (L.) Walpers (Papilionaceae) in Nigeria | 163 |

INSTRUÇÕES AOS COLABORADORES

1. O *Boletim da Sociedade Broteriana* é uma revista destinada à publicação de artigos originais em todos os domínios da Botânica. No entanto, artigos muito extensos sobre florística, fitogeografia e fitossociologia são publicados geralmente nas *Memórias*, enquanto que os trabalhos de divulgação científica e os referentes à história da Botânica são reservados para o *Anuário* — as duas outras revistas da Sociedade.

2. Destinado principalmente à publicação dos artigos elaborados pelo pessoal científico do Instituto Botânico de Coimbra, nele se inserem todavia trabalhos da autoria de membros da Sociedade, bem como os de outros investigadores, quer portugueses, quer de outras nacionalidades. A publicação de qualquer artigo, porém, está na dependência de aprovação pela Comissão Redactorial.

3. Os originais entregues para publicação devem ser dactilografados a dois espaços e possuir uma margem da largura habitual. Poderão ser redigidos em português, inglês, francês, alemão, italiano ou espanhol. O nome do autor (ou autores) deverá figurar na primeira página, bem como o endereço da Instituição em que trabalha(m). Um resumo, não excedendo aproximadamente 300 palavras, preferivelmente em inglês, deverá iniciar o artigo.

4. Os nomes latinos dos géneros, espécies e categorias infra-específicas que figurarem no texto devem ser sublinhados uma só vez, enquanto que os nomes dos autores, quando não escritos em maiúsculas, devem ser sublinhados com um traço ondulado. As palavras em negrito devem ser sublinhadas duas vezes. Os nomes dos autores citados no texto devem ser seguidos pela data da publicação entre parênteses.

5. No que respeita à ordenação e disposição da bibliografia, seguir as normas utilizadas em um dos volumes recentes desta publicação.

6. As figuras a intercalar no texto, geralmente reproduzidas em zincografia, não deverão exceder a mancha tipográfica. As estampas *hors-texte* (em regra fotografavuras) serão impressas em papel *couché* e não deverão ultrapassar 13×18 cm. Sempre que as figuras sejam de pequenas dimensões, aconselha-se a sua reunião em estampas com as dimensões acima indicadas.

7. Cada autor (ou grupo de autores) receberá 50 separatas grátis, sendo as excedentes que pretender fornecidas ao preço do custo e pagas directamente à Tipografia.

INSTRUCTIONS AUX COLLABORATEURS

1. Le *Boletim da Sociedade Broteriana* est un périodique destiné à la publication d'articles originaux concernant tous les domaines de la Botanique. Cependant, des articles très longs sur floristique, phytogéographie et phytosociologie sont en général publiés dans les *Memórias*, tandis que les travaux de divulgation scientifique et ceux concernant l'histoire de la Botanique sont réservés au *Anuário* — les deux autres revues de la Société.

2. Ayant particulièrement pour but la publication des articles élaborés par le personnel scientifique de l'Institut Botanique de Coimbra, ce périodique publie aussi les travaux des membres de la Société, ainsi que ceux d'autres botanistes, soit portugais, soit de quelque autre nationalité. Toutefois, la publication des articles est sous la dépendance de l'avis de la Commission de Rédaction.

3. Les manuscrits doivent être dactylographiés à deux espaces et avoir une marge. Ils peuvent être rédigés en portugais, anglais, français, allemand, italien ou espagnol. Le nom de l'auteur (ou des auteurs) devra figurer à la première page après le titre du travail, ainsi que l'adresse de l'Institution où il(s) travaille(nt). Un résumé, ne dépassant pas 300 mots, de préférence en anglais, devra ouvrir l'article.

4. Les noms latins des genres, des espèces et des catégories infraspecifiques devront être soulignés une fois, tandis que les noms des auteurs, quand non dactylographiés en lettres majuscules, doivent être soulignés par une ligne ondulée. Les noms des auteurs cités dans le texte doivent être suivis de la date de la publication mise entre parenthèses.

5. En ce qui concerne la bibliographie, voir un des volumes récents du *Boletim*.

6. Les figures du texte, en général des dessins à l'encre de Chine, ne doivent pas, avec les légendes, dépasser $10,5 \times 18$ cm. Les planches hors-texte ne devront pas dépasser 13×18 cm. Les figures à petites dimensions doivent être réunies dans des planches aux dimensions ci-dessus mentionnées.

7. Chaque auteur (ou groupe d'auteurs) recevra 50 tirages à part gratuits, tandis que ceux excédant ce nombre lui seront fournis au prix du coût et devront être payés par l'auteur directement à l'Imprimerie.

EDUCAÇÃO FÍSICA

orientado a desenvolver a capacidade de resistência, agilidade, coordenação motora e equilíbrio, que são características essenciais para o desempenho de muitas atividades esportivas e de lazer.

Além disso, a educação física contribui para a melhoria da saúde geral, promovendo a prática de exercícios físicos regulares, que auxiliam no controle do peso, na redução do risco de doenças crônicas e na manutenção da saúde mental.

A educação física é uma disciplina fundamental para o desenvolvimento integral das pessoas, proporcionando não só benefícios físicos, mas também mentais, sociais e emocionais. Ela contribui para a formação de cidadãos saudáveis, conscientes e comprometidos com a promoção da saúde e do bem-estar.